



ITS
Institut
Teknologi
Sepuluh Nopember

TUGAS AKHIR TERAPAN - VC180609

DESAIN STRUKTUR BANGUNAN GEDUNG DPRD KOTA SURABAYA DENGAN SISTEM RANGKA PEMIKUL MOMEN KHUSUS DAN METODA PELAKSANAAN PELAT-PELAT LANTAI DAN ATAP

ARMAND RIZALDY

NRP. 10111600000046

TAUFAN FAIRUS MAJID

NRP. 10111600000080

DOSEN PEMBIMBING :

Dr. Ir. DICKY IMAM WAHYUDI, M.S.

NIP. 19590209 198603 1 002

**PROGRAM STUDI DIPLOMA III TEKNIK SIPIL
DEPARTEMEN TEKNIK INFRASTRUKTUR SIPIL
FAKULTAS VOKASI
INSTITUT TEKNOLOGI SEPULUH NOPEMBER
SURABAYA**

2020



TUGAS AKHIR TERAPAN - VC180609

DESAIN STRUKTUR BANGUNAN GEDUNG DPRD KOTA SURABAYA DENGAN SISTEM RANGKA PEMIKUL MOMEN KHUSUS DAN METODA PELAKSANAAN PELAT-PELAT LANTAI DAN ATAP

ARMAND RIZALDY
NRP. 10111600000046

TAUFAN FAIRUS MAJID
NRP. 10111600000080

DOSEN PEMBIMBING :
Dr. Ir. DICKY IMAM WAHYUDI, M.S.
NIP. 19590209 198603 1 002

PROGRAM STUDI DIPLOMA III TEKNIK SIPIL
DEPARTEMEN TEKNIK INFRASTRUKTUR SIPIL
FAKULTAS VOKASI
INSTITUT TEKNOLOGI SEPULUH NOPEMBER
SURABAYA
2020



FINAL APPLIED PROJECT - VC180609

STRUCTURAL DESIGN OF SURABAYA CITY PARLIAMENT BUILDING USING SPECIAL MOMENT RESISTING FRAME AND CONSTRUCTION METHOD FOR FLOOR AND ROOF PLATES

ARMAND RIZALDY
NRP. 10111600000046

TAUFAN FAIRUS MAJID
NRP. 10111600000080

SUPERVISOR :
Dr. Ir. DICKY IMAM WAHYUDI, M.S.
NIP. 19590209 198603 1 002

CIVIL ENGINEERING DIPLOMA III PROGRAM
DEPARTMENT OF CIVIL INFRASTRUCTURE ENGINEERING
FACULTY OF VOCATION
SEPULUH NOPEMBER INSTITUTE OF TECHNOLOGY
SURABAYA
2020



ASISTENSI TUGAS AKHIR TERAPAN

Nama : 1 2
NRP : 1 2
Judul Tugas Akhir :
Dosen Pembimbing :

No	Tanggal	Tugas / Materi yang dibahas	Tanda tangan	Keterangan
1.		-		
		-		
		-		B C K
		-	<input type="checkbox"/>	<input type="checkbox"/>
		-		
		-		B C K
		-	<input checked="" type="checkbox"/>	<input type="checkbox"/>
		-		
2.	13-3-2019	<p>Mengapa ada sifat / pertambangan</p> <p>Pengaruh domenik batubara</p> <ul style="list-style-type: none"> - Konsentrasi akan menurun ketika batu bara - mengapa ada sifat batu bara - Hasil analisis domenik batubara <p>→ Dasar penentuan preliminary dimension = batubara → kohesi</p>	<i>Siwi</i>	B C K
			<input type="checkbox"/>	<input type="checkbox"/>
				B C K
			<input type="checkbox"/>	<input type="checkbox"/>
				B C K
			<input type="checkbox"/>	<input type="checkbox"/>

240

- = Latin oedeem van jasneel
 - = Geelgele oedeem, zwavel
 - = Tandsteentje van zwavel



ASISTENSI TUGAS AKHIR TERAPAN

Dosen Pembimbing : Dr. Ir. Herry Sugih Marzuki, M.T

No	Tanggal	Tugas / Materi yang dibahas	Tanda tangan	Keterangan
3.	02-12-2018	<ul style="list-style-type: none"> - faktur dengan plat yang diketahui dan plat existing - Kalkulasi tangram dengan teknik fermentasi - Perbaikan pada perhitungan dengan resizin - Aturan resizin yang dibahas 	<i>die</i>	<input type="checkbox"/> <input type="checkbox"/> <input type="checkbox"/>
4.	16-12-2018	<ul style="list-style-type: none"> - Buat teknik perbaikan berasaskan - Bantuan untuk perhitungan tekniknya 		<input type="checkbox"/> <input type="checkbox"/> <input type="checkbox"/>
5.	18-12-2018	<ul style="list-style-type: none"> - Tangram dengan teknik 1 resizin - Menggunakan teknik detail wawancara - Banyak cara dengan teknik - Teknik kerangka & teknik tul. tungku - * * * * * <i>die</i> - * * * * * <i>die</i> 	<i>die</i>	<input type="checkbox"/> <input type="checkbox"/> <input type="checkbox"/>
6.	27-12-2018	<ul style="list-style-type: none"> - Tangram dengan teknik teknik - Resizin dengan teknik plat - Perbaikan SAP2000 dengan menggunakan abu infill frame - Tukar tangram teknik abu 	<i>die</i>	<input type="checkbox"/> <input type="checkbox"/> <input type="checkbox"/>

118

- B = Lebih cepat dari jadwal
- C = Sesuai dengan jadwal
- D = Lebih lambat dari jadwal



ASISTENSI TUGAS AKHIR TERAPAN

Nama : 1 Armand Pratya 2 Taufiq Fauz Megid
NRP : 1 131160000046 2 131160000030
Judul Tugas Akhir :

Dosen Pembimbing : Dr. Ir. Dicky Imam Wijayati, M.T

No	Tanggal	Tugas / Materi yang dibahas	Tanda tangan	Keterangan
7	28-02-2020	- Pemahaman teknik dasar teknologi mengaitkan struktur bahan dasar teknologi struktur dan lingkung	<i>Arie</i>	B C K
		- Perbedaan bentuk gerak dalam sistem envelope		
		- Macam kognitif		
		- Lks		B C K
		- tujuan tangan dan teknologi cara kerja teknologi		
10	06-03-2020	- Kata Pengantar & Alasan dilanjut olehman		
		- Formasi formasi bahan dasar dalam KTS		B C K
		- Transfisi gerak teknologi dasar dan lingkungan		
		- Perbedaan gerak teknologi dasar -		B C K
				B C K
				B C K

Ket:

- B = Lebih cepat dari jadwal
C = Sesuai dengan jadwal
K = Terlambat dari jadwal



ASISTENSI PROYEK AKHIR

Nama : Arumita Rizaldy | Tempat, Tanggal : Ponorogo, 20 Mei 2013
NRP : 1311300001 | Tahun Penerimaan : 2011
Judul Tugas Akhir :

Dosen Pembimbing : Dr. Ir. Dicky, MM, M.T.

No	Tanggal	Kisi yang dibahas	Tanda tangan	Perangkat		
1	21/02/2013	- Makalah teknik dan sifat material 20	<i>Arie</i>	<input checked="" type="checkbox"/>	<input type="checkbox"/>	<input type="checkbox"/>
		- Sumbu gerak dan konsep tentang gerak rotasi		<input type="checkbox"/>	<input type="checkbox"/>	<input type="checkbox"/>
		- Tingkatkan pemahaman matematika		<input type="checkbox"/>	<input type="checkbox"/>	<input type="checkbox"/>
		- Keterkaitan antara teknik dan matematika		<input type="checkbox"/>	<input type="checkbox"/>	<input type="checkbox"/>
		- Tingkatkan pemahaman teknologi dan teknologi		<input type="checkbox"/>	<input type="checkbox"/>	<input type="checkbox"/>
2	03/03/2013	- Tingkatkan pemahaman teknologi dan teknologi	<i>Arie</i>	<input type="checkbox"/>	<input checked="" type="checkbox"/>	<input type="checkbox"/>
		- Perbaikan SAP dan perbaikan		<input type="checkbox"/>	<input checked="" type="checkbox"/>	<input type="checkbox"/>
		- Menghindari ketidakmampuan teknologi		<input type="checkbox"/>	<input type="checkbox"/>	<input type="checkbox"/>
		(berikutnya ditulis di bawah)		<input type="checkbox"/>	<input type="checkbox"/>	<input type="checkbox"/>
				<input type="checkbox"/>	<input type="checkbox"/>	<input type="checkbox"/>
				<input type="checkbox"/>	<input type="checkbox"/>	<input type="checkbox"/>

- ✓ = Lebih cepat dan jadi
✗ = Sesuai dengan jadwal
✗ = Terambang dan jadi

LEMBAR PENGESAHAN

**"DESAIN STRUKTUR BANGUNAN GEDUNG DPRD
KOTA SURABAYA DENGAN SISTEM RANGKA
PEMIKUL MOMEN KHUSUS DAN METODA
PELAKSANAAN PELAT-PELAT LANTAI DAN ATAP"**

Diajukan untuk Memenuhi Salah Satu Syarat Memperoleh Gelar
Ahli Madya
Pada

Konsentrasi Bangunan Gedung
Program Studi Diploma III Teknik Infrastruktur Sipil
Departemen Teknik Infrastruktur Sipil
Fakultas Vokasi
Institut Teknologi Sepuluh Nopember
Surabaya

Surabaya, 23 Agustus 2020

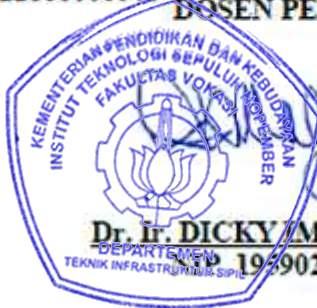
Disusun Oleh:
MAHASISWA

Armand Rizaldy
10111600000046

Disetujui Oleh:

DOSEN PEMBIMBING

Taufan Fairus Majid
10111600000080



DESAIN STRUKTUR BANGUNAN GEDUNG DPRD KOTA SURABAYA DENGAN SISTEM RANGKA PEMIKUL MOMEN KHUSUS DAN METODA PELAKSANAAN PELAT-PELAT LANTAI DAN ATAP

Nama Mahasiswa	: 1. Armand Rizaldy 2. Taufan Fairus Majid
NRP	: 1. 10111600000046 2. 10111600000080
Jurusan	: DIII Departemen Teknik Infrastruktur Sipil
Dosen Pembimbing	: Dr. Ir. DICKY IMAM WAHYUDI, M. S.

ABSTRAK

Bangunan gedung DPRD Kota Surabaya terdiri dari 7 lantai ditambah dengan lantai basement memakai atap perisai genteng dengan konstruksi rangka dari baja. Bangunan ini akan dihitung ulang dengan meniadakan basement, dan merubah atap menjadi konstruksi pelat datar dari beton bertulang. Dengan berkurangnya beban-beban pada bangunan, maka diharapkan akan diperoleh ukuran-ukuran penampang dan volume penulangan pada balok-balok dan kolom-kolom bangunan yang lebih hemat. Sementara metoda perhitungan desain pada struktur bangunan tetap dipertahankan pada Sistem Rangka Pemikul Momen Khusus (SRPMK), mengingat Surabaya terletak pada zona gempa yang menyebabkannya terletak pada Kategori Desain Seismik D menurut SNI 1726-2012.

Di dalam perhitungan desain, akan dilakukan pemodelan struktur dengan SAP2000, sedangkan beban-beban ditetapkan berdasarkan SNI 1727-2013. Dari gaya-gaya dalam yang dihasilkan akan dapat dihitung kebutuhan penulangan pada balok-balok, kolom-kolom rangka portal bangunan, berikut sambungan-sambungan balok-kolomnya. Perhitungan desain juga dilakukan

sampai pada sistem pondasi yang diperlukan, yang di dalam hal ini akan dipakai pondasi tiang pancang di atas pile cap.

Sebagai tambahan, akan disampaikan di sini metoda pelaksanaan pada konstruksi pelat-pelat lantai bangunan.

Kata kunci: SRPMK, zona gempa, kategori desain seismic, gaya-gaya dalam, kebutuhan penulangan, sistem pondasi, metoda pelaksanaan.

**STRUCTURE DESIGN OF SURABAYA CITY
PARLEMENT USIGN SPECIAL MOMENT RESISTING
FRAME SYSTEM AND FLOOR PLATE CONSTRUCTION
METHOD**

Name	: 1. Armand Rizaldy 2. Taufan Fairus Majid
NRP	: 1. 10111600000046 2. 10111600000080
Department	: D-III Program-Departement of Civil Infrastructure Engineering
Supervisor	: Dr. Ir. Dicky Imam Wahyudi, M. S

ABSTRACT

The building of Surabaya City Parliament consists of 7 floors plus a basement uses a shield-type of roof with a steel frame structure. The building will be recalculated by removing the basement, and converting the roof to a flat reinforced concrete slab. By reducing the loads on the building, it is expected that a more economical dimensions and reinforcement content of beams and columns of the building will be obtained. Meanwhile, the design calculation method for building structures is still maintained in the Special Moment Resisting Frame (SMRF), considering that Surabaya is located in an earthquake zone which causes it to belong to the Seismic Design Category D according to SNI 1726-2012.

In the design calculations, structural modeling will be carried out with SAP2000 program, while the loads are determined based on SNI 1727-2013. From the resulting internal forces, it will be used to calculate the reinforcement requirements of the beams and columns of the building frame and the beam-column joints as well. Design calculations are also carried out to the required

foundation system, in which pile foundation and pile cap will be used.

In addition, we will describe here the construction method of building floor slabs

Keyword: *SMRF, earthquake zone, seismic design category, internal forces, reinforcement requirements, foundation system, construction method.*

Kata Pengantar

Puji syukur terpanjatkan ke hadirat Allah S.W.T atas segala limpahan rahmat, hidayah, dan karunia-Nya sehingga tugas akhir terapan struktur gedung 7 lantai ini dapat terselesaikan.

Tersusunnya laporan tugas akhir ini juga tidak terlepas dari dukungan dan motivasi dari berbagai pihak yang telah banyak membantu dan memberi masukan serta arahan. Untuk itu begitu banyak ucapan terima kasih kepada:

1. Kedua orang tua dan saudara tercinta dari Armand Rizaldy sebagai penyemangat dan pendukung emosional yang telah banyak memberikan dukungan moril maupun materil, serta doa.
2. Ibu dan saudara tersayang dari Taufan Fairus Majid sebagai penyemangat dan pendukung emosional yang telah banyak memberikan dukungan moril maupun materil, serta doa.
3. Bapak Mohamad Khoiri, ST., MT., Ph.D selaku Kepala Departemen Teknik Infrastruktur Sipil.
4. Bapak Dr. Ir. Dicky Imam Wahyudi, M. S. selaku dosen pembimbing yang telah banyak memberikan bimbingan, arahan, petunjuk dan motivasi dalam penyusunan tugas akhir terapan ini.
5. Rikzy Agustian yang turut membantu jika ada kesulitan dalam memahami konteks perhitungan maupun analisa struktur.
6. Teman-teman seangkatan yang tidak bisa disebutkan satu-persatu.

Kami menyadari bahwa tugas akhir ini masih jauh dari kesempurnaan, untuk itu kami mengharapkan kritik dan saran yang membangun agar kami dapat terus berkembang.

Surabaya, 30 Juli 2020

Penulis

Daftar Isi

ABSTRAK	i
ABSTRACT	iii
Kata Pengantar.....	v
Daftar Isi	vi
Daftar Notasi	x
Daftar Gambar.....	xii
Daftar Tabel.....	xvi
BAB I - PENDAHULUAN.....	1
1.1 Latar Belakang.....	1
1.2 Rumusan Masalah.....	2
1.3 Batasan Masalah	2
1.4 Tujuan.....	3
1.5 Manfaat.....	3
1.6 Data Proyek	4
1.7 Gambar Bangunan	4
BAB II - TINJAUAN PUSTAKA.....	7
2.1 Umum	7
2.2 Perencanaan Bangunan Tahan Gempa.....	8
2.3 Sistem Rangka Pemikul Momen.....	9
2.4 Strong-Column/weak-beam	19
BAB III - METODOLOGI	23
3.1 Pengumpulan Data.....	24
3.2 Studi Literatur	24

3.3	Penentuan Kriteria Desain	24
3.4	Identifikasi Sistem Rangka Pemikul Momen Khusus	25
3.5	Preliminary	31
3.6	Perhitungan Pembebanan.....	37
3.7	Perhitungan Struktur.....	38
BAB IV -	PRELIMINARY DESIGN	61
4.1	Data Preliminary Design.....	61
4.2	Preliminary Balok.....	62
4.3	Preliminary Plat	64
4.4	Preliminary Kolom	66
4.5	Perencanaan Tangga	66
4.6	Perencanaan Balok Lift.....	68
4.7	Rekapitulasi Preliminary Design	69
BAB V -	ANALISA PEMBEBANAN.....	71
5.1	Beban Gravitasi	71
5.2	Beban Mati (DL)	71
5.3	Beban Hidup (LL)	72
5.4	Beban Angin.....	73
5.5	Beban Gempa	79
5.6	Kombinasi Pembebanan	85
BAB VI -	ANALISA PEMODELAN.....	87
6.1	Permodelan Struktur dengan SRPM	87
6.2	Pemeriksaan Simpangan Antar Lantai.....	96

BAB VII - DESAIN STRUKTUR SEKUNDER	101
7.1 Perhitungan Struktur Plat Lantai.....	101
7.2 Desain Struktur Tangga	121
7.3 Desain Balok Anak	135
BAB VIII - DESAIN STRUKTUR PRIMER	143
8.1 Umum	143
8.2 Desain Struktur Balok.....	144
8.3 Desain Struktur Kolom	159
8.4 Desain Hubungan Balok-Kolom (HBK).....	171
BAB IX - DESAIN STRUKTUR BAWAH	175
9.1 Umum	175
9.2 Perhitungan Pondasi	176
9.3 Metode Perhitungan Daya Dukung Tiang	178
9.4 Daya Dukung Ijin Tiang	180
9.5 Gaya Gesek Dinding Tiang.....	182
9.6 Kapasitas Daya Dukung Satu Tiang	183
9.7 Perencanaan Tipe Pondasi	184
9.8 Perhitungan transfer beban kolom ke pondasi ...	200
9.9 Panjang Penyaluran Tulangan Pasak	200
BAB X - METODE PELAKSANAAN PELAT.....	201
10.1 Metode Pelaksanaan Pelat Lantai	201
10.2 Spesifikasi Besi Tulangan.....	201
10.3 Cara Pemasangan.....	202
10.4 Pemilihan Alat Pekerjaan Balok-Plat.....	208

BAB XI - KESIMPULAN & SARAN.....	209
11.1 Kesimpulan.....	209
11.2 Saran	211
DAFTAR PUSTAKA.....	212

Daftar Notasi

$A_{s,min}$	= Luas minimum tulangan lentur, mm ² .
A_s	= Luas tulangan tarik, mm ² .
A_v	= Luas tulangan geser berspas S, mm ² .
b	= Lebar keseluruhan komponen struktur, mm
b_w	= Lebar badan (<i>web</i>), mm.
d	= Tinggi efektif segmen yang ditinjau, mm.
DL	= Beban Mati yang bekerja
d_b	= Diameter nominal batang tulangan, mm.
f'_c	= Kuat tekan beton yang disyaratkan, Mpa.
f_y	= Kuat leleh baja tulangan yang disyaratkan, Mpa.
I	= Momen inersia penampang terhadap sumbu pusat, mm ⁴ .
I_e	= Faktor Keutamaan Gempa
LL	= Beban hidup yang bekerja.
M_{nb}	= Kekuatan lentur nominal balok termasuk pelat bilamana tertarik, yang merangka ke dalam joint, N-mm.
M_{nc}	= Kekuatan lentur nominal kolom yang merangka ke dalam joint, yang dihitung untuk gaya aksila terfaktor, konsisten dengan arah gaya lateral yang ditinjau, yang menghasilkan kuat lentur terendah, N-mm.
M_u	= Momen terfaktor pada penampang, N.mm.
P_u	= Gaya aksial terfaktor, diambil sebagai positif untuk tekan dan negatif untuk Tarik, N.
q_{Du}	= Beban mati terfaktor per satuan luas
q_{Lu}	= Beban hidup terfaktor per satuan luas
q_u	= Beban terfaktor per satuan luas
R	= Koefisien modifikasi respons
S_I	= Parameter percepatan respons spektral MCE dari peta gempa pada periode 1 detik, redaman 5 persen.
S_{DS}	= Parameter percepatan respons spektral pada periode pendek, redaman 5 persen.

S_{D1}	= Parameter percepatan respons spektral pada perioda 1 detik, redaman 5 persen.
S_{MS}	= Parameter percepatan respons spektral MCE pada perioda pendek yang sudah disesuaikan terhadap pengaruh kelas situs.
S_{M1}	= Parameter percepatan respons spektral MCE pada perioda 1 detik yang sudah disesuaikan terhadap pengaruh kelas situs.
S_o	= Spasi pusat ke pusat tulangan transversal
t	= Tebal pelat, mm.
t_p	= Tebal pelat, mm.
t_s	= Tebal pelat, mm.
T	= Periode fundamental bangunan, detik.
Ta	= Periode fundamental bangunan yang diijinkan, detik.
T_e	= Waktu getar alami efektif saat inelastis
T_i	= Periode alami awal elastis
T_0	= $0,2 \frac{S_{D1}}{S_{DS}}$
T_L	= Periode panjang
T_s	= $\frac{S_{D1}}{S_{DS}}$
T_n	= Kekuatan momen torsi nominal, N-mm.
T_u	= Momen torsi terfaktor pada penampang, N-mm.
U	= Kombinasi faktor kuat perlu
V	= Gaya lateral desain total atau geser di dasar struktur
W	= Beban angin yang bekerja
W_t	= Berat struktur
ℓ_n	= Panjang bentang bersih yang diukur muka ke muka tumpuan, mm.
ℓ_o	= Panjang yang diukur dari muka join sepanjang sumbu komponen struktur, dimana tulangan transversal khusus disediakan.
ℓ_u	= Panjang bentang bersih kolom
ϕ	= Faktor reduksi kekuatan

Daftar Gambar

Gambar 3.1 Diagram Alur Metodologi Pengerjaan Tugas Akhir	23
Gambar 3.2 Grafik Respons Spektrum	30
Gambar 3.3 Gaya geser dasar seismik per lantai.....	31
Gambar 3.4 Dimensi Bidang Plat.....	31
Gambar 3.5 Dimensi bidang plat.....	33
Gambar 3.6 Lebar efekti plat.....	34
Gambar 3.7 Momen-momen yang berpengaruh pada balok	40
Gambar 3.8 Momen kapasitas pada tumpuan	41
Gambar 3.9 Vu pada ujung-ujung balok	42
Gambar 3.10 Gaya geser desain untuk kolom (SNI 03-2847-2013 Gambar S21.5.4).....	47
Gambar 3.11 Gaya geser desain untuk kolom (SNI 03-2847-2013 Gambar s21.5.4)	48
Gambar 3.10 Efisiensi kelompok tiang	55
Gambar 4.1 Denah bangunan eksisting.....	61
Gambar 4.2 Plat tipe A.....	64
Gambar 4.3 Lebar efektif plat	64
Gambar 5.1 Detail lift Hitachi.....	72
Gambar 5.2 Kecepatan angin pada Kota Surabaya, Jawa Timur	74
Gambar 5.3 Pengaruh angin pada dinding	76
Gambar 5.4 Nilai S_1 , percepatan batuan dasar pada periode 1 detik (SNI 03-1726-2012)	80

Gambar 5.5 Nilai S_s , percepatan batuan dasar pada periode pandek (SNI 03-1726-2012).....	80
Gambar 5.6 Grafik respons spektrum design	84
Gambar 6.1 Grid Bangunan	87
Gambar 6.2 Frame Properties	87
Gambar 6.3 Tampak denah bangunan.....	88
Gambar 6.4 Tampak potongan melintang bangunan	88
Gambar 6.5 Tampak potongan memanjang bangunan.....	89
Gambar 6.6 Permodelan 3D bangunan gedung DPRD Kota Surabaya dengan bantuan SAP2000	89
Gambar 6.7 Input besaran massa pada SAP2000 v.14.....	90
Gambar 6.8 Gaya gempa arah X	91
Gambar 6.9 Gaya gempa arah Y	91
Gambar 6.10 Penenturan simpangan antar lantai.....	96
Gambar 7.1 Ketentuan pada analisa plat lantai	103
Gambar 7.2 Plat tipe A.....	104
Gambar 7.3 Plat satu arah tipa J	108
Gambar 7.4 Plat dua arah tipe A	111
Gambar 7.5 Denah penempatan tangga pada lantai dasar.....	121
Gambar 7.6 Denah tangga.....	122
Gambar 7.7 Dimensi injakan dan tanjakan anak tangga	123
Gambar 7.8 Permodelan tangga pada SAP2000v.14	125
Gambar 7.9 Momen M22 (Muy) yang terjadi pada plat tangga	126

Gambar 7.10 Momen M22 (Muy) yang terjadi pada plat bordes	126
Gambar 7.11 Tinggi efektif plat tangga	127
Gambar 7.12 Detail penulangan plat tangga	134
Gambar 7.13 Detail penulangan plat bordes	134
Gambar 7.14 Balok anak yang ditinjau.....	135
Gambar 7.15 Momen yang terjadi pada balok anak.....	135
Gambar 7.16 Geser yang terjadi pada balok anak.....	136
Gambar 7.17 Torsi yang terjadi pada balok anak.....	136
Gambar 7.18 Detail tulangan untuk penyaluran kait standar ...	141
Gambar 7.19 Detail penulangan balok anak	141
Gambar 8.1 Portal yang ditinjau; (a) portal pada bidang x-z; (b) portal pada bidang y-z	143
Gambar 8.2 Lokasi portal yang ditinjau.....	144
Gambar 8.3 Gaya aksial yang didapatkan dari SAP2000 dari kombinasi beban gempa	145
Gambar 8.4 Gaya aksial yang didapatkan dari SAP2000 dari kombinasi ultimate 1,2D + 1,6L.....	146
Gambar 8.9 Gaya momen yang didapatkan dari SAP2000 dari kombinasi beban gempa	146
Gambar 8.10 Gaya momen yang didapatkan dari SAP2000 dari kombinasi beban ultimate 1,2D + 1,6L	146
Gambar 8.11 Detail tulangan untuk penyaluran kait standar ...	159
Gambar 8.12 Detail penulangan balok.....	159
Gambar 8.13 Kolom yang ditinjau.....	160
Gambar 8.14 Gaya aksial yang didapatkan dari SAP2000	161

Gambar 8.15 Gaya M _x yang didapatkan dari SAP2000	161
Gambar 8.16 Gaya geser ultimate desain dari SAP2000	161
Gambar 8.17 Diagram interaksi kolom desain.....	162
Gambar 8.18 Penulangan kolom pada SPColoumn	163
Gambar 8.19 Gaya aksial atas kolom (frame-1694)	164
Gambar 8.20 Diagram interaksi kolom atas dan bawah	165
Gambar 8.21 Portal bidang memanjang bangunan yang ditinjau	171
Gambar 9.1 Denah Rencana Pondasi	175
Gambar 9. 4 Bidang kritis geser satu arah akibat kolom	189
Gambar 9. 5 Bidang kritis geser dua arah akibat kolom	190
Gambar 9. 6 Bidang kritis geser dua arah akibat pancang.....	191
Gambar 10.1 Besi Tulangan konvensional	201
Gambar 10.2 Pekerjaan pengukuran	202
Gambar 10.3 Scaffolding	203
Gambar 10.4 Penyusunan scaffolding.....	204
Gambar 10.5 Bekisting plat dan balok.....	205
Gambar 10.6 Pengecoran plat dan balok.....	206
Gambar 10.7 Peralatan yang digunakan.....	208

Daftar Tabel

Tabel	2.1 Faktor untuk sistem penahan gaya gempa.....	10
Tabel	2.2 Kategori Risiko.....	26
Tabel	2.3 Faktor Keutamaan Gempa.....	26
Tabel	2.4 Kategori desain seismik berdasarkan parameter respon percepatan pada periode pendek.....	27
Tabel	2.5 Kategori desain seismik berdasarkan parameter respon percepatan pada periode 1 detik.....	27
Tabel	2.6 Nilai parameter pendekatan nilai C_t dan x	28
Tabel	2.7 Koefisien C_u	28
Tabel	2.8 Nilai koefisien modifikasi respon (R)	29
Tabel	3.1 Tebal minimum plat saat arah bila lendutan tidak dihitung.....	32
Tabel	3.2 Tebal minimum balok bila lendutan tidak dihitung	36
Tabel	3.3 Syarat pelindung beton.....	36
Tabel	3.4 Panjang penyaluran batang ulir dan kawat ulir	44
Tabel	4.1 Tabel rekapitulasi <i>preliminary design</i>	69
Tabel	5.1 Spesifikasi lift hitachi	72
Tabel	5.2 Beban hidup.....	73
Tabel	5.3 klasifikasi ketertutupan bangunan	74
Tabel	5.4 Koefisien tekan dinding (C_p)	76
Tabel	5.5 Rekapitulasi tekanan angin.....	77
Tabel	5.6 Rekapitulasi beban angin.....	77
Tabel	5.7 Rekapitulasi beban angin yang terjadi.....	78

Tabel	5.8 Data tanah JL. Yos Sudarso Surabaya	79
Tabel	5.9 Koefisien situs, Fa.....	81
Tabel	5.10 Koefisien situs, Fv	82
Tabel	5.11 KDS berdasarkan RS periode 1 detik.....	83
Tabel	5.12 Respons spektrum design.....	84
Tabel	6.1 Nilai parameter perioda pendekatan C_t dan x	92
Tabel	6.2 Koefisien untuk batas atas pada perioda yang dihitung	93
Tabel	6.3 Modal load participation ratio	93
Tabel	6.4 Perioda struktur pada modal di program SAP2000 v.14.....	94
Tabel	6.5 Tabel base reaction di program SAP2000 v.14....	95
Tabel	6.6 Simpangan antar lantai ijin, Δ_i	97
Tabel	6.7 Kontrol simpangan antar lantai portal gempa dinamis arah X	98
Tabel	6.8 Kontrol simpangan antar lantai portal gempa dinamis arah Y	98
Tabel	7.1 Berat mati tambahan	101
Tabel	7.2 Berat hidup	102
Tabel	7.3 Rumus momen plat	102
Tabel	7.4 Rekapitulasi momen tipe plat.....	106
Tabel	7.5 Rekapitulasi plat.....	114
Tabel	8.1 Tabel momen terjadi pada balok induk frame 1784	146
Tabel	8.2 Kebutuhan sengkang pada joint	172
Tabel	9.1 Daya dukung tanah.....	177

BAB I

PENDAHULUAN

1.1 Latar Belakang

Indonesia menempati zona tektonik yang sangat aktif karena tiga lempeng besar dunia dan sembilan lempeng kecil lainnya saling bertemu dan membentuk jalur-jalur pertemuan lempeng. Hal ini menyebabkan Indonesia sering dilanda oleh gempa bumi. Gempa bumi dapat mengakibatkan kerugian yang timbul berupa kerugian materi, kerusakan infrastruktur dan bangunan, serta kemungkinan jatuhnya korban jiwa. Kondisi inilah yang menuntut konstruksi bangunan harus memenuhi kaidah bangunan tahan gempa agar bangunan tidak mengalami keruntuhan.

Bangunan Gedung DPRD Kota Surabaya memiliki 7 lantai ditambah dengan basement, memakai atap perisai genteng dengan konstruksi rangka dari baja. Bangunan ini akan dihitung ulang dengan meniadakan basement, dan merubah atap menjadi konstruksi pelat datar dari beton bertulang. Dengan berkurangnya beban-beban pada bangunan, maka diharapkan akan diperoleh ukuran-ukuran penampang dan volume penulangan pada balok-balok dan kolom-kolom bangunan yang lebih hemat.

Gedung ini termasuk ke dalam kategori risiko II karena termasuk gedung perkantoran. Metoda perhitungan desain pada struktur bangunan tetap dipertahankan pada Sistem Rangka Pemikul Momen Khusus (SRPMK).

Di dalam perhitungan desain, akan dilakukan pemodelan struktur dengan SAP2000, sedangkan beban-beban ditetapkan berdasarkan SNI 1727-2013. Dari gaya-gaya dalam yang dihasilkan akan dapat dihitung kebutuhan penulangan pada balok-balok, kolom-kolom rangka portal bangunan, berikut sambungan balok-kolomnya. Perhitungan desain juga dilakukan sampai pada sistem pondasi yang diperlukan.

1.2 Rumusan Masalah

Permasalahan pokok yang terkait dengan perancangan modifikasi struktur gedung perkuliahan di Surabaya menggunakan Sistem Rangka Pemikul Momen Khusus (SRPMK) adalah:

1. Bagaimana merencanakan sistem struktur bangunan yang efisien untuk gedung DPRD Kota Surabaya dalam menahan beban gravitasi, beban layan, dan beban gempa yang bekerja?
2. Bagaimana cara menghitung dan merencanakan dimensi serta penulangan struktur bangunan gedung DPRD Kota Surabaya dengan Sistem Rangka Pemikul Momen Khusus (SRPMK)?
3. Bagaimana merencanakan struktur bangunan dengan menggunakan beban gempa yang dihitung dengan menggunakan metode Respons Spectrum?
4. Bagaimana menggambar hasil perencanaan menjadi bentuk gambar kerja dengan program bantu AutoCAD?
5. Bagaimana membuat spesifikasi teknis dan metode pelaksanaan untuk pekerjaan pelat-pelat lantai dan atap?

1.3 Batasan Masalah

Batasan masalah pada desain struktur gedung DPRD Kota Surabaya ini adalah:

1. Beban gempa dihitung dengan menggunakan analisis Spectrum Respons yang berlaku di Indonesia.
2. Perhitungan mekanika struktur untuk mendapatkan gaya-gaya dalam (bidang M, D, dan N) menggunakan program SAP2000.
3. Perencanaan gedung ini hanya meninjau struktur saja, tidak meninjau analisa biaya, atap rangka baja, *shearwall*, *basement*, manajemen konstruksi, mechanical electrical maupun segi arsitektural.
4. Peraturan yang digunakan adalah SNI 03-2847-2013, SNI 03-1726-2012, SNI 03-1727-2013.
5. Metode pelaksanaan yang ditinjau merupakan metode pelaksanaan hanya untuk pekerjaan pelat lantai dan atap saja.

1.4 Tujuan

1. Merencanakan komponen struktur bangunan yang mampu untuk memikul beban-beban yang akan dialami pada sepanjang umur bangunan, yang meliputi beban-beban gravitasi, angin, dan gempa.
2. Merencanakan dimensi dan penulangan struktur bangunan gedung DPRD Kota Surabaya dengan Sistem Rangka Pemikul Momen Khusus (SRPMK) dalam bentuk laporan perhitungan
3. Merencanakan struktur bangunan dengan menggunakan beban gempa yang dihitung dengan menggunakan metode Spectrum Respons
4. Mampu menggambar hasil perencanaan menjadi bentuk gambar kerja dengan program bantu AutoCAD
5. Membuat metode pelaksanaan dan tahap pekerjaan untuk pekerjaan pelat lantai dan atap.

1.5 Manfaat

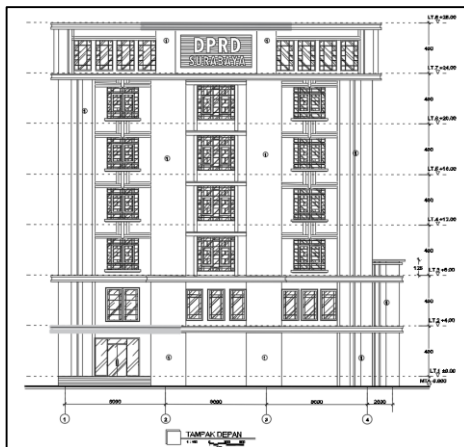
1. Mampu merencanakan struktur gedung bertingkat sesuai dengan Tata Cara Perencanaan Ketahanan Gempa untuk Struktur Bangunan Gedung dan Non-Gedung (SNI 1726-2012), Beton Struktural Bangunan Gedung (SNI 2847-2013) dengan pembebanan berdasarkan pada peraturan Beban Minimum untuk Perancangan Bangunan Gedung dan Struktur Lain (SNI 1727-2013).
2. Dapat menambah kemampuan dan wawasan secara lebih detail dalam tata-cara perencanaan struktur beton bertulang dengan Sistem Rangka Pemikul Momen Khusus (SRPMK), perencanaan dimensi elemen struktur dan detailing joint balok-kolom yang efisien.
3. Mampu menganalisa dan membuat gambar perencanaan sesuai perhitungan struktur.
4. Mampu membuat metode pelaksanaan pekerjaan plat yang baik dan efisien.

1.6 Data Proyek

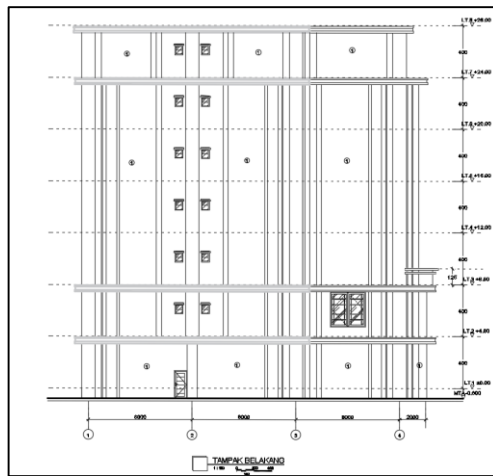
Data proyek untuk Tugas Akhir desain gedung perkuliahan ini sebagai berikut:

Nama Proyek	: Gedung DPRD Kota Surabaya
Alamat Proyek	: Jl. Yos Sudarso 18-22, Embong Kaliasin, Kec. Genteng, Surabaya
Pemilik Proyek	: DPRD Kota Surabaya
Konsultan	: PT. Sigma Rekatama Consulindo
Kontraktor	: CV. Tiara Multi Teknik
Struktur Atap	: Dak Beton
Struktur Bangunan	: Beton Bertulang

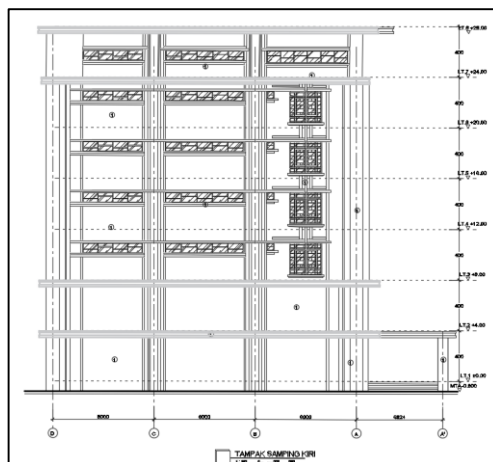
1.7 Gambar Bangunan



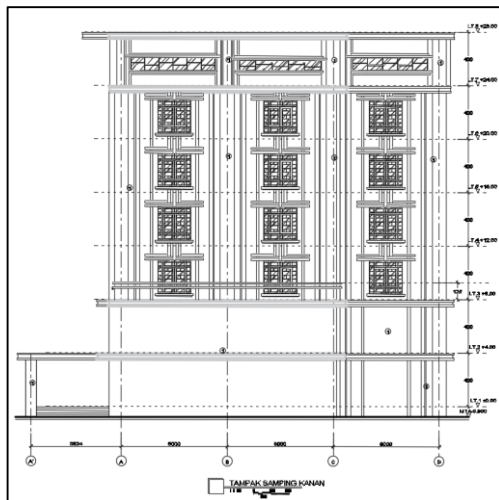
Gambar 1. 1 Tampak depan bangunan



Gambar 1. 2 Tampak belakang bangunan



Gambar 1. 3 Tampak samping kiri bangunan



Gambar 1. 4 Tampak samping kanan bangunan

BAB II

TINJAUAN PUSTAKA

2.1 Umum

Tinjauan pustaka berikut ini menjelaskan secara garis besar mengenai teori yang digunakan agar perencanaan struktur gedung dapat memenuhi kriteria kekuatan dan kelayakan yang dibutuhkan. Perencanaan tahan gempa pada umumnya didasarkan pada analisa elastic yang diberi faktor beban untuk simulasi kondisi ultimate. Kenyataan nya perilaku runtuh struktur bangunan pada saat gempa adalah pada saat kondisi inelastis. Dengan merencanakan suatu struktur dengan beban gempa, banyak aspek yang mempengaruhi diantaranya adalah periode bangunan. Periode bangunan itu sangat dipengaruhi oleh massa struktur serta kekakuan struktur tersebut.

Supaya memenuhi syarat kondisi elastis struktur bangunan pada saat gempa perlu mendapat jaminan bahwa Sistem Rangka Pemikul Momen yang digunakan dapat menahan gempa-gempa besar melalui proses pelehan sendi-sendi plastis. Apabila terjadi gempa ringan, bangunan tidak boleh mengalami kerusakan baik pada komponen struktural maupun komponen non strukturalnya. Apabila terjadi gempa sedang, bangunan boleh mengalami kerusakan pada komponen non strukturalnya, akan tetapi komponen strukturalnya tidak boleh mengalami kerusakan. Apabila terjadi gempa besar, bangunan boleh mengalami kerusakan pada komponen struktural maupun komponen non strukturalnya namun pada komponen struktural dibatasi tidak boleh pada kondisi runtuh.

Agar memenuhi unsur perencanaan struktur bangunan tahan gempa tersebut, maka pada saat gempa kelelahan yang terjadi hanya pada balok. Oleh karena itu kolom dan sambungan harus dirancang sedemikian rupa agar kedua komponen struktur tidak mengalami kelelahan ketika gempa terjadi, sehingga penghuni bangunan dapat menyelamatkan diri.

Adapun referensi yang digunakan dapat dilihat di tabel 2.1 di bawah ini:

Tabel 2.1 Referensi yang Digunakan

No	Referensi	Tentang
1	SNI 2847:2013	Tata Cara Perhitungan Struktur Beton Untuk Bangunan Gedung
2	SNI 1726:2012	Tata Cara Perencanaan Ketahanan Gempa Untuk Struktur Bangunan Gedung dan Non Gedung
3	SNI 1727:2013	Beban Minimum untuk Perancangan Bangunan Gedung dan Struktur lain
4	PBBI 1971	Peraturan Beton Bertulang Indonesia
5	Iswandi Imran & Fajar Hendrik	Perencanaan Lanjut Struktur Beton Bertulang

2.2 Perencanaan Bangunan Tahan Gempa

Perencanaan modifikasi pada gedung DPRD Kota Surabaya ini menggunakan Sistem Rangka Pemikul Momen Khusus (SRPMK) dengan letak bangunan yang berada pada zona gempa Surabaya dimana perancangan struktur gedung tahan gempa dengan menganalisis beban gempa menggunakan Spektrum Respons. Perancangan bangunan tahan gempa memiliki prinsip-prinsip desain filosofi, yaitu (Widodo,2007) ketentuan berikut :

1. Gempa kecil bangunan tidak boleh mengalami kerusakan.
2. Gempa menengah komponen struktural tidak boleh rusak, namun komponen non-struktural diijinkan mengalami kerusakan.

3. Gempa kuat komponen struktural boleh mengalami kerusakan, namun bangunan tidak boleh mengalami keruntuhan

2.3 Sistem Rangka Pemikul Momen

Menurut (Iswandi dan Fajar, 2016), Sistem Rangka Pemikul Momen (SRPM) adalah sistem rangka ruang dimana komponen-komponen struktur balok, kolom dan joint-joinnya menahan gaya-gaya yang bekerja melalui aksi lentur, geser dan aksial. Sistem Rangka Pemikul momen dapat dibagi menjadi :

1. SRPMB

Pada SRPMB, struktur direncanakan tidak terjadi sendi plastis pada balok ketika terjadi gempa. Pada SRPMB tidak ada detailing khusus pada elemen-elemen struktur. Karena memiliki daktilitas terbatas, sehingga hanya cocok digunakan pada bangunan yang memiliki maksimal Kategori Desain Seismik (selanjutnya ditulis KDS) B.

2. SRPMM

Pada SRPMM, struktur direncanakan terbentuk sendi plastis pada saat terjadi gempa namun bangunan diharapkan sudah runtuh atau gagal sebelum semua sendi plastis terjadi. Pada SRPMM sudah mulai ada detailing khuss untuk elemen-elemen struktur. Karena memiliki daktilitas sedang, maka dapat digunakan pada bangunan yang memiliki maksimal KDS C.

3. SRPMK

Pada SRPMK, struktur direncanakan terbentuk sendi plastis pada seluruh balok pemikul gempa sebelum terjadi keruntuhan. Pada SRPMK memiliki detailing yang lebih ketat pada balok, kolom dan joint balok-kolom agar mencapai kondisi struktur yang diharapkan. Karena memiliki daktilitas penuh, maka dapat digunakan pada bangunan yang memiliki KDS D, E dan F.

Pada perhitungan SNI Gempa 1726-2012 ketiga jenis sistem rangka dibedakan juga oleh koefisien modifikasi respons (R_a), faktor kuat lebih sistem, dan faktor pembesaran defleksi. Perbedaan tersebut dapat dilihat pada gambar di bawah ini.

Tabel 2.1 Faktor untuk sistem penahan gaya gempa

Sistem penahan-gaya seismik	Koefisien modifikasi respons, R^a	Faktor kuat-lebih sistem, Ω_0^b	Faktor pembesaran defleksi, C_d^c	Batasan sistem struktur dan batasan tinggi struktur, h_n (m) ^c					
				Kategori desain seismik					
				B	C	D ^d	E ^d	F ^e	
24 Dinding rangka ringan dengan panel geser dari semua material lainnya	2½	2½	2½	TB	TB	10	TB	TB	
25 Rangka baja dengan bresing terkekang terhadap tekuk	8	2½	5	TB	TB	48	48	30	
26 Dinding geser pelat baja khusus	7	2	6	TB	TB	48	48	30	
C. Sistem rangka pemikul momen									
1. Rangka baja pemikul momen khusus	8	3	5½	TB	TB	TB	TB	TB	
2. Rangka batang baja pemikul momen khusus	7	3	5½	TB	TB	48	30	TI	
3. Rangka baja pemikul momen menengah	4½	3	4	TB	TB	$10^{4/7}$	TI ^f	TI ^f	
4. Rangka baja pemikul momen biasa	3½	3	3	TB	TB	TI ^f	TI ^f	TI ^f	
5. Rangka beton bertulang pemikul momen khusus	8	3	5½	TB	TB	TB	TB	TB	
6. Rangka beton bertulang pemikul momen menengah	5	3	4½	TB	TB	TI	TI	TI	
7. Rangka beton bertulang pemikul momen biasa	3	3	2½	TB	TI	TI	TI	TI	
8. Rangka baja dan beton komposit pemikul momen khusus	8	3	5½	TB	TB	TB	TB	TB	
9. Rangka baja dan beton komposit pemikul momen menengah	5	3	4½	TB	TB	TI	TI	TI	

2.3.1 Sistem Rangka Pemikul Momen Khusus

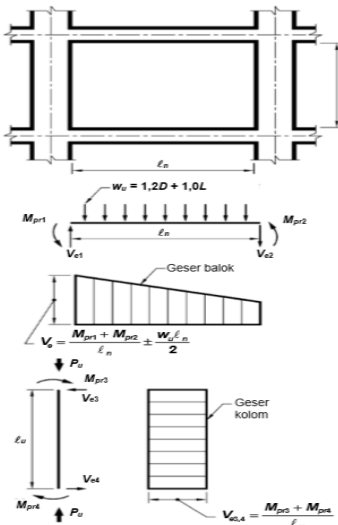
Pada SNI 2847-2013 Persyaratan Beton Struktural untuk Bangunan Gedung pasal 21.5 dijelaskan komponen struktur lentur rangka momen khusus. Dalam persyaratan ini berlaku untuk rangka momen khusus yang membentuk bagian sistem penahan gaya gempa dan dipropsikan terutama untuk menahan lentur. Komponen struktur rangka ini juga harus memenuhi kondisi-kondisi sebagai berikut:

1. Gaya tekan aksial terfaktor pada komponen struktur, P_u , tidak boleh melebihi $AgFc/10$.
2. Bentang bersih untuk komponen struktur, l_n , tidak boleh kurang dari 4 kali tinggi efektifnya.
3. Lebar komponen, b_w , tidak boleh kurang dari yang lebih kecil dari $0,3h$ dan 250mm .
4. Lebar komponen struktur, b_w , tidak boleh melebihi lebar komponen struktur penumpu, c_2 , ditambah suatu jarak pada

mmasing-masing sisi komponen struktur penumpu yang sama dengan yang lebih kecil dari (a) dan (b) :

- a. Lebar komponen struktur penumpu, c_2 , dan
- b. 0,75 kali dimensi keseluruhan komponen struktur penumpu, c_1

Pada SRPMK untuk gaya geser desain, V_e , harus ditentukan dari peninjauan gaya statis pada bagian komponen struktur antara muka-muka joint. Harus diasumsikan bahwa momen-momen dengan tanda berlawanan yang berhubungan dengan kekuatan momen lentur yang mungkin, M_{pr} , bekerja pada muka-muka joint dan bahwa komponen struktur dibebani dengan beban gravitasi tributary sepanjang bentangnya.



Gambar 2.1 Gaya Geser rencana pada balok untuk SRPMK (SNI 2847-2013: Gambar s21.5.4)

2.3.2 Identifikasi Sistem Rangka Pemikul Momen Khusus

Untuk mengidentifikasi suatu bangunan menggunakan sistem rangka pemikul momen khusus, terlebih dahulu mencari nilai berikut:

1. Menghitung data tanah dari letak bangunan yang telah diperoleh
2. Menentukan kelas situs tanah dari nilai SPT rata-rata sesuai ketentuan

Tabel 2.2 Klasifikasi Situs

Kelas situs	\bar{V}_s (m/detik)	\bar{N} atau \bar{N}_{cb}	\bar{s}_u (kPa)
SA (batuan keras)	>1500	N/A	N/A
SB (batuan)	750 sampai 1500	N/A	N/A
SC (tanah keras, sangat padat dan batuan lunak)	350 sampai 750	>50	≥100
SD (tanah sedang)	175 sampai 350	15 sampai 50	50 sampai 100
SE (tanah lunak)	< 175	<15	< 50
Atau setiap profil tanah yang mengandung lebih dari 3 m tanah dengan karakteristik sebagai berikut :			
1. Indeks plastisitas, $PI > 20$,			
2. Kadar air, $w \geq 40\%$,			
3. Kuat geser niralir $s_u < 25$ kPa			

3. Mencari nilai ζ_1 berdasarkan peta hazard gempa Indonesia
4. Menentukan koefisien situs periode 0,2 detik dan periode 1 detik

Tabel 2.3 Koefisien situs periode 0,2 detik (Fa)

Kelas situs	Parameter respons spektral percepatan gempa (MCE_R) terpetakan pada perioda pendek, $T=0,2$ detik, S_a				
	$S_a \leq 0,25$	$S_a = 0,5$	$S_a = 0,75$	$S_a = 1,0$	$S_a \geq 1,25$
SA	0,8	0,8	0,8	0,8	0,8
SB	1,0	1,0	1,0	1,0	1,0
SC	1,2	1,2	1,1	1,0	1,0
SD	1,6	1,4	1,2	1,1	1,0
SE	2,5	1,7	1,2	0,9	0,9
SF				SS ^b	

CATATAN:

(a) Untuk nilai-nilai antara S_a dapat dilakukan interpolasi linier

(b) SS= Situs yang memerlukan investigasi geoteknik spesifik dan analisis respons situs-spesifik, lihat 6.10.1

5. Menentukan parameter spektrum respon percepatan pada periode 0,2 detik (*SMS*) $SMS = FaSs$
6. Menentukan parameter spektrum respon percepatan pada periode 1 detik (*SM1*) $SMS = F vS1$
7. Parameter percepatan spectral desain untuk periode 0,2 detik $Sds = 2/3 S_{ms}$
8. Parameter percepatan spectral desain untuk periode 1 detik $Sd1 = 2/3 S_{m1}$
9. Menentukan kategori resiko dan faktor keutamaan gempa (I) struktur bangunan sesuai SNI 1726:2012 bisa dilihat pada tabel dibawah ini:

Tabel 2.4 Faktor Keutamaan Gempa (I)

Semua gedung dan struktur lain, kecuali yang termasuk dalam kategori risiko I,III,IV, termasuk, tapi tidak dibatasi untuk: <ul style="list-style-type: none"> - Perumahan - Rumah toko dan rumah kantor - Pasar - Gedung perkantoran - Gedung apartemen/ rumah susun - Pusat perbelanjaan/ mall - Bangunan industri - Fasilitas manufaktur - Pabrik 	II
--	----

Kategori Risiko	Faktor Keutamaan Gempa (<i>Ie</i>)
II	1,0

10. Menentukan kategori desain seismik berdasarkan parameter respon percepatan pada periode 0,2 detik

Tabel 2.5 Kategori desain siemik berdasarkan parameter respon percepatan pada periode pendek

Nilai S_{DS}	Kategori risiko	
	I atau II atau III	IV
$S_{DS} < 0,167$	A	A
$0,167 \leq S_{DS} < 0,33$	B	C
$0,33 \leq S_{DS} < 0,50$	C	D
$0,50 \leq S_{DS}$	D	D

11. Menentukan kategori desain seismik berdasarkan parameter respon percepatan pada periode 1 detik

Tabel 2.6 Kategori desain seismik berdasarkan parameter respon percepatan pada periode 1 detik

Nilai S_{D1}	Kategori risiko	
	I atau II atau III	IV
$S_{D1} < 0,167$	A	A
$0,067 \leq S_{D1} < 0,133$	B	C
$0,133 \leq S_{D1} < 0,20$	C	D
$0,20 \leq S_{D1}$	D	D

Syarat bangunan agar dapat direncanakan dengan SRPMK ialah harus memenuhi kategori desain seismik D.

12. Kemudian untuk menentukan besar periode (T) pada bangunan

Dimana:

h_n = tinggi bangunan (m)

$$C_t = 0,0466$$

x = 0,9

Tabel 2.7 Nilai parameter pendekatan nilai Ct dan x

Tipe struktur	C_t	x
Sistem rangka pemikul momen di mana rangka memikul 100 persen gaya gempa yang disyaratkan dan tidak dilingkupi atau dihubungkan dengan komponen yang lebih kaku dan akan mencegah rangka dari defleksi jika dikenai gaya gempa:		
Rangka baja pemikul momen	0,0724 ^a	0,8
Rangka beton pemikul momen	0,0466 ^a	0,9
Rangka baja dengan bresing eksentris	0,0731 ^a	0,75
Rangka baja dengan bresing terkekang terhadap letek	0,0731 ^a	0,75
Semua sistem struktur lainnya	0,0488 ^a	0,75

13. Hitung koefisien untuk batasan atas pada periода yang dihitung (C_u)

Tabel 2.8 Koefisien Cu

Parameter Percepatan Respons Spektral Desain pada 1 Detik, SD1	Koefisien C_u
≥0,4	1,4
0,3	1,4
0,2	1,5
0,15	1,6
≤0,1	1,7

14. Cek nilai (T_c) periode fundamental struktur yang diperoleh dari program analisa struktur

$$\begin{array}{lll} \text{Jika } T_a > C_u \cdot T_a & \rightarrow & T = C_u \cdot T_a \\ \text{Jika } T_a < T_c < C_u \cdot T_a & \rightarrow & T = T_c \\ \text{Jika } T_c < T_a & \rightarrow & T = T_a \end{array}$$

15. Menentukan nilai koefisien modifikasi respon (R) sesuai SNI 1726:2012 diuraikan pada tabel dibawah ini :

Tabel 2.9 Nilai koefisien modifikasi respon (R)

Sistem penahan-gaya seismik	Koefisien modifikasi respons, R^a	Faktor kuat-lebih sistem, Ω_j^{ε}	Faktor pembesaran defleksi, C_d^b	Batasan sistem struktur dan batasan tinggi struktur, h_g (m) ^c			
				Kategori desain seismik			
				B	C	D ^d	E ^e
24. Dinding rangka ringan dengan panel geser dari semua material lainnya	2½	2½	2½	TB	TB	10	TB
25. Rangka baja dengan bresing terkekang terhadap tekuk	8	2½	5	TB	TB	48	48
26. Dinding geser pelat baja khusus	7	2	6	TB	TB	48	48
C. Sistem rangka pemikul momen							
1. Rangka baja pemikul momen khusus	8	3	5½	TB	TB	TB	TB
2. Rangka batang baja pemikul momen khusus	7	3	5½	TB	TB	48	30
						TI	

16. Menghitung koefisien respons seismik

$$C_s = \frac{S_{DS}}{\left(\frac{R}{I_e}\right)} \quad \dots \dots \dots \quad (2-2)$$

S_{DS} = Parameter percepatan spektrum desain dalam rentang perioda pendek

R = Faktor modifikasi respons

I_e = Faktor keutamaan gempa

17. Menentukan T_0 dan T_s

$$T_0 = 0,2 \times \frac{S_{D1}}{S_{DS}} \quad \dots \dots \dots \quad (2-3)$$

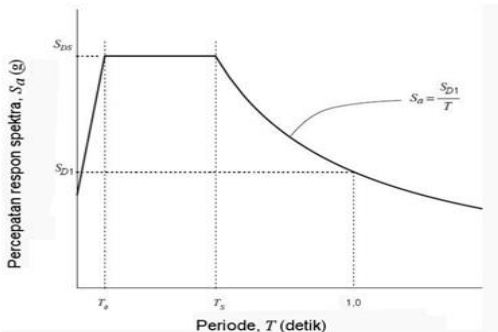
18. Membuat respons spektrum gempa

- Untuk perioda lebih besar dari atau sama dengan T_0 dan lenih kecil atau sama dengan T_s , spectrum respons percepatan desain SNI 1726:2012
- Untuk perioda lebih besar dari T_s , spektrum respons percepatan desain:

- Untuk periode lebih besar dari atau sama dengan T_0 dan lebih kecil atau sama dengan T_s , spectrum respons percepatan desain SNI 1726:2012

- Untuk perioda lebih besar dari T_s , spektrum respons percepatan desain:

$$S_a = \frac{S_{D1}}{T} \quad \dots \dots \dots \quad (2-6)$$



Gambar 2.2 Respons Spektrum

Setelah membuat grafik respon spektrum, hasilnya perlu dicek di website puskim apakah hasilnya sesuai dengan website, apabila tidak sesuai maka perlu dilakukan pengecekan perhitungan respon spektrum.

19. Menghitung gaya geser dasar seismik (V)

C_s = Keterangan Koefisien respon seismik

W_t = Berat seismik efektif bangunan (Beban mati (D) dan hidup (L))

Koefisien respon seismic CS ditentukan dengan persamaan berikut

$$C_S = \frac{S_{DS}}{\frac{R}{l_p}} \quad \dots \dots \dots \quad (2-8)$$

Keterangan:

S_{DS} = parameter percepatan spektrum desain dalam rentang perioda pendek

R = faktor modifikasi respons

I_e = faktor keutamaan gempa

Tabel 2.10 Faktor keutamaan gempa

Kategori risiko	Faktor keutamaan gempa, I_e
I atau II	1,0
III	1,25
IV	1,50

Nilai C_s tidak perlu melebihi

dan C_s tidak harus kurang dari $C_s = 0,004 S_{DS} I_e \geq 0,01$

2.4 Strong-Column/weak-beam

Oleh (Iswandi dan Fajar, 2016) konsep perencanaan desain kolom kuat balok lemah atau yang lebih dikenal dengan istilah *strong column weak beam concept* adalah salah satu cara inovasi desain struktur dengan cara membuat sistem struktur yang fleksibel yang mampu berdeformasi saat terjadi gempa (memiliki daktilitas yang tinggi) pada jenis perencanaan SRPMK (Sistem Rangka Pemikul Momen Khusus). Untuk mendapatkan struktur yang bersifat duktail. Keruntuhan pada balok pada dasarnya menghasilkan perilaku yang lebih duktail dibandingkan perilaku keruntuhan pada kolom. Oleh karena itu, keruntuhan pada kolom sebaiknya dihindari dan dipertemuannya dengan elemen balok. Elemen struktur kolom harus dibuat lebih kuat daripada elemen struktur balok (*Strong column weak beam*).

Faktor reduksi gaya gempa (R) diambil sebesar 8. Hal ini disebabkan karena struktur SPRMK memiliki sifat yang fleksibel dengan daktilitas yang tinggi, sehingga bisa direncanakan dengan gaya gempa rencana yang minimum. Namun kekuatan dan kekakuan dari struktur juga harus diperhatikan untuk mampu menahan beban rencana, baik beban gravitasi maupun gempa.

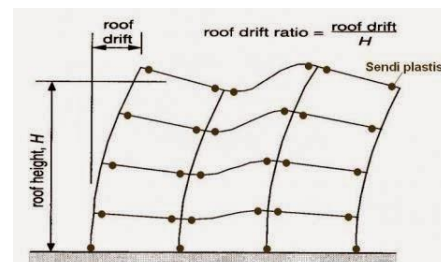
Berikut beberapa ketentuan SRPMK:

1. Tulangan sengkang dipasang dengan rapat terutama pada bagian struktur yang mengalami kelelahan seperti hubungan balok-kolom untuk mencegah keruntuhan geser.
2. Pada analisa kekuatan geser pada balok atau kolom, kekuatan geser dari beton (V_c) diabaikan terutama pada balok yang mengalami gaya aksial kecil, sehingga hanya tulangan saja yang menahan gaya geser.
3. Lokasi dan pendetailan splice untuk mencegah keruntuhan akibat splice.

Respon yang bersifat duktail diharapkan terjadi pada balok, dan pada saat yang sama **tidak boleh terjadi keruntuhan geser**.

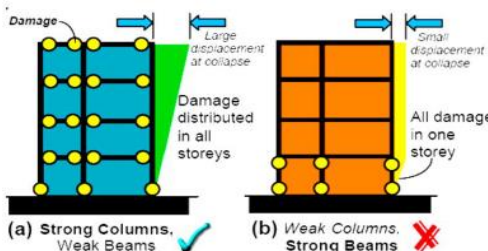
Keruntuhan geser pada kolom, sangat fatal bagi struktur karena kolom pada satu lantai menumpu semua lantai di atasnya. Dalam ketentuan SRPMK, keruntuhan geser dihindari dengan pendekatan desain kapasitas.

Kapasitas disain dalam SRPMK “**kolom kuat balok lemah**” digunakan untuk memastikan tidak terjadinya sendi plastis pada kolom selama gempa terjadi. Konsep mekanis keruntuhan ini disebut mekanisme pergoyangan balok (*beam side sway mechanism*) seperti ditunjukkan pada Gambar berikut.



Gambar 2. 2 Beam side sway mechanism

Mekanisme sendi plastis terbentuk di ujung-ujung balok dan di dasar kolom bawah. Beberapa persyaratan detailing SRPMK (SNI 2847:2013 Pasal 21.5) pada dasarnya diformulasikan dengan menerapkan konsep desain kapasitas. Sebagai contoh dapat dilihat pada perencanaan Strong-Column/Weak-Beam pada gambar dibawah ini:



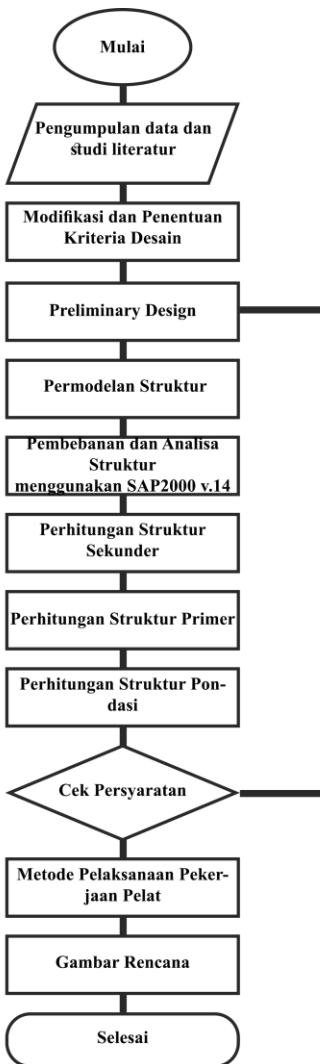
Gambar 2. 3 Mekanisme Strong Coloumn Weak Beam

Pada saat struktur mendapat gaya lateral gempa, distribusi kerusakan sepanjang ketinggian bangunan bergantung pada distribusi *lateral story drift* (simpangan antar lantai). Jika struktur memiliki kolom yang lemah, simpangan antar lantai akan cenderung terpusat pada satu lantai (*soft story effect*). Sebaliknya jika kolom lebih kuat daripada balok (*strong column weak beam*), maka drift akan tersebar merata dan keruntuhan lokal di satu lantai dapat diminimalkan.

Kinerja struktur terhadap gempa memiliki beberapa masalah yang harus ditanggapi agar nilai keamanan lebih terjamin. Hubungan balok – kolom merupakan daerah rawan terhadap gaya lateral terutama gempa. Karena tempat tersebut merupakan daerah yang memiliki momen dan gaya geser yang besar yang dapat melelehkan struktur dan terjadi kegagalan.

BAB III

METODOLOGI



Gambar 3.1 Diagram Alur Metodologi Pengerjaan Tugas Akhir

3.1 Pengumpulan Data

Pengumpulan dan pencarian data untuk keperluan desain gedung, meliputi:

1. Gambar arsitektur dan gambar struktur bangunan sebagaimana terlampir.
2. Data tanah untuk perencanaan sebagaimana terlampir.

3.2 Studi Literatur

Mempelajari literatur yang berkaitan dengan perancangan dan peraturan-peraturan yang dipakai pada perencanaan struktur gedung, antara lain:

1. Badan Standarisasi Nasional. 2013. Persyaratan Beton Struktural untuk Bangunan Gedung (SNI 03-2847-2013).
2. Badan Standarisasi Nasional. 2012. Tata Cara Perencanaan Ketahanan Gempa untuk Struktur Bangunan Gedung dan Non-Gedung (SNI 03-1726-2012).
3. Badan Standarisasi Nasional. 2013. Beban minimum untuk Perancangan Bangunan Gedung dan Struktur Lain (SNI 03-1727-2013).

3.3 Penentuan Kriteria Desain

Desain ulang gedung DPRD kota Surabaya ini berdasarkan SNI 03-1726-2012 tentang tata cara perencanaan ketahanan gempa untuk struktur bangunan gedung dan non gedung, dengan data sebagai berikut:

Tipe bangunan : Gedung perkantoran (Kategori risiko II)

Klasifikasi Situs Tanah : Tanah Lunak

Kategori Desain Seismik : D

Untuk itu sistem struktur harus didesain menggunakan penahan beban lateral yang memenuhi persyaratan detailing khusus atau memiliki tingkat daktilitas penuh, sehingga gedung

DPRD Kota Surabaya ini didesain menjadi struktur dengan sistem SRPMK.

3.4 Penentuan Sistem Rangka Pemikul Momen Khusus

Untuk penentuan suatu bangunan menggunakan sistem rangka pemikul momen khusus, terlebih dahulu mencari nilai berikut:

1. Menghitung data tanah dari letak bangunan yang telah diperoleh.
2. Menentukan kelas situs tanah dari nilai SPT rata-rata sesuai ketentuan.
3. Mencari nilai 1 berdasarkan peta hazzard gempa Indonesia.
4. Menentukan koefisien situs periode 0,2 detik dan periode 1 detik.
5. Menentukan parameter spektrum respon percepatan pada periode 0,2 detik (S_{MS}) $S_{MS} = F_a S_s$.
6. Menentukan parameter spektrum respon percepatan pada periode 1 detik (S_{M1}) $S_{MS} = F_v S_1$.
7. Parameter percepatan spectral desain untuk periode 0,2 detik $S_{DS} = 2/3 S_{MS}$.
8. Parameter percepatan spectral desain untuk periode 1 detik $S_{D1} = 2/3 S_{M1}$.
9. Menentukan kategori resiko dan faktor keutamaan gempa (I) struktur bangunan sesuai SNI 1726:2012 bisa dilihat pada tabel dibawah ini:

Tabel 3.1 Kategori Risiko

Semua gedung dan struktur lain, kecuali yang termasuk dalam kategori risiko I, II, III, IV, termasuk, tapi tidak dibatasi untuk:	
<ul style="list-style-type: none"> - Perumahan - Rumah toko dan rumah kantor - Pasar - Gedung Perkantoran - Gedung Apartemen/ rumah susun - Pusat perbelanjaan/ mall - Bangunan Industri - Fasilitas manufaktur - Pabrik 	II

Tabel 3.2 Faktor Keutamaan Gempa

Kategori Risiko	Faktor Keutamaan Gempa <i>(Ie)</i>
II	1,0

10. Menentukan kategori desain seismik berdasarkan parameter respon percepatan pada periode 0,2 detik.

Tabel 3.3 Kategori desain seismik berdasarkan parameter respon percepatan pada periode pendek

Nilai S _{DS}	Kategori Risiko	
	I atau II atau III	IV
S _{DS} < 0,167	A	A
0,167 ≤ S _{DS} < 0,33	B	C
0,33 ≤ S _{DS} < 0,50	C	D
0,50 ≤ S _{DS}	D	D

11. Menentukan kategori desain seismik berdasarkan parameter respon percepatan pada periode 1 detik.

Tabel 3.4 Kategori desain seismik berdasarkan parameter respon percepatan pada periode 1 detik

Nilai S _{DI}	Kategori Risiko	
	I atau II atau III	IV
S _{DI} < 0,067	A	A
0,067 ≤ S _{DI} < 0,133	B	C
0,133 ≤ S _{DI} < 0,20	C	D
0,20 ≤ S _{DI}	D	D

12. Kemudian untuk menentukan besar periode (T) pada suatu bangunan sesuai

Dimana:

h_n = tinggi bangunan (m)

$$C_t = 0,0466$$

$$x = 0,9$$

Tabel 3.5 Nilai parameter pendekatan nilai C_t dan x

Tipe Struktur	C_t	x
Sistem rangka pemikul momen di mana rangka memikul 100 persen gaya gempa yang disyaratkan dan tidak dilingkup atau dihubungkan dengan komponen yang lebih kaku dan akan mencegah rangka dari defleksi jika dikenai gaya gempa:		
Rangka baja pemikul momen	0,0724 ^a	0,8
Rangka beton pemikul momen	0,0466 ^a	0,9
Rangka baja dengan bresing eksentris	0,0731 ^a	0,75
Rangka baja dengan bresing terkekang terhadap tekuk	0,0731 ^a	0,75
Semua sistem struktur lainnya	0,0488 ^a	0,75

13. Hitung koefisien untuk batasan atas pada perioda yang dihitung (C_u)

Tabel 3.6 Koefisien C_u

Parameter Percepatan Respons Spektral Desain pada 1 Detik, SD1	Koefisien C_u
$\geq 0,4$	1,4
0,3	1,4
0,2	1,5
0,15	1,6
$\leq 0,1$	1,7

14. Cek nilai (T_c) periode fundamental struktur yang diperoleh dari program analisa struktur

$$\begin{array}{llll} \text{Jika} & T_a > C_u \cdot T_a & \rightarrow & T = C_u \cdot T_a \\ \text{Jika} & T_a < T_c < C_u \cdot T_a & \rightarrow & T = T_c \\ \text{Jika} & T_c < T_a & \rightarrow & T = T_a \end{array}$$

15. Menentukan nilai koefisien modifikasi respon (R) sesuai SNI 1726:2012 diuraikan pada tabel dibawah ini :

Tabel 3.7 Nilai koefisien modifikasi respon (R)

Sistem penahan gaya seismik	Koefisien modifikasi respons, Ra	Faktor kuat lebih sistem ,	Faktor pembebasan defleksi,	Batasan sistem struktur dan batasan tinggi struktur, hn				
				Kategori desain seismik				
				B	C	D	E	F
Rangka beton bertulang pemikul momen khusus	8	3	51/2	TB	TB	TB	TB	TB

- #### 16. Menghitung koefisien respons seismik

$$C_s = \frac{s_{DS}}{\left(\frac{R}{I_p}\right)} \quad \dots \dots \dots \quad (3-2)$$

SDS = parameter percepatan spektrum desain dalam rentang perioda pendek

R = faktor modifikasi respons

I_e = faktor keutamaan gempa

17. Menentukan T_0 dan T_s

$$T_0 = 2,0 \times \frac{S_{D1}}{S_{DS}}$$

$$T_s = \frac{S_{D1}}{S_{DS}}$$

18. Membuat respons spektrum gempa

- Untuk perioda lebih besar dari atau sama dengan T_0 dan lenih kecil atau sama dengan T_s , spectrum respons percepatan desain SNI 1726:2012
- Untuk perioda lebih besar dari T_s , spektrum respons percepatan desain:

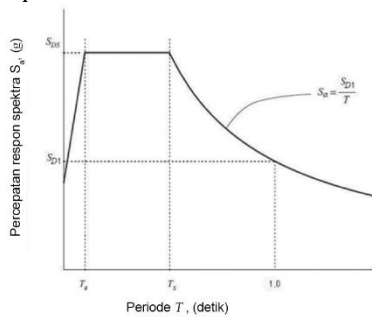
$$S_a = S_{DS} \left(0,4 + 0,6 \frac{T}{T_0} \right) \quad \dots \dots \dots \quad (3-3)$$

- Untuk perioda lebih besar dari atau sama dengan T_0 dan lenih kecil atau sama dengan T_s , spectrum respons percepatan desain SNI 1726:2012

$$S_a = S_{DS}$$

- Untuk perioda lebih besar dari T_s , spektrum respons percepatan desain:

$$S_a = \frac{S_{D1}}{T} \quad \dots \dots \dots \quad (3-4)$$



Gambar 3.2 Grafik Respons Spektrum

- #### 19. Menghitung gaya geser dasar seismik (V)

C_s = Keterangan koefisien respon seismik

W_t = Berat seismik efektif bangunan

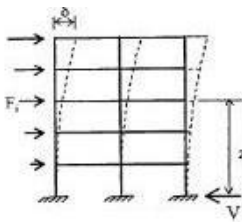
20. Menghitung gaya geser dasar seismik per lantai (F)

$$F_i = \frac{W_i \cdot z_i}{\sum_{i=1}^n W_i \cdot z_i} \times V \quad \dots \dots \dots (3-6)$$

W_i = berat lantai tingkat ke- i termasuk beban hidup yang sesuai

Z_i = ketinggian lantai tingkat ke- i

n = nomor lantai tingkat palin atas



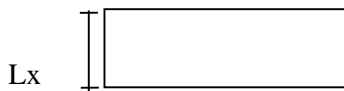
Gambar 3.3 Gaya geser dasar seismik per lantai

3.5 Preliminary

3.5.1 Preliminary Ketebalan Plat

3.5.1.1 Preliminary untuk Plat Satu Arah

Plat satu arah terjadi apabila $Ly/Lx > 2$; dimana Ly = bentang pendek dan Ly = bentang panjang yang digambarkan sebagai berikut:



Gambar 3.4 Dimensi Bidang Plat

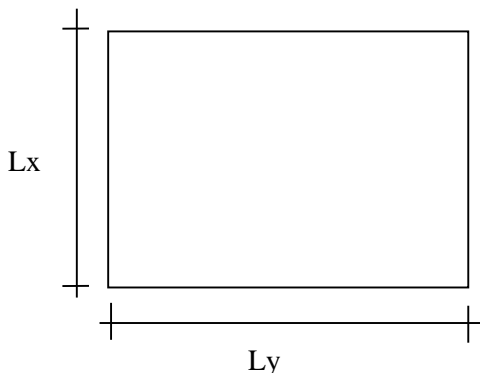
Tebal minimum berdasarkan SNI 03-2847-2013 Pasal 9.5.2.1 dan Tabel 9.5(a), untuk konstruksi satu arah yang tidak menumpu atau tidak disatukan dengan partisi atau konstruksi lain yang mungkin akan rusak akibat lendutan yang besar, kecuali bila perhitungan lendutan menunjukkan bahwa ketebalan yang lebih kecil dapat digunakan tanpa menimbulkan pengaruh yang merugikan.

Tabel 3.8 Tebal minimum plat saatu arah bila lendutan tidak dihitung

	Tebal minimum, h			
Komponen struktur	Tertumpu sederhana	Satu ujung menerus	Kedua ujung menerus	Kantilever
	Komponen struktur tidak menumpu atau tidak dihubungksn dengan partisi atau konstruksi lainnya yang mungkin rusak oleh lendutan yang besar			
Plat masif satu arah	L / 20	L / 24	L / 28	L / 10
Balok atau pelat rusuk satu-arah	L / 16	L / 18,5	L / 21	L / 8

3.5.1.2 Preliminary untuk plat dua arah

Plat dua arah terjadi apabila $Ly/Lx < 2$; dimana Lx = bentang pendek dan Ly = bentang panjang yang digambarkan sebagai berikut:



Gambar 3.5 Dimensi bidang plat

Tebal plat minimumnya harus memenuhi ketentuan pada SNI 03-2847-2013 Pasal 9.5.3.3 dan tidak boleh kurang dari nilai berikut:

1. Untuk $a_m \leq 0,2$ menggunakan SNI 03-2847-2013 Pasal 9.5.3 (2).
 2. Untuk $0,2 < a_m < 2,0$ maka nilai h tidak boleh kurang dari:

$$h = \frac{\ell_n(0,8 + \frac{fy}{1400})}{36 + 5\beta(\alpha_m - 0,2)} \quad \dots \dots \dots \quad (3-7)$$

3. Untuk $a_m > 2,0$ maka ketebalan plat minimum tidak boleh kurang dari:

$$h = \frac{\ell_n(0,8 + \frac{fy}{1400})}{36 + 9\beta} \quad \dots \dots \dots \quad (3-8)$$

dan tidak boleh kurang dari 90mm;

4. Pada tepi yang tidak menerus, balok tepi harus mempunyai rasio kekakuan α_f tidak kurang dari 0,8 atau sebagai alternatif ketebalan minimum yang ditentukan SNI 03-2847-

2013 Pers. 9-12 atau Pers. 9-13 harus dinaikkan paling tidak 10 persen pada panel dengan tepi yang tidak menerus.

Untuk nilai a_m didapatkan dari rumus berikut:

Dimana nilai K adalah:

$$K = \frac{1 + \left(\frac{be}{bw} - 1\right) \times \left(\frac{hf}{hw}\right) \times \left[4 - 6\left(\frac{hf}{hw}\right) + 4\left(\frac{hf}{hw}\right)^2 + \left(\frac{be}{bw} - 1\right) \times \left(\frac{hf}{hw}\right)^3\right]}{1 + \left(\frac{be}{bw} - 1\right) \times \left(\frac{hf}{hw}\right)}. \quad \dots(3-14)$$

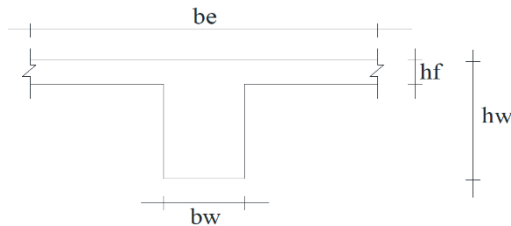
Untuk mencari lebar flens pada balok tengah sesuai SNI adalah sebagai berikut:

Nilai be:

$$be = bw + 2(hw - hf)$$

$$be = bw + 8hf$$

Dari kedua nilai be tersebut diambil yang terkecil.



Gambar 3.6 Lebar efekti plat

Dimana:

- a_m = Nilai rata-rata dari a untuk sebuah balok pada tepi dari semua panel
- a = Rasio kekakuan lentur penampang balok terhadap kekakuan lentur dari plat dengan lebar yang dibatasi se
- l_n = Panjang bentang bersih pada arah memanjang dari konstruksi dua arah, yang diukur dari muka ke muka tumpuan pada plat tanpa balok.
- S_n = Panjang bentang bersih pada arah melintang dari konstruksi dua arah, yang diukur dari muka ke muka tumpuan pada plat tanpa balok.
- β = Rasio bentang bersih dalam arah memanjang terhadap arah melintang dari plat
- be = Lebar efektif plat
- bw = Lebar balok
- hf = Tinggi plat
- hw = Tinggi balok

3.5.2 Preliminary Tangga

Dalam merencanakan dimensi anak tangga dan bordes, digunakan persyaratan sebagai berikut:

$$60 \text{ cm} \leq (2t + i) \leq 65 \text{ cm}$$

Dimana:

- t = tanjakan dengan $t \leq 25 \text{ cm}$
- i = injakan dengan $25 \text{ cm} \leq i \leq 40 \text{ cm}$

Dalam perencanaan tangga, sudut maksimal tangga adalah 40° .

3.5.3 Preliminary Dimensi Balok

Untuk menentukan dimensi tinggi balok, berdasarkan SNI 03-2847-2013 Tabel 9.5 (a) sebagaimana berikut ini:

Tabel 3.9 Tebal minimum balok bila lendutan tidak dihitung

Komponen struktur	Tebal minimum, h				
	Tertumpu sederhana	Satu ujung menerus	Kedua ujung menerus	Kantilever	
	Komponen struktur tidak menumpu atau tidak dihubungkan dengan partisi atau konstruksi lainnya yang mungkin rusak oleh lendutan yang besar				
Plat masif satu arah	L / 20	L / 24	L / 28	L / 10	
Balok atau pelat rusuk satu-arah	L / 16	L / 18,5	L / 21	L / 8	

Selain itu, untuk syarat pelindung beton ditentukan berdasarkan SNI 03-2847-2013 Pasal 7.7.1, sebagaimana berikut ini:

Tabel 3.10 Syarat pelindung beton

Keterangan	Tebal Selimut Minimum (mm)
a. Beton yang dicor di atas dan selalu berhubungan dengan tanah	75
b. Beton yang berhubungan dengan tanah atau cuaca: <ul style="list-style-type: none"> • Batang D-16, kawat M-16 ulir atau polos, dan yang lebih kecil 	40
c. Beton yang tidak berhubungan dengan cuaca atau berhubungan dengan tanah: <u>Balok, kolom:</u> <ul style="list-style-type: none"> • Tulangan utama, pengikat, sengkang, spiral 	40

3.5.4 Preliminary Dimensi Kolom

Untuk membuat sifat struktur menjadi “*strong column, weak beam*”, maka untuk preliminary dimensi kolom adalah sebagai berikut:

$$\frac{h_{kolom}}{I_{kolom}} \geq \frac{h_{balok}}{I_{balok}}$$

Dimana:

h_{kolom} = Tinggi bersih kolom

h_{balok} = Tinggi bersih balok

I_{kolom} = Inersia kolom ($1/12 \times b \times h^2$)

I_{balok} = Inersia balok ($1/12 \times b \times h^2$)

3.6 Perhitungan Pembebanan

3.6.1 Beban Mati

Menurut SNI 03-1727-2013, beban mati adalah berat seluruh bahan konstruksi bangunan gedung yang terpasang, termasuk dinding, lantai, atap, plafon, tangga, dinding partisi tetap, finishing, kladding gedung dan komponen arsitektural dan struktural lainnya serta peralatan layan terpasang lain termasuk berat keran.

3.6.2 Beban Hidup

Menurut SNI 03-1727-2013, beban hidup adalah beban yang diakibatkan oleh pengguna dan penghuni bangunan gedung atau struktur lain yang tidak termasuk beban konstruksi dan beban lingkungan, seperti beban angin, beban hujan, beban gempa, beban banjir, atau beban mati.

3.6.3 Beban Angin

Beban angin ditentukan dengan menganggap adanya tekanan positif dan tekanan negatif (berupa angin hisap), yang bekerja tegak lurus pada bidang-bidang yang ditinjau. Besarnya tekanan positif dan negatif ini dinyatakan dalam satuan gaya per luas bidang.

3.6.4 Beban Gempa

Beban gempa adalah semua beban yang bekerja pada struktur yang diakibatkan oleh gerakan tanah yang merupakan akibat dari gempa bumi (baik gempa tektonik atau vulkanik) yang akan mempengaruhi struktur tersebut.

3.6.5 Kombinasi Pembebatan

Struktur, komponen-elemen struktur dan elemen-elemen pondasi harus dirancang sedemikian hingga kuat rencananya sama atau melebihi pengaruh beban-beban terfaktor dan dengan kombinasi-kombinasi sesuai SNI 03-1726-2012 Pasal 4.2.2 sebagai berikut:

1. 1,4 D
 2. 1,2 D + 1,6 L + 0,5 (L atau R)
 3. 1,2 D + 1,6 L (L_r atau R) + (L atau 0,5 W)
 4. 1,2 D + 1,0 W + L + 0,5 (L_r atau R)
 5. 1,2 D + 1,0 E + L
 6. 0,9 D + 1,0 W
 7. 0,9 D + 1,0 E

3.7 Perhitungan Struktur

3.7.1 Penulangan Plat

1. Rasio kekakuan balok terhadap plat diatur pada SNI 03-2847-2013, Pasal 13.3.6:

$$\alpha = \frac{Ec_{balok} \cdot I_{balok}}{Ec_{plat} \cdot I_{plat}} > 1 \quad \dots \dots \dots \quad (3-11)$$

Dimana:

$E_{c\text{balok}}$ = Modulus elastisitas beton untuk balok

E_c plat = Modulus elastisitas beton untuk plat

I_{balok} = Momen inersia terhadap sumbu pusat penampang bruto balok

I_{plat} = Momen inersia terhadap sumbu pusat penampang bruto plat

2. Rasio penulangan plat

$$\rho_{min} = \frac{1,4}{f_y} \text{ (SNI 03-2847-2013 Pasal 10.5.1)} \dots\dots\dots(3-12)$$

$$\rho_b = \frac{0,85 \cdot \beta \cdot f_{c'}}{f_y} \left(\frac{600}{600+f_y} \right) \dots\dots\dots(3-13)$$

$$\rho_{max} = 0,75 \cdot \rho_b \dots\dots\dots(3-14)$$

$$m = \frac{f_y}{0,85 \cdot f_{c'}} \dots\dots\dots(3-15)$$

$$\rho_{pertu} = \frac{1}{m} \left(1 - \sqrt{1 - \frac{2 \cdot m \cdot R_n}{f_y}} \right) \dots\dots\dots(3-16)$$

Jika $\rho_{perlu} < \rho_{min}$, maka ρ_{perlu} dinaikkan 30% sehingga:

$$\rho_{pakai} = 1,3 \times \rho_{perlu} \dots\dots\dots(3-17)$$

$$As = \rho_{perlu} \times b \times d \dots\dots\dots(3-18)$$

3. Kontrol tulangan plat

a. **Kontrol Jarak Spasi Tulangan**

Berdasarkan SNI 03-2847-2013, pasal 13.3.2, pada penampang kritis:

$$S_{maks} < 2 \times h_f \dots\dots\dots(3-19)$$

b. **Kontrol Jarak Spasi Tulangan Susut**

Luasan tulangan susut dan suhu harus sesuai SNI 03-2847-2013 Pasal 7.12.2.1 yakni menyediakan paling sedikit memiliki rasio luas tulangan terhadap luas bruto penampang, tetapi tidak kurang dari 0,0014.

c. **Kontrol Perlu Tulangan Susut**

Tulangan susut dan suhu harus dipasang dengan sesuai dengan SNI 03-2847-2013 Pasal 7.12.2.2 dimana:

$$S_{maks} < 5 \times h_f \dots\dots\dots(3-20)$$

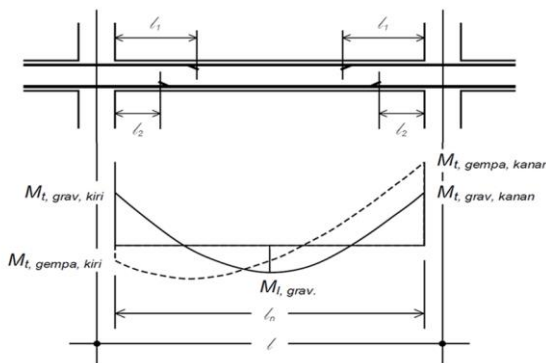
3.7.2 Penulangan Tangga

Penulangan pada plat anak tangga dan plat bordes menggunakan perhitungan sesuai prinsip perencanaan plat yang telah dibahas di subbab sebelumnya.

3.7.3 Penulangan Balok

3.7.3.1 Perhitungan tulangan lentur

Perhitungan kebutuhan tulangan lentur balok yang kami lakukan pada prinsipnya adalah menghitung kebutuhan tulangan pada tiap titik (tumpuan dan lapangan) dari beban-beban yang berpengaruh. Pada gambar diperlihatkan prinsip arah gerakan balok dan momen yang berpengaruh.



Gambar 3.7 Momen-momen yang berpengaruh pada balok

Setiap tumpuan (kanan dan kiri) pada prinsip SRPMK dapat bergerak ke kanan dan kiri akibat gaya gempa. Gerakan tersebut menyebabkan adanya beban tarik pada tulangan tekan dan sebaliknya. Sehingga diperlukan jumlah tulangan pada tiap tumpuan yang mampu menahan kuat tekan maupun tarik.

Adapun langkah-langkah perancangan tulangan rangkap sebagai berikut:

- Tentukan momen tumpuan dan lapangan pada balok yang didapat dari output program bantu SAP 2000v.14.

- b. Menghitung M_n (SNI 03-2847-2013 Pasal 22.5.1)

- c. Menghitung nilai m

- d. Menghitung nilai R_n

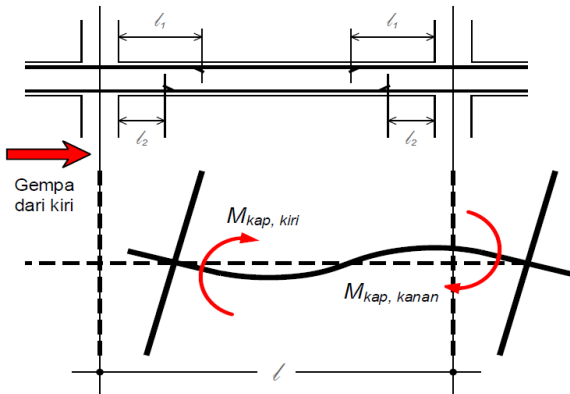
- e. Menghitung rasio tulangan terhadap luas permukaan balok

$$\rho = \frac{1}{m} \left(1 - \sqrt{1 - \frac{2m \cdot R_n}{f_y}} \right) \quad \dots \dots \dots \quad (3-24)$$

- f. Menghitung kebutuhan tulangan tarik

- g. Menghitung kebutuhan tulangan tekan

3.7.3.2 Perhitungan momen kapasitas



Gambar 3.8 Momen kapasitas pada tumpuan

Momen kapasitas adalah momen-momen ujung (M_{pr}) yang berdasarkan tegangan tarik baja. Kedua momen pada ujung ditinjau

dalam kedua arah (searah jarum jam dan berlawanan arah jarum jam).

Langkah-langkah perhitungan momen kapasitas pada tumpuan balok:

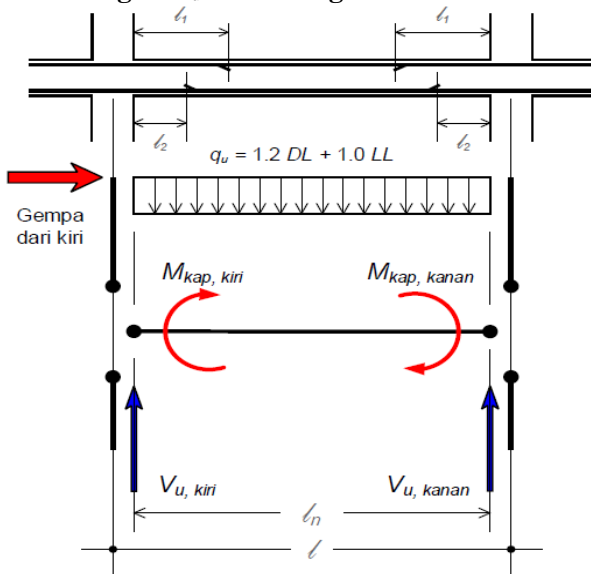
- a. Menghitung nilai a

$$a = \frac{A_s(1,25f_y)}{0.85b f_{c'}} \quad \dots \dots \dots \quad (3-27)$$

- b. Menghitung nilai M_{kap}

$$M_{kap} = A_s(1,25f_y)\left(d - \frac{a}{2}\right) \quad \dots \dots \dots \quad (3-28)$$

3.7.3.3 Perhitungan V_u dan tulangan transversal



Gambar 3.9 Vu pada ujung-ujung balok

Gaya geser desain (V_u) harus ditentukan dari peninjauan gaya statis pada bagian komponen struktur antar muka-muka joint. Adapun cara menghitung V_u adalah sebagai berikut:

- a. Menghitung q_u

$$q_u = 1,2 \text{ DL} + 1,0 \text{ LL} \quad \dots \dots \dots \quad (3-29)$$

- b. Menghitung V_u

$$V_u = \frac{M_{kap,kiri} + M_{kap,kanan}}{l_n} + \frac{q_u \cdot l_n}{2} \quad \dots \dots \dots \quad (3-30)$$

- c. Menghitung V_s

$$V_s = \frac{V_u}{\varphi} - V_c \quad \dots \dots \dots \quad (3-31)$$

Berdasarkan SNI 03-2847-2013 Pasal 21.5.4.2, $V_c = 0$ jika:

- Gaya geser yang ditimbulkan gempa yang dihitung mewakili setengah atau lebih dari kekuatan geser perlu maksimum dalam panjang tersebut.
- Gaya tekan aksial terfaktor, P_u termasuk pengaruh gempa kurang dari $A_{gf_c}'/20$.

- d. Menghitung A_v

$$A_v = \frac{V_s \cdot s}{f_y \cdot d} \quad \dots \dots \dots \quad (3-32)$$

3.7.3.4 Perhitungan panjang penyaluran tulangan

Berdasarkan SNI 03-2847-2013 Pasal 12.2.2, panjang penyaluran (ld), dinyatakan dalam diameter db. Nilai ld tidak boleh kurang dari 300 mm. Untuk batang ulir atau kawat ulir, nilai ld / db harus diambil sebagai berikut:

Tabel 3.4 Panjang penyaluran batang ulir dan kawat ulir

	Batang tulangan atau kawat ulir dan yang lebih besar D-19 dan yang lebih kecil	Batang tulangan D-22 atau kawat ulir dan yang lebih besar
Spasi bersih batang tulangan atau kawat yang disalurkan atau disambung tidak kurang dari d_b , selimut bersih tidak kurang dari d_b , dan sengkang atau pengikat sepanjang l_d tidak kurang dari minimum Tata Cara atau Spasi bersih batang tulangan atau kawat yang disalurkan atau disambung tidak kurang dari $2d_b$ dan selimut bersih tidak kurang dari d_b	$\left(\frac{f_y \Psi_t \Psi_e}{2,1\lambda\sqrt{fc'}}\right) d_b$	$\left(\frac{f_y \Psi_t \Psi_e}{1,7\lambda\sqrt{fc'}}\right) d_b$
Kasus-kasus lain	$\left(\frac{f_y \Psi_t \Psi_e}{1,4\lambda\sqrt{fc'}}\right) d_b$	$\left(\frac{f_y \Psi_t \Psi_e}{1,1\lambda\sqrt{fc'}}\right) d_b$

Dimana faktor-faktor yang digunakan dalam perumusan-perumusan untuk penyaluran batang ulir dan kawat ulir dalam kondisi tarik berdasarkan SNI 03-2847-2013 Pasal 12.2.4 adalah sebagai berikut:

1. Bila tulangan horizontal dipasang sehingga lebih dari 300mm beton segar dicor di bawah panjang penyaluran atau sambungan, $\psi_t = 1,3$. Untuk situasi lainnya, $\psi_t = 1,0$.
2. Untuk batang tulangan dilapisi epoksi, batang tulangan dilapisi ganda bahan seng dan epoksi, atau kawat dilapisi epoksi dengan selimut kurang dari $3d_b$, atau spasi bersih kurang dari $6d_b$, $\psi_e = 1,5$. Untuk semua batang tulangan dilapisi epoksi, batang tulangan dilapisi ganda bahan seng dan epoksi, atau kawat dilapisi epoksi lainnya, $\psi_e = 1,2$. Untuk tulangan tidak dilapisi dan dilapisi bahan seng (galvanis), $\psi_e = 1,0$. Akan tetapi, hasil $\psi_t \cdot \psi_e$ tidak perlu lebih besar dari 1,7.

3. Bila beton ringan digunakan, λ tidak boleh melebihi 0,75.
 Bila beton normal digunakan, $\lambda = 1,0$.

Panjang penyaluran (l_d), untuk batang ulir yang berada dalam kondisi tekan harus dihitung dengan mengalihkan panjang penyaluran dasar l_{d_b} . Nilai l_d tidak boleh kurang dari 200mm.

Panjang penyaluran dasar l_{d_b} harus diambil sebesar yang terbesar berdasarkan SNI 03-2847-2013 Pasal 12.3.2 yakni sebagai berikut:

$$\left(\frac{0,24 \cdot f_y}{\lambda \cdot \sqrt{f_{c'}}} \right) \cdot d_b \quad \dots \dots \dots \quad (3-33)$$

$$(0,043 \cdot f_y) \cdot d_b \quad \dots \dots \dots \quad (3-34)$$

3.7.3.5 Ketentuan-ketentuan perhitungan balok sistem rangka pemikul momen khusus

a. Persyaratan geometri

- Gaya tekan aksial ter faktor pada komponen struktur, P_u , tidak boleh melebihi $\frac{A_g \cdot f_{c'}}{10}$, dimana A_g adalah luas penampang komponen struktur.
- Bentang bersih untuk komponen struktur, l_n , tidak boleh kurang dari **4d**.
- Lebar komponen, b_w , tidak boleh kurang dari yang lebih kecil dari **0,3h** dan **250 mm**.

b. Persyaratan tulangan lentur

- Masing-masing luas tulangan atas dan bawah harus lebih besar dari luas tulangan minimum yang dipersyaratkan, yakni $\rho_{min} = \frac{1,4}{f_y}$. Rasio untuk tulangan maksimum dibatasi yakni sebesar $\rho_{maks} = 0,025$. Selain itu, pada penampang haruslah terpasang secara menerus minum dua batang tulangan atas dan dua batang tulangan bawah.
- Kuat lentur positif balok pada muka kolom harus **lebih besar** atau sama dengan **setengah** kuat lentur negatifnya.

Kuat lentur negatif dan positif pada setiap penampang di sepanjang bentang harus **tidak kurang** dari $\frac{1}{4}$ kuat lentur terbesar pada bentang tersebut.

- Spasi tulangan transversal yang melingkupi batang tulangan yang disambung lewatannya tidak boleh melebihi yang **lebih kecil** dari $d/4$ dan **100 mm**. Sambungan lewatannya **tidak boleh** digunakan:
 - Dalam joint
 - Dalam jarak $2h$ dari muka joint
 - Bila analisis menunjukkan pelelehan lentur diakibatkan oleh perpindahan lateral inelastis rangka.

c. Persyaratan tulangan transversal

- Sengkang tertutup harus dipasang:
 - Pada daerah hingga **$2h$** diukur dari muka tumpuan.
 - Di sepanjang daerah **$2h$** pada kedua sisi dari suatu penampang yang berpotensi membentuk sendi plastis.
- Sengkang tertutup pertama harus dipasang **tidak lebih** dari **50 mm** dari muka tumpuan. Spasi sengkang tertutup **tidak boleh** melebihi yang terkecil dari:
 - $d/4$
 - 6 kali diameter terkecil batang tulangan lentur utama tidak termasuk tulangan kulit longitudinal.
 - 150 mm

3.7.4 Penulangan kolom

3.7.4.1 Perhitungan tulangan lentur kolom

Perhitungan tulangan lentur kolom akan dibantu dengan program PCACol 4.5 untuk mempermudah perhitungan tulangan lentur kolom.

Untuk syarat tulangan lentur kolom, berdasarkan SNI 03-2847-2013 Pasal 21.6.2.2, kekuatan lentur kolom harus memenuhi yakni sebagai berikut:

$$\sum M_{nc} \geq 1,2 \cdot \sum M_{nb} \quad \dots\dots\dots(3-35)$$

Dimana:

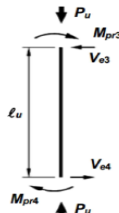
$\sum M_{nc}$ = Jumlah Mn kolom yang merangka pada hubungan balok-kolom. Mn harus dihitung untuk gaya aksial terfaktor, yang sesuai dengan arah gaya-gaya lateral yang ditinjau, yang menghasilkan nilai Mn terkecil.

$\sum M_{nb}$ = Jumlah Mn balok yang merangka pada hubungan balok-kolom. Pada konstruksi balok T, dimana plat dalam keadaan tertarik pada muka kolom, tulangan plat yang berada pada daerah lebar efektif plat harus diperhitungkan dalam menentukan Mn balok bila tulangan tersebut terangkur dengan baik pada penampang kritis lentur.

3.7.4.2 Perhitungan tulangan geser

Berdasarkan SNI 03-2847-2013 Pasal 21.5.4.1, gaya geser rencana (V_e) harus ditentukan dari peninjauan gaya statik pada bagian komponen struktur antara dua muka tumpuan. Momen-momen dengan tanda berlawanan sehubungan dengan kuat lentur maksimum (M_{pr}) harus dianggap bekerja pada muka-muka tumpuan, dan komponen struktur tersebut dibebani dengan beban gravitasi terfaktor di sepanjang bentangnya. Langkah-langkah perencanaan geser kolom adalah sebagai berikut:

- Diberikan nilai f_c' , f_y , dan diameter sengkang.
- Hitung momen tumpuan



Gambar 3.10 Gaya geser desain untuk kolom (SNI 03-2847-2013 Gambar S21.5.4)

- Momen tumpuan atas

$$M_{pr3} = A_s \times 1,25 \times f_y \times \left(d - \frac{a}{2}\right) \quad \dots\dots\dots(3-36)$$

Dimana:

$$a = \frac{a_s \times f_y}{0,85 \times f_{cr} \times b} \quad \dots\dots\dots(3-37)$$

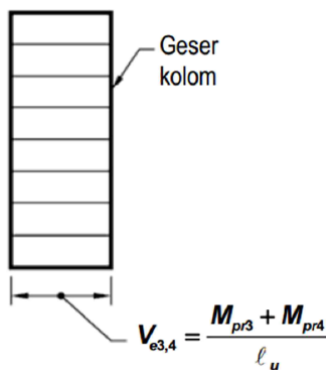
- Momen tumpuan bawah

$$M_{pr4} = A_s \times 1,25 \times f_y \times \left(d + \frac{a}{2}\right) \quad \dots\dots\dots(3-38)$$

Dimana:

$$a = \frac{a_s \times f_y}{0,85 \times f_{cr} \times b} \quad \dots\dots\dots(3-39)$$

c. Hitung reaksi di ujung-ujung kolom



Gambar 3.11 Gaya geser desain untuk kolom (SNI 03-2847-

2013 Gambar s21.5.4)

$$V_e = \frac{M_{pr3} + M_{pr4}}{\ell_u} \quad \dots\dots\dots(3-40)$$

Dimana:

ℓ_u = panjang bentang bersih kolom

- d. Hitung kuat geser rencana

$$V_S = \frac{V_U}{\phi} - V_C \quad \dots \dots \dots (3-41)$$

- e. Pasang kebutuhan tulangan geser

$$S = \frac{A_V f_y \cdot d}{V_s} < S_{max} \quad \dots \dots \dots (3-42)$$

Dimana:

A_v = luas tulangan sengkang (mm^2)

- f. Cek penampang total tulangan sengkang persegi (A_{sh})

Berdasarkan SNI 03-2847-2013 Pasal 21.6.4.4, nilai A_{sh} diambil dari yang terkecil yakni sebagai berikut:

$$A_{sh} = 0,3 \frac{s \cdot b_c \cdot c' t}{f_{vt}} \left[\left(\frac{A_g}{A_{ch}} \right) - 1 \right] \quad \dots \dots \dots (3-43)$$

$$A_{sh} = 0,09 \cdot \frac{s \cdot b_c f_{cr}}{f_{yt}} \quad \dots \dots \dots (3-44)$$

Dimana:

s = jarak antar tulangan geser

b_c = lebar penampang inti beton yang terkekang

A_g = luas bersih kolom

A_{ch} = luas penampang inti beton, dihitung dari serat terluar sengkang ke serat

3.7.4.3 Kontrol tulangan lentur kolom

Perhitungan tulangan lentur kolom akan dibantu dengan program PCACol 4.5 untuk mempermudah perhitungan tulangan lentur kolom.

Untuk syarat tulangan lentur kolom, berdasarkan SNI 03-2847-2013 Pasal 21.6.2.2, kekuatan lentur kolom harus memenuhi yakni sebagai berikut:

$$\sum Mnc \geq 1.2 \cdot \sum Mnb \quad \dots \dots \dots \quad (3-45)$$

Dimana:

$\sum M_{nc}$ = Jumlah Mn kolom yang merangka pada hubungan balok-kolom. Mn harus dihitung untuk gaya aksial terfaktor, yang sesuai dengan arah gaya-gaya llateral yang ditinjau, yang menghasilkan nilai Mn terkecil.

$\sum M_{nb}$ = Jumlah Mn balok yang merangka pada hubungan balok-kolom. Pada konstruksi balok T, dimana plat dalam keadaan tertarik pada muka kolom, tulangan plat yang berada pada daerah lebar efektif plat harus diperhitungkan dalam menentukan Mn balok bila tulangan tersebut terangkur dengan baik pada penampang kritis lentur terluar sengkang di sisi lainnya.

3.7.4.4 Ketentuan-ketentuan perhitungan kolom sistem rangka pemikul momen khusus (SNI 03-2847-2013 Pasal 21.6)

a. Persyaratan geometri

- Besarnya gaya tekan aksial terfaktor P_u tidak boleh kurang dari $\frac{Ag \cdot f_{cI}}{10}$
- Dimensi penampang terpendek, diukur pada garis lurus yang melalui pusat geometri, tidak boleh kurang dari 300 mm.
- Rasio dimensi penampang terpendek dimensi tegak lurus tidak boleh kurang dari 0,4.

b. Persyaratan tulangan lentur

- Rasio penulangan dibatasi minimum tidak boleh kurang 0,01 dan maksimum tidak boleh lebih dari 0,06.
- Sambungan lewatan hanya diizinkan di lokasi setengah panjang elemen struktur yang berada di tengah dan direncanakan sebagai sambungan lewatan tarik serta harus diikat sesuai ketentuan tulangan transversal kolom.
- Sambungan mekanis tipe 1 (dengan kekuatan 125% kuat leleh batang tulangan yang disambung) untuk penyambungan lentur tidak boleh ditempatkan di lokasi yang berpotensi membentuk sendi plastis, kecuali

sambungan mekanis tipe 2 (yaitu sambungan mekanis dengan kekuatan yang lebih kuat dari kuat tarik batang tulangan yang disambung).

c. Persyaratan tulangan geser

- Sengkang harus dipasang di sepanjang l_o , dimana panjang l_o diambil yang terbesar dari:
 - Tinggi penampang struktur kolom pada muka hubungan balok kolom atau pada segmen yang berpotensi membentuk leleh lentur.
 - $1/6$ bentang bersih struktur kolom
 - 450 mm
 - Spasi tulangan transversal sepanjang l_o tidak lebih dari yang terkecil:
 - $1/4$ dimensi minimum kolom
 - $6d$ dari tulangan sengkang terkecil
 - S_o persamaan berikut:
$$S_o = 100 + \frac{350 - h_x}{3} \quad \dots\dots\dots(3-46)$$

$$S_0 = 100 + \frac{350 - h_x}{3} \quad \dots \dots \dots (3-46)$$

Dimana:

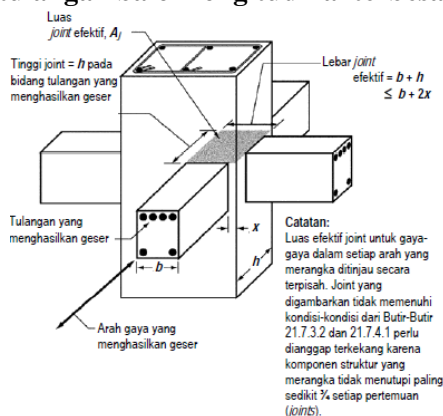
Nilai S_0 diambil $100 \text{ mm} \leq S_0 \leq 150$

3.7.5 Joint balok kolom

3.7.5.1 Persyaratan gaya dan geometri

- a. Berdasarkan SNI 2847-2013 Pasal 21.7.3.2, pada HBK dimana balok-balok dengan lebar setidaknya sebesar $\frac{3}{4}$ lebar kolom merangka pada keempat sisinya, jumlah tulangan transversal yang ditetapkan dalam Pasal 21.6.4.4 diizinkan untuk direduksi setengahnya, dan spasi yang disyaratkan dalam Pasal 21.6.4.3 diizinkan untuk ditingkatkan sampai 150 mm.

- b. Pada perencanaan hubungan balok-kolom, gaya pada tulangan lentur muka hubungan balok-kolom dapat ditentukan berdasarkan tegangan $1,25 \cdot f_y$.
 - c. Pada beton normal, dimensi kolom pada hubungan balok kolom dalam arah sejajar tulangan balok **minimal 20 kali diameter tulangan balok longitudinal terbesar**.



Gambar 3.12 Hubungan Balok Kolom

3.7.5.2 Persyaratan tulangan transversal

- Untuk joint yang terkekang oleh balok pada tiga muka atau pada dua muka yang berlawanan

$$1,2 \cdot \sqrt{fc'} \cdot A_J \quad \dots \dots \dots \quad (3-48)$$

- Untuk kasus-kasus lainnya

A_J = luas bersih hubungan balok kolom

- Lebar join efektif tidak boleh melebihi dari yang paling kecil dari:

- Lebar balok ditambah tinggi joint.
 - 2x jarak tegak lurus yang lebih kecil dari sumbu longitudinal balok ke sisi kolom

3.7.5.3 Panjang penyaluran batang tulangan dalam kondisi tarik

- Untuk ukuran batang tulangan diameter 10 mm sampai diameter 36 mm, panjang penyaluran, l_{db} , untuk batang tulangan dengan kait 90° standar pada beton normal tidak boleh kurang dari:

- $$= 8 \cdot d_E$$

- 150 mm

$$-\ell_{dh}^- = \frac{f_y \cdot d_b}{5.4 \cdot \sqrt{fc'}} \quad \dots \dots \dots (3-50)$$

- Bila digunakan tulangan tanpa kait, untuk diameter 10 mm sampai diameter 36 mm, panjang penyaluran tulangan tarik minimal adalah:

- 2,5x panjang penyaluran dengan kait bila ketebalan pengecoran beton di bawah tulangan tersebut kurang dari 300mm

- **3,5x** panjang penyaluran dengan kait bila ketebalan pengecoran beton di bawah tulangan tersebut lebih dari 300mm

3.7.6 Penulangan pondasi

Perencanaan struktur pondasi menggunakan tiang pancang. Data tanah yang digunakan adalah data tanah dari hasil test SPT. Hal-hal yang harus diperhatikan dalam merencanakan pondasi dalam adalah sebagai berikut:

3.7.6.1 Daya dukung tanah

- a. Daya dukung tanah ultimate

$$Q_U = Q_P + Q_S \quad \dots\dots\dots(3-51)$$

$$Q_U = 40 \cdot N \cdot A_p + \frac{(N_{av} \cdot A_s)}{5} \quad \dots\dots\dots(3-52)$$

Dimana:

Q_U = daya dukung tanah ultimate

Q_P = daya dukung ujung tiang

Q_S = daya dukung selimut tiang

N = nilai SPT pada ujung tiang

N_{av} = rata-rata nilai SPT sepanjang tiang

A_p = Luas permukaan ujung tiang

A_s = luas selimut tiang

- b. Kekuatan ijin

$$Q_{ijin} = \frac{Q_u}{SF} \quad \dots\dots\dots(3-53)$$

Dimana:

Q_U = daya dukung tanah ultimate

SF = safety factor = 3

3.7.6.2 Tiang pancang

- a. Perhitungan jarak antar tiang pancang

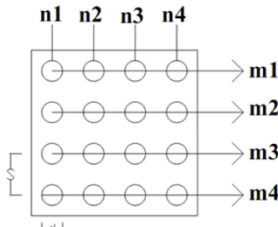
$$2,5 D \leq S \leq 3D \quad \dots\dots\dots(3-54)$$

- b. Perhitungan jarak tiang pancang ke tepi poer

$$1,5 D \leq S \leq 3D \quad \dots\dots\dots(3-55)$$

- ### c. Efisiensi (η)

$$1 - \theta \frac{(n-1)m + (m-1)n}{90mn} \quad \dots \dots \dots (3-56)$$



Gambar 3.10 Efisiensi kelompok tiang

Dimana:

θ = arc tan d/s. dalam derajat

m = jumlah baris tiang

n = jumlah tiang dalam satu baris

d = diameter tiang

s = jarak pusat ke pusat tiang lain

- d. Kekuatan kelompok tiang

$$P_{KELOMPOK} = \eta \cdot P_{JIN} \quad \dots \dots \dots \quad (3-57)$$

- e. Gaya yang dipikul tiang pancang

$$P = \frac{\sum P}{n} + \frac{M_y \cdot x_{max}}{\sum x^2} + \frac{M_x \cdot y_{max}}{\sum y^2} \quad \dots \dots \dots (3-58)$$

- f. Kontrol tiang pancang

$$P_{\max} \leq P_{ijin}$$

$$P_{min} \leq P_{ijin}$$

$$P_{\max} \leq P_{\text{kelompok}}$$

3.7.6.3 Poer

- a. Penulangan lentur poer

- Rencanakan ketinggian poer (h)
 - Tentukan momen yang terjadi

- Hitung nilai R_n

$$Rn = \frac{M_U}{b \cdot d^2} \quad \dots \dots \dots (3-60)$$

- Hitung tulangan minimum poer

$$\rho_{min} = \frac{1.4}{fy} \quad \dots \dots \dots (3-61)$$

- Hitung tulangan maksimum poer

$$\rho_{max} = 0,75 \cdot \frac{0,85 \cdot \beta \cdot f'c}{f_y} \cdot \left(\frac{600}{600 + f_y} \right) \quad \dots \dots \dots (3-62)$$

- Hitung nilai m

$$m = \frac{fy}{0.85fc'} \quad \dots \dots \dots (3-63)$$

- Hitung kebutuhan tulangan poer

$$\rho_{perlu} = \frac{1}{m} \left(1 - \sqrt{1 - \frac{2 \cdot m \cdot Rn}{fy}} \right) \quad \dots \dots \dots (3-64)$$

b. Penulangan geser poer

Untuk perencanaan poer, nilai V_c harus diambil sebagai nilai terkecil dari persamaan berikut berdasarkan SNI 03-2847-2013, Pasal 11.1.2.1 (a), (b), (c):

$$Vc = 0,17 \cdot \left(1 + \frac{2}{\beta}\right) \cdot \lambda \cdot \sqrt{fc'} \cdot b \cdot d \quad \dots \dots \dots (3-65)$$

Cek kondisi perencanaan geser menurut SNI 03-2847-2013
Pasal 11.1.1, dimana:

$$\varphi \cdot V_c \geq V_u$$

Apabila kondisi ini tidak terpenuhi, maka diperlukan pembesaran penampang.

c. Spasi tulangan geser maksimum

- Kondisi 3 (perlu tulangan geser minimum)

Apabila:

$$\varphi \cdot Vc < Vu \leq (\varphi \cdot Vc + \varphi \cdot Vs_{min})$$

Dengan:

Luas tulangan geser minimum:

Spasi tulangan geser maksimum:

$$S_{maks} \leq d \leq 60 \text{ cm} \quad \dots \dots \dots \quad (3-69)$$

- Kondisi 4 (perlu tulangan geser)

Apabila:

$$\varphi \cdot (Vc + Vs_{min}) < Vu \leq \varphi \cdot \left(Vc + \frac{1}{3} \cdot \sqrt{fc'} \cdot b_w \cdot d \right) \quad (3-70)$$

Dengan:

$$\varphi \cdot V_{S_{perlu}} = Vu \cdot \varphi \cdot Vc \quad \dots \dots \dots \quad (3-71)$$

Luas tulangan geser minimum:

$$Av = \frac{Vs \cdot s}{f_v \cdot d} \quad \dots \dots \dots (3-72)$$

Spasi tulangan geser maksimum:

$$S_{maks} \leq \frac{d}{2} \leq 60 \text{ cm} \quad \dots \dots \dots \quad (3-73)$$

- Kondisi 5 (perlu tulangan geser)

Apabila:

$$\varphi \cdot \left(Vc + \frac{1}{3} \cdot \sqrt{fc'} \cdot b_w \cdot d \right) < Vu \leq \varphi \cdot \left(Vc + \frac{2}{3} \sqrt{fc'} \cdot b_w \cdot d \right) \quad \dots \dots \dots (3-74)$$

Dengan:

$$\omega \cdot V_{\text{speedy}} = V_{\text{II}} - \omega \cdot V_{\text{C}} \quad (3-75)$$

Luas tulangan geser minimum:

$$Av = \frac{Vs}{f_v \cdot d} \quad \dots \dots \dots (3-76)$$

Spasi tulangan geser maksimum:

$$S_{maks} \leq \frac{d}{4} \leq 30 \text{ cm} \quad \dots \dots \dots \quad (3-77)$$

- d. Panjang penyaluran tulangan kolom

 - Tulangan kondisi tarik berdasarkan SNI 03-2847-2013 Pasal

$$\left[\frac{f_y \cdot \Psi_c \cdot \Psi_e}{1.7 \cdot 1.5 \cdot f_{ck}} \right] \cdot d_b \geq 300 \text{ mm} \quad \dots \dots \dots (3-78)$$

Dimana berdasarkan SNI 03-2847-2013 Pasal 12.2.4 (c) dan (d), nilai λ adalah:

- Bila menggunakan beton normal, $\lambda = 1,0$.
 - Bila menggunakan beton ringan, nilai λ tidak boleh melebihi 0,75.

- e. Kontrol geser pons poer

- Geser satu arah, maka:

- Tentukan beban poer, dimana:

- Tentukan luasan tributary akibat geser satu arah
 - Kontrol tebal poer (d) berdasarkan gaya geser satu arah
 - Tentukan beban ultimate poer, dimana:

- $V_u = qu \times (\text{luas total poer} - \text{luas pons})$

- Kontrol perlu tulangan geser, bila:

$\phi \cdot V_c > V_u \rightarrow$ tidak perlu tulangan geser

$\phi \cdot V_c < V_u \rightarrow$ perlu tulangan gesek

- Geser dua arah, maka:

Kontrol kemampuan beton berdasarkan SNI 03-2847-2013
Pasal 11.1.2.1 (a), (b), dan (c) dimana sebagai berikut:

$$Vc = 0,083 \cdot \left(2 + \frac{as \cdot d}{b_w} \right) \cdot \lambda \cdot \sqrt{fc'} \cdot b_w \cdot d \quad \dots \dots \dots (3-85)$$

Dimana:

as $\gamma = 40$, untuk kolom interior

as = 30, untuk kolom tepi

as = 20, untuk kolom sudut

Dimana :

β = rasio dari sisi panjang terhadap sisi pendek poer

b_w = keliling dari penampang kritis

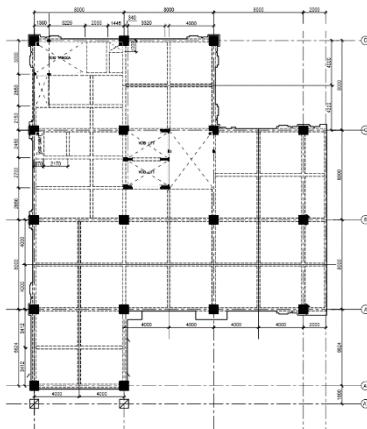
BAB IV

PRELIMINARY DESIGN

4.1 Data Preliminary Design

Data untuk struktur gedung beton bertulang ini adalah sebagai berikut:

Tipe bangunan	: Gedung perkantoran
Letak bangunan	: Pusat Kota Surabaya
Lebar bangunan	: 30,824 m
Panjang bangunan	: 26 m
Tinggi bangunan	: 28 m
Mutu beton	: 35 Mpa
Mutu baja	: -ulir 400 Mpa (BJTD U40) -polos 240 Mpa (BJTD U24)
Gambar	:



Gambar 4.1 Denah bangunan eksisting

4.2 Preliminary Balok

Preliminary desain balok bertujuan untuk memperkirakan lebar dan tinggi balok. Tinggi minimum balok (h_{min}) tanpa memperhitungkan lendutan ditentukan pada Tabel 3.3 dimana tinggi minimum untuk balok tertumpu sederhana adalah:

$$h_{min} = \frac{l}{16}$$

Sedangkan untuk tinggi minimum balok anak adalah:

$$h_{min} = \frac{l}{21}$$

Sedangkan untuk tinggi minimum balok kantilever adalah:

$$h_{min} = \frac{l}{8}$$

Dengan catatan, untuk nilai f_y selain 420 Mpa, nilainya harus dikalikan dengan $(0,4 + f_y/700)$, sehingga untuk mutu baja 400 Mpa nilai h_{min} adalah:

$$h_{min} = \frac{l}{16} \times \left(0,4 + \frac{400}{700}\right)$$

Sedangkan untuk lebar balok diestimasikan berkisar antara 1/2 sampai 2/3 dari tinggi balok.

4.2.1 Preliminary balok induk memanjang (8m/Lt 2-8)

1. Tinggi balok (h)

$$h_{min} = \frac{800}{14} \times \left(0,4 + \frac{400}{700}\right) = 55,5 \text{ cm} \sim 60 \text{ cm}$$

Maka digunakan tinggi (h) untuk balok yaitu 60 cm.

2. Lebar balok (b)

$$b = \frac{2}{3} \cdot h = \frac{2}{3} \cdot 60 \text{ cm} = 40 \text{ cm}$$

Maka digunakan lebar (b) untuk balok yaitu 40 cm. Sehingga dimensi untuk balok induk memanjang adalah 40 cm x 60 cm.

4.2.2 Preliminary balok induk melintang (8m/Lt 2-8)

1. Tinggi balok (h)

$$h_{min} = \frac{800}{14} \times \left(0,4 + \frac{400}{700} \right) = 55,5 \text{ cm} \sim 60 \text{ cm}$$

Maka digunakan tinggi (h) untuk balok yaitu 60 cm.

2. Lebar balok (b)

$$b = \frac{2}{3} \cdot h = \frac{2}{3} \cdot 60 \text{ cm} = 40 \text{ cm}$$

Maka digunakan lebar (b) untuk balok yaitu 40 cm.

Sehingga dimensi untuk balok induk melintang adalah 40 cm x 60 cm.

4.2.3 Preliminary balok anak

1. Tinggi balok (h)

$$h_{min} = \frac{500}{21} \times \left(0,4 + \frac{400}{700} \right) = 23,1 \text{ cm} \sim 40 \text{ cm}$$

Maka digunakan tinggi (h) untuk balok yaitu 40 cm.

2. Lebar balok (b)

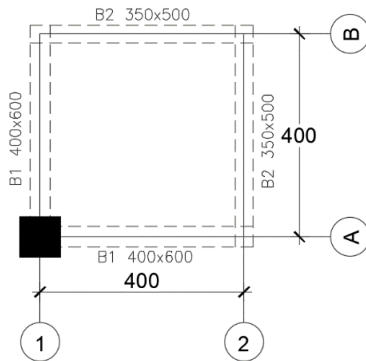
$$b = \frac{2}{3} \cdot h = \frac{2}{3} \cdot 30 \text{ cm} = 30 \text{ cm}$$

Maka digunakan lebar (b) untuk balok yaitu 30 cm.

Sehingga dimensi untuk balok anak adalah 30 cm x 40 cm.

4.3 Preliminary Plat

Untuk menentukan tebal plat, maka diambil satu macam plat:



Gambar 4.2 Plat tipe A

Bentang bersih sumbu panjang (Ln):

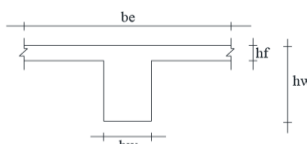
$$Ln = 4000 - \frac{400}{2} - \frac{400}{2} = 3600 \text{ mm}$$

Bentang bersih sumbu pendek (Sn) :

$$Sn = 4000 - \frac{400}{2} - \frac{400}{2} = 3600 \text{ mm}$$

$$B = \frac{Ln}{Sn} = \frac{3600}{3600} = 1.0 < 2.0 \text{ (plat dua arah)}$$

Menghitung Rasio Kekakuan (α) Balok Induk Memanjang dan Balok Induk Melintang terhadap plat (α_m) :



Gambar 4.3 Lebar efektif plat

Lebar balok (bw) : 40 cm

Tinggi balok (hw) : 60 cm

Asumsi tebal pelat (hf) : 12 cm

Maka lebar efektif,

$$be = bw + 8 hf = 40 + 8(12) = 136 \text{ cm}$$

$$be = bw + 2 hb = 40 + 2(hw-hf) = 136 \text{ cm}$$

Maka digunakan be minimum sebesar 136 cm.

Mencari nilai K,

$$K = \frac{1 + \left(\frac{be}{bw} - 1\right)x\left(\frac{hf}{hw}\right)x\left[4 - 6\left(\frac{hf}{hw}\right) + 4\left(\frac{hf}{hw}\right)^2 + \left(\frac{be}{bw} - 1\right)x\left(\frac{hf}{hw}\right)^3\right]}{1 + \left(\frac{be}{bw} - 1\right)x\left(\frac{hf}{hw}\right)}$$

$$K = \frac{1 + \left(\frac{136}{40} - 1\right)x\left(\frac{12}{60}\right)x\left[4 - 6\left(\frac{12}{60}\right) + 4\left(\frac{12}{60}\right)^2 + \left(\frac{136}{40} - 1\right)x\left(\frac{12}{60}\right)^3\right]}{1 + \left(\frac{136}{40} - 1\right)x\left(\frac{12}{60}\right)}$$

$$K = 1,642$$

Momen inersia balok:

$$I_{balok} = k \frac{bw \cdot h^3}{12} = 1,642 \frac{40 \cdot 60^3}{12} = 1182169.9 \text{ cm}^4$$

Momen inersia pelat :

$$I_{plat} = \frac{bp \cdot t^3}{12} = \frac{400 \cdot 12^3}{12} = 57600 \text{ cm}^4$$

Rasio kekakuan balok terhadap pelat adalah

$$\alpha_m = \frac{I_{balok}}{I_{plat}} = \frac{1182169.9}{57600} = 20.5$$

Menghitung rata-rata rasio kekakuan :

$$\alpha_m = \frac{\alpha_1 + \alpha_2 + \alpha_3 + \alpha_4}{4}$$

$$\alpha_m = \frac{20.5+20.5+20.5+20.5}{4} = 20.5$$

Penentuan tebal minimum plat (h_{\min}): Karena nilai $\alpha_m > 2,0$; maka dipakai persamaan (2) yakni :

$$h = \frac{\ln(0,80 + \frac{f_y}{1400})}{36 + 9\beta} = \frac{3600(0,80 + \frac{400}{1400})}{36 + 9(1)} = 87,34 \text{ mm}$$

Sehingga dipakai tebal plat (h_f) = 12 cm.

4.4 Preliminary Kolom

Untuk membuat sifat struktur menjadi “strong column, weak beam”, maka untuk preliminary dimensi kolom adalah sebagai berikut:

$$\frac{L_{Kolom}}{I_{Kolom}} \geq \frac{L_{Balok}}{I_{Balok}}$$

Direncanakan kolom $b = h$, maka $I_{Kolom} = 1/12 \cdot h^4$

$$h_{\min \text{ kolom}} = \sqrt[4]{\frac{L_{kolom} \cdot I_{balok} \cdot 12}{L_{balok}}} = \sqrt[4]{\frac{400 \cdot 720000 \cdot 12}{800}} = 45,59 \text{ cm}$$

$$B_{Kolom} = 45,59 \text{ cm}$$

Sehingga, dipakai dua tipe kolom dengan dimensi 50cm x 50cm dan 70cm x 70cm.

4.5 Perencanaan Tangga

Struktur tangga akan direncanakan dengan bantuan program SAP2000. Adapun data-data yang diinput ke dalam program adalah sebagai berikut:

- Perletakan : Jepit – Bebas – Jepit
- Pembebaan : Dead Load (DL) dan Live Load (LL)
yang besarnya sesuai dengan pembebaan tangga.
- Kombinasi : 1,2 DL + 1,6 LL

- Distribusi : *Uniform to shell load* (untuk semua beban DL dan LL)

1. Data-data perencanaan

- Lebar injakan (i) = 0,3 m
- Tinggi tanjakan (t) = 0,182 m
- Tinggi tangga = 4,0 m
- Tinggi bordes = 2,0 m
- Panjang anak tangga mendatar = 315,5 cm
- Lebar bordes = 1,805 m
- Lebar tangga = 1,76 m

2. Perhitungan perencanaan

a. Panjang miring tangga

$$L = \sqrt{tinggi\ bordes^2 + panjang\ tangga^2}$$

$$L = \sqrt{(200\text{cm})^2 + (316.5\text{cm})^2}$$

$$L = 374.5\text{ cm}$$

b. Jumlah tanjakan

$$N_t = \frac{Tinggi\ Bordes}{Tinggi\ Tanjakan} = \frac{200}{18.2} = 11\text{ buah}$$

c. Jumlah injakan

$$N_i = N_t - 1 = 11 - 1 = 10\text{ buah}$$

d. Sudut kemiringan

$$\alpha = \text{arc.tan} \left(\frac{t}{i} \right)$$

$$\alpha = \text{arc.tan} \left(\frac{18.2}{30} \right) = 31.24^\circ$$

e. Syarat sudut kemiringan

$$25^\circ \leq \alpha \leq 40^\circ$$

$$25^\circ \leq 31.24^\circ \leq 40^\circ \quad (\text{Memenuhi})$$

f. Tebal plat tangga

$$L_{nx} = 176 \text{ cm}$$

$$L_{ny} = 374.5 \text{ cm}$$

$$\beta = \frac{L_{ny}}{L_{nx}} = \frac{374.5}{176} = 2.13 \text{ (Plat Satu Arah)}$$

Berdasarkan SNI 2847-2013, plat satu arah :

$$H_{min} = \frac{l}{28} \left(0.4 + \frac{f_y}{700} \right) = \frac{3745}{28} \left(0.4 + \frac{400}{700} \right) = 130 \text{ mm}$$

Maka dipakai tebal Plat Rencana = 140 mm (**Memenuhi**)

4.6 Perencanaan Balok Lift

Perencanaan balok lift sangat diperlukan karena berhubungan dengan menopang beban berupa mesin lift. Untuk perencanaan balok lift, sama dengan balok lainnya dengan menggunakan SNI 2847-2013 tabel 9.7 dengan:

$$H_{min} = \frac{l}{16} \left(0.4 + \frac{f_y}{700} \right) \text{ mm}$$

$$H_{min} = \frac{4000}{16} \left(0.4 + \frac{400}{700} \right) \text{ mm}$$

$$H_{min} = 242.85 \text{ mm}$$

$$B_{min} = \frac{2}{3} \times H_{min}$$

$$B_{min} = \frac{2}{3} \times 242.85$$

$$B_{min} = 161.9 \text{ mm}$$

Untuk dimensi balok lift yang digunakan adalah

$$b \times h = \mathbf{350 \times 500 \text{ mm.}}$$

4.7 Rekapitulasi Preliminary Design

Preliminary desing yang kami gunakan menyesuaikan hasil dari SAP2000. Adapun rekapitulasinya adalah sebagai berikut:

Tabel 4.1 Tabel rekapitulasi *preliminary design*

NO	ELEMEN	DIMENSI		SATUAN
1	Balok Induk Memanjang	40	60	Cm
2	Balok Induk Melintang	40	60	Cm
5	Balok Anak Memanjang	30	40	Cm
6	Balok Anak Melintang	30	40	Cm
7	Balok Lift	35	50	Cm
9	Kolom 1 (K1)	70	70	Cm
10	Kolom 2 (K2)	50	50	Cm
11	Pelat Lantai	12		Cm
12	Pelat Tangga	14		Cm

BAB V

ANALISA PEMBEBANAN

5.1 Beban Gravitasi

Beban Gravitasi adalah beban yang bekerja dalam suatu struktur bangunan searah dengan arah gravitasi dengan rincian beban yang sudah tertera pada SNI 1727-2013 dan brosur material yang ada pada pasaran dan akan diterapkan pada permodelan pada SAP 2000 v14.2.2.

5.2 Beban Mati (DL)

Beban mati ialah berat yang terdiri dari berat elemen struktur dari suatu bangunan serta perabotan permanen yang ada pada gedung seperti dinding, lantai atap, plafond. dan untuk beban mati terdiri dari 2 macam, antara lain:

1. Berat sendiri (*self weight/ dead load*):

BJ Beton: $24 \text{ kN/m}^3 = 2400 \text{ kg/m}^3$

Berat mati tambahan (*superimposed dead load*):

a. **Berat dinding:**

- bata ringan: 600 kg/m^3 (Brosur CITICON®)
- plester D200: 20 kg/m^2 per 10 mm (Brosur)
- acian NP S540: 3 kg/m^2 per 2 mm.

Dimana untuk tebal 0,15 m dan tinggi 4 m adalah:

$$600\text{kg/m}^3 \times 0,15 \text{ m} \times 4,0 \text{ m} = 360 \text{ kg/m}$$

$$\text{Beban pada pelat: } \frac{360 \text{ kg/m}}{4 \text{ m}} = 90 \text{ kg/m}^2$$

b. **Berat keramik + spesi:** 110 kg/m^2

c. **Berat ducting mechanical:** 19 kg/m^2

d. **Berat plafond:** $0,086 \text{ kN/m}^2$ (Brosur KALSI) $= 8,6 \text{ kg/m}^2$

e. **Berat penggantung plafond:** $0,10 \text{ kN/m}^2 = 10 \text{ kg/m}^2$

f. **Berat lapisan waterproofing:** $0,05 \text{ kN/m}$

g. **Berat terpusat pada balok lift:**

Merk/Manufaktur : Hitachi

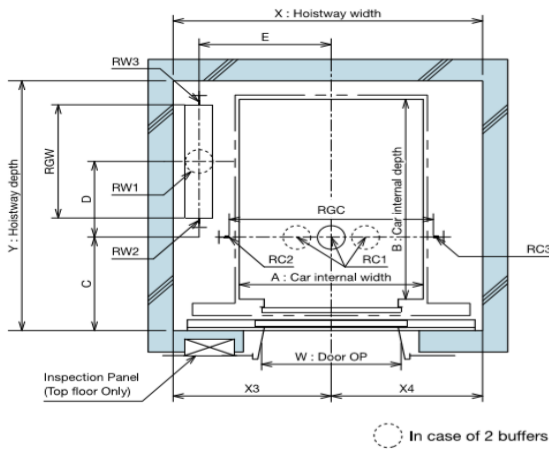
Tipe Lift : UAG Series SN1

Detail dan spesifikasi :

Tabel 5.1 Spesifikasi lift hitachi

Load (kg)	Car Internal Size AxB (mm)	Pit reaction loading (kN)					
		car side			counterweight side		
		RC1	RC2	RC3	RW1	RW2	RW3
1050	1600 x 1400	98	46(302,5)	37,5(29 4)	77	20(270,5)	32,5(289)

■Passenger (2PC0)



**Hoistway dimension and
Pit reaction loading**

Gambar 5.1 Detail lift Hitachi

5.3 Beban Hidup (LL)

Beban Hidup (LL) Beban hidup terdiri dari beban yang diakibatkan oleh pemakaian gedung dan tidak termasuk beban mati, beban konstruksi atau beban akibat fenomena alam. Tergantung fungsi ruang, maka beban hidup dapat di bedakan sesuai dengan SNI 03-1727-2013 Tabel 4.1 sebagai berikut:

Tabel 5.2 Beban hidup

Fungsi ruang	Berat (Kg/ m ²)	Sumber
Kantor	240 kg/m ²	SNI 1727-2013 Tabel 4.1
Ruang Pertemuan	479 kg/m ²	
Lantai Atap	96 kg/m ²	
Beban bordes dan anak tangga	479 kg/m ²	

5.4 Beban Angin

Bangunan gedung dan struktur lain termasuk Sistem Penahan Beban Angin Utama (SPBAU) harus dirancang dan dilaksanakan untuk menahan beban angin sesuai dengan SNI 03-1727-2013. Beban angin dinding maksimum dan minimum yang terjadi akan didistribusikan pada kolom. Berikut tahapan perhitungan beban angin yang terjadi pada struktur bangunan:

1. Kategori risiko bangunan

Sesuai tabel 1.5-1 SNI 1727 2013, bangunan Gedung DPRD Kota Surabaya termasuk ke dalam kategori risiko II (Perkantoran).

2. Kecepatan angin dasar

Berdasarkan kondisi daerah Surabaya, kategori eksposur yang digunakan dalam perhitungan beban angin adalah Kategori Eksposur B (Pasal 26.7.2). Penentuan kecepatan angin dasar (V)

untuk daerah Surabaya mengacu pada BMKG Surabaya dengan kecepatan angin(V) maksimum=30 Knot atau 15,43 m/s.

Bulan/Month (1)	Arah Terbanyak/ Mostly Directional (2)	Kecepatan Rata - rata/ Speed Average (Knot) (3)	Kecepatan Angin Maksimum			
			Arah/ Direction (4)	Kecepatan/ Velocity/ Municipality (5)	Jam/ Hours (BBW) (6)	Tanggal/ Date (7)
Januari/January	Barat Laut	5	340	30	11:20	23
Pebruari/February	Barat Laut	5	300	19	17:10	29
Maret/March	Utara	5	300	18	14:10	1
April/April	Timur	6	90	21	9:30	15
Mei/May	Timur	4	100	16	12:10	2
Juni/June	Timur	2	100	8	11:40	3
Juli/July	Timur	3	110	8	14:10	6
Agustus/August	Timur	3	100	8	14:40	10
September/September	Timur - Tenggara	4	130	20	9:40	7
Oktober/October	Timur - Tenggara	4	60	22	17:40	9
Nopember/Nopember	Timur - Timur Laut	3	60	21	13:10	28
Desember/December	Barat - Barat Laut	4	190	18	19:50	26

Gambar 5.2 Kecepatan angin pada Kota Surabaya, Jawa Timur

3. Parameter beban angin

- Faktor arah angin (K_d) = 0,85
- Kategori eksposure = B
- Faktor topografi (K_{zt}) = 1
- Faktor efek tiupan angin (G) = 0,85
- Kategori ketertutupan = bangunan tertutup

4. Koefisien tekanan internal (G_{CPI})

Tabel 5.3 klasifikasi ketertutupan bangunan

Klasifikasi Ketertutupan	(GC_{pi})
Bangunan gedung terbuka	0.00
Bangunan gedung tertutup sebagian	+0.55 -0.55
Bangunan gedung tertutup	+0.18 -0.18

Berdasarkan tabel tersebut, didapatkan **Gepi = + 0,18 dan -0,18**. Tanda positif dan negatif menandakan tekanan yang bekerja menuju dan menjauhi dari permukaan internal.

5. Kategori ekspostur

Menentukan Nilai Koefisien Eksposur, Kz. Dari (SNI 1727-2013 Tabel 26.9-1) didapatkan nilai $\alpha = 7$ dan $Zg = 365,76$ m. Jika ketinggian untuk kolom bangunan, $z = 28$ meter, maka:

$$Kz = 2.01 \left(\frac{z}{Zg} \right)^{\frac{2}{\alpha}} = 2.01 \left(\frac{28m}{365,76m} \right)^{\frac{2}{7}} = 0,965$$

6. Menentukan tekanan velositas (q_z)

$$q_z = 0,613 \times K_z \times K_{zt} \times K_d \times V^2 \quad (N/m^2)$$

$$q_z = 0,613 \times 0,965 \times 1 \times 0,85 \times 15,43^2 = 119,7 \text{ N/m}^2$$

$$q_z = 11,97 \text{ kg/m}^2$$

$$q_h = 0,613 \times K_h \times K_{zt} \times K_d \times V^2 \quad (N/m^2)$$

$$q_h = 0,613 \times 0,966 \times 1 \times 0,85 \times 15,43^2$$

$$q_h = 119,9 \text{ N/m}^2$$

$$q_h = 11,99 \text{ kg/m}^2$$

7. Koefisien tekanan eksternal

Panjang bangunan, $L = 30,824$ m

Lebar bangunan, $B = 26$ m

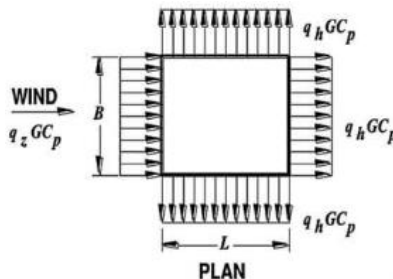
$$\frac{L}{B} = \frac{30,824}{26} = 1,185$$

Tabel 5.4 Koefisien tekan dinding (C_p)

Koefisien tekan dinding, C_p			
Permukaan	L/B	C_p	Digunakan dengan
Dinding di sisi angin datang	Seluruh nilai	0.8	q_z
Dinding di sisi angin pergi	0-1	-0.5	q_h
	2	-0.3	
	≥ 4	-0.2	
Dinding tepi	Seluruh nilai	-0.7	q_h

Berdasarkan tabel diatas, didapatkan $C_p = 0.8$ untuk angin tekan, $C_p = -0.5$ untuk angin hisap, dan $C_p = -0.7$ untuk dinding tepi.

8. Hitung tekanan angin (P) pada bangunan

**Gambar 5.3** Pengaruh angin pada dinding

Berdasarkan gambar di atas, beban angin yang ada pada kolom adalah sebagai berikut:

$$q_z = 3,04 \text{ kg/m}^2$$

$$G = 0.85$$

$$C_p = 0.8 \text{ (tekan)}, -0.5 \text{ (hisap)}, -0.7 \text{ (tepi)}$$

$$GC_{pi} = 0.18 \text{ (tekan)}, -0.18 \text{ (hisap)}$$

$$\begin{aligned}
 \text{Arah angin datang} &= q_z \cdot G \cdot Cp \\
 &= 11,97 \times 0,85 \times 0,8 = 8,14 \text{ Kg/m}^2 \\
 \text{Arah angin tepi} &= q_h \cdot G \cdot Cp \\
 &= 11,99 \times 0,85 \times (-0,7) = -7,13 \text{ Kg/m}^2 \\
 \text{Arah angin pergi} &= q_h \cdot G \cdot Cp \\
 &= 11,99 \times 0,85 \times (-0,5) = -5,09 \text{ Kg/m}^2
 \end{aligned}$$

Maka untuk rekapitulasi beban angin yang terjadi pada setiap angin yang datang, pergi dan tepi adalah:

Tabel 5.5 Rekapitulasi tekanan angin

Permukaan	Cp	Digunakan dengan	P	
Dinding di sisi angin datang	0.8	$q_z = 8,14$ kg/m ²	5,5	kg/m ²
Dinding di sisi angin pergi	-0.5	$q_h = 5,09$ kg/m ²	2,17	kg/m ²
Dinding tepi	-0.7	$q_h = 7,13$ kg/m ²	4.24	kg/m ²

Tabel 5.6 Rekapitulasi beban angin

Lantai Bangunan	Tinggi bangunan (m)	Zg (m)	α	Kz	qz atau qh (N/m ²)	qz.G.Cp	qh.G.Cp	qh.G.Cp
					Datang kg/m ²	Tepi kg/m ²	Pergi kg/m ²	
1	4	365.8	7.0	0.553	68.65	4.67	-4.08	-2.92
2	8	365.8	7.0	0.674	83.69	5.69	-4.98	-3.56
3	12	365.8	7.0	0.757	93.97	6.39	-5.59	-3.99
4	16	365.8	7.0	0.822	102.02	6.94	-6.07	-4.34
5	20	365.8	7.0	0.876	108.74	7.39	-6.47	-4.62
6	24	365.8	7.0	0.923	114.55	7.79	-6.82	-4.87
7	28	365.8	7.0	0.965	119.71	8.14	-7.12	-5.09

Berdasarkan SNI 03-1727-2013 Pasal 27.1.5, beban angin desain minimum adalah = 0,77 kN/m² = 77 kg/m² untuk dinding bangunan dan 0,38 kN/m² = 38 kg/m² untuk luas atap bangunan gedung. Sehingga untuk pembebanan angin yang terjadi adalah:

Tabel 5.7 Rekapitulasi beban angin yang terjadi

Lantai Bangunan	Tinggi bangunan (m)	Zg (m)	qz atau qh (N/m ²)	qz.G.Cp	qh.G.Cp	qh.G.Cp
			(N/m ²)	Datang kg/m ²	Tepi kg/m ²	Pergi kg/m ²
1	4	365.8	68.65	77.00	-77.0	-77.0
2	8	365.8	83.69	77.00	-77.0	-77.0
3	12	365.8	93.97	77.00	-77.0	-77.0
4	16	365.8	102.02	77.00	-77.0	-77.0
5	20	365.8	108.74	77.00	-77.0	-77.0
6	24	365.8	114.55	77.00	-77.0	-77.0
7	28	365.8	119.71	77.00	-77.0	-77.0

5.5 Beban Gempa

Peninjauan beban gempa pada perencanaan struktur bangunan ini ditinjau secara analisa dinamis 3 dimensi. Fungsi respons spektrum ditetapkan sesuai peta wilayah gempa daerah di Surabaya. Berikut merupakan tahapan perhitungan beban gempa yang terjadi pada bangunan:

5.5.1 Menentkan Kategori Risiko Bangunan Gedung

Berdasarkan SNI 03-1726-2012 Tabel 1, bangunan yang didesain untuk perkantoran masuk ke dalam kategori risiko II.

5.5.2 Menetukan Faktor Keutamaan

Gempa Berdasarkan SNI 03-1726-2012 Tabel 2 dan kategori risiko yang didapat maka dapat ditentukan faktor keutamaan gempa yakni $I_e = 1,0$.

5.5.3 Menetukan Kelas Situs

Hasil tes tanah dengan kedalaman 30 m pada tanah setempat (Jl. Yos Sudarso, Surabaya) :

Tabel 5.8 Data tanah JL. Yos Sudarso Surabaya

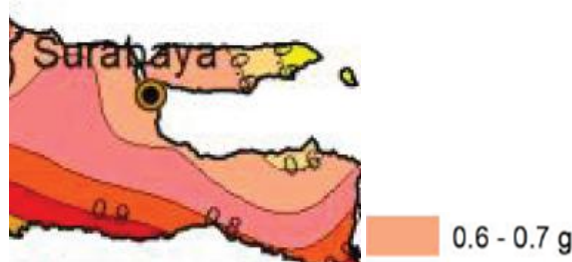
Data Tanah					
Lapisan	Jenis Lapisan	Kedalaman Antara	Tebal Lapisan (d)	Nilai N-SPT Rata-rata (N)	d/N
Lapisan ke-1	Lempung berlanau berpasir	0 - 14,0	14	1.4	10
Lapisan ke-2	Pasir berlanau berkerikil	14,0 - 18,0	4	32	0.13

Lapisan ke-3	Lanau berpasir	18,0 - 21,0	3	39	0.08
Lapisan ke-4	Lempung berlanau berpasir kuning	21,0 - 30,0	9	31	0.29
Jumlah			30		10.49

5.5.4 Menetukan Parameter Percepatan Gempa



Gambar 5.4 Nilai S_1 , percepatan batuan dasar pada periode 1 detik (SNI 03-1726-2012)



Gambar 5.5 Nilai S_s , percepatan batuan dasar pada periode pandek (SNI 03-1726-2012)

Dari kedua gambar di atas diambil:

$$S_1 = 0,27$$

$$S_s = 06$$

5.5.5 Koefisien Situs

Berdasarkan SNI 1726-2012 Tabel 4 dan Tabel 5 dapat dicari nilai Fa dan Fv berdasarkan nilai SS dan S1 diatas:

Tabel 5.9 Koefisien situs, Fa

Kelas Situs	Parameter respons spektral percepatan gempa terpetakan MCEr pada periode pendek, T = 0,2 detik				
	Ss < 0,25	Ss = 0,50	Ss = 0,75	Ss = 1,00	Ss > 1,25
SA	0.80	0.80	0.80	0.80	0.80
SB	1.00	1.00	1.00	1.00	1.00
SC	1.20	1.20	1.10	1.10	1.00
SD	1.60	1.40	1.20	1.10	1.00
SE	2.50	1.70	1.20	0.90	0.90
SF	Memerlukan investigasi spesifik dan analisis situs spesifik				

$$\text{Cara Interpolasi : } 1,7 - \frac{0,6-0,5}{0,75-0,5} x (1,7 - 1,2) = 1,5$$

Karena nilai Ss adalah 0,6 dan diantara 0,5 dan 0,75 maka harus dilakukan interpolasi dan didapatkan nilai fa =1,5

Tabel 5.10 Koefisien situs, Fv

Kelas Situs	Parameter respons spektral percepatan gempa terpetakan MCER pada periode pendek, T = 1 detik				
	S1 < 0,10	S1 = 0,20	S1 = 0,30	S1 = 0,40	S1 > 0,50
SA	0,80	0,80	0,80	0,80	0,80
SB	1,00	1,00	1,00	1,00	1,00
SC	1,70	1,60	1,50	1,40	1,30
SD	2,40	2,00	1,80	1,60	1,50
SE	3,50	3,20	2,80	2,40	2,40
SF	Memerlukan investigasi spesifik dan analisis situs spesifik				

$$\text{Cara Interpolasi : } 3,2 - \frac{0,27-0,2}{0,30-0,2} x (3,2 - 2,8) = 2,92$$

Karena nilai Ss adalah 0,27 dan diantara 0,2 dan 0,3 maka harus dilakukan interpolasi dan didapatkan nilai fv = 2,92.

5.5.6 Parameter Percepatan Desain Spektral

Setelah kita mendapatkan beberapa parameter diatas maka Berdasarkan SNI 03 1726-2012 Pers. 5 dan Pers. 6, didapatkan:

$$S_{MS} = F_a x S_s = 1,5 x 0,6 = 0,9$$

$$S_{M1} = F_v x S_1 = 2,92 x 0,27 = 0,79$$

Berdasarkan SNI 03-1726-2012 Pers. 7 dan Pers. 8, didapatkan bahwa:

$$S_{DS} = \frac{2}{3} x S_{MS} = \frac{2}{3} x 0,9 = 0,6$$

$$S_{D1} = \frac{2}{3} x S_{M1} = \frac{2}{3} x 0,79 = 0,525$$

5.5.7 Menetukan Kategori Desain Seismik (KDS)

Tabel 5.11 KDS berdasarkan RS periode 1 detik

Nilai SDS	Kategori Risiko	
	I atau II atau III	IV
SDS < 0,167	A	A
0,167 < SDS < 0,33	B	C
0,33 < SDS < 0,50	C	D
0,50 < SDS	D	D

Berdasarkan SNI 03-1726-2012 Tabel 6 dan Tabel 7, untuk $0,5 \leq S_{DS} \leq 0,6$, $0,2 \leq S_{D1} \leq 0,3$, dan kategori risiko II didapatkan kategori desain seismik D.

5.5.8 Parameter Struktur

Parameter struktur berdasarkan SNI 03-2847-2012 Tabel 9, untuk sistem pemikul momen khusus adalah:

1. Koefisien modifikasi respons (R) = 8
2. Faktor kuat-lebih sistem (Ω_0) = 3
3. Faktor pembesaran defleksi (C_d) = 5,5

5.5.9 Analisa Respons Spektrum

Berdasarkan SNI 03-1726-2012 Pasal 6.4 Pers. 9 dan 10, didapatkan bahwa:

$$T_0 = 0,2 \cdot \frac{SD1}{SDS}$$

$$T_0 = 0,2 \cdot \frac{0,525}{0,6} = 0,175$$

$$T_S = \frac{SD1}{SDS}$$

$$T_S = \frac{0,525}{0,6} = 0,876$$

Ketentuan untuk perhitungan respons spektrum:

1. Berdasar SNI 03 - 1726-2012 Pasal 6.4.(9) untuk $T < T_0$, nilai Sa:

$$Sa = S_{DS} \cdot (0,4 + 0,6 \cdot \frac{T}{T_0})$$

$$Sa = 0,6 \cdot (0,4 + 0,6 \cdot \frac{0}{0,175}) = 0,24$$

2. Berdasar SNI 03 - 1726-2012 Pasal 6.4 Untuk $T \geq T_0$ dan $T \leq T_S$, nilai Sa = S_{DS} . Maka :

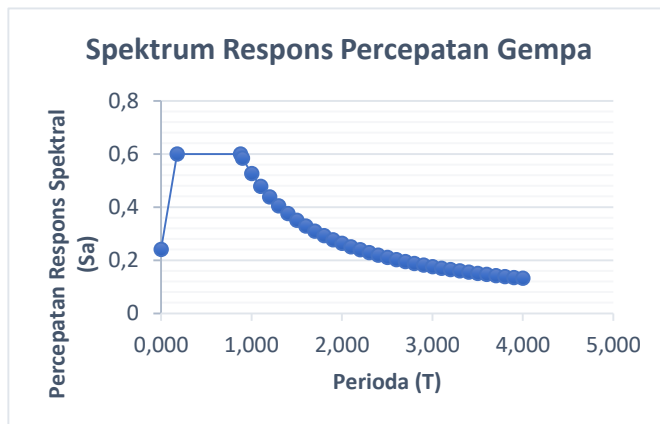
Untuk $T = T_0 = 0,175$; maka Sa = 0,6

Untuk $T = T_S = 0,876$; maka Sa = 0,6

3. Untuk nilai $T > T_S$, nilai Sa = $\frac{S_{D1}}{T}$ (SNI 1726-2012 Pasal 6.4(3))

Untuk $T = T_S + 0,1 = 0,876 + 0,1 = 0,976$

$$\text{Maka } Sa = \frac{0,525}{0,976} = 0,538$$



Gambar 5.6 Grafik respon spektrum design

5.6 Kombinasi Pembebanan

Pembebanan struktur beton harus mampi memikul semua beban kombinasi pembebanan di bawah ini berdasarkan SNI 03-1726-2012 Pasal 4.2:

1. 1,4D
2. 1,2D + 1,6L + 0,5Lr
3. 1,2D + 1,6L + 0,5R
4. 1,2D + 1,6Lr + 1,0L
5. 1,2D + 1,6Lr + 0,5W
6. 1,2D + 1,0W + 1,0L + 0,5Lr
7. 1,2D + 1,0W + 1,0L + 0,5R
8. 0,9D + 1,0W
9. 1,2D + 1,0EX + 1,0L
10. 1,2D + 1,0EY + 1,0L
11. 0,9D + 1,0EX
12. 0,9D + 1,0EY
13. $(1,2 + 0,2 \cdot SDS)D + (1,0\rho)E + 1,0L$

Dimana nilai:

$$SDS = 0,6$$

$$\rho = 1,3 \text{ (SNI 03-1726-2012 Pasal 7.3.4.2)}$$

$$\Omega_0 = 2,5$$

Keterangan: D : Beban Mati, Lr : Beban Hidup, Atap L : Beban Hidup, R : Beban Hujan, W : Beban Angin, E : Beban Gempa

BAB VI

ANALISA PERMODELAN

6.1 Permodelan Struktur dengan SRPM

Model undefromed shape struktur bangunan dengan SRPM di bawah ini merupakan permodelan yang dilakukan pada program bantu SAP2000 v.14. Langkah pertama adalah menentukan satuan lalu membuat grid bangunan dan Frame apa saja yang dibuat.

The screenshot shows three tables of grid data:

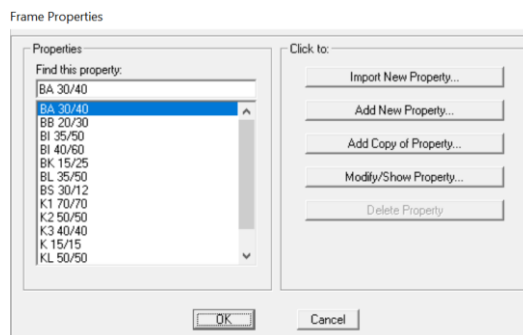
- X Grid Data:**

Grid ID	Ordinate	Line Type	Visibility	Bubble Loc.	Bubble Loc.
1	A	0	Primary	Show	End
2	A'	0.9	Primary	Show	End
3	A''	4.9	Primary	Show	End
4	B	8.9	Primary	Show	End
5	B'	12.9	Primary	Show	End
6	C	16.9	Primary	Show	End
7	D	20.9	Primary	Show	End
8	E	24.9	Primary	Show	End
- Y Grid Data:**

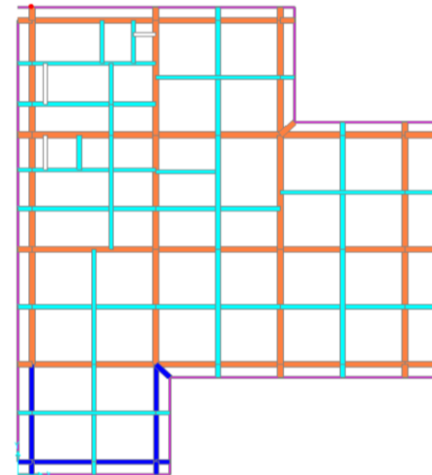
Grid ID	Ordinate	Line Type	Visibility	Bubble Loc.	Bubble Loc.
1	0	Primary	Show	Start	
2	1'	0.9	Primary	Show	Start
3	2	4.3	Primary	Show	Start
4	2'	7.7	Primary	Show	Start
5	3	11.7	Primary	Show	Start
6	3'	15.7	Primary	Show	Start
7	BH1	18.55	Primary	Show	Start
8	BH3	19.7	Primary	Show	Start
- Z Grid Data:**

Grid ID	Ordinate	Line Type	Visibility	Bubble Loc.	Bubble Loc.
1	Z1	0	Primary	Show	Start
2	Z1'	2	Primary	Show	End
3	Z2	4	Primary	Show	End
4	Z2'	6	Primary	Show	End
5	Z3	8	Primary	Show	End
6	Z3'	10	Primary	Show	End
7	Z4	12	Primary	Show	End
8	Z4'	14	Primary	Show	End

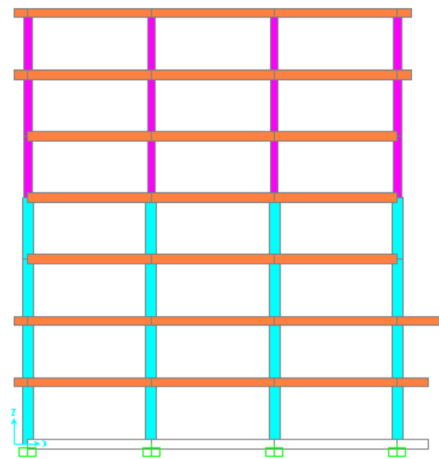
Gambar 6.1 Grid Bangunan



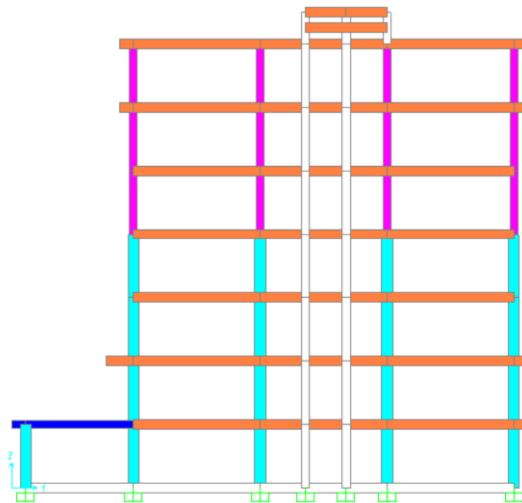
Gambar 6.2 Frame Properties



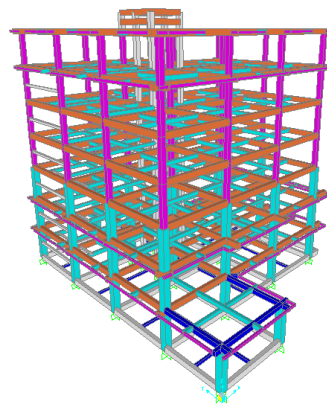
Gambar 6.3 Tampak denah bangunan



Gambar 6.4 Tampak potongan melintang bangunan



Gambar 6.5 Tampak potongan memanjang bangunan

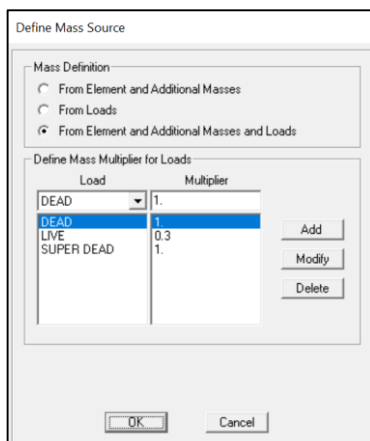


Gambar 6.6 Permodelan 3D bangunan gedung DPRD Kota Surabaya dengan bantuan SAP2000

6.1.1 Besaran Massa

Besaran massa elemen struktur (mass source adalah massa struktur pada program bantu SAP 2000 v.14 yang digunakan pada perhitungan untuk analisa modal menggunakan pilihan “mass definition: from element and additional masses and loads” yang dimana berat sendiri akan dihitung oleh struktur sedangkan beban tambahan ditambahkan dengan pembesaran sesuai dengan jenis bebannya. Massa-massa beban yang dimasukkan adalah sebagia berikut:

1. Beban mati tambahan (keramik + spesi, dinding, plafon, penggantung plafon, lapisan waterproofing, dll) : Multiplier 1,0.
2. Beban hidup : Multiplier 0,3



Gambar 6.7 Input besaran massa pada SAP2000 v.14

6.1.2 Peninjauan Arah Gaya Gempa

Untuk arah gempa dibagi 2 arah yaitu sebagai berikut:

1. Gempa arah X : 100% Ex + 30% Ey
2. Gempa arah Y : 100% Ey + 30% Ex

6.1.3 Faktor Skala Gaya Beban Gempa Spektrum SAP2000 untuk SRPM

Faktor skala gaya diambil dari persamaan sebagai berikut:

$$\begin{aligned} \text{Faktor pembebangan} &= \frac{Ie}{R} \times g \\ &= \frac{1}{8} \times 9.8 \text{m/s}^2 = 1.225 \end{aligned}$$

Faktor beban tersebut adalah untuk arah gempa yang ditinjau sedangkan untuk arah yang tegak lurus dari peninjauan gempa tersebut akan terkena gempa sebesar 30% dari arah gempa yang ditinjau sehingga faktor skala gaya pada arah tegak lurus yang ditinjau adalah $0,3 \times 1,225 = 0,3675$

Loads Applied			
Load Type	Load Name	Function	Scale Factor
Accel	U1	Respons Spkr	1.225
Accel	U1	Respons Spektr	1.225
Accel	U2	Respons Spektr	0.3675

Gambar 6.8 Gaya gempa arah X

Loads Applied			
Load Type	Load Name	Function	Scale Factor
Accel	U2	Respons Spkr	1.225
Accel	U2	Respons Spektr	1.225
Accel	U1	Respons Spektr	0.3675

Gambar 6.9 Gaya gempa arah Y

6.1.4 Kontrol Periode Fundamental SRPM

Nilai T (waktu getar alami struktur) dibatasi oleh waktu getar alami fundamental untuk mencegah penggunaan struktur yang terlalu fleksibel dengan perumusan berdasarkan SNI 1726-2012 Tabel 15 sebagai batas bawah sebesar:

$$T_a = C_t \cdot h_n^x$$

Dimana:

h_n : Ketinggian struktur

C_t : Parameter pendekatan tipe struktur

x : Parameter pendekatan tipe struktur

Tabel 6.1 Nilai parameter perioda pendekatan C_t dan x

Tipe Struktur	C_t	x
Sistem rangka pemikul momen di mana rangka memikul 100 persen gaya gempa yang disyaratkan dan tidak dilingkup atau dihubungkan dengan komponen yang lebih kaku dan akan mencegah rangka dari defleksi jika dikenai gaya gempa:		
Rangka baja pemikul momen	0,0724 ^a	0,8
Rangka beton pemikul momen	0,0466 ^a	0,9
Rangka baja dengan bresing eksentris	0,0731 ^a	0,75
Rangka baja dengan bresing terkekang terhadap tekuk	0,0731 ^a	0,75
Semua sistem struktur lainnya	0,0488 ^a	0,75

Untuk nilai struktur beton SRPMK didapatkan nilai $C_t = 0,0466$ dan $x = 0,9$ sehingga:

$$\begin{aligned} T_a &= 0,0466 \cdot (28m)^{0,9} \\ &= 0,935 \text{ detik} \end{aligned}$$

Dengan tinjauan batas atas perioda fundamental struktur mengacu pada SNI 1726-2012 tabel 14 sebesar:

Tabel 6.2 Koefisien untuk batas atas pada perioda yang dihitung

Parameter Percepatan Respons Spektral Desain pada 1 Detik, SD1	Koefisien Cu
>0,4	1,4
0,3	1,4
0,2	1,5
0,15	1,6
<0,1	1,7

Karena nilai $S_{D1} = 0,525 > 0,4$, maka didapatkan nilai $C_u = 1,4$ sehingga:

$$C_u \cdot T_a = 1,4 \cdot 0,935 = 1,309 \text{ detik}$$

Dari permodelan pada SAP2000 didapatkan:

Tabel 6.3 Modal load participation ratio

TABLE: Modal Load Participation Ratios				
OutputCase	ItemType	Item	Static	Dynamic
Text	Text	Text	Percent	Percent
MODAL	Acceleration	UX	100	95.4926
MODAL	Acceleration	UY	100	94.5392

Tabel 6.4 Perioda struktur pada modal di program SAP2000 v.14

TABLE: Modal Periods And Frequencies						
OutputCase	StepType	StepNum	Period	Frequency	CircFreq	Eigenvalue
Text	Text	Unitless	Sec	Cyc/sec	rad/sec	rad2/sec2
MODAL	Mode	1	1.606	0.623	3.913	15.311
MODAL	Mode	2	1.547	0.646	4.061	16.494
MODAL	Mode	3	1.440	0.694	4.362	19.029
MODAL	Mode	4	0.560	1.784	11.210	125.670
MODAL	Mode	5	0.535	1.869	11.746	137.960
MODAL	Mode	6	0.369	2.711	17.033	290.110
MODAL	Mode	7	0.261	3.825	24.034	577.610
MODAL	Mode	8	0.218	4.586	28.817	830.430

Perbandingan nilai untuk periode fundamental struktur sebagai berikut:

$$T_a \leq T_c \leq C_u \cdot T_a$$

$$0,935 \text{ detik} \leq 1,606 \text{ detik} \leq 1,309 \text{ detik}$$

Cek nilai periode fundamental struktur yang diperoleh dari program analisa struktur (T_c) :

1. Jika $T_c > C_u \cdot T_a$, maka $T = C_u \cdot T_a$
2. Jika $T_a < T_c < C_u \cdot T_a$, maka $T = T_c$
3. Jika $T_c < T_a$, maka $T = T_a$

6.1.5 Kontrol Gaya Gempa Dasar Dinamis Struktur

Kontrol gaya dinamis struktur untuk melihat apakah gaya gempa yang dimasukkan dengan menggunakan respons spektrum berdasarkan SNI 03-1726-2012 Pasal 7.8.1. Untuk kontrol gaya gempa dasar dinamis koefisien C_s adalah sebagai berikut:

1. Nilai Cs minimum :

$$Cs_{min} = 0,044 \cdot S_{DS} \cdot I_e \geq 0,01$$

$$Cs_{min} = 0,044 \cdot 0,6 \cdot 1 \geq 0,01$$

$$Cs_{min} = 0,0264 \geq 0,01 \text{ (Memenuhi)}$$

2. Nilai Cs (ASCE 7-10,12.8-2) :

$$C_s = \frac{S_{DS}}{\left(\frac{R}{I}\right)} = \frac{0,6}{\left(\frac{8}{1}\right)} = 0,075$$

3. Nilai Cs max :

$$C_{smax} = \frac{S_{D1}}{T \cdot \left(\frac{R}{I_e}\right)} = \frac{0,525}{1,309 \cdot \left(\frac{8}{1}\right)} = 0,05$$

$$Cs_{min} < Cs < Cs_{max}$$

$$0,0264 < 0,075 < 0,05$$

$$\text{Sehingga pakai } Cs = 0,05$$

Untuk persamaan gaya geser dinamis struktur menggunakan persamaan (ASCE 7-10, 12.8-1) sebagai berikut :

$$V = C_s \times W_t$$

Dengan :

C_s : Koefisien respons seismik

W_t : Total beban mati, beban mati tambahan, beban hidup

Untuk W_t didapatkan dari program sebagai berikut:

Tabel 6.5 Tabel base reaction di program SAP2000 v.14

TABLE: Base Reactions				
OutputCase	CaseType	GlobalFX	GlobalFY	GlobalFZ
Text	Text	Kgf	Kgf	Kgf
1D + 1L	Combination	5.64E-09	2.84E-09	5200845.02

Maka berat struktur total adalah 7.032.431,6 Kg, didapatkan :

- Gaya gempa dasar arah x (Vx) = 0,05 x 7.443.697 = 372.184,85 Kg

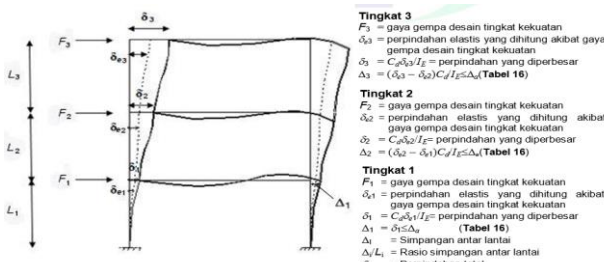
$$0,85 \text{ Vx} = 0,85 \times 372.184,85 \text{ kg} = 316.357,1225 \text{ kg}$$

- Gaya gempa dasar arah y (Vy) = 0,05 x 7.443.697 = 372.184,85 Kg

$$0,85 \text{ Vy} = 0,85 \times 372.184,85 \text{ kg} = 316.357,1225 \text{ kg}$$

6.2 Pemeriksaan Simpangan Antar Lantai

Penentuan simpangan antar lantai tingkat desain (Δ) harus dihitung sebagai perbedaan defleksi pada pusat massa di tingkat teratas dan terbawah yang ditinjau. Untuk mengetahui besarnya simpangan antar lantai perlu dicari terlebih dahulu nilai perpindahan elastis, δ_{xe} dari analisis struktur : setelah itu nilai δ_{xe} dikalikan dengan faktor pembesaran C_d/I_e . Setelah itu dapat diketahui besarnya simpangan antar tingkat yang merupakan selisih nilai perpindahan elastis yang diperbesar pada suatu tingkat dengan nilai perpindahan elastis yang diperbesar pada tingkat di bawahnya. Nilai simpangan ini selanjutnya dikontrol terhadap batas simpangan. Defleksi pusat massa di tingkat x (δ_x) harus ditentukan sesuai dengan persamaan berdasarkan SNI 03-1726-2012 berikut:



Gambar 6.10 Penenturan simpangan antar lantai

Berdasarkan pasal 7.8.6 rumus untuk penentuan simpangan antar lantai dapat didapatkan sebagai berikut:

$$\delta_x = \frac{C_d \times \delta_e}{I_e}$$

dengan :

C_d = Faktor pembesaran defleksi = 5,5

δ_e = Defleksi pada lantai x yang ditentukan dengan analisis elastis

I_e = faktor Keutamaan kategori Desain = 1

Untuk nilai simpangan antar lantai ijin, Δ_i , berdasarkan SNI 03-1726-2012 Tabel 16 didapatkan yakni:

Tabel 6.6 Simpangan antar lantai ijin, Δ_i

Struktur	Kategori risiko		
	I atau II	III	IV
Struktur, selain dari struktur dinding geser batu bata, 4 tingkat atau kurang dengan dinding interior, partisi, langit-langit dan sistem dinding eksterior yang telah didesain untuk mengakomodasi simpangan antar lantai tingkat.	0,025h _{sx}	0,020h _{sx}	0,015h _{sx}
Struktur dinding geser kantilever batu bata	0,010h _{sx}	0,010h _{sx}	0,010h _{sx}
struktur dinding geser batu bata lainnya	0,007h _{sx}	0,007h _{sx}	0,007h _{sx}
semua struktur lainnya	0,020h _{sx}	0,015h _{sx}	0,010h _{sx}

Dengan tabel di atas didapatkan untuk $\Delta_i = 0,020h$

Tabel 6.7 Kontrol simpangan antar lantai portal gempa dinamis arah X

Lantai	δ_x SAP (mm)	Tinggi Lantai (mm)	I_e	C_d	Δi	Kontrol	
					$\frac{\delta_2 - \delta_1 \times C_d}{I_e}$		
atap	40,52	4000	1	5,5	16,39	61,5	OK
7	37,54	4000	1	5,5	27,5	61,5	OK
6	32,54	4000	1	5,5	36,52	61,5	OK
5	25,9	4000	1	5,5	43,89	61,5	OK
4	17,92	4000	1	5,5	37,84	61,5	OK
3	11,04	4000	1	5,5	37,84	61,5	OK
2	4,16	4000	1	5,5	22,88	61,5	OK
1	0	4000	1	5,5	0	61,5	OK

Tabel 6.8 Kontrol simpangan antar lantai portal gempa dinamis arah Y

Lantai	δ_x SAP (mm)	Tinggi Lantai (mm)	I_e	C_d	Δi	Kontrol	
					$\frac{\delta_2 - \delta_1 \times C_d}{I_e}$		
atap	17,58	4000	1	5,5	6,875	61,5	OK
7	16,33	4000	1	5,5	12,265	61,5	OK
6	14,1	4000	1	5,5	16,72	61,5	OK
5	11,06	4000	1	5,5	19,8	61,5	OK
4	7,46	4000	1	5,5	16,17	61,5	OK
3	4,52	4000	1	5,5	15,62	61,5	OK
2	1,68	4000	1	5,5	9,24	61,5	OK
1	0	4000	1	5,5	0	61,5	OK

Dengan analisa permodelan dengan program bantu SAP 2000 v14.2.2 didapatkan bahwa permodelan sudah memenuhi dalam verifikasi periода fundamental bangunan, kontrol gaya gempa dasar bangunan serta pemeriksaan simpangan. Selanjutnya perhitungan dapat diambil dari gaya dalam permodelan bangunan untuk mendesain struktur primer maupun sekunder.

BAB VII

DESAIN STRUKTUR SEKUNDER

7.1 Perhitungan Struktur Plat Lantai

Struktur plat lantai yang dihitung pada bab ini merupakan plat yang dikelilingi oleh balok atau terjepit penuh pada keempat sisinya. Pelat yang dihitung berjenis pelat satu arah dan pelat dua arah. Plat ini digunakan pada lantai 2 hingga lantai atap.

7.1.1 Pembebanan Struktur Plat Lantai

Beban yang dipikul pelat lantai adalah beban gravitasi berdasarkan rincian pembebanan pada bab analisa pembebanan yang mengacu pada ASCE 7.2002 dan SNI 1727-2013 dimana:

1. Beban mati (DL)
 - Berat sendiri (*selfweight/dead load*):
Berat sendiri plat = $0,12 \text{ m} \times 2400 \text{ kg/m}^3 = 288 \text{ kg/m}^2$
 - Berat mati tambahan (*superimposed dead load*)

Tabel 7.1 Berat mati tambahan

Jenis beban	Berat (Kg/m ²)
Keramik + Spesi	66 kg/m ²
Plafond kalsi 3mm	8,6 kg/m ²
Penggantung plafond	10 kg/m ²
<i>Ducting mechanical</i>	19 kg/m ²
Lapisan waterproof*	5 kg/m ²

*) Hanya pada pelat lantai atap

2. Beban hidup (LL)

Beban hidup diklasifikasikan menurut fungsi ruang masing-masing, sebagai berikut:

Tabel 7.2 Berat hidup

Jenis beban	Berat (Kg/m')
Meeting Room	479 kg/m ²
Ruang Kantor	240 kg/m ²
Beban Hidup Pekerja	100 kg/m ²

3. Kombinasi pembebanam

Pada perhitungan analisis struktur pelat, digunakan kombinasi beban ultimate $qU = 1,2DL + 1,6LL$.

7.1.2 Analisis Struktur Plat Lantai

Untuk analisa struktur plat lantai menggunakan tabel koefisien momen pada PBBI 1971 pada Pasal 13.3 tabel 13.3(1) sebagai berikut:

Tabel 7.3 Rumus momen platt

Dikarenakan pelat yang direncanakan terjepit penuh oleh balok pada keempat sisinya sehingga berdasarkan tabel diatas pelat termasuk kedalam tipe II dimana persamaan gaya dalam momen yang digunakan adalah sebagai berikut:

$$M_{lx} = +0,001 \cdot q \cdot Lx^2 \cdot X_1$$

$$M_{ly} = +0,001 \cdot q \cdot Lx^2 \cdot X_2$$

$$M_{tx} = +0,001 \cdot q \cdot Lx^2 \cdot X_3$$

$$M_{ty} = +0,001 \cdot q \cdot Lx^2 \cdot X_4$$

Dimana:

M_{tx} : Momen tumpuan arah-x

M_{lx} : Momen lapangan arah-x

M_{ty} : Momen tumpuan arah-y

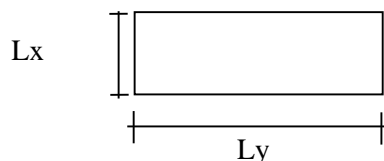
M_{ly} : Momen lapangan arah-y

q : Beban ultimate

Lx : Bentang pendek pelat

X : Koefisien dari perbandingan ly/lx pelat

Untuk menentukan koefisien X pada analisa struktur pelat lantai mengikuti ketentuan sebagai berikut:

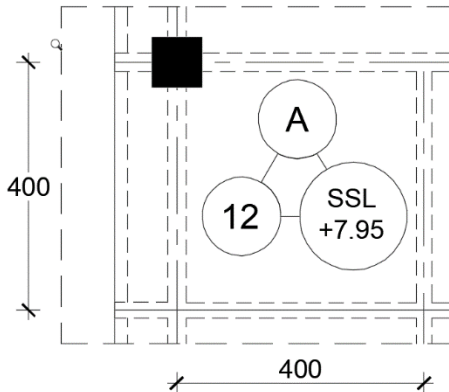


Gambar 7.1 Ketentuan pada analisa plat lantai

Dimana : Lx : Bentang pendek pelat

Ly : Bentang panjang pelat

Pada perhitungan analisis struktur pelat, kami menghitung tipe pelat jika luas area pelat tersebut lebih dari $10m^2$, jika kurang dari luas tersebut maka penulangan pelat dianggap menerus. Berikut akan kami bahas perhitungan pelat tipe A sebagai berikut:



Gambar 7.2 Plat tipe A

Beban-beban yang bekerja pada pelat lantai interior tipe A adalah beban gravitasi. Besarnya beban-beban yang bekerja adalah sebagai berikut:

1. Beban Mati (DL)

Berat sendiri (0,12m x 2400kg/m ²)	= 288 kg/m ²
Beban keramik + spesi	= 66 kg/m ²
Beban plafond	= 8,6 kg/m ²
Beban penggantung plafond	= 10 kg/m ²
Plumbing	= 25 kg/m ²
Mechanical Electrical	= 40 kg/m ²
<hr/>	
qDL	= 437,6 kg/m ²
 2. Beban Hidup (LL)

Fungsi ruang :

Lantai 1-7 : Perkantoran qLL = 479 kg / m²
 3. Beban Ultimate / Kombinasi

Pelat tipe A lantai 1-7 (Ruang Kantor) :

qU = 1,4DL = 1,4 (437,6 kg/m²) = 612,64 kg/m²

$$q_U = 1,2DL + 1,6LL = 1,2 (437,6 \text{ kg/m}^2) + 1,6 (479 \text{ kg/m}^2) = 1291,52 \text{ kg/m}^2$$

Maka untuk pengecekan pelat lantai dipakai beban kombinasi terbesar yaitu beban untuk ruang perkantoran = 1291,52 kg/m².

4. Perhitungan Momen

Dimensi pelat tipe A :

$$Ly = 4000 \text{ mm} = 4 \text{ m}; \quad Lx = 4000 \text{ mm} = 4 \text{ m}$$

$$\beta_1 = \frac{4,00 \text{ m}}{4,00 \text{ m}} = 1 < 2 \text{ (pelat dua arah)}$$

Untuk pelat dua arah, perhitungan momen yang terjadi dihitung berdasarkan tabel momen pelat PBBI 1971 sehingga didapatkan koefisien momen untuk nilai ly/lx = 1 adalah:

$$M_{lx} = 21; \quad M_{tx} = 52$$

$$M_{ly} = 21; \quad M_{ty} = 52$$

Maka dapat dihitung momen yang terjadi berdasarkan koefisien momen diatas sebagai berikut:

$$M_{lx} = 0,001 \cdot 1420 \text{ kg/m}^2 \cdot 4,7 \text{ m} \cdot 21 = 639,80 \text{ kg.m}$$

$$M_{ly} = 0,001 \cdot 1420 \text{ kg/m}^2 \cdot 4,7 \text{ m} \cdot 21 = 639,80 \text{ kg.m}$$

$$M_{tx} = 0,001 \cdot 1420 \text{ kg/m}^2 \cdot 4,7 \text{ m} \cdot 52 = 1584,26 \text{ kg.m}$$

$$M_{ty} = 0,001 \cdot 1420 \text{ kg/m}^2 \cdot 4,7 \text{ m} \cdot 52 = 1584,26 \text{ kg.m}$$

Untuk rekapitulasi momen tipe pelat yang lainnya dapat dihitung dengan bantuan program Ms. Excel dan kemudian ditampilkan kedalam bentuk tabel berikut:

Tabel 7.4 Rekapitulasi momen tipe plat

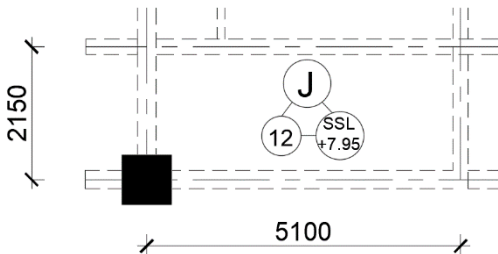
Tipe Plat	Ly (cm)	Lx (cm)	Ly/Lx	Momen PBBI 1971				Jenis Plat	
				Lapangan		Tumpuan			
				X (Kg.m)	Y (Kg.m)	X (Kg.m)	Y (Kg.m)		
A	400	400	1.00	433.95	433.95	1074.54	1074.54	Two-way slab	
B	400	341.2	1.17	421.00	300.71	962.27	841.99	Two-way slab	
C	400	200	2.00	211.81	61.99	428.78	294.47	Two-way slab	
D	400	285	1.40	356.67	188.83	765.80	597.95	Two-way slab	
E	290	285	1.02	220.30	324.80	804.26	804.26	Two-way slab	
F	290	245	1.18	217.07	155.05	496.15	434.13	Two-way slab	
G	510	285	1.79	419.61	136.37	860.21	597.95	Two-way slab	
H	245	210	1.17	159.48	113.91	364.52	318.95	Two-way slab	
I	290	215	1.35	202.98	107.46	435.81	340.29	Two-way slab	
J	510	215	2.37	256.33		506.56		One-way slab	

Tipe Plat	Ly (cm)	Lx (cm)	Ly/Lx	Momen PBBI 1971				Jenis Plat	
				Lapangan		Tumpuan			
				X (Kg.m)	Y (Kg.m)	X (Kg.m)	Y (Kg.m)		
K	390	285	1.37	356.67	188.83	765.80	597.95	Two-way slab	
L	300	203	1.48	196.35	92.72	414.51	310.88	Two-way slab	
M	200	145	1.38	97.08	45.84	204.95	153.71	Two-way slab	
N	300	145	2.08	61.39		124.28		One-way slab	
O	400	285	1.40	365.51	193.51	784.77	612.77	Two-way slab	
P	400	215	1.86	244.72	73.42	507.79	348.72	Two-way slab	
Q	400	270	1.48	175.73	82.98	370.99	278.24	Two-way slab	
R	515	400	1.29	656.47	402.35	1461.17	1207.05	Two-way slab	

7.1.3 Perhitungan Penulangan Plat Lantai

Untuk kebutuhan penulangan plat lantai dibagi menjadi tulangan plat satu arah dan tulangan plat dua arah. Diambil contoh masing-masing satu tipe pelat yang dihitung berdasarkan Modul Struktur Beton Dasar - Dr. Ir. Dicky Imam Wahyudi, MS. Tabel C-03 (terlampir) dan SNI 2847-2013.

7.1.3.1 Perhitungan tulangan plat satu arah



Gambar 7.3 Plat satu arah tipa J

Perhitungan plat satu arah adalah plat tipe G-1 dengan momen-momen yang terjadi sebagai berikut:

$$M_{lx} = 256,33 \text{ kg.m} = 2,56 \text{ kN.m}$$

$$M_{tx} = 506,56 \text{ kg.m} = 5,07 \text{ kN.m}$$

- Data perencanaan:

$f'_c = 35 \text{ Mpa}$	$t_{\text{pelat}} = 120 \text{ mm}$	$\varnothing_{\text{rencana}} = 10 \text{ mm}$
$f_y = 400 \text{ Mpa}$	$t_{\text{selimut}} = 20 \text{ mm}$	$\phi = 0,9$
- Perhitungan Momen Lapangan X (M_{lx})

$$\beta_1 = 0,85 - \left(\frac{35-28}{7} \right) \cdot 0,05 = 0,8$$

$$dx = t_{\text{pelat}} - t_{\text{selimut}} - \frac{D}{2} = 120 \text{ mm} - 20 \text{ mm} - \frac{10 \text{ mm}}{2} = 95 \text{ mm}$$

$$m = \frac{F_y}{0,85 \times F_{cI}} = \frac{400}{0,85 \times 35} = 13,45$$

$$P_{min} = 0,002 \text{ (SNI 03-2847-2013 Pasal 7.12.2.1)}$$

$$P_{max} = 0.75 \times \frac{0.85 \times \beta_1 \times f_c}{f_y} \times \left(\frac{600}{600+f_y} \right)$$

$$P_{max} = 0.75 \times \frac{0.85 \times 0.8 \times 35 \text{ MPa}}{400 \text{ MPa}} \times \left(\frac{600}{600+400 \text{ MPa}} \right)$$

$$P_{max} = 0,0268$$

$$M_{lx} = 256,33 \text{ kg.m} = 2.563.300 \text{ N.mm}$$

$$M_n = \frac{M_{lx}}{\phi} = \frac{2.563.300 \text{ N.mm}}{0,9} = 2.848.111,1 \text{ Nmm}$$

$$R_n = \frac{Mu}{b \times dx^2} = \frac{2.563.300 \text{ N.mm}}{1000mm \times (95mm)^2} = 0,29 \text{ N.mm}^2$$

$$\rho_{perlu} = \frac{1}{m} \times \left(1 - \sqrt{1 - \frac{2 \times R_n \times m}{F_y}} \right)$$

$$\rho_{perlu} = \frac{1}{13,45} \times \left(1 - \sqrt{1 - \frac{2 \times 0,29 \times 13,45}{400}} \right)$$

$$\rho_{perlu} = 0,0007$$

karena $\rho_{perlu} = \rho_{min}$, maka yang digunakan adalah $\rho_{min} = 0,002$

$$AS_{perlu} = p \times b \times d$$

$$AS_{perlu} = 0,002 \times 1000mm \times 95mm$$

$$AS_{perlu} = 190 \text{ mm}^2$$

Maka dipakai = D10-200 → As pakai = 392,7 mm²

Sehingga, dapat disimpulkan:

No	Tipe Plat	Momen yang terjadi		ρ_b	$\rho_{min} = \rho$	Tulangan lentur normal					CEK
		(Kg.m)				$A_{S_{perlu}}$ (mm ²)	Pakai Tulangan	\emptyset	-	s (mm)	
10	J	MIx	256,33	0,038	0,0037	190	10	-	200	392,7	OK
		Mtx	506,56	0,038	0,0037	190	10	-	200	392,7	OK

- Kontrol jarak tulangan

Berdasarkan SNI 03-2847-2013 Pasal 13.3.2, disebutkan bahwa spasi tulangan pada penampang kritis tidak boleh melebihi dari dua kali tebal slab, sehingga:

$$s_{pakai} < 2 \times t_s$$

$$200\text{mm} < 2 \times 120\text{mm}$$

200mm < 240mm (**Memenuhi**)

- Kontrol retak

Menurut SNI 03 -2847 – 2013 pasal 10.6.4 spasi tulangan terdekat ke muka tarik, s tidak boleh melebihi yang diberikan oleh:

$$s = 300 \times (280/(f_s)) - 2,5 \text{ Cc}$$

dengan:

Cc = 20 mm (jarak terkecil dari permukaan tulangan ke muka tarik)

$$f_s = 2/3 F_y = 2/3 \times 400 = 267 \text{ Mpa}$$

maka:

$$s = 380 \times (280/(267)) - 2,5 \times 20$$

$$s = 348,5 \text{ mm} > 200 \text{ mm} (\text{Memenuhi})$$

jadi untuk daerah tumpuan x dipakai tulangan $\emptyset 10\text{mm} - 200\text{mm}$.

- Kontrol ketebalan plat terhadap geser

Berdasarkan SNI 03-2847-2013 pasal 8.3.3, nilai Vu adalah:

$$Vu = \frac{wu \cdot ln}{2} = \frac{12,91 \text{kN/m}^2 \cdot (5,1\text{m} - 0,3\text{m})}{2} = 30,98 \text{kN}$$

Nilai Vc ditentukan berdasarkan SNI 03-2847-2013 pasal 11.2.1.

$$V_c = 0,17 \cdot \lambda \cdot \sqrt{f'_c} \cdot b_w \cdot d$$

Dimana:

$\lambda = 1$ untuk beton normal berdasarkan (SNI 03-28472013 pasal 8.6.1)

$$V_c = 0,17 \cdot 1 \cdot \sqrt{35'} \cdot 1000\text{mm} \cdot 95\text{mm} = 95.544,7 \text{ N}$$

$$\phi V_c = 0,75 \cdot 95.544,7 \text{ N} = 71.658,5 \text{ N} = 71,65 \text{ kN}$$

$$30,98 \text{ kN} < 71,65 \text{ kN}$$

$V_u < \phi V_c$ (**Memenuhi**)

- Perhitungan kebutuhan tulangan bagi

Karena merupakan pelat satu arah, dipasang tulangan susut sesuai SNI 2847-2013 pasal 7.12.2.1 sebagai berikut:

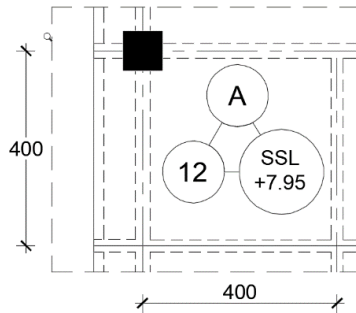
$$AS_{perlu} = p \times b \times d$$

$$AS_{perlu} = 0,002 \times 1000\text{mm} \times 95\text{mm}$$

$$AS_{perlu} = 190 \text{ mm}^2$$

Maka dipakai = D10-200 → As pakai = 392,7 mm²

7.1.3.2 Perhitungan Plat Dua Arah



Gambar 7.4 Plat dua arah tipe A

$$M_{lx} = 433,95 \text{ kg.m} = 4,33 \text{ kN.m}$$

$$M_{tx} = 1074,5 \text{ kg.m} = 10,74 \text{ kN.m}$$

- Data perencanaan

Untuk $f_c = 35 \text{ MPa}$, maka:

$$\beta_1 = 0,85 - \left(\frac{35-28}{7} \right) \cdot 0,05 = 0,8$$

$$dx = t_{pelat} - t_{selimut} - \frac{D}{2} = 120\text{mm} - 20\text{mm} - \frac{10\text{mm}}{2} = 95 \text{ mm}$$

$$m = \frac{F_y}{0,85 \times F_{c'}} = \frac{400}{0,85 \times 35} = 13,45$$

$$P_{min} = 0,002 \text{ (SNI 03-2847-2013 Pasal 7.12.2.1)}$$

$$P_{max} = 0,75 \times \frac{0,85 \times \beta_1 \times f_{c'}}{f_y} \times \left(\frac{600}{600+f_y} \right)$$

$$P_{max} = 0,75 \times \frac{0,85 \times 0,8 \times 35 \text{ MPa}}{400 \text{ MPa}} \times \left(\frac{600}{600+400 \text{ MPa}} \right)$$

$$P_{max} = 0,025$$

$$M_{lx} = 433,95 \text{ kg.m} = 4.339.500 \text{ N.mm}$$

$$M_n = \frac{M_{lx}}{\phi} = \frac{4.339.500 \text{ N.mm}}{0,9} = 4.821.674,6 \text{ Nmm}$$

$$R_n = \frac{Mu}{b \times dx^2} = \frac{4.339.500 \text{ N.mm}}{1000mm \times (95mm)^2} = 0481 \text{ N.mm}^2$$

$$\rho_{perlu} = \frac{1}{m} \times \left(1 - \sqrt{1 - \frac{2 \times R_n \times m}{F_y}} \right)$$

$$\rho_{perlu} = \frac{1}{13,45} \times \left(1 - \sqrt{1 - \frac{2 \times 0,481 \times 13,45}{400}} \right)$$

$$\rho_{perlu} = 0,0012$$

karena $\rho_{perlu} < \rho_{min}$, maka yang digunakan adalah $\rho_{min} = 0,002$

$$AS_{perlu} = p \times b \times d$$

$$AS_{perlu} = 0,002 \times 1000mm \times 95mm$$

$$AS_{perlu} = 190mm^2$$

Maka dipakai $M_{lx} = \mathbf{D10-200} \rightarrow AS_{pakai} = 392,7 \text{ mm}^2$

- Perhitungan Momen Tumpuan X (Mtx)

$$\beta_1 = 0,85 - \left(\frac{35-28}{7} \right) \cdot 0,05 = 0,8$$

$$dx = t_{pelat} - t_{selimut} - \frac{D}{2} = 120\text{mm} - 20\text{mm} - \frac{10\text{mm}}{2} = 95\text{mm}$$

$$m = \frac{F_y}{0,85 \times F_c} = \frac{400}{0,85 \times 35} = 13,45$$

$P_{min} = 0,002$ (SNI 03-2847-2013 Pasal 7.12.2.1)

$$P_{max} = 0,75 \times \frac{0,85 \times 0,8 \times 35 \text{ Mpa}}{400\text{Mpa}} \times \left(\frac{600}{600+400\text{Mpa}} \right)$$

$$P_{max} = 0,025$$

$$M_u = 1074,5 \text{ kg.m} = 10.745.000 \text{ N.mm}$$

$$M_n = \frac{M_{lx}}{\phi} = \frac{10.745.000 \text{ N.mm}}{0,9} = 11939384,89 \text{ Nmm}$$

$$R_n = \frac{Mu}{b \times dx^2} = \frac{10.745.000 \text{ N.mm}}{1000mm \times (95mm)^2} = 1,191 \text{ N.mm}^2$$

$$\rho_{perlu} = \frac{1}{m} \times \left(1 - \sqrt{1 - \frac{2 \times R_n \times m}{F_y}} \right)$$

$$\rho_{perlu} = \frac{1}{13,45} \times \left(1 - \sqrt{1 - \frac{2 \times 1,191 \times 13,45}{400}} \right)$$

$$\rho_{perlu} = 0,0030$$

karena $\rho_{perlu} > \rho_{min}$, maka yang digunakan adalah $\rho_{min} = 0,003$

$$AS_{perlu} = p \times b \times d$$

$$AS_{perlu} = 0,003 \times 1000mm \times 95mm$$

$$AS_{perlu} = 288,67 \text{ mm}^2$$

Maka dipakai Mtx = D10-200 → As pakai = 392,7 mm²

$$Mly = 433,95 \text{ kg.m} = 4,33 \text{ kN.m}$$

$$Mty = 1074,5 \text{ kg.m} = 10,74 \text{ kN.m}$$

- Data perencanaan:

$$f_c' = 35 \text{ MPa}; \quad t_{pelat} = 120 \text{ mm}; \quad \varnothing_{rencana} = 10 \text{ mm}$$

$$f_y = 400 \text{ MPa}; \quad t_{selimut} = 20 \text{ mm}; \quad \phi = 0,9$$

- Perhitungan Momen Lapangan Y (Mly)

$$\beta_1 = 0,85 - \left(\frac{35-28}{7} \right) \cdot 0,05 = 0,8$$

$$dy = t_{pelat} - t_{selimut} - \frac{D}{2} = 120\text{mm} - 20\text{mm} - 10\text{mm} - 10\text{mm}/2 =$$

$$85\text{mm}$$

$$m = \frac{Fy}{0,85 \times f_{c'}} = \frac{400}{0,85 \times 35} = 13,45$$

$$P_{min} = 0,002 \text{ (SNI 03-2847-2013 Pasal 7.12.2.1)}$$

$$P_{max} = 0,75 \times \frac{0,85 \times \beta_1 \times f_{c'}}{f_y} \times \left(\frac{600}{600+f_y} \right)$$

$$P_{max} = 0,75 \times \frac{0,85 \times 0,8 \times 35 \text{ MPa}}{400 \text{ MPa}} \times \left(\frac{600}{600+400 \text{ MPa}} \right)$$

$$P_{max} = 0,025$$

$$M_u = 433,95 \text{ kg.m} = 4.339.500 \text{ N.mm}$$

$$M_n = \frac{Mly}{\phi} = \frac{4.339.500 \text{ N.mm}}{0,9} = 4.821.674,6 \text{ Nmm}$$

$$R_n = \frac{Mu}{b \times dy^2} = \frac{4.339.500 \text{ N.mm}}{1000 \text{ mm} \times (85\text{mm})^2} = 0601 \text{ N.mm}^2$$

$$\rho_{perlu} = \frac{1}{m} \times \left(1 - \sqrt{1 - \frac{2 \times Rn \times m}{Fy}} \right)$$

$$\rho_{\text{perlu}} = \frac{1}{13,45} \times \left(1 - \sqrt{1 - \frac{2 \times 0,481 \times 13,45}{400}} \right)$$

$$\rho_{\text{perlu}} = 0,0015$$

karena $\rho_{\text{perlu}} < \rho_{\text{min}}$, maka yang digunakan adalah $\rho_{\text{min}} = 0,002$

$$AS_{\text{perlu}} = p \times b \times d$$

$$AS_{\text{perlu}} = 0,002 \times 1000mm \times 85mm$$

$$AS_{\text{perlu}} = 170mm^2$$

Maka dipakai Mly = **D10-200** → As pakai = 392,7 mm²

- Perhitungan Momen Tumpuan Y (Mty)

$$\beta_1 = 0,85 - \left(\frac{35-28}{7} \right) \cdot 0,05 = 0,8$$

$$dy = t_{\text{pelat}} - t_{\text{selimut}} - \frac{D}{2} = 120mm - 20mm - 10mm - 10mm / 2 = 85mm$$

$$m = \frac{Fy}{0,85 \times f_{ct}} = \frac{400}{0,85 \times 35} = 13,45$$

$$P_{\text{min}} = 0,002 \text{ (SNI 03-2847-2013 Pasal 7.12.2.1)}$$

$$P_{\text{max}} = 0,75 \times \frac{0,85 \times \beta_1 \times f_{ct'}}{f_y} \times \left(\frac{600}{600+f_y} \right)$$

$$P_{\text{max}} = 0,75 \times \frac{0,85 \times 0,8 \times 35 \text{ Mpa}}{400 \text{ Mpa}} \times \left(\frac{600}{600+400 \text{ Mpa}} \right)$$

$$P_{\text{max}} = 0,025$$

$$M_u = 1074,5 \text{ kg.m} = 10.745.000 \text{ N.mm}$$

$$M_n = \frac{M_l x}{\phi} = \frac{10.745.000 \text{ N.mm}}{0,9} = 11939384,89 \text{ Nmm}$$

$$R_n = \frac{M_u}{b \times dy^2} = \frac{10.745.000 \text{ N.mm}}{1000mm \times (85mm)^2} = 1,487 \text{ N.mm}^2$$

$$\rho_{\text{perlu}} = \frac{1}{m} \times \left(1 - \sqrt{1 - \frac{2 \times R_n \times m}{F_y}} \right)$$

$$\rho_{\text{perlu}} = \frac{1}{13,45} \times \left(1 - \sqrt{1 - \frac{2 \times 1,487 \times 13,45}{400}} \right)$$

$$\rho_{\text{perlu}} = 0,0038$$

karena $\rho_{\text{perlu}} > \rho_{\text{min}}$, maka yang digunakan adalah $\rho_{\text{perlu}} = 0,0038$

$$AS_{\text{perlu}} = p \times b \times d$$

$$AS_{\text{perlu}} = 0,0038 \times 1000\text{mm} \times 85\text{mm}$$

$$AS_{\text{perlu}} = 324,36\text{mm}^2$$

Maka dipakai Mty = D10-200 \rightarrow As pakai = 392,7 mm²

Sehingga dapat disimpulkan:

No	Tipe Plat	Momen yang terjadi		ρ_b	$\rho_{\text{min}} = \rho$	Tulangan lentur normal						CEK
		(Kg.m)				As _{perlu} (mm ²)	Ø	-	s (mm)	As _{pakai} (mm ²)		
		Mlx	433,95	0,036	0,0037	190	10	-	200	392,7	OK	
1	A	Mtx	1074,54	0,038	0,0037	288,67	10	-	200	392,7	OK	
		Mly	433,95	0,038	0,0037	170	10	-	200	392,7	OK	
		Mty	1074,54	0,038	0,0037	324,36	10	-	200	392,7	OK	

- Kontrol jarak tulangan

Berdasarkan SNI 03-2847-2013 Pasal 13.3.2, disebutkan bahwa spasi tulangan pada penampang kritis tidak boleh melebihi dari dua kali tebal slab, sehingga:

$$s_{\text{pakai}} < 2 \times t_s$$

$$200\text{mm} < 2 \times 120\text{mm}$$

200mm < 240mm (**Memenuhi**)

- Kontrol retak

Menurut SNI 03-2847-2013 pasal 10.6.4 spasi tulangan terdekat ke muka tarik, s tidak boleh melebihi yang diberikan oleh:

$$s = 380 \times (280/(f_s)) - 2,5 C_c$$

dengan:

$C_c = 20 \text{ mm}$ (jarak terkecil dari permukaan tulangan ke muka tarik)

$$f_s = 2/3 F_y = 2/3 \times 400 = 267 \text{ MPa}$$

maka:

$$s = 380 \times (280/267) - 2,5 \times 20$$

$$s = 348,5 \text{ mm} > 200 \text{ mm} (\textbf{Memenuhi})$$

jadi untuk daerah tumpuan x dipakai tulangan $\varnothing 10 \text{ mm} - 200 \text{ mm}$.

- Perhitungan kebutuhan tulangan bagi

Karena merupakan pelat satu arah, dipasang tulangan susut sesuai SNI 2847-2013 pasal 7.12.2.1 sebagai berikut

$$AS_{perlu} = p \times b \times d$$

$$AS_{perlu} = 0.002 \times 1000 \text{ mm} \times 95 \text{ mm}$$

$$AS_{perlu} = 190 \text{ mm}^2$$

Maka dipakai = D10-200 → As pakai = $392,7 \text{ mm}^2$

- Kontrol jarak tulangan

Berdasarkan SNI 03-2847-2013 Pasal 13.3.2, disebutkan bahwa spasi tulangan pada penampang kritis tidak boleh melebihi dari dua kali tebal slab, sehingga:

$$s_{pakai} < 2 \times ts$$

$$200 \text{ mm} < 2 \times 120 \text{ mm}$$

$$200 \text{ mm} < 240 \text{ mm} (\textbf{Memenuhi})$$

- Cek jarak tulangan terhadap kontrol retak

Pengecekan jarak tulangan terhadap kontrol retak dilakukan berdasarkan SNI 2847-2013 pasal 10.6.4.

Syarat:

$$s = 380 \cdot \left(\frac{280}{f_s} \right) - 2,5 \cdot c_c \text{ dan tidak melebihi: } s_{\max} = 380 \cdot \left(\frac{280}{f_s} \right)$$

$$f_s = \frac{2}{3} \cdot f_y = \frac{2}{3} \cdot 400 \text{ MPa} = 266,67 \text{ Mpa}$$

Dengan cc merupakan jarak terkecil dari permukaan tulangan ke muka tarik, sehingga cc = 20 mm.

Sehingga:

$$s = 380 \cdot \left(\frac{280}{266,67 \text{ MPa}} \right) - 2,5 \cdot 20 \text{ mm} = 348,5 \text{ mm}$$

$$s_{\max} = 380 \cdot \left(\frac{280}{266,67 \text{ MPa}} \right) = 398,5 \text{ mm}$$

Kontrol jarak antar tulangan dipakai:

200 mm < 348,5 mm (**memenuhi**)

Untuk perhitungan tipe pelat lain dapat dihitung dengan proses perhitungan serupa dengan bantuan program Ms. Excel pada tabel rekapitulasi penulangan pelat lantai berikut :

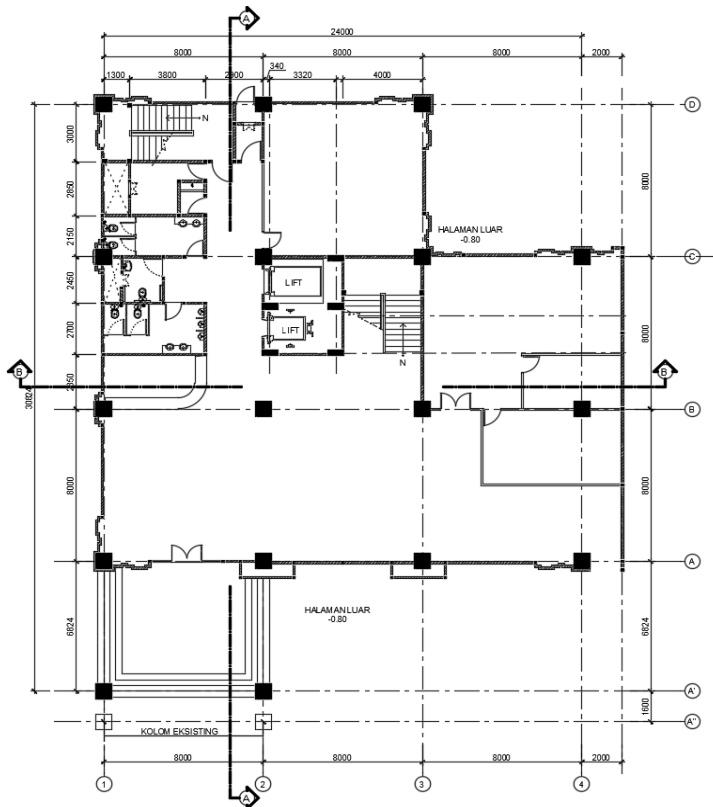
Tabel 7.5 Rekapitulasi plat

No	Tipe Plat	Momen yang terjadi (Kg.m)		ρ_{Max}	ρ_{Min}	Tulangan lentur normal					CEK
		M_{lx}	M_{tx}			As_{perlu} (mm ²)	ϕ	Pakai Tulangan	As_{pakai} (mm ²)		
1	A	433,95	0,025	0,002	190	10	-	200	392,7	OK	
		1074,54	0,025	0,002	288,67	10	-	200	392,7	OK	
		433,95	0,025	0,002	170	10	-	200	392,7	OK	
		1074,54	0,025	0,002	324,36	10	-	200	392,7	OK	
2	B	421,00	0,025	0,002	190	10	-	200	392,7	OK	
		962,27	0,025	0,002	300,29	10	-	200	392,7	OK	
		300,71	0,025	0,002	170	10	-	200	392,7	OK	
		841,99	0,025	0,002	234,44	10	-	200	392,7	OK	
3	C	211,81	0,025	0,002	190	10	-	200	392,7	OK	
		428,78	0,025	0,002	190	10	-	200	392,7	OK	
		61,99	0,025	0,002	170	10	-	200	392,7	OK	
		294,47	0,025	0,002	170	10	-	200	392,7	OK	
4	D	356,67	0,025	0,002	190	10	-	200	392,7	OK	
		765,80	0,025	0,002	190	10	-	200	392,7	OK	
		188,83	0,025	0,002	170	10	-	200	392,7	OK	
		597,95	0,025	0,002	170	10	-	200	392,7	OK	
5	E	220,30	0,025	0,002	190	10	-	200	392,7	OK	
		804,26	0,025	0,002	190	10	-	200	392,7	OK	
		324,80	0,025	0,002	170	10	-	200	392,7	OK	
		804,26	0,025	0,002	170	10	-	200	392,7	OK	
6	F	217,07	0,025	0,002	190	10	-	200	392,7	OK	
		496,15	0,025	0,002	190	10	-	200	392,7	OK	
		155,05	0,025	0,002	170	10	-	200	392,7	OK	
		434,13	0,025	0,002	170	10	-	200	392,7	OK	
7	G	419,61	0,025	0,002	190	10	-	200	392,7	OK	
		860,21	0,025	0,002	190	10	-	200	392,7	OK	
		136,37	0,025	0,002	170	10	-	200	392,7	OK	
		597,95	0,025	0,002	170	10	-	200	392,7	OK	
8	H	159,48	0,025	0,002	190	10	-	200	392,7	OK	
		364,52	0,025	0,002	190	10	-	200	392,7	OK	
		113,91	0,025	0,002	170	10	-	200	392,7	OK	
		318,95	0,025	0,002	170	10	-	200	392,7	OK	
9	I	202,98	0,025	0,002	190	10	-	200	392,7	OK	
		435,81	0,025	0,002	190	10	-	200	392,7	OK	
		107,46	0,025	0,002	170	10	-	200	392,7	OK	
		340,29	0,025	0,002	170	10	-	200	392,7	OK	
10	J	256,33	0,025	0,002	190	10	-	200	392,7	OK	
		506,56	0,025	0,002	190	10	-	200	392,7	OK	

No	Tipe Plat	Momen yang terjadi		ρMax	ρMin	Tulangan lentur normal							CEK
						As_perlu (mm ²)	Pakai Tulangan			As_pakai (mm ²)			
		(Kg.m)					Ø	-	s (mm)				
11	K	Mlx	356,67	0,025	0,002	190	10	-	200	392,7	OK		
		Mtx	765,80	0,025	0,002	190	10	-	200	392,7	OK		
		Mly	188,83	0,025	0,002	170	10	-	200	392,7	OK		
		Mty	597,95	0,025	0,002	170	10	-	200	392,7	OK		
12	L	Mlx	196,35	0,025	0,002	190	10	-	200	392,7	OK		
		Mtx	414,51	0,025	0,002	190	10	-	200	392,7	OK		
		Mly	92,72	0,025	0,002	170	10	-	200	392,7	OK		
		Mty	310,88	0,025	0,002	170	10	-	200	392,7	OK		
13	M	Mlx	97,08	0,025	0,002	190	10	-	200	392,7	OK		
		Mtx	204,95	0,025	0,002	190	10	-	200	392,7	OK		
		Mly	45,84	0,025	0,002	170	10	-	200	392,7	OK		
		Mty	153,71	0,025	0,002	170	10	-	200	392,7	OK		
14	N	Mlx	61,39	0,025	0,002	190	10	-	200	392,7	OK		
		Mtx	124,28	0,025	0,002	190	10	-	200	392,7	OK		
15	O	Mlx	365,51	0,025	0,002	190	10	-	200	392,7	OK		
		Mtx	784,77	0,025	0,002	190	10	-	200	392,7	OK		
		Mly	193,51	0,025	0,002	170	10	-	200	392,7	OK		
		Mty	612,77	0,025	0,002	170	10	-	200	392,7	OK		
16	P	Mlx	244,72	0,025	0,002	190	10	-	200	392,7	OK		
		Mtx	507,79	0,025	0,002	190	10	-	200	392,7	OK		
		Mly	73,42	0,025	0,002	170	10	-	200	392,7	OK		
		Mty	348,72	0,025	0,002	170	10	-	200	392,7	OK		
17	Q	Mlx	175,73	0,025	0,002	190	10	-	200	392,7	OK		
		Mtx	370,99	0,025	0,002	190	10	-	200	392,7	OK		
		Mly	82,98	0,025	0,002	170	10	-	200	392,7	OK		
		Mty	278,24	0,025	0,002	170	10	-	200	392,7	OK		
18	R	Mlx	656,47	0,025	0,002	190	10	-	200	392,7	OK		
		Mtx	1461,17	0,025	0,002	273,04	10	-	200	392,7	OK		
		Mly	402,35	0,025	0,002	170	10	-	200	392,7	OK		
		Mty	1207,05	0,025	0,002	201,11	10	-	200	392,7	OK		

7.2 Desain Struktur Tangga

Struktur tangga yang didesain meliputi plat tangga, balok tangga, plat bordes serta balok bordes. Sebagai contoh perhitungan ditinjau tangga yang menghubungkan lantai dasar dengan lantai 2. Denah untuk penempatan tangga yang ditinjau dapat dilihat pada gambar berikut:



Gambar 7.5 Denah penempatan tangga pada lantai dasar

7.2.1 Desain struktur plat tangga dan bordes

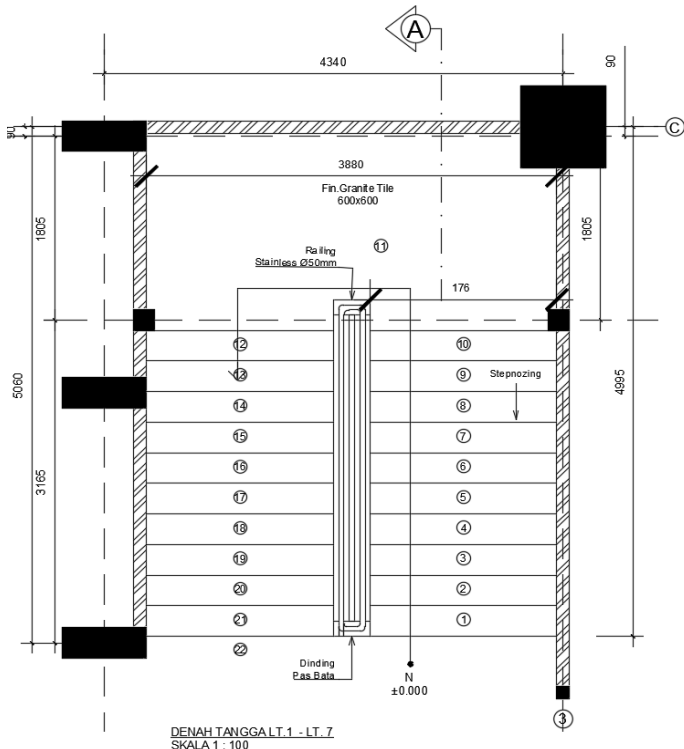
Data spesifikasi material struktur untuk plat tangga dan bordes yang akan disesain adalah sebagai berikut:

$$f_c' = 35 \text{ Mpa}$$

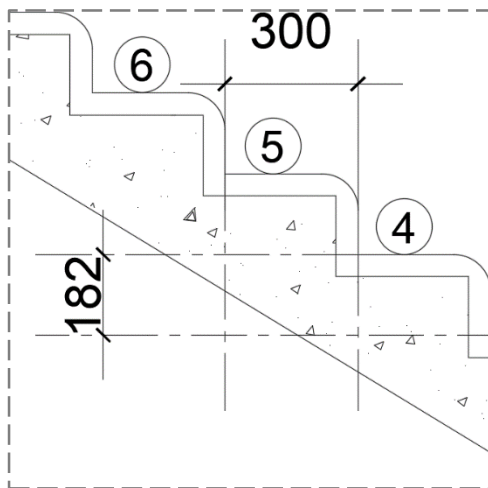
$$f_y = 400 \text{ Mpa}$$

Tulang direncanakan menggunakan D13

Berikut ini merupakan denah dan dimensi tangga berdasarkan hasil preliminary desain yang telah dilakukan:



Gambar 7.6 Denah tangga



Gambar 7.7 Dimensi injakan dan tanjakan anak tangga

Data Perencanaan:

Lebar injakan (i)	= 30 cm
Tinggi tanjakan (t)	= 18,2 cm
Tinggi tangga	= 4 m = 400 cm
Tinggi Bordes	= 2 m = 200 cm
Panjang datar tangga	= 316,5 cm

Dimensi pelat tangga:

$$Ly = 3,745 \text{ m}$$

$$Lx = 1,76 \text{ m}$$

Dimensi pelat bordes:

$$Ly = 3,88 \text{ m}$$

$$Lx = 1,8 \text{ m}$$

Tebal plat tangga = 140 mm, Tebal plat bordes = 140 mm

Tebal efektif plat tangga :

$$\begin{aligned}\text{Luas } \Delta 1 &= 0,5 \times i \times t \\ &= 0,5 \times 300\text{mm} \times 182\text{mm} \\ &= 27.300 \text{ mm}^2\end{aligned}$$

$$\begin{aligned}\text{Luas } \Delta 2 &= 0,5 \times (i^2 + t^2)0,5 \times d \\ &= 0,5 \times ((300\text{mm})^2 + (182\text{mm})^2)^{1/2} \times d \\ &= 175,45 \times d\end{aligned}$$

Persamaan Luas $\Delta 1$ = Luas $\Delta 2$

$$27.300 = 175,45 \times d$$

$$d = 155,6 \text{ mm}$$

$$0,5 d = 77,8$$

$$\begin{aligned}\text{Tebal efektif plat tangga} &= 140 \text{ mm} + 77,8 \text{ mm} \\ &= 217,8 \text{ mm} \sim 220 \text{ mm} \\ &= 22 \text{ cm}\end{aligned}$$

7.2.2 Pembebanan tangga

Plat tangga dan plat bordes menerima kombinasi beban ultimate dari beban mati dan beban hidup.

1. Beban Mati (DL)

$$\text{Beban keramik+spesi} = 66 \text{ kg/m}^2$$

Beban Anak Tangga

$$\begin{aligned}&= (0,22\text{m} \cdot 2400\text{kg/m}^3) - \\ &(0,14 \cdot 2400\text{kg/m}^3) = 192 \text{ kg/m}^2\end{aligned}$$

$$\text{Beban Pegangan Tangga} = 20 \text{ kg/m}^2$$

$$\begin{aligned}q_{DL_{Tangga}} &= 66 \text{ kg/m}^2 + 192 \text{ kg/m}^2 + 20 \\ &\text{kg/m}^2 = 278 \text{ kg/m}^2\end{aligned}$$

$$q_{DL_{Bordes}} = 66 \text{ kg/m}^2$$

2. Beban Hidup (LL)

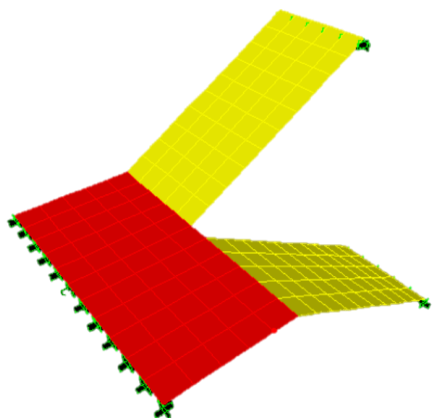
$$\begin{aligned} \text{Beban hidup tangga} &= 204,3 \text{ kg/m}^2 \\ q_{LL} &= 204,3 \text{ kg/m}^2 \end{aligned}$$

3. Kombinasi Beban

$$q_U = 1,2 D + 1,6$$

7.2.3 Permodelan Tangga

Untuk plat tangga dan plat bordes dimodelkan sebagai berikut menggunakan program bantu SAP 2000 v.14:



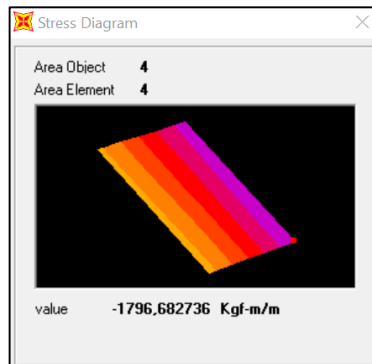
Gambar 7.8 Permodelan tangga pada SAP2000v.14

7.2.4 Analisis Struktur Plat Tangga dan Plat Bordes

Hasil dari analisis struktur didapatkan dengan bantuan program bantu SAP2000 berupa output momen M22 atau momen ultimate arah-y dengan kombinasi beban $q_U = 1,2D + 1,6L$ sebagai berikut:

7.2.4.1 Plat tangga

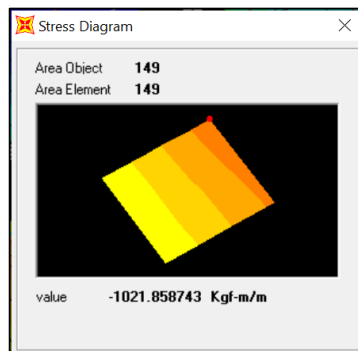
Momen M22 (Muy) didapatkan momen maksimum pada object 25 dengan nilai $M_{22} = 1796,68 \text{ Kg.m}$.



Gambar 7.9 Momen M22 (Muy) yang terjadi pada plat tangga

7.2.4.2 Plat bordes

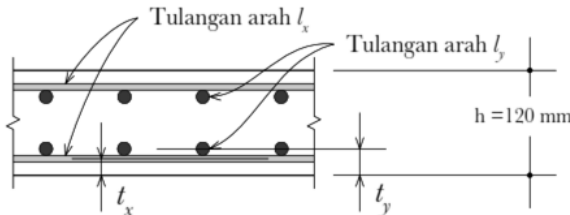
Momen M22 (Muy) didapatkan momen maksimum pada object 149 dengan nilai $M_{22} = 1021,85 \text{ kg.m}$



Gambar 7.10 Momen M22 (Muy) yang terjadi pada plat bordes

7.2.5 Perhitungan pada Plat Tangga

Tinggi efektif plat tangga



Gambar 7.11 Tinggi efektif plat tangga

$$\begin{aligned}
 dx &= t_{\text{pelat}} - tx \\
 &= t_{\text{pelat}} - t_{\text{selimut}} - \emptyset/2 \\
 &= 140\text{mm} - 20\text{mm} - 10\text{ mm . } \frac{1}{2} \\
 &= 113,5 \text{ mm} \\
 dy &= t_{\text{pelat}} - ty \\
 &= t_{\text{pelat}} - t_{\text{selimut}} - \emptyset - \emptyset/2 \\
 &= 140\text{mm} - 20\text{mm} - 13\text{mm} - 13\text{mm . } \frac{1}{2} \\
 &= 100,5 \text{ mm} \\
 Ly &= 374,5 \text{ cm} \\
 Lx &= 176 \text{ cm} \\
 \frac{Ly}{Lx} &= \frac{374,5}{176} = 2,127 > 2 \text{ (Plat Satu Arah)}
 \end{aligned}$$

Dengan menggunakan perhitungan seperti pada perhitungan kebutuhan tulangan pada plat tipe J pada program bantu Microsoft Excel, didapatkan kebutuhan tulangan sebagai berikut:

7.2.5.1 Data perencanaan

- $f'_c = 35 \text{ Mpa}$
- $t_{\text{pelat}} = 140 \text{ mm}$

- $\varnothing_{\text{rencana}} = 13 \text{ mm}$
- $f_y = 400 \text{ Mpa}$
- $t_{\text{selimut}} = 20 \text{ mm}$
- $\phi = 0,9$

7.2.5.2 Perhitungan

a. Tulangan arah x (sumbu pendek)

$$\beta_1 = 0,85 - \left(\frac{35-28}{7} \right) \cdot 0,05 = 0,8$$

$$dx = t_{\text{pelat}} - t_{\text{selimut}} - \frac{D}{2} = 140\text{mm} - 20\text{mm} - \frac{13\text{mm}}{2} = 113,5 \text{ mm}$$

$$m = \frac{F_y}{0,85 \times F_{c'}} = \frac{400}{0,85 \times 35} = 13,45$$

$$P_{\min} = 0,002 \text{ (SNI 03-2847-2013 Pasal 7.12.2.1)}$$

$$P_{\max} = 0,75 \times \frac{0,85 \times \beta_1 \times f_{c'}}{f_y} \times \left(\frac{600}{600+f_y} \right)$$

$$P_{\max} = 0,75 \times \frac{0,85 \times 0,8 \times 35 \text{ Mpa}}{400 \text{ Mpa}} \times \left(\frac{600}{600+400 \text{ Mpa}} \right)$$

$$P_{\max} = 0,027$$

$$M_{11} = M_{ux} = 359,33 \text{ kg.m} = 3.593.300 \text{ N.mm}$$

$$M_n = \frac{M_{ux}}{\phi} = \frac{3.593.300 \text{ N.mm}}{0,9} = 3.992.555 \text{ Nmm}$$

$$R_n = \frac{M_n}{b \times dx^2} = \frac{3.992.555 \text{ N.mm}}{1000\text{mm} \times (113,5 \text{ mm})^2} = 0,3 \text{ N.mm}^2$$

$$\rho_{\text{perlu}} = \frac{1}{m} \times \left(1 - \sqrt{1 - \frac{2 \times R_n \times m}{F_y}} \right)$$

$$\rho_{\text{perlu}} = \frac{1}{13,45} \times \left(1 - \sqrt{1 - \frac{2 \times 0,3 \times 13,45}{400}} \right) = 0,0008$$

karena $\rho_{\text{perlu}} < \rho_{\min}$, maka yang digunakan adalah $\rho_{\min} = 0,002$

$$AS_{perlu} = p \times b \times d$$

$$AS_{perlu} = 0,002 \times 1000mm \times 113,5mm$$

$$AS_{perlu} = 227 \text{ mm}^2$$

Sehingga dipakai tulangan **D10-200** → As pakai = 392,7 mm^2

b. Tulangan arah y (sumbu panjang)

M22 = Muy

$$= 1796,68 \text{ Kg.m} = 17,96 \text{ kN.m}$$

$$M_n = \frac{M_{uy}}{\phi} = \frac{17.966.800 \text{ N.mm}}{0,9} = 19.963.111,8 \text{ N.mm}$$

$$R_n = \frac{M_n}{b \cdot d^2} = \frac{19.963.111,8 \text{ N.mm}}{(1000) \cdot (100,5\text{mm})^2} = 1,97$$

$$\rho_{perlu} = \frac{1}{m} \left(1 - \sqrt{1 - \frac{2m \cdot R_n}{f_y}} \right)$$

$$= \frac{1}{13,45} \left(1 - \sqrt{1 - \frac{2(13,45) \cdot 1,97}{400 \text{ MPa}}} \right) = 0,0051$$

Syarat:

$$\rho_{min} < \rho_{perlu} < \rho_{max}$$

$$0,002 < 0,0051 < 0,027 \text{ (**memenuhi**)}$$

Maka dipakai $\rho_{perlu} = 0,0025$

$$A_{S_{perlu}} = \rho_{perlu} \cdot b \cdot dy$$

$$= 0,0025 \cdot 1000\text{mm} \cdot 100,5\text{mm} = 514 \text{ mm}^2$$

Dipakai tulangan **D13-150**

$$A_{S_{paku}} = \frac{0,25 \cdot \pi \cdot D^2 \cdot b}{s}$$

$$= \frac{0,25 \cdot \pi \cdot 13^2 \cdot 1000\text{mm}}{150} = 885 \text{ mm}^2$$

Cek:

$$\begin{array}{lcl} \text{As pakai} & > & \text{As perlu} \\ 885 \text{ mm}^2 & > & 246 \text{ mm}^2 \end{array} \quad (\text{Memenuhi})$$

Sehingga dipakai tulangan **D13 – 150**

7.2.6 Perhitungan pada Plat Bordes

7.2.6.1 Data perencanaan

- Mutu beton (f'_c) = 35 Mpa
- Mutu baja (f_y) = 400 Mpa
- Diameter tulangan rencana = 13 mm
- Tebal rencana pelat tangga = 140 mm
- Tebal rencana pelat bordes = 140 mm
- $b = 1000$ mm
- $\beta_1 = 0,8$
- Faktor reduksi (ϕ) = 0,9
- $Ly/Lx = \frac{3,88 \text{ m}}{1,805 \text{ m}} = 2,15 > 2,0$; Pelat satu arah

7.2.6.2 Perhitungan

a. Tinggi efektif plat bordes

$$\begin{aligned} dx &= t_{\text{pelat}} - t_{\text{selimut}} - \emptyset/2 \\ &= 140\text{mm} - 20\text{mm} - 13\text{mm} \cdot \frac{1}{2} \\ &= 113,5 \text{ mm} \end{aligned}$$

$$\begin{aligned} dy &= t_{\text{pelat}} - t_{\text{selimut}} - \emptyset - \emptyset/2 \\ &= 140\text{mm} - 20\text{mm} - 13\text{mm} - 13\text{mm} \cdot \frac{1}{2} \\ &= 100,5 \text{ mm} \end{aligned}$$

b. Rasio tulangan maksimum dan minimum

$$m = \frac{f_y}{0,85 \cdot f'_c} = \frac{400}{0,85 \cdot 35 \text{ MPa}} = 13,45$$

$$\begin{aligned}\rho b &= \frac{0,85 \cdot \beta_1 \cdot f_c'}{f_y} \left(\frac{600}{600+f_y} \right) \\ &= \frac{0,85 \cdot 0,8 \cdot 35 \text{ MPa}}{400 \text{ MPa}} \left(\frac{600}{600+400 \text{ MPa}} \right) \\ &= 0,0357\end{aligned}$$

$$\rho_{\max} = 0,75 \cdot \rho b = 0,75 \cdot 0,0357 = 0,0268$$

$$\rho_{\min} = 0,002$$

c. Tulangan arah x (sumbu pendek)

Karena merupakan pelat satu arah, pada bentang arah-x dipasang tulangan susut sesuai SNI 2847-2013 pasal 7.12.2.1 sebagai berikut:

$$\rho_{\text{perlu}} = 0,002 \text{ (SNI 2847-2013 ps 7.12.2.1)}$$

$$\begin{aligned}\text{As perlu} &= \rho_{\text{perlu}} \cdot b \cdot dx \\ &= 0,002 \cdot 1000 \text{ mm} \cdot 113,5 \text{ mm} \\ &= 227 \text{ mm}^2\end{aligned}$$

Dipakai tulangan **D13-150**

$$\begin{aligned}\text{As pakai} &= \frac{0,25 \cdot \pi \cdot D^2 \cdot b}{s} \\ &= \frac{0,25 \cdot \pi \cdot 13^2 \cdot 1000 \text{ mm}}{150} \\ &= 885 \text{ mm}^2\end{aligned}$$

Cek:

$$\begin{aligned}\text{As pakai} &> \text{As perlu} \\ 885 \text{ mm}^2 &> 222,3 \text{ mm}^2 \text{ (**Memenuhi**)}\end{aligned}$$

Sehingga dipakai tulangan susut **D13-150**

d. Tulangan arah y (sumbu panjang)
 $M_{22} = M_{uy}$

$$= 1021,85 \text{ Kg.m} = 10,22 \text{ kN.m}$$

$$M_n = \frac{M_{uy}}{\phi} = \frac{10.218.500 \text{ N.mm}}{0,9} = 11.353.888,8 \text{ N.mm}$$

$$R_n = \frac{M_n}{b \cdot d^2} = \frac{11.353.888,8 \text{ N.mm}}{1000 \cdot (100,5\text{mm})^2} = 1,12$$

$$\rho_{\text{perlu}} = \frac{1}{m} \left(1 - \sqrt{1 - \frac{2m \cdot R_n}{f_y}} \right)$$

$$= \frac{1}{13,45} \left(1 - \sqrt{1 - \frac{2(13,45) \cdot 1,12}{400 \text{ MPa}}} \right) = 0,0029$$

Syarat:

$$\rho_{\min} < \rho_{\text{perlu}} < \rho_{\max}$$

$0,002 > 0,0029 < 0,0268$ (**Memenuhi**)

$$\rho_{\text{perlu}} = 0,0029$$

$$A_s_{\text{perlu}} = \rho_{\text{perlu}} \cdot b \cdot dy$$

$$= 0,0029 \cdot 1000\text{mm} \cdot 100,5\text{mm}$$

$$= 288 \text{ mm}^2$$

Dipakai tulangan **D13-150**

$$A_s \text{ pakai} = \frac{0,25 \cdot \pi \cdot D^2 \cdot b}{s} = \frac{0,25 \cdot \pi \cdot 13^2 \cdot 1000\text{mm}}{150}$$

$$= 885 \text{ mm}^2$$

Cek:

$$A_s \text{ pakai} > A_s \text{ perlu}$$

$$885 \text{ mm}^2 > 288 \text{ mm}^2 \quad (\text{Memenuhi})$$

Sehingga dipakai tulangan **D13 – 150**

7.2.6.3 Kontrol jarak tulangan

Berdasarkan SNI 03-2847-2013 Pasal 13.3.2, disebutkan bahwa spasi tulangan pada penampang kritis tidak boleh melebihi dari dua kali tebal slab, sehingga:

$$s \text{ pakai} < 2 \times t_s$$

$$150\text{mm} < 2 \times 140\text{mm}$$

150mm < 280mm (**Memenuhi**)

7.2.6.4 Cek jarak tulangan terhadap kontrol retak

Pengecekan jarak tulangan terhadap kontrol retak dilakukan berdasarkan SNI 2847-2013 pasal 10.6.4.

Syarat:

$$s = 380 \cdot \left(\frac{280}{f_s}\right) - 2,5 \cdot c_c \text{ dan tidak melebihi: } s_{\max} = 380 \cdot \left(\frac{280}{f_s}\right)$$

$$f_s = \frac{2}{3} \cdot f_y = \frac{2}{3} \cdot 400\text{MPa} = 266,67 \text{ MPa}$$

Dengan cc merupakan jarak terkecil dari permukaan tulangan ke muka tarik, sehingga cc = 20 mm.

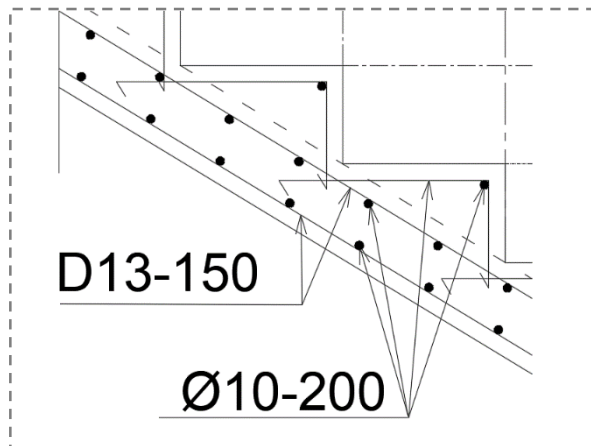
Sehingga:

$$s = 380 \cdot \left(\frac{280}{266,67\text{MPa}}\right) - 2,5 \cdot 20\text{mm} = 349 \text{ mm}$$

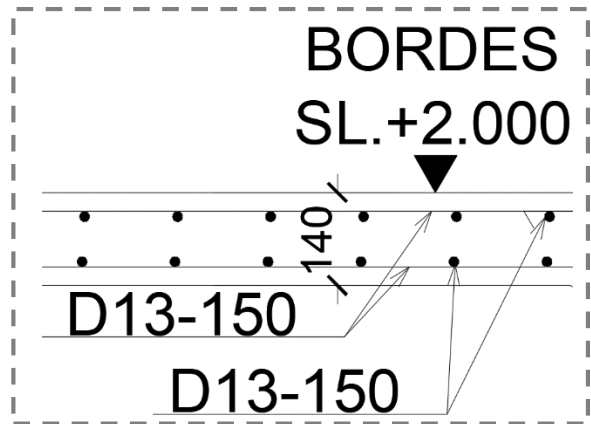
$$s_{\max} = 380 \cdot \left(\frac{280}{266,67 \text{ MPa}}\right) = 399 \text{ mm}$$

Kontrol jarak antar tulangan dipakai:

150 mm < 349 mm (**memenuhi**)



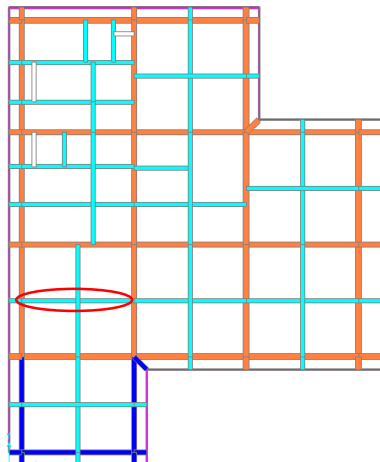
Gambar 7.12 Detail penulangan plat tangga



Gambar 7.13 Detail penulangan plat bordes

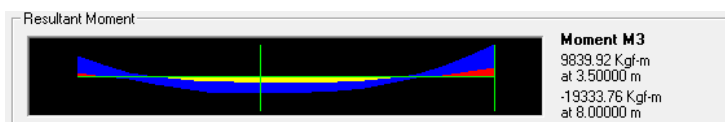
7.3 Desain Balok Anak

Untuk balok anak yang ditinjau, diambil salah satu balok anak di lantai 2 (frame 1932) yakni sebagai berikut:



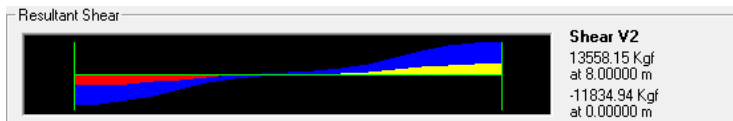
Gambar 7.14 Balok anak yang ditinjau

Dari hasil perhitungan gaya pada program bantu SAP2000 v.14 didapatkan gaya-gaya sebagai berikut:



Gambar 7.15 Momen yang terjadi pada balok anak

- Momen tumpuan maksimum = 19.333,76 kg.m = 193,34 kN
- Momen lapangan maksimum = 9839,92 kg.m = 983,99 kN



Gambar 7.16 Geser yang terjadi pada balok anak

- Vu maksimum = 13.558,15 kg = 135,58 kN



Gambar 7.17 Torsi yang terjadi pada balok anak

- Tu maksimum = 43,3 kg.m = 0,43 kN

7.3.1 Data perencanaaan

Jika direncanakan balok anak sebagai berikut:

$$L = 8000 \text{ mm}$$

$$b = 300 \text{ mm}$$

$$h = 400 \text{ mm}$$

$$t = 40 \text{ mm}$$

$$\text{ø tul.lentur} = D19$$

$$\text{ø tul.geser} = \emptyset 10$$

7.3.2 Perhitungan tulangan tumpuan

Syarat menghitung kebutuhan tulangan

Untuk $f_c' = 35 \text{ Mpa}$, maka:

$$\beta_1 = 0,85 - \left(\frac{35-28}{7} \right) \cdot 0,05 = 0,8$$

$$d = 340,5 \text{ mm}$$

$$m = \frac{fy}{0,85 \times fc'} = \frac{400 \text{ Mpa}}{29,75 \text{ Mpa}} = 13,45$$

$$\rho_{min} = \frac{1,4}{fy} = \frac{1,4}{400} = 0,004 \text{ Mpa}$$

$$\begin{aligned}\rho_{max} &= 0,75 \times \frac{0,85 \times \beta_1 \times fc'}{fy} \times \left(\frac{600}{600+fy} \right) \\ &= 0,75 \times \frac{0,85 \times 0,8 \times 35 \text{ Mpa}}{400 \text{ Mpa}} \times \left(\frac{600}{600+400} \right) \\ &= 0,0268\end{aligned}$$

$$Mu = 189599444 \text{ N.mm}$$

$$Mn = \frac{Mu}{0,9} = \frac{189599444}{0,9} = 210666048,9 \text{ N.mm}$$

$$Rn = \frac{Mn}{b \times d^2} = \frac{210666048,9}{34782075} = 6,05674 \text{ N.mm}$$

$$\begin{aligned}\rho &= \frac{1}{m} \times \left(1 - \sqrt{1 - \frac{2 \times m \times Rn}{fy}} \right) \\ &= \frac{1}{13,45} \times \left(1 - \sqrt{1 - \frac{2 \times 13,45 \times 6,05674}{400}} \right) \\ &= 0,017109917 \text{ Mpa}\end{aligned}$$

Karena $\rho_{max} > \rho > \rho_{min}$, maka dipakai $\rho = 0,0171$

Sehingga:

$$\begin{aligned}As_{perlu} &= \rho \times b \times d \\ &= 0,0171 \times 300 \times 340,5 \\ &= 1747,78 \text{ mm}^2\end{aligned}$$

Maka dipakai 7-D19 $\rightarrow As_{pakai} = 1983,70 \text{ mm}^2$

7.3.3 Perhitungan tulangan lapangan

Syarat menghitung kebutuhan tulangan

Untuk $f_{c'} = 35 \text{ Mpa}$, maka:

$$\beta_1 = 0,85 - \left(\frac{35-28}{7} \right) \cdot 0,05 = 0,8$$

$$d = 340,5 \text{ mm}$$

$$m = \frac{f_y}{0,85 \times f_{c'}} = \frac{400 \text{ Mpa}}{29,75 \text{ Mpa}} = 13,45$$

$$\rho_{min} = \frac{1,4}{f_y} = \frac{1,4}{400} = 0,004 \text{ Mpa}$$

$$\begin{aligned} \rho_{max} &= 0,75 \times \frac{0,85 \times \beta_1 \times f_{c'}}{f_y} \times \left(\frac{600}{600+f_y} \right) \\ &= 0,75 \times \frac{0,85 \times 0,8 \times 35 \text{ Mpa}}{400 \text{ Mpa}} \times \left(\frac{600}{600+400} \right) \\ &= 0,0268 \end{aligned}$$

$$Mu = 96496664,12 \text{ N.mm}$$

$$Mn = \frac{Mu}{0,9} = \frac{96496664,12}{0,9} = 107218515,7 \text{ N.mm}$$

$$Rn = \frac{Mn}{b \times d^2} = \frac{107218515,7}{34782075} = 3,083 \text{ N.mm}$$

$$\begin{aligned} \rho &= \frac{1}{m} \times \left(1 - \sqrt{1 - \frac{2 \times m \times Rn}{f_y}} \right) \\ &= \frac{1}{13,45} \times \left(1 - \sqrt{1 - \frac{2 \times 13,45 \times 3,083}{400}} \right) \\ &= 0,0082 \text{ Mpa} \end{aligned}$$

Karena $\rho_{max} > \rho > \rho_{min}$, maka dipakai $\rho = 0,0171$

Sehingga:

$$\begin{aligned} A_{\text{Sperlu}} &= \rho \times b \times d \\ &= 0,0082 \times 300 \times 340,5 \\ &= 832,87 \text{ mm}^2 \end{aligned}$$

Maka dipakai 3-D19 → $A_{\text{Spakai}} = 850,16 \text{ mm}^2$

7.3.4 Perhitungan tulangan geser

Gaya geser yang dipakai dalam perhitungan adalah gaya geser terfaktor, V_u sejauh d dari muka tumpuan sesuai SNI 03-2847-2013 Pasal 11.1.3.1.

$$\begin{aligned} V_u' &= \frac{V_u}{\frac{8000}{2}} \cdot \left(\frac{8000}{2} - d \right) \\ &= \frac{135,58 \text{ kN}}{4000 \text{ mm}} \cdot (4000 \text{ mm} - 340,5 \text{ mm}) = 124,03875 \text{ kN} \end{aligned}$$

Nilai V_c ditentukan berdasarkan SNI 03-2847-2013 pasal 11.2.1.

$$V_c = 0,17 \cdot \lambda \cdot \sqrt{f'_c} \cdot b_w \cdot d$$

Dimana $\lambda = 1$, menurut SNI 03-2847-2013 pasal 8.6.1

$$V_c = 0,17 \cdot 1 \cdot \sqrt{35 \text{ Mpa}} \cdot 300 \text{ mm} \cdot 340,5 \text{ mm} = 102.735,68 \text{ N}$$

$$\varphi \cdot V_c = 0,75 \cdot 102.735,68 \text{ N} = 77051,76 \text{ N} = 77,052 \text{ kN}$$

$$0,5 \cdot \varphi \cdot V_c = 0,5 \cdot 77,052 = 38,53 \text{ kN}$$

$$V_{S_{\min}} = \frac{b_w \cdot d}{3} = \frac{300 \text{ mm} \cdot 340,5 \text{ mm}}{3} = 34050 \text{ N} = 34,05 \text{ kN}$$

$$\varphi \cdot V_{S_{\min}} = 0,75 \cdot 34,05 \text{ kN} = 25,54 \text{ kN}$$

$$\begin{aligned} \varphi \cdot (V_c + \frac{1}{3} \cdot \sqrt{f'_c} \cdot b_w \cdot d) &= 0,75 \cdot (102.735,68 + \frac{1}{3} \cdot \sqrt{35 \text{ Mpa}} \cdot \\ &300 \cdot 340,5) = 228,134 \text{ kN} \end{aligned}$$

Karena $(\phi \cdot Vc + \phi \cdot Vs_{min}) < Vu' < \phi \cdot (Vc + \frac{1}{3} \cdot \sqrt{fc'} \cdot b_w \cdot d)$, maka memenuhi kondisi 4.

Beban geser yang harus dipikul oleh tulangan (Vs_{min}) adalah $Vu - \phi \cdot Vc$

$$Vs_{min} = 124,039 \text{ kN} - 77,052 \text{ kN} = 46,987 \text{ kN}$$

Jika digunakan sengkang 2 kaki $\varnothing 10$

$$Av = 2 \times \left(\frac{1}{4} \cdot \pi \cdot (10 \text{ mm})^2 \right) = 157,07 \text{ mm}^2$$

$$S_{maks} = \frac{Av \cdot fy \cdot d}{Vs} = \frac{157,07 \cdot 240 \cdot 340,5}{46,987 \text{ N}} = 273,177 \text{ mm}$$

$$\text{Spasi tulangan geser maks} = s_{maks} \geq \frac{d}{2} \geq 60 \text{ mm} = 170,25 \text{ mm}$$

Diambil $s = 150 \text{ mm}$

Maka dipakai sengkang $\varnothing 10 - 150 \text{ mm}$

7.3.5 Perhitungan panjang penyaluran tulangan

1. Panjang penyaluran tulangan tarik:

- Tulangan diteruskan sejauh d , $12d_b$, atau $ln/16$ (SNI 03-2847-2013 Pasal 12.10.3 dan 12.10.4):
 - $d = 340,5 \text{ mm}$
 - $12 d_b = 12 \times 19 \text{ mm} = 228 \text{ mm}$
 - $ln/16 = 7600 \text{ mm}/16 = 475 \text{ mm}$

Diambil nilai terbesar yakni $475 \text{ mm} \approx 500 \text{ mm}$

- Mencari nilai ld (SNI 03-2847-2013 Pasal 12.2.2):
Diketahui nilai:

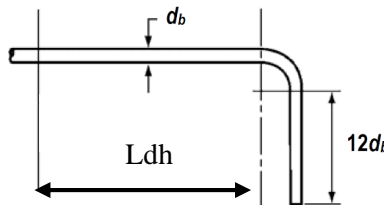
$$d_b = 19 \text{ mm}; \psi_s = 1,0; \psi_t = 1,0; \lambda = 1,0; \psi_e = 1,0$$

$$ld = \left(\frac{fy \cdot \Psi_t \cdot \Psi_e}{1,7 \cdot \lambda \cdot \sqrt{fc'}} \right) \cdot db$$

$$ld = \left(\frac{400 \cdot 1 \cdot 1}{1,7 \cdot 1 \cdot \sqrt{35 \text{ Mpa}}} \right) \cdot 19 \text{ mm} = 755,67 \text{ mm}$$

diambil nilai $ld = 800 \text{ mm}$

2. Panjang penyaluran tulangan berkait:

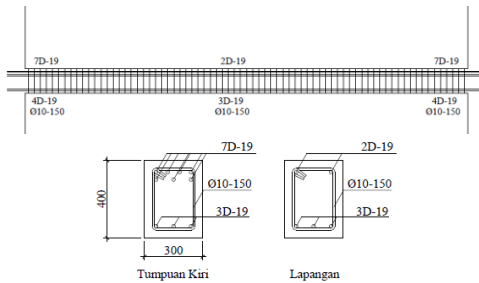


Gambar 7.18 Detail tulangan untuk penyaluran kait standar

$$ld = \left(\frac{0,24 \cdot \Psi_e \cdot fy}{\lambda \cdot \sqrt{fc'}} \right) \cdot db$$

$$ld = \left(\frac{0,24 \cdot 1 \cdot 400 \text{ Mpa}}{1 \cdot \sqrt{35 \text{ Mpa}}} \right) \cdot 19 \text{ mm} = 308,31 \text{ mm} \approx 350 \text{ mm}$$

Panjang kait = $12 \cdot db = 12 \cdot 19 = 228 \text{ mm} \approx 250 \text{ mm}$



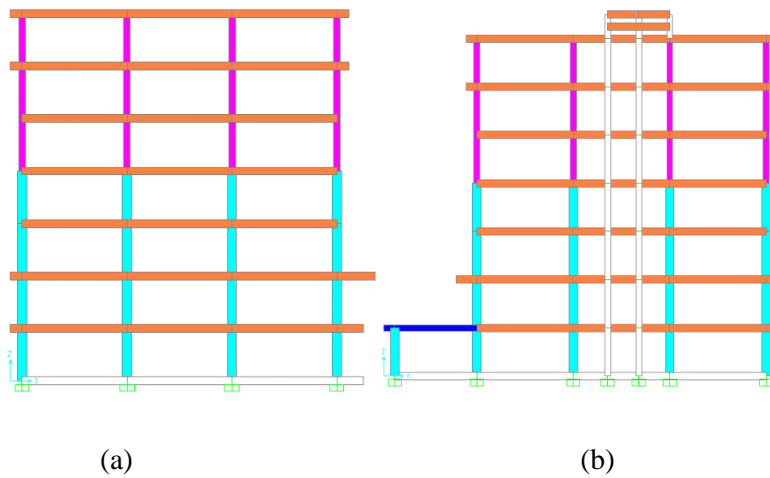
Gambar 7.19 Detail penulangan balok anak

BAB VIII

DESAIN STRUKTUR PRIMER

8.1 Umum

Untuk perhitungan struktur primer, portal pada bangunan yang akan ditinjau adalah sebanyak 2 portal. Portal tersebut dibagi menjadi 1 portal arah memanjang dan 1 portal arah melintang. Nantinya dari masing-masing portal akan dihitung untuk kebutuhan tulangan balok, kolom serta hubungan balok-kolom dari masing masing portal tersebut. Untuk portal yang ditinjau adalah sebagai berikut:



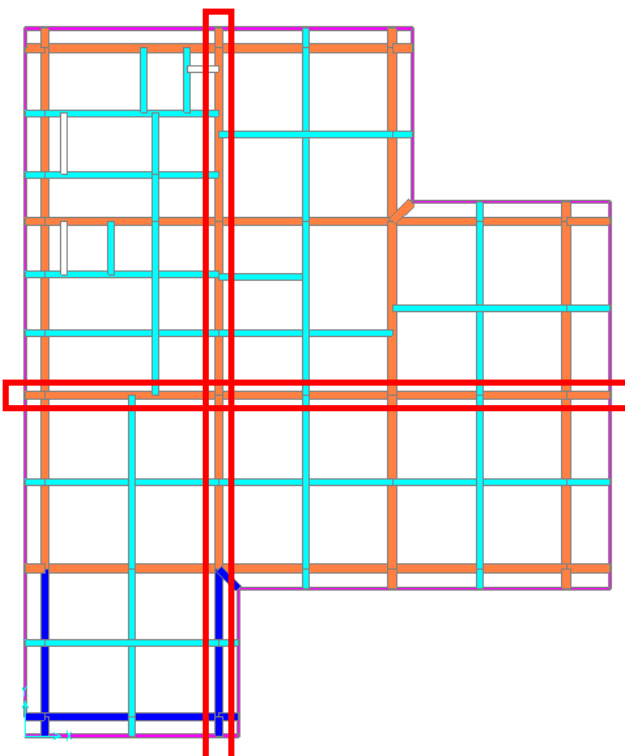
Gambar 8.1 Portal yang ditinjau; (a) portal pada bidang x-z; (b) portal pada bidang y-z

8.2 Desain Struktur Balok

Pada perhitungan penulangan balok, kami memperhitungkan penulangan balok induk pada portal-portal yang ditinjau, untuk balok yang dihitung secara manual adalah salah satu perhitungan balok pada tabel rekapitulasi perhitungan penulangan balok induk.

8.2.1 Perhitungan Balok Induk

Dari kedua portal yang ditinjau, diambil satu frame balok yang akan dijadikan percontohan perhitungan, yaitu frame 1784.



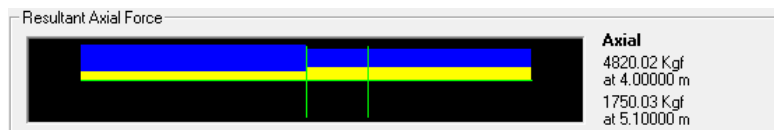
Gambar 8.2 Lokasi portal yang ditinjau

8.2.2 Data perencanaan

- Mutu beton f_c' = 35 Mpa
- Dimensi Balok = 400 x 600 mm
- Tinggi efektif balok = 529 mm
- Bentang Balok = 8000 mm
- Bentang bersih (L_n) = $8000 - 2 \times \frac{700}{2} = 7300$ mm
- Cover (t) = 40 mm
- Ø tulangan lentur = 22 mm
- Ø tulangan geser = 12 mm
- F_y lentur = 400 Mpa
- F_y geser = 240 Mpa
- $B_1 = 0,85 - (\frac{35-28}{7}) \cdot 0,05 = 0,8$
- $q_u = 1,2D + 1,0L$

8.2.3 Gaya yang terjadi pada balok

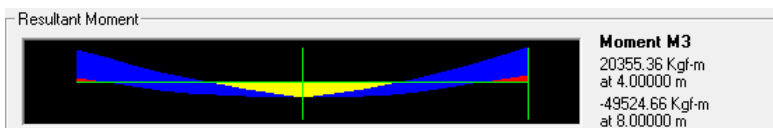
Untuk perhitungan yang kami tunjukkan disini mengacu pada satu frame di portal yang kami tinjau, yaitu frame 1784. Untuk mengetahui gaya yang terjadi pada balok, nantinya dilihat menggunakan program bantu SAP2000 v.14. Didapatkan gaya gaya sebagai berikut:



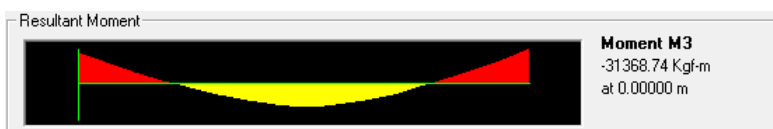
Gambar 8.3 Gaya aksial yang didapatkan dari SAP2000 dari kombinasi beban gempa



Gambar 8.4 Gaya aksial yang didapatkan dari SAP2000 dari kombinasi ultimate 1,2D + 1,6L



Gambar 8.9 Gaya momen yang didapatkan dari SAP2000 dari kombinasi beban gempa



Gambar 8.10 Gaya momen yang didapatkan dari SAP2000 dari kombinasi beban ultimate 1,2D + 1,6L

Tabel 8.1 Tabel momen terjadi pada balok induk frame 1784

Momen-momen kombinasi			Mn (ton.m)
Mu (ton.m)			
Tumpu kiri	1,2 D + 1,6 L	31,35	34,83
	1,2 D + 1,0 L + 1,0 EQ	45,30	50,33
Lapangan	1,2 D + 1,6 L	24,13	26,81
Tumpu kanan	1,2 D + 1,6 L	35,38	39,31
	1,2 D + 1,0 L + 1,0 EQ	48,80	54,22

8.2.4 Cek syarat komponen struktur lentur

Berdasarkan SNI 2847-2013 Pasal 21.5.1 mensyaratkan bahwa komponen struktur lentur SRPMK harus memenuhi hal-hal berikut:

- Gaya aksial tekan terfaktor pada komponen struktur lentur dibatasi maksimum $0,1 \text{ Ag} \cdot \text{fc}'$

$$0,1 \text{ Ag} \cdot \text{fc}' = 0,1 \times 400 \text{ mm} \times 600 \text{ mm} \times 35 \text{ Mpa} = 840 \text{ kN}$$

Dari program bantu SAP 2000 v.14. didapatkan: $P_u = 36,137 \text{ kN} < 840 \text{ kN}$ (**memenuhi**)

- Bentang bersih komponen struktur tidak boleh kurang dari 4 kali tinggi efektifnya (SNI 03-2847-2013 Pasal 21.5.2)

$$L_n = 7300 \text{ mm}$$

$$d = H_{Balok} - selimut - sengkang - D_{lentur}/2$$

$$d = 600 - 40 - 12 - 22/2$$

$$d = 537 \text{ mm}$$

$$4d = 4 \cdot (537 \text{ mm}) = 2148 \text{ mm} < 6400 \text{ mm}$$

$$4d < L_d \text{ (**memenuhi**)}$$

- Lebar komponen tidak boleh kurang dari 0,3 dan 250 mm (SNI 03-2847-2013 Pasal 21.5.3)

$$b/h = 400 \text{ mm}/600 \text{ mm} = 0,67 > 0,3 \text{ (**memenuhi**)}$$

$$400 \text{ mm} > 250 \text{ mm} \text{ (**memenuhi**)}$$

8.2.5 Perhitungan kebutuhan baja tulangan lentur

1. Momen di tumpuan kiri akibat kombinasi beban ultimate = 31,35 Ton.m

Momen nominal aktual:

$$M_n = \frac{M_u}{\varphi}$$

$$M_n = \frac{31,35}{0,9} = 34,83 \text{ Ton.m}$$

$$m = \frac{f_y}{0,85 \cdot f_{c'}}$$

$$m = \frac{400}{0,85 \cdot 35} = 13,4$$

$$R_n = \frac{M_n}{bd^2}$$

$$R_n = \frac{34,83}{(0,4 \cdot 0,529)^2} = 3,12$$

$$\rho_{perlu} = \frac{1}{m} \left(1 - \sqrt{1 - \frac{2m \cdot R_n}{f_y}} \right)$$

$$\rho_{perlu} = \frac{1}{13,4} \left(1 - \sqrt{1 - \frac{2(13,4) \cdot (3,12)}{400}} \right) = 0,00825$$

$$\rho_{min} = \frac{1,4}{f_y} = \frac{1,4}{400} = 0,0035$$

$$\rho_{maks} = 0,75 \left(\left(\frac{0,85 \cdot \beta_1 \cdot f_{c'}}{f_y} \right) \times \left(\frac{600}{600 + f_y} \right) \right)$$

$$\rho_{maks} = 0,75 \left(\left(\frac{0,85 \cdot 0,8 \cdot 35}{400} \right) \times \left(\frac{600}{600 + 400} \right) \right) = 0,0268$$

Karena $\rho_{maks} > \rho_{perlu} > \rho_{min}$, maka nilai ρ yang dipakai adalah $\rho_{perlu} = 0,00825$

$$As_{perlu} = \rho \times b \times d$$

$$As_{perlu} = 0,00825 \times 400 \times 529 = 1744,53 \text{ mm}^2$$

$$As'_{perlu} = 0,60 As_{perlu}$$

$$As'_{perlu} = 0,60 \times 1744,53 = 1046,72 \text{ mm}^2$$

2. Momen di tumpuan kiri akibat kombinasi beban gempa ultimate = 45,30 Ton.m

Momen nominal aktual:

$$M_n = \frac{M_u}{\phi}$$

$$M_n = \frac{45,30}{0,9} = 50,33 \text{ Ton.m}$$

$$m = \frac{f_y}{0,85 \cdot f_{c'}}$$

$$m = \frac{400}{0,85 \cdot 35} = 13,4$$

$$R_n = \frac{M_n}{bd^2}$$

$$R_n = \frac{50,33}{(0,4 \cdot 0,529)^2} = 4,51$$

$$\rho_{perlu} = \frac{1}{m} \left(1 - \sqrt{1 - \frac{2m \cdot R_n}{f_y}} \right)$$

$$\rho_{perlu} = \frac{1}{13,4} \left(1 - \sqrt{1 - \frac{2(13,4) \cdot (4,51)}{400}} \right) = 0,0123$$

$$\rho_{min} = \frac{1,4}{f_y} = \frac{1,4}{400} = 0,0035$$

$$\rho_{maks} = 0,75 \left(\left(\frac{0,85 \cdot \beta_1 \cdot f_{c'}}{f_y} \right) \times \left(\frac{600}{600 + f_y} \right) \right)$$

$$\rho_{maks} = 0,75 \left(\left(\frac{0,85 \cdot 0,8 \cdot 35}{400} \right) \times \left(\frac{600}{600 + 400} \right) \right) = 0,0268$$

Karena $\rho_{maks} > \rho_{perlu} > \rho_{min}$, maka nilai ρ yang dipakai adalah $\rho_{perlu} = 0,0123$

$$As_{perlu} = \rho \times b \times d$$

$$As_{perlu} = 0,0123 \times 400 \times 529 = 2595,12 \text{ mm}^2$$

$$As'_{perlu} = 0,60 As_{perlu}$$

$$As'_{perlu} = 0,60 \times 2595,12 = 1557,07 \text{ mm}^2$$

*As_{perlu} akibat beban kombinasi gempa >
As_{perlu} akibat beban kombinasi ultimate*

maka, As yang dipakai adalah 2595,12 mm² dan As' yang dipakai adalah 1557,07 mm².

$$n = \frac{As_{perlu}}{0,25 \cdot \pi \cdot D^2}$$

$$n = \frac{2595,12}{0,25 \cdot 3,14 \cdot 22^2} = 6,83 \approx 7 \rightarrow \text{kebutuhan tulangan tarik di tumpuan kiri balok.}$$

$$As_{pasang} = n \cdot 0,25 \cdot 3,14 \cdot D^2$$

$$As_{pasang} = 7 \cdot 0,25 \cdot 3,14 \cdot 22^2 = 2621,59 \text{ mm}^2 \rightarrow \text{Luas tulangan tarik pasang.}$$

$$n = \frac{As'_{perlu}}{0,25 \cdot \pi \cdot D^2}$$

$$n = \frac{1557,07}{0,25 \cdot 3,14 \cdot 22^2} = 4,10 \approx 4 \rightarrow \text{kebutuhan tulangan tekan di tumpuan kiri balok.}$$

$$As'_{pasang} = n \cdot 0,25 \cdot 3,14 \cdot D^2$$

$$As'_{pasang} = 4 \cdot 0,25 \cdot 3,14 \cdot 22^2 = 1557,75 \text{ mm}^2 \rightarrow \text{Luas tulangan tekan pasang.}$$

3. Momen di lapangan akibat kombinasi beban ultimate = 24,13 Ton.m

Momen nominal aktual:

$$M_n = \frac{M_u}{\varphi}$$

$$M_n = \frac{24,13}{0,9} = 26,81 \text{ Ton.m}$$

$$m = \frac{f_y}{0,85 \cdot f_c}$$

$$m = \frac{400}{0,85 \cdot 35} = 13,4$$

$$R_n = \frac{M_n}{bd^2}$$

$$R_n = \frac{50,33}{(0,4 \cdot 0,529)^2} = 2,40$$

$$\rho_{perlu} = \frac{1}{m} \left(1 - \sqrt{1 - \frac{2m \cdot R_n}{f_y}} \right)$$

$$\rho_{perlu} = \frac{1}{13,4} \left(1 - \sqrt{1 - \frac{2(13,4) \cdot (2,40)}{400}} \right) = 0,0063$$

$$\rho_{min} = \frac{1,4}{f_y} = \frac{1,4}{400} = 0,0035$$

$$\rho_{maks} = 0,75 \left(\left(\frac{0,85 \cdot \beta_1 \cdot f_c'}{f_y} \right) \times \left(\frac{600}{600 + f_y} \right) \right)$$

$$\rho_{maks} = 0,75 \left(\left(\frac{0,85 \cdot 0,8 \cdot 35}{400} \right) \times \left(\frac{600}{600 + 400} \right) \right) = 0,0268$$

Karena $\rho_{maks} > \rho_{perlu} > \rho_{min}$, maka nilai ρ yang dipakai adalah $\rho_{perlu} = 0,0063$

$$As_{perlu} = \rho \times b \times d$$

$$As_{perlu} = 0,0063 \times 400 \times 529 = 1323,84 \text{ mm}^2$$

$$As'_{perlu} = 0,60 As_{perlu}$$

$$As'_{perlu} = 0,60 \times 1323,84 = 794,30 \text{ mm}^2$$

maka, As yang dipakai adalah $1323,84 \text{ mm}^2$ dan As' yang dipakai adalah $794,30 \text{ mm}^2$.

$$n = \frac{As_{perlu}}{0,25 \cdot \pi \cdot D^2}$$

$$n = \frac{1323,84}{0,25 \cdot 3,14 \cdot 22^2} = 3,48 \approx 4 \rightarrow \text{kebutuhan tulangan tarik di lapangan balok.}$$

$$As_{pasang} = n \cdot 0,25 \cdot 3,14 \cdot D^2$$

$$As_{pasang} = 4 \cdot 0,25 \cdot 3,14 \cdot 22^2 = 1329,79 \text{ mm}^2 \rightarrow \text{Luas tulangan tarik pasang.}$$

$$n = \frac{As'_{perlu}}{0,25 \cdot \pi \cdot D^2}$$

$n = \frac{794,30}{0,25 \cdot 3,14 \cdot 22^2} = 2,1 \approx 2 \rightarrow$ kebutuhan tulangan tekan di lapangan balok.

$$As'_{pasang} = n \cdot 0,25 \cdot 3,14 \cdot D^2$$

$$As'_{pasang} = 2 \cdot 0,25 \cdot 3,14 \cdot 22^2 = 797,87 \text{ mm}^2 \rightarrow \text{Luas tulangan tekan pasang.}$$

4. Momen di tumpuan kanan akibat kombinasi beban ultimate
 $= 35,38 \text{ Ton.m}$

Momen nominal aktual:

$$M_n = \frac{M_u}{\varphi}$$

$$M_n = \frac{35,38}{0,9} = 39,31 \text{ Ton.m}$$

$$m = \frac{f_y}{0,85 \cdot f_c}$$

$$m = \frac{400}{0,85 \cdot 35} = 13,4$$

$$R_n = \frac{M_n}{bd^2}$$

$$R_n = \frac{39,31}{(0,4 \cdot 0,529)^2} = 3,52$$

$$\rho_{perlu} = \frac{1}{m} \left(1 - \sqrt{1 - \frac{2m \cdot R_n}{f_y}} \right)$$

$$\rho_{perlu} = \frac{1}{13,4} \left(1 - \sqrt{1 - \frac{2(13,4) \cdot (3,52)}{400}} \right) = 0,00939$$

$$\rho_{min} = \frac{1,4}{f_y} = \frac{1,4}{400} = 0,0035$$

$$\rho_{maks} = 0,75 \left(\left(\frac{0,85 \cdot \beta_1 \cdot f_{c'}}{f_y} \right) \times \left(\frac{600}{600 + f_y} \right) \right)$$

$$\rho_{maks} = 0,75 \left(\left(\frac{0,85 \cdot 0,8 \cdot 35}{400} \right) \times \left(\frac{600}{600+400} \right) \right) = 0,0268$$

Karena $\rho_{maks} > \rho_{perlu} > \rho_{min}$, maka nilai ρ yang dipakai adalah $\rho_{perlu} = 0,00825$

$$As_{perlu} = \rho \times b \times d$$

$$As_{perlu} = 0,00939 \times 400 \times 529 = 1984,66 \text{ mm}^2$$

$$As'_{perlu} = 0,60 As_{perlu}$$

$$As'_{perlu} = 0,60 \times 1984,66 = 1190,80 \text{ mm}^2$$

5. Momen di tumpuan kanan akibat kombinasi beban gempa ultimate = 48,80 Ton.m

Momen nominal aktual:

$$M_n = \frac{M_u}{\varphi}$$

$$M_n = \frac{48,80}{0,9} = 54,22 \text{ Ton.m}$$

$$m = \frac{f_y}{0,85 \cdot f_c}$$

$$m = \frac{400}{0,85 \cdot 35} = 13,4$$

$$R_n = \frac{M_n}{bd^2}$$

$$R_n = \frac{54,22}{(0,4 \cdot 0,529)^2} = 4,85$$

$$\rho_{perlu} = \frac{1}{m} \left(1 - \sqrt{1 - \frac{2m \cdot R_n}{f_y}} \right)$$

$$\rho_{perlu} = \frac{1}{13,4} \left(1 - \sqrt{1 - \frac{2(13,4) \cdot (4,85)}{400}} \right) = 0,0133$$

$$\rho_{min} = \frac{1,4}{f_y} = \frac{1,4}{400} = 0,0035$$

$$\rho_{maks} = 0,75 \left(\left(\frac{0,85 \cdot \beta_1 \cdot f_c'}{f_y} \right) \times \left(\frac{600}{600+f_y} \right) \right)$$

$$\rho_{maks} = 0,75 \left(\left(\frac{0,85 \cdot 0,8 \cdot 35}{400} \right) \times \left(\frac{600}{600+400} \right) \right) = 0,0268$$

Karena $\rho_{maks} > \rho_{perlu} > \rho_{min}$, maka nilai ρ yang dipakai adalah $\rho_{perlu} = 0,0123$

$$As_{perlu} = \rho \times b \times d$$

$$As_{perlu} = 0,0133 \times 400 \times 529 = 2817,32 \text{ mm}^2$$

$$As'_{perlu} = 0,60 As_{perlu}$$

$$As'_{perlu} = 0,60 \times 2817,32 = 1690,39 \text{ mm}^2$$

As_{perlu} akibat beban kombinasi gempa >
 As_{perlu} akibat beban kombinasi ultimate

maka, As yang dipakai adalah $2817,32 \text{ mm}^2$ dan As' yang dipakai adalah $1690,39 \text{ mm}^2$.

$$n = \frac{As_{perlu}}{0,25 \cdot \pi \cdot D^2}$$

$$n = \frac{2817,32}{0,25 \cdot 3,14 \cdot 22^2} = 7,42 \approx 8 \rightarrow \text{kebutuhan tulangan tarik di tumpuan kanan balok.}$$

$$As_{pasang} = n \cdot 0,25 \cdot 3,14 \cdot D^2$$

$$As_{pasang} = 8 \cdot 0,25 \cdot 3,14 \cdot 22^2 = 2849,55 \text{ mm}^2 \rightarrow \text{Luas tulangan tarik pasang.}$$

$$n = \frac{As'_{perlu}}{0,25 \cdot \pi \cdot D^2}$$

$$n = \frac{1690,39}{0,25 \cdot 3,14 \cdot 22^2} = 4,45 \approx 5 \rightarrow \text{kebutuhan tulangan tekan di tumpuan kanan balok.}$$

$$As'_{pasang} = n \cdot 0,25 \cdot 3,14 \cdot D^2$$

$$As'_{pasang} = 5 \cdot 0,25 \cdot 3,14 \cdot 22^2 = 1709,73 \text{ mm}^2 \rightarrow \text{Luas tulangan tekan pasang.}$$

Cek jarak antar tulangan:

$$s = \frac{b - t - 2 \cdot sengkang - (n \times D \text{ lentur})}{n-1}$$

$$s = \frac{400\text{mm} - 2 \cdot 40\text{mm} - 2 \cdot 12\text{mm} - (4 \times 22)}{4-1}$$

$$s = 69,3 \text{ mm} > 25 \text{ mm} (\text{memenuhi})$$

8.2.6 Perhitungan momen kapasitas

- Menghitung nilai a dan Momen kapasitas pada tulangan tarik di tumpuan kiri

$$a = \frac{A_s(1,25 \cdot f_y)}{0,85 \cdot b \cdot f_{c'}'}$$

$$a = \frac{2621,59(1,25 \cdot 400)}{0,85 \cdot 400 \cdot 35} = 110,15 \text{ mm}$$

$$M_{kap} = A_s(1,25f_y) \left(d - \frac{a}{2} \right)$$

$$M_{kap} = 2621,59(1,25 \cdot 400) \left(529 - \frac{110,15}{2} \right) = \\ 620561735,4 \text{ N.mm} = 63,28 \text{ Ton.m}$$

- Menghitung nilai a dan Momen kapasitas pada tulangan tekan di tumpuan kiri

$$a = \frac{A_s'(1,25 \cdot f_y)}{0,85 \cdot b \cdot f_{c'}'}$$

$$a = \frac{1557,75(1,25 \cdot 400)}{0,85 \cdot 400 \cdot 35} = 65,45 \text{ mm}$$

$$M_{kap} = A_s'(1,25f_y) \left(d - \frac{a}{2} \right)$$

$$M_{kap} = 1557,75(1,25 \cdot 400) \left(529 - \frac{65,45}{2} \right) = \\ 386147024,7 \text{ N.mm} = 39,38 \text{ Ton.m}$$

- Menghitung nilai a dan Momen kapasitas pada tulangan tarik di tumpuan kanan

$$a = \frac{A_s(1,25 \cdot f_y)}{0,85 \cdot b \cdot f_{c'}'}$$

$$a = \frac{2849,55(1,25 \cdot 400)}{0,85 \cdot 400 \cdot 35} = 119,73 \text{ mm}$$

$$M_{kap} = A_s(1,25f_y)\left(d - \frac{a}{2}\right)$$

$$M_{kap} = 2849,55(1,25 \cdot 400)\left(529 - \frac{119,73}{2}\right) = 667700150,5 \text{ N.mm} = 68,09 \text{ Ton.m}$$

4. Menghitung nilai a dan Momen kapasitas pada tulangan tekan di tumpuan kanan

$$a = \frac{A_s'(1,25 \cdot f_y)}{0,85 \cdot b \cdot f_c'} = \frac{1709,73(1,25 \cdot 400)}{0,85 \cdot 400 \cdot 35} = 71,84 \text{ mm}$$

$$M_{kap} = A_s'(1,25f_y)\left(d - \frac{a}{2}\right)$$

$$M_{kap} = 1709,73(1,25 \cdot 400)\left(529 - \frac{71,84}{2}\right) = 421090515,2 \text{ N.mm} = 42,94 \text{ Ton.m}$$

8.2.7 Perhitungan V_u dan kebutuhan tulangan transversal

1. Menghitung nilai V_u di tumpuan kiri akibat gempa kiri

$$V_u = \frac{M_{kap,kiri} + M_{kap,kanan}}{l_n} \pm \frac{q_u \cdot l_n}{2}$$

$$V_u = \frac{39,38 + 68,09}{7,3} - \frac{4,51 \cdot 7,3}{2} = -1,74 \text{ ton}$$

2. Menghitung nilai V_u di tumpuan kiri akibat gempa kanan

$$V_u = \frac{M_{kap,kiri} + M_{kap,kanan}}{l_n} \pm \frac{q_u \cdot l_n}{2}$$

$$V_u = \frac{63,28 + 42,94}{7,3} + \frac{4,51 \cdot 7,3}{2} = 31,01 \text{ ton}$$

V_u digunakan 31,01 ton.

3. Menghitung besar V_s dan kebutuhan luas tulangan di tumpuan kiri

$$V_s = \frac{V_u}{\varphi} - V_c$$

$$V_s = \frac{31,01}{0,75} - 0 = 41,35 \text{ ton}$$

Spasi sengkang tertutup:

- $d/4 = 529/4 = 132,13 \text{ mm}$
- $6\text{db} = 6 \cdot 22 = 132 \text{ mm}$
- 150 mm

Diambil nilai s yang terkecil yaitu 132 mm. Nilai s yang dipakai adalah 100 mm.

$$A_v = \frac{V_s \cdot s}{f_y \cdot d}$$

$A_v = \frac{41,35 \cdot 100}{400 \cdot 529} = 319,69 \text{ mm}^2$. Jadi digunakan tulangan transversal **Ø12-100** dengan 3 kaki.

4. Menghitung nilai V_u di tumpuan kanan akibat gempa kiri

$$V_u = \frac{M_{kap,kiri} + M_{kap,kanan}}{l_n} \pm \frac{q_u \cdot l_n}{2}$$

$$V_u = \frac{39,38 + 68,09}{7,3} + \frac{4,51 \cdot 7,3}{2} = 31,18 \text{ ton}$$

5. Menghitung nilai V_u di tumpuan kanan akibat gempa kanan

$$V_u = \frac{M_{kap,kiri} + M_{kap,kanan}}{l_n} \pm \frac{q_u \cdot l_n}{2}$$

$$V_u = \frac{63,28 + 42,94}{7,3} - \frac{4,51 \cdot 7,3}{2} = -1,91 \text{ ton}$$

V_u digunakan 31,18 ton.

6. Menghitung besar V_s dan kebutuhan luas tulangan di tumpuan kanan

$$V_s = \frac{V_u}{\varphi} - V_c$$

$$V_s = \frac{31,18}{0,75} - 0 = 41,58 \text{ ton}$$

Spasi sengkang tertutup:

- $d/4 = 529/4 = 132,13 \text{ mm}$
- $6db = 6 \cdot 22 = 132 \text{ mm}$
- 150 mm

Diambil nilai s yang terkecil yaitu 132 mm. Nilai s yang dipakai adalah 100 mm.

$$A_v = \frac{V_s \cdot s}{f_y \cdot d}$$

$$A_v = \frac{41,58 \cdot 100}{400 \cdot 529} = 321,45 \text{ mm}^2. \text{ Jadi digunakan tulangan transversal } \textcircled{O} 12-100 \text{ dengan 3 kaki.}$$

8.2.8 Perhitungan panjang penyaluran tulangan

- Panjang penyaluran tulangan tarik

$$\ell d = \left(\frac{f_y \Psi_t \Psi_e}{1,7 \lambda \sqrt{fc'}} \right) d_b$$

$$\Psi_t = 1 \quad \lambda = 1$$

$$\Psi_e = 1$$

$$\ell d = \left(\frac{400 \cdot 1 \cdot 1}{1,7 \cdot 1 \cdot \sqrt{35}} \right) 22 = 874,98 \text{ mm}$$

ℓd diambil sebesar $874,98 \text{ mm} \approx 900 \text{ mm}$

- Panjang penyaluran tulangan tekan

|d_c harus diambil sebesar yang terbesar dari:

$$a. \left(\frac{0,24 \cdot f_y}{\lambda \sqrt{fc'}} \right) \cdot d_b$$

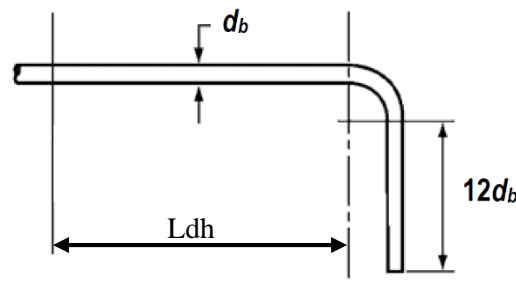
$$\left(\frac{0,24 \cdot 400}{1 \cdot \sqrt{35}} \right) \cdot 22 = 356,99 \text{ mm}$$

$$b. (0,043 \cdot f_y) \cdot d_b$$

$$(0,043 \cdot 400) \cdot 22 = 378,4 \text{ mm}$$

|d_c diambil sebesar $378,4 \text{ mm} \approx 400 \text{ mm}$

3. Panjang penyaluran tulangan berkait:

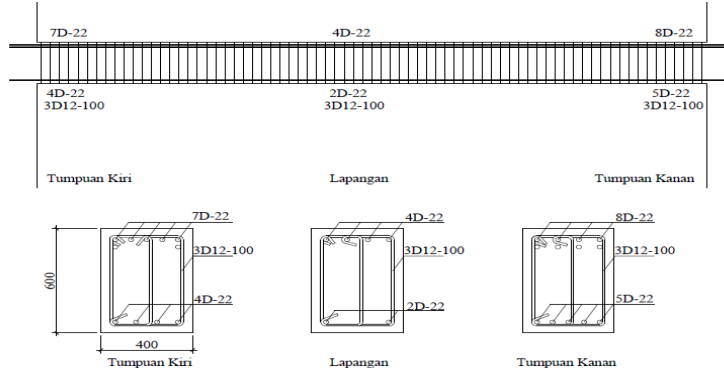


Gambar 8.11 Detail tulangan untuk penyaluran kait standar

$$\ell dh = \left(\frac{0,24 \cdot \Psi_e \cdot f_y}{\lambda \cdot \sqrt{f_{c'}}} \right) \cdot d_b$$

$$\ell dh = \left(\frac{0,24 \cdot 1 \cdot 400}{1 \cdot \sqrt{35}} \right) \cdot 22 = 356,99 \text{ mm} \approx 400 \text{ mm}$$

Panjang kait = $12db = 12 \cdot 22 = 264 \text{ mm} \approx 300 \text{ mm}$



Gambar 8.12 Detail penulangan balok

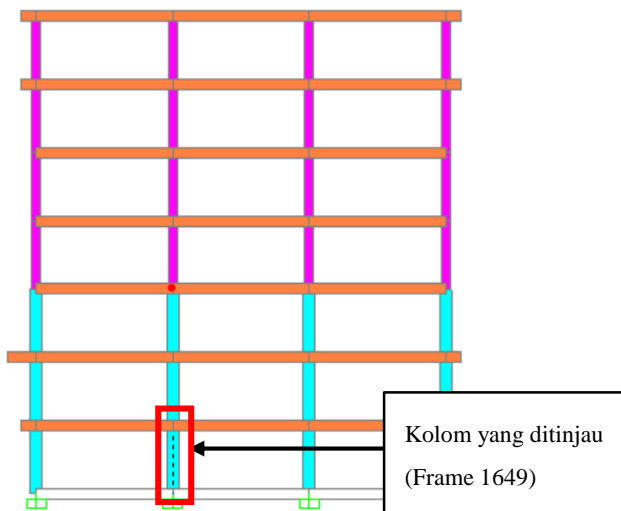
8.3 Desain Struktur Kolom

Pada perhitungan penulangan kolom, kolom yang dihitung merupakan kolom yang mengalami gaya aksial terbesar dari hasil

perhitungan SAP2000 v.14, dengan gaya aksial paling besar yang terjadi pada kolom terjadi pada frame 15.

8.3.1 Data perencanaan

Mutu beton (F_c')	= 35 Mpa
Tinggi Kolom	= 4000 mm = 4 meter
Dimensi Kolom	= 700 x 700 mm
Selimut Beton (deking)	= 40 mm
\varnothing tul. memanjang	= 25 mm, $f_y = 400$ Mpa
\varnothing tul. sengkang	= 12 mm, $f_y = 240$ Mpa



Gambar 8.13 Kolom yang ditinjau

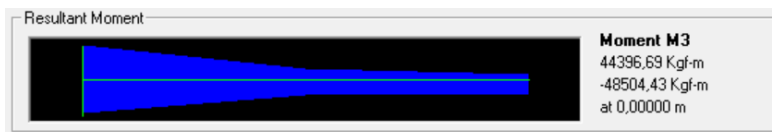
8.3.2 Output gaya pada kolom

Dari program bantu SAP2000 v.14, didapatkan gaya-gaya maksimum yang terjadi pada kolom (kombinasi ENVELOPE) adalah sebagai berikut:



Gambar 8.14 Gaya aksial yang didapatkan dari SAP2000

Didapatkan P_u Bawah = 668.618,72 kgf



Gambar 8.15 Gaya M_x yang didapatkan dari SAP2000

Didapatkan M_{ux} = 48.504,43 kg.m



Gambar 8.16 Gaya geser ultimate desain dari SAP2000

Didapatkan V_u = 16.372,96 kg

8.3.3 Cek syarat komponen struktur penahan gempa

1. Gaya aksial ter faktor maksimum yang bekerja pada kolom harus melebihi $\frac{Ag \cdot Fc'}{10}$ (SNI 03-2847-2013 Pasal 21.6.1)

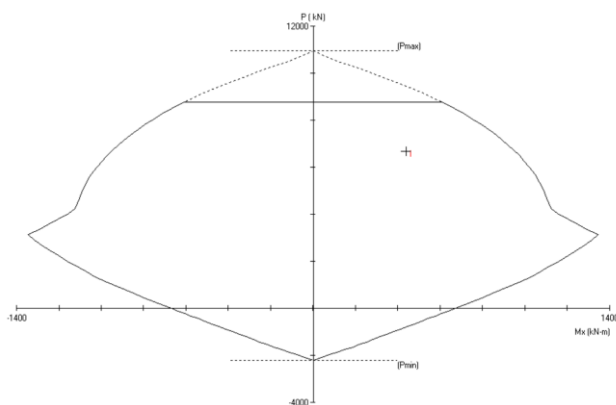
$$\frac{(700 \times 700) \cdot 35}{10} = 1.715.000 N = 171.500 Kg$$
 $P_u = 668.618,72 \text{ kg} > 171.500 \text{ kg (memenuhi)}$
2. Sisi terpendek penampang kolom tidak kurang dari 300 mm (SNI 03-2847-2013 Pasal 21.6.1.1).

Sisi terpendek kolom = 700 mm > 300 mm (**memenuhi**)

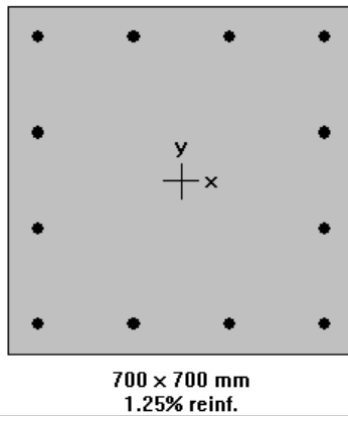
3. Rasio penampang tidak kurang dari 0,4 (SNI 03-2847-2013 Pasal 21.6.1.2).
Rasio antara b dan h = $700 \text{ mm} / 700 \text{ mm} = 1 > 0,4$ (**memenuhi**)

8.3.4 Tentukan tulangan longitudinal penahan lentur

Berdasarkan SNI 03-2847-2013 Pasal 21.6.3.1, luas tulangan longitudinal dibatasi yakni tidak boleh kurang dari 0,01 Ag atau lebih dari 0,06 Ag. Untuk mendapatkan konfigurasi tulangan memanjang, digunakan program bantu pcaColumn dan didapatkan sebagai berikut:



Gambar 8.17 Diagram interaksi kolom desain



Gambar 8.18 Penulangan kolom pada SPColoumn

Berdasarkan hasil perhitungan tulangan longitudinal oleh pcaColumn didapatkan konfigurasi penulangan **12D25** untuk menahan gaya-gaya yang ada pada kolom dengan rasio atau $0,0125$ sehingga nilai $0,01 < \rho < 0,06$ telah terpenuhi.

8.3.5 Cek syarat “Strong Column Weak Beam”

Menurut SNI beton pasal 21.6.2.2, kekuatan kolom harus memenuhi $\sum M_{nc} \geq 1,2 \sum M_{nb}$ dengan:

$\sum M_{nc}$ = Jumlah Mn dua kolom yang bertemu di joint

$\sum M_{nb}$ = Jumlah Mn dua balok yang bertemu di joint

Dalam perhitungan ini, diambil pendekatan konservatif dengan momen-momen yang diperhitungkan adalah momen desain $\emptyset M_n$ (akibat goyangan ke kanan, $\emptyset M_n$ pada ujung balok).

Untuk perhitungannya adalah sebagai berikut:

1. Menentukan M_{nb}^+ dan M_{nb}^-

$$a^+ = \frac{As \cdot fy}{0,85 \cdot f'c \cdot b} = \frac{3039,52 \cdot 400}{0,85 \cdot 35 \cdot 400} = 102,17$$

$$M_{nb}^+ = \phi \cdot As \cdot Fy \left(d - \frac{a}{2} \right)$$

$$M_{nb}^+ = 0,9 \cdot 3039,52 \cdot 400 \left(528,5 - \frac{102,17}{2} \right)$$

$$M_{nb}^+ = 522947592,3 \text{ Nmm} = 522,9475923 \text{ kNm}$$

$$a^- = \frac{As.fy}{0,85.fc'.b} = \frac{3419,46.400}{0,85.35.400} = 114,9398319$$

$$M_{nb}^- = \phi \cdot As \cdot Fy \left(d - \frac{a}{2} \right)$$

$$M_{nb}^- = 0,9 \cdot 3419,46 \cdot 400 \left(528,5 - \frac{114,94}{2} \right)$$

$$M_{nb}^- = 579840567,8 \text{ Nmm} = 579,8405678 \text{ kNm}$$

Maka nilai $\sum M_{nb}$: $M_{nb}^+ + M_{nb}^- = 522,95 + 579,84 = 1102,79 \text{ kNm.}$

$1,2 \cdot \sum M_{nb} : 1323,35 \text{ kNm.}$

2. Menentukan $\sum M_{nc}$:

Untuk menentukan nilai M_{nc} , didapatkan dari diagram interaksi P-M antara kolom atas dengan kolom bawah / kolom desain dengan program bantu pcaColoumn. Untuk gaya-gaya yang terjadi pada kolom atas (frame 1694) adalah sebagai berikut:



Gambar 8.19 Gaya aksial atas kolom (frame-1694)

Didapatkan $P_{maks} = 561.896,96 \text{ Kg} = 5.618,97 \text{ kN}$

Dari diagram interaksi kolom atas dan bawah didapatkan:

Factored Loads and Moments with Corresponding Capacities: (see user's manual for notation)				
No.	P _u kN	M _{ux} kN-m	fM _{nx} kN-m	fM _n /M _u
1	6686.0	485.0	951.8	1.962
2	5618.0	411.0	1051.1	2.557

Gambar 8.20 Diagram interaksi kolom atas dan bawah

$$\Sigma M_{nc} \geq 1,2 \cdot \Sigma M_{nb}$$

$$951,8 + 1051,1 \text{ kN} \geq 1323,35 \text{ kN}$$

$$2002,9 \text{ kN} \geq 1323,35 \text{ kN} \text{ (memenuhi)}$$

Maka syarat “strong column weak beam” telah terpenuhi.

8.3.6 Perhitungan Tulangan Transversal sebagai *Confinement*

1. Berdasarkan SNI 03-2847-2013 Pasal 21.6.4.1 daerah pemasangan tulangan sengkang persegi (hoop) . Tulangan hoop diperlukan sepanjang l_0 dari ujung-ujung kolom dengan l_0 merupakan nilai terbesar.
 - a. Tinggi komponen struktur pada muka joint, $h = 700 \text{ mm}$
 - b. 1/6 bentang bersih komponen struktur kolom:

$$1/6 \cdot L_n = 1/6 \cdot (4000 - 600) = 566,67 \text{ mm}$$
 - c. 450 mm

Dari ketiga di atas dipilih $l_0 = 700 \text{ mm}$.

2. Tentukan spasi maksimum hoop, s_{max} pada daerah sepanjang l_0 dari ujung-ujung kolom. Nilai s_{max} merupakan nilai terbesar berdasarkan SNI 03-2847-2013 Pasal 21.6.4.3:
 - a. $\frac{1}{4}$ dimensi komponen struktur minimum

$$\frac{1}{4} \cdot 700\text{mm} = 175\text{mm}$$

$$\text{b. } 6 \times d_b = 6 \cdot 25 \text{ mm} = 150 \text{ mm}$$

$$\text{c. Nilai } S_0, \text{ dimana } S_0 = 100 + \frac{350-h_x}{3}$$

$$h_x = (700 \text{ mm} - 2 \times 40 \text{ mm} - 2 \times 25 \text{ mm})/3 = 190 \text{ mm}$$

$$S_0 \leq 100 + \left(\frac{350 - 0,5 \cdot 190}{3} \right) = 185$$

$$S_0 \leq 185 \text{ mm}$$

Namun, nilai S_x tidak boleh melebihi 150 mm dan tidak boleh lebih kecil dari 100 mm Sehingga **$S = 100 \text{ mm}$** .

8.3.7 Perhitungan luas tulangan *confinement*

Berdasarkan SNI 03-2847-2013 Pasal 21.6.4.4, untuk daerah sepanjang lo dari ujung-ujung kolom total luas penampang hoop tidak boleh kurang dari salah satu yang terbesar diantara:

$$A_{sh1} = 0,3 \times \left(\frac{sbc \cdot fc}{fyt} \right) \times \left(\frac{Ag}{Ach} - 1 \right) \text{ dan}$$

$$A_{sh2} = \left(\frac{0,09 \cdot s.b.c \cdot f.c}{f.y.t} \right)$$

dengan :

$$\begin{aligned} bc &= \text{lebar penampang inti beton (yang terkekang)} \\ &= b_w - 2x(t + 0,5 \cdot d_b) \\ &= 700 - 2 \times (40 + 0,5 \cdot 12) \\ &= 608 \text{ mm} \end{aligned}$$

$$\begin{aligned} A_{ch} &= \text{Luas penampang inti beton} \\ &= (b_w - 2 \cdot t)x(b_w - 2 \cdot t) \\ &= (700 \text{ mm} - 2 \cdot 40 \text{ mm}) \times (700 \text{ mm} - 2 \cdot 40) \\ &= 384.400 \text{ mm}^2 \end{aligned}$$

Sehingga:

$$Ash_1 = 0,3 \cdot \left(\frac{s.b.c.f.c'}{f.y.t} \right) \cdot \left(\frac{Ag}{Ach} - 1 \right)$$

$$Ash_1 = 0,3 \cdot \left(\frac{100.608.35 \text{ mpa}}{400 \text{ Mpa}} \right) \cdot \left(\frac{700 \text{ mm} \cdot 700 \text{ mm}}{384.400 \text{ mm}^2} - 1 \right)$$

$$Ash_1 = 438,44 \text{ mm}^2$$

Digunakan sengkang (hoop) **4 kaki D12**

$$A_{sh} = 4 \cdot \left(\frac{1}{4} \cdot \pi (12 \text{ mm})^2 \right) = 452,16 \text{ mm}^2 > 438,44 \text{ mm}^2$$

(memenuhi)

Sehingga, untuk daerah sejauh l_0 dari muka kolom, menggunakan tulangan hoop 4 kaki D12. Berdasarkan SNI 03-2847-2013 Pasal 21.6.4.5, untuk daerah sepanjang sisa tinggi kolom bersih (tinggi kolom total dikurangi l_0 di masing-masing ujung kolom) diberi hoops dengan spasi minimum yakni:

- $6 \cdot db = 6 \cdot 25 \text{ mm} = 150 \text{ mm}$
- 150 mm

Maka dipakai yang terkecil yakni $s = 150 \text{ mm}$ Sehingga digunakan spasi **4 kaki D12 – 150** untuk daerah diluar l_0 .

8.3.8 Perhitungan Gaya Geser Desain, V_e

Menurut SNI 03-2847-2013 Pasal 21.6.5.1, geser komponen struktur tidak perlu lebih besar dari geser yang dihitung berdasarkan M_{pr} balok:

1. Hitung Vsway

$$V_e = \frac{M_{pr_{top}} \cdot DF_{top} + M_{pr_{bot}} \cdot DF_{bot}}{l_n}$$

Dengan:

DF = Faktor distribusi momen di bagian atas dan bawah kolom yang didesain

Karena kolom di lantai atas dan lantai bawah mempunyai kekakuan yang sama maka: DF atas = DF bawah = 0,5

$M_{pr_{top}}$ dan $M_{pr_{bot}}$ adalah penjumlahan M_{pr} untuk masing-masing balok di lantai atas dan dilantai bawah di muka kolom interior, maka perhitungannya adalah

$$V_e = \frac{(1486,98)kN.m \cdot 0,5 + (389,52)kN.m \cdot 0,5}{3,4 \text{ m}} = 275,96 \text{ kN}$$

2. Hitung V_u akibat gaya geser terfaktor hasil analisis struktur (menggunakan program bantu SAP 2000 v.14). Dari program SAP 2000 v.14, didapatkan gaya geser maksimum pada kolom yang ditinjau yakni sebesar:

$$V_u = 16.372,42 \text{ kg} = 160,564 \text{ kN}$$

3. Cek kontribusi beton dalam menahan gaya geser, V_c . Berdasarkan SNI 03-2847-2013 Pasal 21.6.5.2, kontribusi beton akan diabaikan dalam menahan gaya geser rencana apabila:

- a. nilai $V_e > \frac{1}{2} V_u$

$$275,96 \text{ kN} > \frac{160,54 \text{ kN}}{2}$$

$275,96 \text{ kN} > 80,27 \text{ kN}$ (memenuhi)

- b. $P_u < \frac{A_g F_{c'} t}{10}$

$$6556,910 \text{ kN} \text{ (dari SAP)} > \frac{(700\text{mm}.700\text{mm}).35\text{Mpa}}{10} = 1715 \text{ kN} \text{ (tidak memenuhi)}$$

Karena terdapat nilai yang tidak memenuhi, maka kontribusi V_c dapat diperhitungkan, sehingga:

$$d = 700 \text{ mm} - 40 \text{ mm} - 12 \text{ mm} - 25\text{mm}/2 = 635,5 \text{ mm}$$

$$V_c = \frac{1}{6} \sqrt{F_{c'}} \cdot b \cdot w \cdot d$$

$$V_c = \frac{1}{6} \sqrt{35\text{Mpa}} \cdot 700\text{mm} \cdot 635,5\text{mm} = 438,62 = 438,6 \text{ kN}$$

4. Hitung kebutuhan tulangan transversal untuk menahan gaya geser rencana.

$$\frac{V_u}{\emptyset} = \frac{160,54 \text{ kN}}{0,75} = 214,05 \text{ kN}$$

$$\frac{V_c}{2} = \frac{438,6 \text{ kN}}{2} = 219,3 \text{ kN}$$

$\frac{V_u}{\emptyset} > \frac{V_c}{2}$, maka tidak perlu tulangan geser.

Pengecekan apakah benar tidak dipasang tulangan geser minimum:

$$\frac{Vu}{\emptyset} = 214,05 \text{ kN}$$

$$Vc + \frac{1}{3} \cdot b_w \cdot d = 438,6 \text{ kN} + \frac{700 \text{ mm} \cdot 635,5 \text{ mm}}{3 \cdot 1000}$$

$$Vc + \frac{1}{3} \cdot b_w \cdot d = 586,88 \text{ kN}$$

$\frac{Vu}{\emptyset} < Vc + \frac{1}{3} \cdot b_w \cdot d$, sehingga hanya diperlukan tulangan geser minimum. Karena sebelumnya telah dipasang tulangan confinement **4 kaki D12 – 150**, sehingga:

$$Av\text{-min} = \frac{b_w \cdot s}{3 \cdot fy}$$

$$Av\text{-min} = \frac{700 \cdot 150}{3 \cdot 240} = 145,83 \text{ mm}^2$$

Sementara A_{sh} untuk 4 kaki D12 – 150 = $452,16 \text{ mm}^2$

$A_{sh} > Av\text{-min}$ (memenuhi)

Untuk daerah di luar l_0 , SNI 03-2847-2013 Pasal 11.2.1.2 memberikan harga V_c bila ada gaya aksial yang bekerja, yakni:

$$Vc = 0,17 \cdot \left(1 + \frac{Nu}{14 \cdot Ag}\right) \cdot \lambda \cdot \sqrt{f'c} \cdot b_w \cdot d$$

Dari hasil analisis menggunakan SAP2000, didapatkan nilai $P_u = 662.738,72 \text{ kg} = 6.499.246,8 \text{ N}$

$$\frac{Nu}{Ag} = \frac{6.499.246,8}{700 \text{ mm} \cdot 700 \text{ mm}} = 13,26 \text{ N/mm}$$

$$Vc = 0,17 \cdot \left(1 + \frac{13,26}{14}\right) \cdot 1 \cdot \sqrt{35} \cdot 700 \cdot 635,5 \text{ mm}$$

$$Vc = 871.152,84 \text{ N} = 871,15 \text{ kN}$$

Karena nilai $\frac{V_u}{\emptyset} < V_c$, maka untuk bentang kolom di luar l_0 tulangan sengkang tidak dibutuhkan untuk geser pada bentang tersebut, tetapi hanya untuk *confinement*.

8.3.9 Perhitungan sambungan lewatan

Untuk panjang Panjang Penyaluran pada kolom dihitung berdasarkan SNI pasal 12.17.2.1 hal 112 menyatakan bahwa panjang l_d tidak boleh kurang dari 300 mm dan untuk perhitungan l_d adalah berdasarkan tabel pasal 12.17.2.1 untuk persamaan yang digunakan adalah

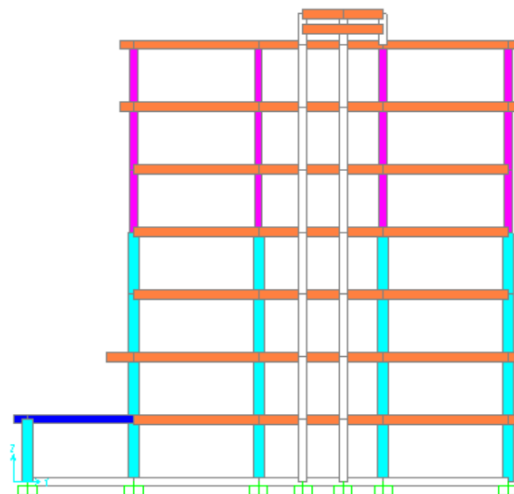
$$\left(\frac{F_y \cdot \Psi_t \cdot \Psi_e}{1,7 \cdot \lambda \cdot \sqrt{f_{ci}}} \right) \cdot db$$

yang mana persamaan diatas dipakai bila tulangan yang dipakai lebih besar dari D25 dan selimut bersih tidak kurang dari db. Untuk nilai Ψ_t , Ψ_e dan λ adalah 1. Untuk perhitungan l_d kolom :

$$l_d = \left(\frac{400 \cdot 1 \cdot 1}{1,7 \cdot 1 \cdot \sqrt{35}} \right) \cdot 25$$

$$l_d = 39 \times 25 = 975 \text{ mm (maka diambil 1000 mm)}$$

8.4 Desain Hubungan Balok-Kolom (HBK)



Gambar 8.21 Portal bidang memanjang bangunan yang ditinjau

8.4.1 Cek syarat panjang joint

Dimensi kolom yang sejajar dengan tulangan balok tidak boleh kurang dari 20 kali diameter tulangan longitudinal terbesar berdasarkan (SNI 03-2847-2013 Pasal 21.7.2.3)

$$b = h = 700 \text{ mm}$$

$$20 \cdot db = 20 \cdot 25 \text{ mm} = 500 \text{ mm} < 700 \text{ mm} \text{ (memenuhi)}$$

8.4.2 Tentukan luas efektif joint (A_j)

A_j merupakan perkalian tinggi joint dengan lebar joint efektif berdasarkan SNI 03-2847-2013 Pasal 21.7.4.1:

Lebar balok, $b = 400 \text{ mm}$

Tinggi kolom, $h = 700 \text{ mm}$

$$x = (700\text{mm} - 400\text{mm})/2 = 150 \text{ mm}$$

Tinggi joint = tinggi keseluruhan kolom, $h = 700 \text{ mm}$

Lebar joint efektif merupakan nilai yang terkecil dari:

1. $b + h = 400 \text{ mm} + 700 \text{ mm} = 1100 \text{ mm}$
2. $b + 2x = 400 + 2.150 \text{ mm} = 700 \text{ mm}$

Maka lebar efektif joint dipakai sebesar $= b = 700 \text{ mm}$

$$\begin{aligned} \text{Maka } A_j &= \text{tinggi joint} \times \text{lebar efektif joint} \\ &= 700\text{mm} \times 700\text{mm} = 490.000 \text{ mm}^2 \end{aligned}$$

8.4.3 Tulangan transversal untuk confinement

Untuk joint interior, jumlah tulangan confinement setidaknya setengah dari tulangan confinement yang dibutuhkan diujung-ujung kolom. Berdasarkan SNI 03-2847-2013 Pasal 21.7.3.2, spasi vertikal tulangan confinement diizinkan untuk diperbesar hingga 150 mm.

$$\frac{Ash}{s}_{joint} = 0,5 \frac{Ash}{s} \text{ Kolom}$$

$$\frac{Ash}{s}_{joint} = 0,5 \frac{565,2 \text{ mm}^2}{100\text{mm}} \text{ Kolom}$$

$$\frac{Ash}{s} = 2,82 \text{ mm}^2/\text{mm}$$

$$Ash = 2,82 \text{ mm}^2/\text{mm} \cdot s = 2,82 \text{ mm}^2/\text{mm} \cdot 150\text{mm}$$

$$Ash = 423,9 \text{ mm}^2$$

Maka luas sengkang yang dibutuhkan akan ditabelkan sebagai berikut:

Tabel 8.2 Kebutuhan sengkang pada joint

D	A(mm ²)	n	Ash pkai	Ash min
12	113.04	4	452,16	423,9

Jadi, digunakan sengkang **4 kaki D12 jarak 150 mm**.

8.4.4 Hitung gaya geser pada joint

1. Hitung M_e

Balok yang memasuki joint, memiliki:

$$M_{pr+} = 780,81 \text{ kN.m}$$

$$M_{pr-} = 464,05 \text{ kN.m}$$

Karena kekakuan antara kolom atas dengan bawah sama, maka nilai DF adalah sama yakni $DF = 0,5$. Sehingga:

$$M_e = 0,5 \times (780,81 \text{ kN.m} + 464,05 \text{ kN.m}) = 622,43 \text{ kN.m}$$

2. Hitung geser pada kolom atas

$$V_{sway} = \frac{M_e + M_e}{\ell_u} = \frac{622,43 \text{ kN.m} + 622,43 \text{ kN.m}}{3,4m}$$

$$V_{sway} = 366,14 \text{ kN}$$

3. Menghitung gaya-gaya pada tulangan balok longitudinal

a. Gaya tarik pada tulangan balok di bagian kiri

Jika terdapat tul. tarik 9D22 = $A_s = 3419,5 \text{ mm}^2$

$$T_1 = 1,25 \cdot A_s \cdot f_y = 1,25 \cdot 3419,5 \text{ mm}^2 \cdot 400 \text{ Mpa}$$

$$T_1 = 1.709.750 \text{ N} = 1.709,75 \text{ kN}$$

b. Gaya tekan yang bekerja pada balok ke arah kiri

$$C_1 = T_1 = 1.709,75 \text{ kN}$$

c. Gaya tarik pada tulangan balok di bagian kanan

Jika terdapat tul. tarik 8D22 = $A_s = 3039,5 \text{ mm}^2$

$$T_2 = 1,25 \cdot A_s \cdot f_y = 1,25 \cdot 3039,5 \text{ mm}^2 \cdot 400 \text{ Mpa}$$

$$T_2 = 1.519.750 \text{ N} = 1.519,75 \text{ kN}$$

d. Gaya tekan yang bekerja pada balok ke arah kanan

$$C_2 = T_2 = 1.519,75 \text{ kN}$$

4. Menghitung gaya geser pada joint

$$V_J = V_{sway} - T_1 - C_2$$

$$V_J = 366,14 \text{ kN} - 1709,75 \text{ kN} - 1519,75 \text{ kN} = 3595,64 \text{ kN}$$

8.4.5 Cek kuat geser joint

Berdasarkan SNI 03-2847-2013 Pasal 21.7.4.1, untuk kuat geser joint yang dikekang di keempat sisinya adalah:

$$V_n = 1,7 \times \sqrt{f_c} \times A_j$$

$$V_n = 1,7 \times \sqrt{35} \times 490000$$

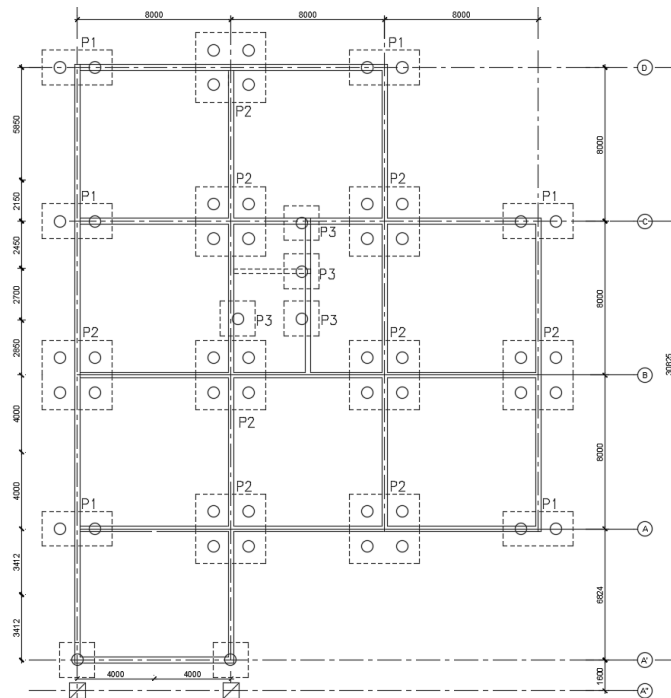
$$V_n = 4928,09 \text{ kN} > 3595,64 \text{ kN} \text{ (memenuhi)}$$

BAB IX

DESAIN STRUKTUR BAWAH

9.1 Umum

Perhitungan struktur pondasi, dimensi dari pile cap dan jumlah tiang pancang dihitung menurut besarnya gaya yang terjadi pada titik yang ditinjau, sehingga akan menghasilkan pondasi yang efisien. Denah pondasi rencana adalah sebagai berikut:



Gambar 9.1 Denah Rencana Pondasi

9.2 Perhitungan Pondasi

9.2.1 Perhitungan daya dukung tanah

Data Perencanaan :

Apabila diketahui data data sebagai berikut :

$$f'_c = 35 \text{ MPa}$$

$$f_y = 400 \text{ MPa}$$

$$D \text{ tiang pancang} = 500 \text{ mm}$$

$$\begin{aligned} \text{Luas tiang (A}_p\text{)} &= \frac{1}{4} \cdot \pi \cdot (0,5m)^2 \\ &= 0,19625 \text{ m}^2 \end{aligned}$$

$$\text{Keliling penampang tiang} = 2 \cdot \pi \cdot 0,5m = 3,14m$$

$$\text{Luas selimut tiang (A}_s\text{)} = \pi \cdot 0,5m \cdot 12m = 18,84 \text{ m}^2$$

Untuk tiang pancang yang dipakai adalah PC Square Piles 500 x 500 mm – A1 dari **WIKA Beton**. Data tiang pancang adalah sebagai berikut :

$$D \text{ tiang pancang} = 500 \text{ mm}$$

$$\text{Ketebalan dinding} = 75 \text{ mm}$$

$$P \text{ ijin bahan} = 185,3 \text{ ton}$$

Tabel 9.1 Daya dukung tanah metode Nakazawa

Depth (m)	Jenis Tanah	Kode Tanah	Nilai-a atau Nilai-b	Nisab-	Grafik SPT					f _i (t/m ²)	f _i x _i (t/m)	Σ f _i x _i (t/m ²)	q _d (ton)	R _f (ton)	R _p (ton)	R _u (ton)	P _u panjang-f-3 (ton)	P _u panjang-f-3 (ton)	
					0	10	20	30	40										
0,00	Lempung Berlapis	C	0	0,0	0,00					0,00									
-2,00	Lempung Berlapis	C	1	0,8	-200	-400	-600	-800	-1000	1,00	2,00	2,00	1,02	3,14	255	5,69	4,21	1,8976	
-4,00	Lempung Berlapis	C	1	1,0	-400	-800	-1200	-1400	-1600	1,00	2,00	4,00	136	6,29	34	9,69	6,943	3,2286	
-6,00	Lempung Berlapis	C	1	1,0	-600	-1200	-1800	-2400	-3000	1,00	2,00	6,00	136	9,43	34	12,83	8,14	4,2762	
-8,00	Lempung Berlapis	C	1	1,0	-800	-1600	-2400	-3200	-4000	1,00	2,00	8,00	136	12,57	34	15,97	9,866	5,3238	
-10,00	Lempung Berlapis	C	1	1,0	-1000	-2000	-3000	-4000	-5000	1,00	2,00	10,00	136	15,71	34	19,11	11,757	6,3714	
-12,00	Lempung Berlapis	C	1	1,0	-1200	-2400	-3600	-4800	-6000	1,00	2,00	12,00	136	18,86	34	22,26	12,839	7,4190	
-14,00	Lempung Berlapis	C	1	1,0	-1400	-2800	-4200	-5600	-7000	1,00	2,00	14,00	136	22,41	34	25,42	15,943	7,5542	
-16,00	Berlapis Berkerikil	C	30	2,50	-1600	-3200	-4800	-6400	-8000	1,00	2,00	16,00	340	88,00	85	173,00	129,000	57,6667	
-18,00	Berlapis Berkerikil	C	43	3,98	-1800	-3600	-5400	-7200	-9000	1,00	2,00	18,00	540,6	125,71	135,2	260,96	198,007	86,9548	
-20,00	Lempung Berlapis Berpasir	C	49	4,75	-2000	-4000	-6000	-8000	-10000	1,00	2,00	20,00	104,00	544	163,43	136	299,43	217,714	99,8095
-22,00	Lempung Berlapis Berpasir	C	30	3,48	-2200	-4400	-6600	-8800	-11000	1,00	2,00	22,00	128,00	472,6	201,14	182,92	139,721	106,4310	
-24,00	Lempung Berlapis Berpasir	C	21	2,33	-2400	-4800	-7200	-9600	-12000	1,00	2,00	24,00	152,00	36,2	238,86	79,05	31,791	198,479	105,9690
-26,00	Lempung Berlapis Berpasir	C	21	2,10	-2600	-5200	-7800	-10400	-13000	1,00	2,00	26,00	176,00	26,5	276,57	71,4	347,97	209,666	115,9905
-28,00	Lempung Berlapis Berpasir	C	21	2,10	-2800	-5600	-8400	-11200	-14000	1,00	2,00	28,00	200,00	28,56	314,29	71,4	385,69	228,543	128,5619
-30,00	Lempung Berlapis Berpasir	C	43	4,23	-3000	-6000	-9000	-12000	-15000	1,00	2,00	30,00	224,00	54,4	352,00	136	488,00	312,00	162,6667

Dari perhitungan tabel diatas dapat diketahui jika kedalaman tiang pancang maksimal dari data tanah sedalam 29 meter. Dan didapatkan daya dukung ijin tekan tanah $P_{ijin\ tanah} = 150,9\ Ton$. Karena $P_{ijin\ tanah}$ lebih kecil dari $P_{ijin\ bahan}$ maka daya dukung ijin tekan tiang = 185,3Ton dan tiang pancang mampu menembus tanah.

9.3 Metode Perhitungan Daya Dukung Tiang

Daya dukung tanah (R_a) yang digunakan untuk melawan gaya aksial diperoleh dari persamaan berikut.

(Kazuto Nakazawa, 2000:99 pers. 6.4)

Dimana,

n : Faktor keamanan

Ru: Daya dukung batas pada tanah pondasi (ton)

Rp: Daya dukung terpusat tiang (ton)

Rf : Gaya gesek dinding tiang (ton)

Selanjutnya,

Dimana,

qd : Daya dukung terpusat tiang (ton)

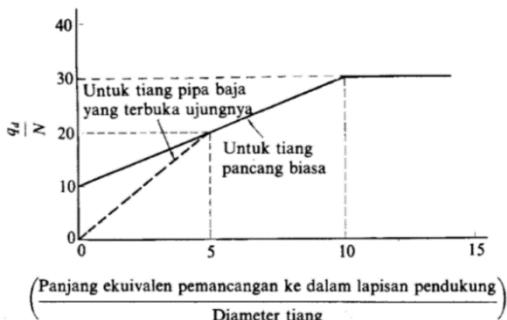
A : Luas ujung tiang (m^2)

U : Panjang keliling tiang

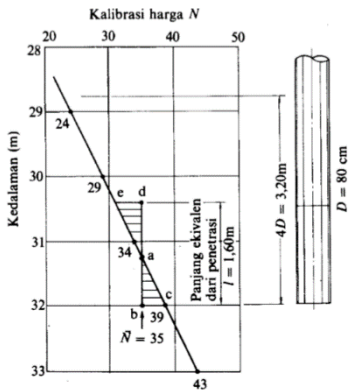
li : Tebal lapisan tanah

f_i : Besaran gesekan dari lapisan tanah (ton/m^2)

Daya dukung terpusat qd , diperoleh dari hubungan antara L/D dan qd/N .



Gambar 9.1 Intensitas Daya Dukung Pada Ujung Tiang



Gambar 9.2 Penentuan Panjang Ekivalen

L adalah panjang ekivalen penetrasi pada lapisan pendukung dan diperoleh dari Gambar, D adalah diameter tiang, \bar{N} adalah harga rata-rata N pada ujung tiang, yang didasarkan pada persamaan berikut ini:

$$\bar{N} = \frac{N_1 + \bar{N}_2}{2} (\bar{N} \leq 40) \dots \dots \dots \quad (9-04)$$

Dimana,

\bar{N} = Harga N rata-rata untuk perencanaan tanah pondasi pada ujung tiang

N_1 = Harga N pada ujung tiang

\bar{N}_2 = Harga rata-rata N pada jarak 4D dari ujung tiang

Untuk tiang yang dicor di tempat (*cast in place*), q_0 diambil diperkirakan dari besarnya gaya geser maksimum dinding *fr* diperkirakan dari Tabel 5.1 sesuai dengan macam tiang dan sifat tanah pondasi

Tabel 9.2 Intensitas Gaya Gesek Dinding Tiang

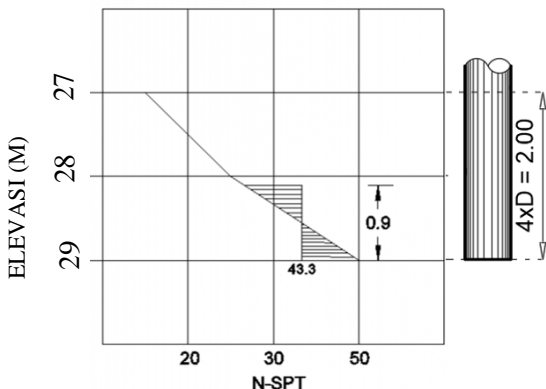
Jenis tiang Jenis tanah pondasi	Tiang pracetak	Tiang yang dicor di tempat
Tanah berpasir	$\frac{N}{5} (\leq 10)$	$\frac{N}{2} (\leq 12)$
Tanah kohesif	c atau $N (\leq 12)$	$\frac{c}{2}$ atau $\frac{N}{2} (\leq 12)$

9.4 Daya Dukung Ijin Tiang

Diameter pile yang akan digunakan adalah 0,5 m.

$N_1 = 40$ (Nilai N-SPT ujung tiang)

$4D = 4 \times 0,5 \text{ m} = 2 \text{ m}$, Sehingga diambil nilai N rata-rata 4D dari ujung tiang



Gambar 9.3 Panjang Ekivalen

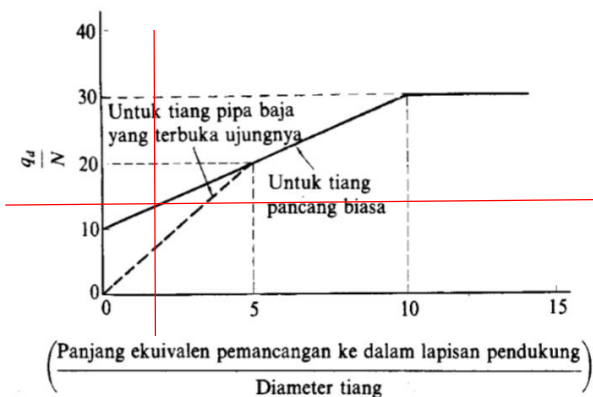
$$\bar{N}_2 = \frac{21 + 21 + 40}{3} = 27,33$$

$$\bar{N} = \frac{N_1 + \bar{N}_2}{2} = \frac{40 + 27,33}{2} = 33,7$$

Panjang ekivalen dari penetrasi (L) adalah 0,9 m, karena tiang merupakan tiang pancang biasa maka didapatkan

$$L/D = \frac{0.9}{0.5} = 1,8$$

Setelah didapatkan L/D dicari nilai qd/N didapat dari diagram intensitas di bawah ini.



Gambar 9.1 Grafik Nilai q_d/N

Dengan nilai $L/D = 1,8$, maka dari grafik pada Gambar 5.4 didapatkan nilai $q_d/N = 13,6$. Sehingga nilai q_d :

$$q_d = 13,6 \times \bar{N} = 13,6 \times 33,7 = 457,867 \text{ ton/m}^2$$

$$R_p = q_d \times A$$

$$= 457,867 \text{ ton/m}^2 \times \frac{\pi D^2}{4}$$

$$= 457,867 \text{ ton/m}^2 \times 0.116 \text{ (Brosur)}$$

$$= 53,078 \text{ ton}$$

9.5 Gaya Gesek Dinding Tiang

Gaya gesek dinding tiang R_f dihitung di tiap lapisan, pada kedalaman 19 m R_f didapatkan :

$$R_f = U \cdot \Sigma (l_i \cdot f_i) = 1,57 \text{ m} \times 188,5 \text{ t/m} = 296,214 \text{ ton}$$

9.6 Kapasitas Daya Dukung Satu Tiang

Daya Dukung Ultimate (R_u) :

$$\begin{aligned} R_u &= Rp + Rf \\ &= q_d \cdot A + U \sum l_i \cdot f_i \\ &= 53,078 \text{ ton} + 296,214 \text{ ton} \\ &= 349,29 \text{ ton} \end{aligned}$$

Daya Dukung Ijin Satu Tiang (R_a):

$$R_a = \frac{R_u}{SF} - Wp$$

Dimana,

$$SF = 3$$

$$Wp = \text{berat total per tiang} \left(\frac{\text{ton}}{\text{tiang}} \right)$$

$$Wp = \text{Panjang Tiang (m)} \times \text{berat tiang} \left(\frac{\text{ton}}{\text{m}} \right)$$

$$\text{Panjang tiang} = 29 \text{ m}$$

$$\text{Berat tiang} = 0,29 \text{ ton/m (dari brosur)}$$

$$Wp = 29 \times 0,29 = 8,41 \text{ ton/tiang}$$

$$R_a = \frac{349,29}{3} - 8,41 = 108 \text{ ton/tiang}$$

Daya Cabut yang diijinkan (R_{cabut}):

$$SF = 2$$

$$R_{cabut} = \frac{R_u}{SF} + Wp = \frac{349,29}{2} + 8,41 = 166 \text{ ton}$$

9.7 Perencanaan Tipe Pondasi

Tipe pondasi ditentukan berdasarkan gaya aksial yang terjadi dan kapasitas daya dukung yang dimiliki. Perhitungan pondasi berikut ini dilakukan pada salah satu tumpuan yang mengalami gaya aksial terbesar, yaitu pada joint 9

a) Data Perencanaan

Diameter pile rencana (D) : 0,50 m

Kedalaman Rencana : 29 m

Daya dukung ultimate (R_u): 893,01 ton

Daya dukung ijin tiang (R_a) : 108 ton

Daya cabut ijin tiang (R_{cabut}) : 166 ton

P ijin tiang bahan : 185,3 ton (brosur WIKA)

b) Output SAP2000

Joint Reactions in Joint Local CoordSys			
Joint Object 9		Joint Element 9	
	1	2	3
Force	-7,375	4,946	756,532
Moment	-2,982E-02	-1,515	-0,542

Gambar 9.2 Output Gaya Aksial

Kombinasi : $1,2D + 1,6L$

Gaya aksial: 756,532 ton

c) Kebutuhan Jumlah Tiang

Daya dukung ijin tiang (R_a) : 289 ton

$$P_{maks} = 756,532 \text{ ton } (1,2D+1,6L)$$

$$n = \frac{P_{maks}}{P_{ijin}} = \frac{756,532 \text{ ton}}{289 \text{ ton}} = 2,61 \rightarrow 4 \text{ buah}$$

d) Cek Kemampuan Bahan (Pile)

Dipakai *spun pile* WIKA BETON, Ø 0,50 m

Size (mm)	Thickness Wall (t)	Cross Section (cm ²)	Section Inertia (cm ⁴)	Unit Weight (kg/m)	Class	Bending Moment		Allowable Compression (ton.)	Decompression Tension (ton.)	Length of Pile ** (m)
						Crack *	Break (ton.m)			
300	60	452.39	34,607.78	113	A2	2.50	3.75	72.60	23.11	6- 12
					A3	3.00	4.50	70.75	29.86	6- 13
					B	3.50	6.30	67.50	41.96	6- 14
					C	4.00	8.00	65.40	49.66	6- 15
350	65	581.98	62,162.74	145	A1	3.50	5.25	93.10	30.74	6- 13
					A3	4.20	6.30	89.50	37.50	6- 14
					B	5.00	9.00	86.40	49.93	6- 15
					C	6.00	12.00	85.00	60.87	6- 16
400	75	765.76	106,488.95	191	A2	5.50	8.25	121.10	38.62	6- 14
					A3	6.50	9.75	117.60	45.51	6- 15
					B	7.50	13.50	114.40	70.27	6- 16
					C	9.00	18.00	111.50	80.94	6- 17
450	80	929.91	166,570.38	232	A1	7.50	11.25	149.50	39.28	6- 14
					A2	8.50	12.75	145.80	53.39	6- 15
					A3	10.00	15.00	143.80	66.57	6- 16
					B	11.00	19.80	139.10	78.84	6- 17
500	90	1,159.25	255,324.30	290	A1	10.50	15.75	185.30	54.56	6- 15
					A2	12.50	18.75	181.70	68.49	6- 16
					A3	14.00	21.00	178.20	88.00	6- 17
					B	15.00	27.00	174.90	94.13	6- 18
					C	17.00	34.00	169.00	122.04	6- 19

Tabel 9.1 Brosur WIKA BETON Spun Pile

$$P_{ijin} \text{ tiang} > Ra \text{ tanah}$$

$$185,3 \text{ ton} > 108 \text{ ton} \quad (\text{OK})$$

e) Perencanaan Pile Cap

1. Perencanaan dimensi poer

Pada perencanaan pondasi tiang pancang dalam menghitung jarak antar tiang pancang (S) menurut buku “Mekanika Tanah dalam Praktek Rekayasa – Jilid 2 (Karl Terzaghi dan ralph B.Peck)” menyebutkan bahwa :

- Perhitungan jarak antar tiang pancang (S)

$$S \geq 3 D$$

$$S \geq 3 \cdot 50 \text{ cm}$$

$$S \geq 150 \text{ cm}$$

Maka yang digunakan adalah dengan jarak $S = 180 \text{ cm}$

- Perhitungan jarak antar tiang pancang ke tepi poer (S')

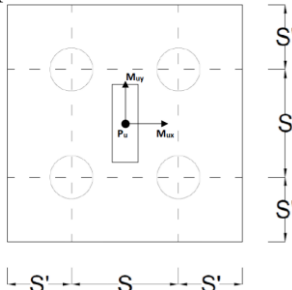
$$S' \geq 1,5 D$$

$$S' \geq 1,5 \cdot 50 \text{ cm}$$

$$S' \geq 75 \text{ cm}$$

Sehingga total lebar poer yang direncanakan adalah
 $b_{poer} = 2.S' + S = 2 \cdot 75 + 150 = 3 \text{ meter}$

Untuk tinggi poer direncanakan setebal =100cm =1m



Gambar 9.3 Perencanaan Dimensi Pilecap

$$S = 150 \text{ mm}$$

$$S' = 75 \text{ mm}$$

f) Efisiensi Daya Dukung Tiang Pancang Grup

Gaya yang terjadi pada pondasi tiang pancang grup tidak dapat menerima gaya aksial secara 100%. Sehingga dihitung besaran efisiensi daya dukung pada tiang grup sebagai berikut.

Metode *Converse-Labarre*

$$\eta = 1 - \left\{ \arctg \left(\frac{D}{S} \right) \left(\frac{(m-1).n + (n-1).m}{90.m.n} \right) \right\}$$

(*Principles of Foundation Engineering VII Table 11.17*)

Dimana :

$$D = \text{Diameter tiang pancang} = 0,5 \text{ m}$$

$$S = \text{Jarak antar tiang pancang} = 1,50 \text{ m}$$

m = Jumlah baris tiang dalam grup = 2

n = Jumlah kolom tiang dalam grup = 2

Sehingga,

$$\eta = 1 - \left\{ arctg \left(\frac{0,5}{1,5} \right) \left(\frac{(2-1) \times 2 + (2-1) \times 2}{90 \times 2 \times 2} \right) \right\}$$

$$= 0,795$$

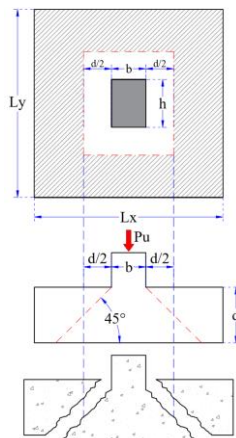
$$P_{efisiensi} = \eta \times P_{ijingrup}$$

$$= 0,795 \times 4 \times 150,99 \text{ ton}$$

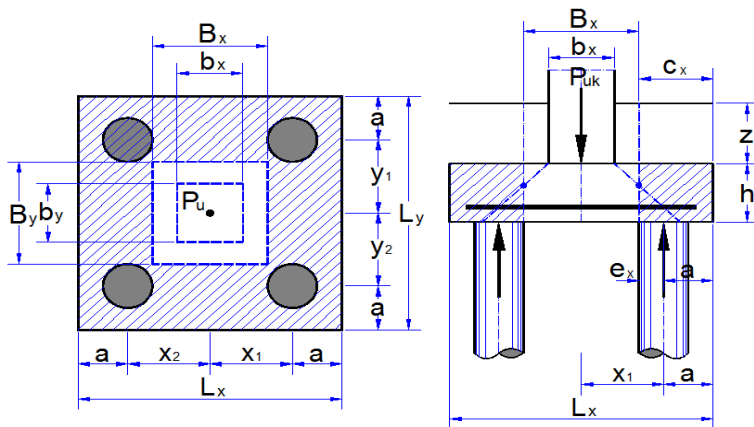
$$= 480,14 \text{ ton}$$

g) Pemeriksaan Geser Dua Arah (Pons)

Perhitungan geser pons bertujuan untuk mengetahui apakah tebal pile cap cukup kuat untuk menahan beban terpusat yang terjadi di sekitar kolom dan tiang pancang. Untuk aksi dua arah, penampang kritis harus ditempatkan sedemikian hingga perimeternya b_0 adalah minimum tetapi tidak perlu lebih dekat dari $d/2$ (SNI 2847:2013 ps. 11.11.1.2).



Gambar 9.4 Geser dua Arah (Pons) di Sekitar Kolom



Gambar 9.5 Parameter Geser Dua Arah di Sekitar Kolom

1. Beban yang dipakai pada perhitungan geser dua arah ini digunakan kombinasi ultimate karena perhitungan geser menggunakan rumus ultimate :

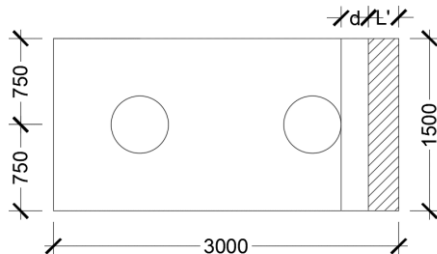
Joint Reactions in Joint Local CoordSys

Joint Object 9		Joint Element 9		
	1	2	3	
Force	-7,375	4,946	756,532	
Moment	-2,982E-02	-1,515	-0,542	

Gambar 9.6 Output SAP 2000

$$V_u = 756,532 \text{ ton} = 7,566,320 \text{ N}$$

2. Cek perhitungan geser satu arah pada poer akibat kolom



Gambar 9.4 Bidang kritis geser satu arah akibat kolom

Apabila digunakan tulangan D25 untuk tulangan lentur:

$$d = h - t - \text{diameter tul. poer} - \text{diameter tul. poer} / 2$$

$$d = 1000 \text{ mm} - 75 \text{ mm} - 25 \text{ mm} - 25 \text{ mm} / 2$$

$$d = 887,5 \text{ mm}$$

Didapatkan dari program bantu SAP 2000 v.14, beban terpusat terbesar kolom akibat beban terfaktor ($1,2D + 1,6L$):

$$P_u = 756,532 \text{ ton}$$

$$Q_u = \frac{P_u}{b \cdot h} = \frac{756,532}{3m \cdot 1,5m} = 168,118 T/m^2 = 1,681 N/mm^2$$

Gaya geser yang terjadi pada poer,

$$V_u = Q_u \times b \times L'$$

$$\begin{aligned} L' &= (0,5 \cdot b \text{ poer}) - (0,5 \cdot b \text{ kolom}) - d \\ &= (0,5 \cdot 3000 \text{ mm}) - (0,5 \cdot 700 \text{ mm}) - 887,5 \text{ mm} \\ &= 262,5 \text{ mm} \end{aligned}$$

$$V_u = 1,681 \text{ N/mm}^2 \times 3000 \text{ mm} \times 262,5 \text{ mm} = 1.323.787,5 \text{ N}$$

Gaya geser yang mampu dipikul oleh beton, V_c

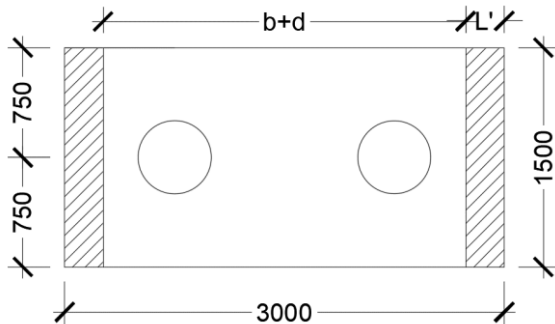
$$V_c = 0,17 \cdot \sqrt{F_{c'}} \cdot b \cdot d$$

$$V_c = 0,17 \cdot \sqrt{35} \cdot 3600\text{mm} \cdot 887,5\text{mm} = 3.213.318,73\text{N}$$

$$\phi V_c > V_u$$

$3.213.318,73\text{ N} > 1.323.787,5\text{ N}$ (**memenuhi**)

3. Cek perhitungan geser dua arah pada poer akibat kolom dan tiang pancang



Gambar 9.5 Bidang kritis geser dua arah akibat kolom

Menghitung gaya geser dua arah yang terjadi pada poer, V_u :

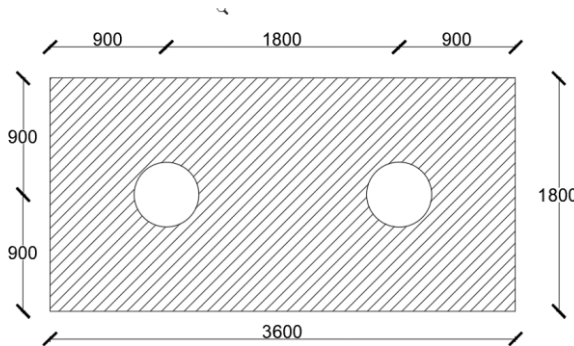
$$At = (b \text{ poer} \cdot h \text{ poer}) - [(b \text{ kolom} + d) \times (h \text{ kolom} + d)]$$

$$At = (3000\text{mm} \cdot 1500\text{mm}) - [(700\text{mm} + 887,5\text{mm}) \times (700\text{mm} + 887,5\text{mm})] = 1.979.843,75\text{mm}^2$$

$$V_u = Qu \cdot At$$

$$V_u = 0,4 \cdot 1.979.843,75\text{mm}^2$$

$$V_u = 791.937,5\text{ N} = 79,1\text{ Ton}$$



Gambar 9. 6 Bidang kritis geser dua arah akibat pancang

Diketahui beban terpusat terbesar tiang pancang yakni:

$$P_u = 756,532 \text{ ton}$$

$$Q_u = \frac{P_u}{b \cdot h} = \frac{756,532}{3m \cdot 1,5m} = 168,1 T/m^2 = 1,68 N/mm^2$$

Menghitung gaya geser dua arah yang terjadi pada poer, V_u :

$$A_t = (b \text{ poer} \cdot h \text{ poer}) - n \times A \text{ tiang}$$

$$A_t = (3000mm \cdot 1500mm) - 2 \times (500mm \times 500mm)$$

$$A_t = 4000000 \text{ mm}^2 = 4,0 \text{ m}^2$$

$$V_u = Q_u \cdot A_t$$

$$V_u = 168,1 T/m^2 \cdot 4 \text{ m}^2$$

$$V_u = 672,4 \text{ Ton}$$

Maka untuk nilai V_u yang dipakai adalah yang terbesar diantara V_u akibat kolom dan V_u akibat tiang pancang, diambil V_u sebesar = 672,4 Ton

Berdasarkan SNI 03-2847-2013 Pasal 11.11.2.1 (a), (b), dan (c), untuk perencanaan plat atau pondasi telapak aksi dua arah, nilai

V_c harus memenuhi persamaan berikut dengan mengambil nilai V_c terkecil:

- $V_c = 0,17 \cdot \left(1 + \frac{2}{\beta}\right) \cdot \lambda \cdot \sqrt{f_{c'}} \cdot b_o \cdot d$

B = rasio dari sisi panjang kolom terhadap sisi pendek kolom

$$\beta = 700 \text{ mm} / 700 \text{ mm} = 1$$

b_o = keliling dari penampang kritis

$$= 2 \cdot (b \text{ kolom} + h \text{ kolom}) + 4 \cdot d$$

$$= 2 \cdot (700 \text{ mm} + 700 \text{ mm}) + 4 \cdot 887,5 \text{ mm}$$

$$= 6350 \text{ mm}$$

$$\lambda = 1 \text{ (Untuk beton normal)}$$

Maka:

$$V_c = 0,17 \cdot \left(1 + \frac{2}{1}\right) \cdot 1 \cdot \sqrt{35 \text{ MPa}} \cdot 6350 \text{ mm} \cdot 887,5 \text{ mm}$$

$$V_c = 11.335.874,59 \text{ N} = 1.133,58 \text{ Ton}$$

- $V_c = 0,083 \cdot \left(\frac{\alpha s \cdot d}{b_o} + 2\right) \cdot \lambda \cdot \sqrt{f_{c'}} \cdot b_o \cdot d$

Dimana

$\alpha s = 40$ (untuk kolom tengah)

$\alpha s = 30$ (untuk kolom tepi)

$\alpha s = 20$ (untuk kolom sudut)

Maka:

$$V_c = 0,083 \cdot \left(\frac{40 \cdot 887,5 \text{ mm}}{6350 \text{ mm}} + 2\right) \cdot 1 \cdot \sqrt{35 \text{ MPa}} \cdot 6350 \text{ mm} \cdot 887,5 \text{ mm}$$

$$V_c = 21.005.233,54 \text{ N} = 2.100,5 \text{ Ton}$$

- $V_c = 0,33 \cdot \lambda \cdot \sqrt{f_{c'}} \cdot b_o \cdot d$

$$V_c = 0,33 \cdot 1 \cdot \sqrt{35 \text{ MPa}} \cdot 6350 \text{ mm} \cdot 887,5 \text{ mm}$$

$$V_c = 11.002.466,35 \text{ N} = 1.100,2 \text{ Ton}$$

Dari ketiga persamaan diatas yang digunakan adalah nilai V_c yang terkecil, $V_c = 1.100,2 \text{ Ton}$

$$V_u = 672,4 \text{ Ton} < V_c = 1.100,2 \text{ Ton} \text{ (memenuhi)}$$

h) Perencanaan Tulangan Lentur

Pada perencanaan tulangan lentur poer, poer diasumsikan sebagai balok kantilever dengan perlakuan jepit pada kolom yang dibebani oleh reaksi tiang pancang dan berat sendiri pile cap.

Diketahui :

$$b_{poer} = 3000 \text{ mm}$$

$$h_{poer} = 3000 \text{ mm}$$

$$t_{poer} = 1000 \text{ mm}$$

$$\text{Selimut} = 75 \text{ mm}$$

$$D \text{ tul. lentur} = 25 \text{ mm}$$

$$D \text{ tul. Susut} = 10 \text{ mm}$$

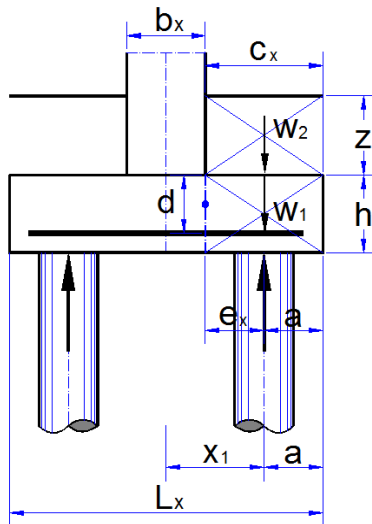
$$d = 887,5 \text{ mm}$$

Beban aksial

Beban yang dipakai pada perhitungan lentur ini digunakan kombinasi ultimate :

$$P_u = 756,53 \text{ ton}$$

❖ Penulangan Pilecap arah x



Gambar 9.7 Skema Penulangan Pilecap (Arah X)

$$C_x = (L_x - b_x) / 2$$

$$= (3,00 - 0,7) / 2$$

= 1,15 m (jarak dari ujung poer ke tepi kolom)

$$A = 0,75 \text{ m} \text{ (jarak dari as pancang ke tepi poer)}$$

$$e_x = c_x - a$$

$$= 1,15 - 0,75$$

= 0,4m (jarak dari as pancang ke tepi kolom)

$$Z = 0 \text{ m}$$

$$h = 1 \text{ m}$$

$$L_x = 3,00 \text{ m}$$

Q diatas bidang ditinjau = berat poer (W1) dan tanah (W2)

$$W_1 = C_x \cdot h \cdot L_x \cdot B_J \text{beton}$$

$$= 1,15 \text{ m} \cdot 1 \text{ m} \cdot 3,00 \text{ m} \cdot 2,4 \text{ t/m}^3$$

$$= 8,28 \text{ ton/m}$$

$$\begin{aligned}
 W_2 &= C_x \cdot h \cdot L_x \cdot B J_{tanah} \\
 &= 1,15 \text{ m} \cdot 1 \text{ m} \cdot 3,00 \text{ m} \cdot 1,6 \text{ t/m}^3 \\
 &= 5,52 \text{ ton/m}
 \end{aligned}$$

Gaya maksimum yang terjadi pada satu tiang pancang:

$$P_u = 756,53 / 4 = 189,13$$

Diketahui nilai untuk jarak-jarak sebagai berikut:

$$\begin{aligned}
 b1 &= \text{jarak dari ujung poer ke tepi kolom} \\
 &= (1,5\text{m} - (0,5 \cdot 1,5\text{m} + 0,5 \cdot 0,7\text{m})) = 400 \text{ mm} \\
 b2 &= \text{jarak dari as tiang pancang ke tepi kolom} \\
 &= \frac{S}{0,5} = \frac{1500}{0,5} = 750 \text{ mm}
 \end{aligned}$$

Maka, momen yang terjadi pada poer adalah:

$$\begin{aligned}
 M_u &= -M_q + M_p \\
 &= -(0,5 \cdot W_1 \cdot b1^2) + (P_u \cdot b2) \\
 &= -(0,5 \cdot 8280 \text{ kg/m} \cdot (0,4)^2 \text{ m}) + (189,130 \text{ kg/m} \cdot 0,75\text{m}) \\
 &= 142.509,9 \text{ kg.m} = 1.425.099.000 \text{ Nmm} \\
 M_n &= \frac{M_u}{\varphi} = \frac{1.425.099.000 \text{ N.mm}}{0,9} = 1.583.443.333 \text{ N.mm} \\
 R_n &= \frac{M_n}{b \cdot d^2} = \frac{1.583.443.333 \text{ N.mm}}{1000 \text{ mm} \cdot (887,5 \text{ mm})^2} \\
 &= 2,01 \text{ N/mm}^2 \\
 m &= \frac{f_y}{0,85 \cdot f_{c'}} = \frac{400 \text{ MPa}}{0,85 \cdot 35 \text{ MPa}} = 13,45 \\
 \rho &= \frac{1}{m} \left(1 - \sqrt{1 - \frac{2 \cdot m \cdot R_n}{f_y}} \right)
 \end{aligned}$$

$$\rho = \frac{1}{13,45} \left(1 - \sqrt{1 - \frac{2 \cdot 13,45 \cdot 2,01 \text{ N/mm}^2}{400 \text{ MPa}}} \right) = 0,005$$

$$\rho_{\min} = \frac{1,4}{f_y} = \frac{1,4}{400 \text{ MPa}} = 0,0035$$

$$\rho_b = \frac{0,85 \cdot \beta_1 \cdot f_{c'}}{f_y} \cdot \frac{600}{(600+f_y)}$$

$$\rho_b = \frac{0,85 \cdot 0,80 \cdot 35}{400} \cdot \frac{600}{(600+400)} = 0,035$$

$$\rho_{\max} = 0,75 \cdot \rho_b = 0,75 \cdot 0,035 = 0,0268$$

maka :

ρ pakai adalah 0,005

$$\begin{aligned} \text{As perlu} &= \rho \cdot b \cdot d \\ &= 0,005 \cdot 1000 \text{ mm} \cdot 912,5 \text{ mm} \\ &= 4.562,5 \text{ mm}^2 \end{aligned}$$

Direncanakan menggunakan D22-150 mm

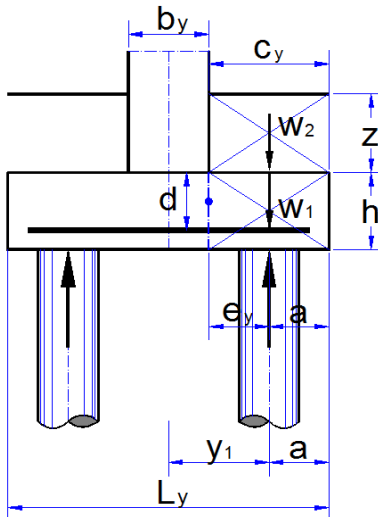
$$\begin{aligned} \text{As pakai} &= \frac{\text{luas tulangan} \cdot B}{\text{jarak sengkang}} \\ &= \frac{0,25 \pi \cdot (22 \text{ mm})^2 \cdot 3000 \text{ mm}}{150 \text{ mm}} \end{aligned}$$

$$\text{As pakai} = 7.598,8 \text{ mm}^2$$

As perlu < As pakai (memenuhi)

$$4.562,5 \text{ mm}^2 < 7.598,8 \text{ mm}^2 (\mathbf{OK})$$

❖ Penulangan Pilecap arah y



Gambar 9.8 Skema Penulangan Pilecap (Arah Y)

$$\begin{aligned} C_y &= (L_y - b_y) / 2 \\ &= (3,00 - 0,7) / 2 \\ &= 1,15 \text{ m} \text{ (jarak dari ujung poer ke tepi kolom)} \end{aligned}$$

A = 0,75 m (jarak dari as pancang ke tepi poer)

$$\begin{aligned} e_x &= c_y - A \\ &= 1,15 - 0,75 \\ &= 0,4 \text{ m} \text{ (jarak dari as pancang ke tepi kolom)} \end{aligned}$$

$$Z = 1 \text{ m}$$

$$h = 1 \text{ m}$$

$$L_y = 3,00 \text{ m}$$

Q diatas bidang ditinjau = berat poer (W1) dan tanah (W2)

$$\begin{aligned} W_1 &= C_y \cdot h \cdot L_y \cdot \text{BJbeton} \\ &= 1,15 \text{ m} \cdot 1 \text{ m} \cdot 3,00 \text{ m} \cdot 2,4 \text{ t/m}^3 \\ &= 8,28 \text{ ton/m} \end{aligned}$$

$$\begin{aligned}
 W_2 &= C_x \cdot z \cdot L_y \cdot B J_{\text{tanah}} \\
 &= 1,15 \text{ m} \cdot 1 \text{ m} \cdot 3,00 \text{ m} \cdot 1,6 \text{ t/m}^3 \\
 &= 5,52 \text{ ton/m}
 \end{aligned}$$

Gaya maksimum yang terjadi pada satu tiang pancang:

$$P_u = 756,53 / 4 = 189,13$$

Diketahui nilai untuk jarak-jarak sebagai berikut:

$$\begin{aligned}
 b1 &= \text{jarak dari ujung poer ke tepi kolom} \\
 &= (1,5\text{m} - (0,5 \cdot 1,5\text{m} + 0,5 \cdot 0,7\text{m})) = 400 \text{ mm} \\
 b2 &= \text{jarak dari as tiang pancang ke tepi kolom} \\
 &= \frac{S}{0,5} = \frac{1500}{0,5} = 750 \text{ mm}
 \end{aligned}$$

Maka, momen yang terjadi pada poer adalah:

$$\begin{aligned}
 M_u &= -M_q + M_p \\
 &= - (0,5 \cdot W_1 \cdot b1^2) + (P_u \cdot b2) \\
 &= - (0,5 \cdot 8280 \text{ kg/m} \cdot (0,4)^2 \text{ m}) + (189,130 \text{ kg/m} \cdot 0,75\text{m}) \\
 &= 142.509,9 \text{ kg.m} = 1.425.099.000 \text{ Nmm} \\
 M_n &= \frac{M_u}{\varphi} = \frac{-1.425.099.000 \text{ N.mm}}{0,9} = 1.583.443.333 \text{ N.mm} \\
 R_n &= \frac{M_n}{b \cdot d^2} = \frac{1.583.443.333 \text{ N.mm}}{1000 \text{ mm} \cdot (887,5 \text{ mm})^2} \\
 &= 2,01 \text{ N/mm}^2 \\
 m &= \frac{f_y}{0,85 \cdot f_{c'}} = \frac{400 \text{ MPa}}{0,85 \cdot 35 \text{ MPa}} = 13,45 \\
 \rho &= \frac{1}{m} \left(1 - \sqrt{1 - \frac{2 \cdot m \cdot R_n}{f_y}} \right)
 \end{aligned}$$

$$\rho = \frac{1}{13,45} \left(1 - \sqrt{1 - \frac{2 \cdot 13,45 \cdot 2,01 \text{ N/mm}^2}{400 \text{ MPa}}} \right) = 0,005$$

$$\rho_{\min} = \frac{1,4}{f_y} = \frac{1,4}{400 \text{ MPa}} = 0,0035$$

$$\rho_b = \frac{0,85 \cdot \beta_1 \cdot f_{ct}}{f_y} \cdot \frac{600}{(600+f_y)}$$

$$\rho_b = \frac{0,85 \cdot 0,80 \cdot 35}{400} \cdot \frac{600}{(600+400)} = 0,035$$

$$\rho_{\max} = 0,75 \cdot \rho_b = 0,75 \cdot 0,035 = 0,0268$$

maka :

ρ pakai adalah 0,005

$$\begin{aligned} \text{As perlu} &= \rho \cdot b \cdot d \\ &= 0,005 \cdot 1000 \text{ mm} \cdot 887,5 \text{ mm} \\ &= 4437,5 \text{ mm}^2 \end{aligned}$$

Direncanakan menggunakan D22-150 mm

$$\begin{aligned} \text{As pakai} &= \frac{\text{luas tulangan} \cdot B}{\text{jarak sengkang}} \\ &= \frac{0,25 \pi \cdot (22 \text{ mm})^2 \cdot 3000 \text{ mm}}{150 \text{ mm}} \end{aligned}$$

$$\text{As pakai} = 7.598,8 \text{ mm}^2$$

As perlu < As pakai (memenuhi)

$$4437,5 \text{ mm}^2 < 7.598,8 \text{ mm}^2 (\text{OK})$$

❖ Tulangan Susut dan Suhu (Atas)

Tulangan pada posisi atas pondasi ditulangi dengan tulangan susut atau suhu.

$$\text{As susut} = \rho \cdot b \cdot h$$

$$= 0,0014 \times 1000 \times 700 = 980 \text{ mm}^2$$

(SNI 2847-2013 ps. 7.12.12.1)

Tulangan yang digunakan:

$$\text{D13-100} \rightarrow \text{As}_{\text{pakai}} = 1.327,3 \text{ mm}^2 (\text{OK})$$

i) Rekapitulasi Perhitungan Pile Cap

Tabel 5.2 Rekapitulasi Tulangan Pile Cap

Tulangan Arah X	Tulangan Arah Y	Tulangan Atas
D22-150	D22-150	D13-100

9.8 Perhitungan transfer beban kolom ke pondasi

$$A1 = \text{Luas kolom} = 700 \text{ mm} \times 700 \text{ mm} = 490.000 \text{ mm}^2$$

$$A2 = \text{Luas poer} = 3000 \text{ mm} \times 3000 \text{ mm} = 9.000.000 \text{ mm}^2$$

a. Kuat tumpu pada dasar kolom, N1

$$Pu = 756,53 \text{ ton} = 7.565,3 \text{ kN}$$

$$N1 = \phi \cdot 0,85 \cdot fc' \cdot A1 = 0,65 \cdot 0,85 \cdot 35 \text{ Mpa} \cdot 490.000 \text{ mm}^2$$

$$N1 = 9.475.375 \text{ N} = 9.475 \text{ kN} > 7.565,3 \text{kN} (\text{memenuhi})$$

9.9 Panjang Penyaluran Tulangan Pasak

Berdasarkan SNI 03-2847-2013 Pasal 12.3.2 untuk Panjang penyaluran tekan (Atas) diambil dari yang terbesar diantara :

- Ldc₁ $= \frac{0,24 \cdot fy}{\lambda \cdot \sqrt{fc'}} db = \frac{0,24 \cdot 400 \text{ MPa}}{1 \cdot \sqrt{35 \text{ MPa}}} 22 = 357 \text{ mm}$

- Ldc₂ $= 0,043 \cdot db \cdot fy$
 $= 0,043 \cdot 22 \text{ mm} \cdot 400 \text{ MPa} = 378,4 \text{ mm}$

Ldc yang digunakan adalah 378,4 mm \approx 400 mm

Berdasarkan SNI 03-2847-2013 Pasal 12.2 untuk Panjang penyaluran Tarik (Bawah) diambil sebagai berikut :

$$\begin{aligned} Ld &= \left(\frac{fy \cdot \psi t \cdot \psi e}{1,7 \cdot \lambda \cdot \sqrt{fc'}} \right) \cdot db \\ &= \left(\frac{400 \text{ MPa} \cdot 1 \cdot 1}{1,7 \cdot 1 \cdot \sqrt{35}} \right) \cdot 22 \text{ mm} \\ &= 874,9 \text{ mm} \approx 1000 \text{ mm} \end{aligned}$$

Maka panjang penyaluran tarik yang digunakan adalah 1000 mm.

BAB X

METODE PELAKSANAAN PLAT

10.1 Metode Pelaksanaan Pelat Lantai

Metode pelaksanaan yang akan digunakan dalam proyek akhir ini adalah metode pelaksanaan pekerjaan plat lantai. Plat lantai untuk Tugas Akhir ini menggunakan konvensional. Semua pekerjaan dilakukan di lokasi yang direncanakan. Mulai dari pembesian, pemasangan bekisting, pengecoran sampai perawatan. Semua pekerjaan ini harus dilaksanakan sesuai dengan SNI (Standar Nasional Indonesia).



Gambar 10.1 Besi Tulangan konvensional

10.2 Spesifikasi Besi Tulangan

Fy' = 400 Mpa

Type = D10-200

10.3 Cara Pemasangan

10.3.1 Tahap persiapan

1. Pekerjaan pengukuran

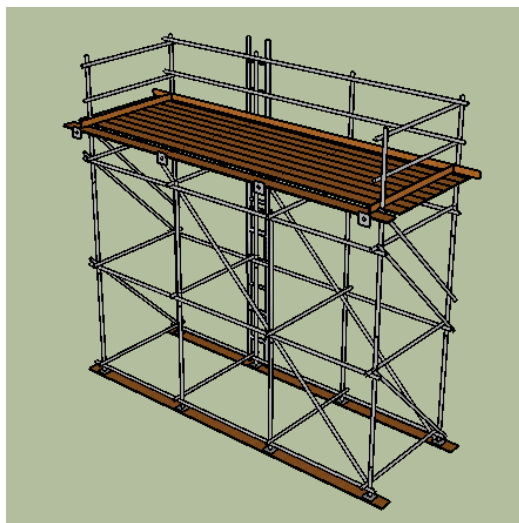
Pengukuran ini bertujuan untuk mengatur/memastikan kerataan ketinggian balok dan plat. Pada pekerjaan ini digunakan pesawat ukur theodolite.



Gambar 10.2 Pekerjaan pengukuran

Pekerjaan bekisting balok dan pelat merupakan satu kesatuan pekerjaan, kerena dilaksanakan secara bersamaan. Pembuatan

panel bekisting balok harus sesuai dengan gambar kerja. Dalam pemotongan plywood harus cermat dan teliti sehingga hasil akhirnya sesuai dengan luasan pelat atau balok yang akan dibuat. Pekerjaan balok dilakukan langsung di lokasi dengan mempersiapkan material utama antara lain: kaso 5/7, balok kayu 6/12, papan plywood, dan scaffolding.



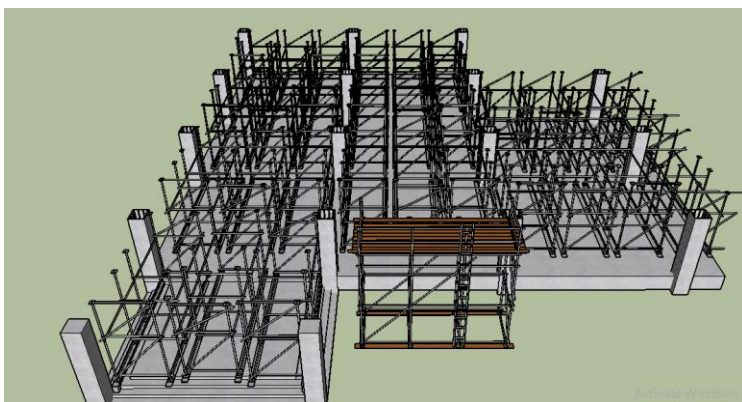
Gambar 10.3 Scaffolding

2. Fabrikasi besi

Untuk fabrikasi besi pertama dilakukan pengecekan ukuran luasan plat yang akan dipasang. Untuk pemotongan besi dapat menggunakan Bar cutter dan cara pembengkokan besi dapat menggunakan metode konvensional.

3. Tahap pekerjaan

1. Scaffolding disusun berjajar bersamaan dengan scaffolding untuk balok. Karena posisi pelat lebih tinggi daripada balok maka Scaffolding untuk pelat lebih tinggi dari pada balok dan diperlukan main frame tambahan dengan menggunakan Joint pin. Perhitungkan ketinggian scaffolding pelat dengan mengatur base jack dan U-head jack nya.



Gambar 10.4 Penyusunan scaffolding

2. Pada U-head dipasang balok kayu (girder) 6/12 sejajar dengan arah cross brace dan diatas girder dipasang suri-suri dengan arah melintangnya.
3. Kemudian dipasang plywood sebagai alas pelat. Pasang juga dinding untuk tepi pada pelat dan dijepit menggunakan siku. Plywood dipasang serapat mungkin, sehingga tidak terdapat rongga yang dapat menyebabkan kebocoran pada saat pengecoran.
4. Semua bekisting rapat terpasang, sebaiknya diolesi dengan solar sebagai pelumas agar beton tidak menempel pada bekisting, sehingga dapat mempermudah dalam pekerjaan

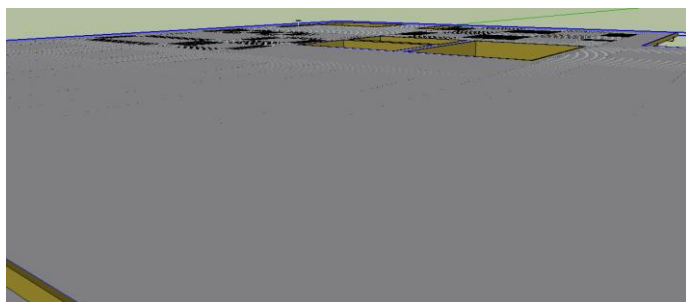
pembongkaran dan bekisting masih dalam kondisi layak pakai untuk pekerjaan berikutnya.



Gambar 10.5 Bekisting plat dan balok

5. Proses selanjutnya yaitu pengecekan tinggi level bekisting. Jika hasilnya sudah sesuai dengan rencana, maka bekisting tersebut pun telah siap untuk digunakan.
6. Tahap selanjutnya yaitu pemasangan tulangan plat yang dilaksanakan setelah pembesian balok. Untuk mempermudah pekerjaan, tulangan-tulangan besi dapat diangkat menggunakan tower crane untuk dipasang di atas bekisting plat. Lakukan perakitan tulangan besi ini dengan tulangan bawah terlebih dahulu. Berikut detail tulangan bawah dan atas pada potongan balok melintang:
7. Setelah selesai pemasangan plat, letakkan beton deking antara tulangan lapangan maupun tumpuan dan bawah pelat dengan bekisting alas.
8. Setelah pembesian balok dan pelat dianggap selesai, lalu diadakan checklist/ pemeriksaan untuk tulangan. Adapun yang diperiksa untuk pembesian pelat lantai yang diperiksa adalah, penyaluran pembesian pelat terhadap balok, jumlah dan jarak tulangan lapangan tumpuan, beton decking, maupun bendrat.

9. Setelah semua selesai, tahap selanjutnya adalah pengecoran. Pengecoran plat lantai dilaksanakan bersama dengan pengecoran balok. Untuk spesifikasi mutu beton yang digunakan adalah $f_c' = 35 \text{ Mpa}$ dengan slump $\pm 12 \text{ cm}$



Gambar 10.6 Pengecoran plat dan balok

10. Perawatan Beton (curing)

Proses perawatan dilakukan setelah balok dan plat sudah selesai dilakukan pengecoran. Umumnya, perawatan pada struktur beton diantaranya adalah menutupi struktur beton dengan terpal, menyirami struktur dengan air. Proses perawatan ini dilakukan sepanjang waktu yang telah disesuaikan dengan perencanaan umur beton.

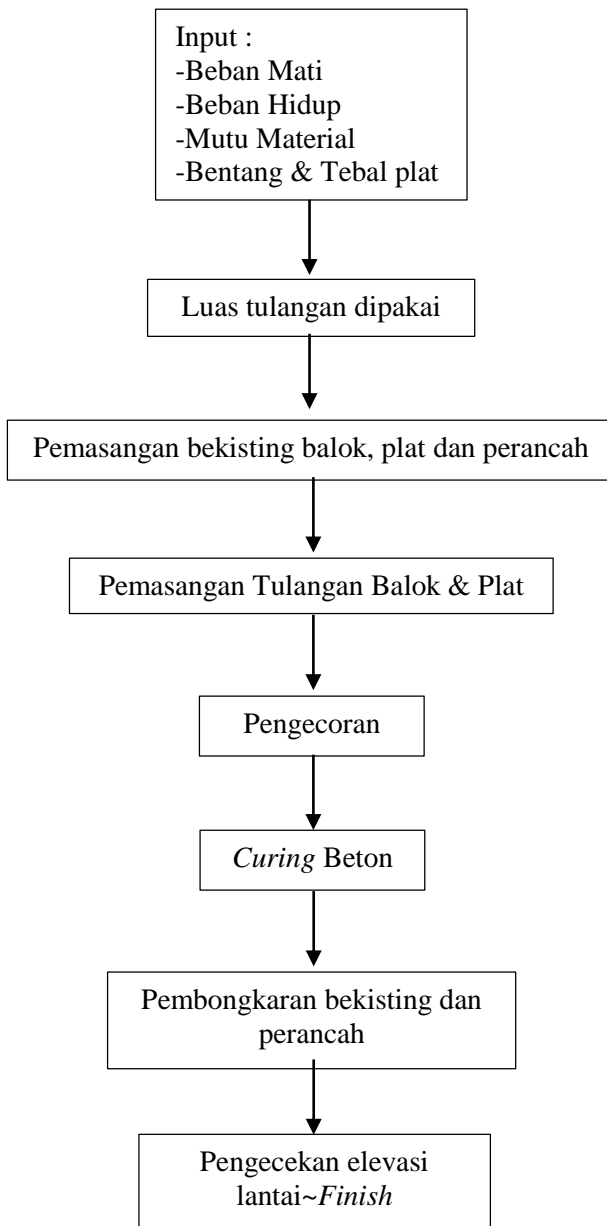
11. Pembongkaran Bekisting dan Perancah

Setelah umur rencana beton tercapai, maka bekisting dan perancah yang digunakan untuk menyanggah konstruksi dapat dibongkar dan digunakan lagi untuk membangun pada tempat yang lain.

12. Pengecekan Elevasi

Setelah lantai kering, maka akan dilakukan pengecekan elevasi lantai menggunakan waterpass.

Dari tahapan-tahapan pelaksanaan yang sudah dijelaskan, dapat dibuat flowchart alur desain metode pekerjaan balok-plat lantai di lapangan. Dimulai dari proses perencanaan sampai dengan pelaksanaannya.



10.4 Pemilihan Alat Pekerjaan Balok-Plat

Lantai Setelah ditentukan urutan metode pelaksanaan pekerjaan konstruksi, kemudian dilakukan pemilihan alat yang akan digunakan untuk melaksanakan pekerjaan.

a) Tower Crane

Tower crane (TC) adalah alat mobilisasi bahan dan peralatan yang dibutuhkan pada pekerjaan balok dan plat lantai. Bahan dan peralatan yang dapat diangkat oleh TC seperti concrete bucket dan tulangan-tulangan.

b) Concrete Bucket atau Concrete Pump

Concrete bucket merupakan wadah yang berfungsi untuk mengangkat beton ketika akan dilakukan pengecoran. Dalam penggunaannya, concrete bucket akan dipasang dengan pipa tremi untuk dapat mengalirkan beton. Sedangkan, concrete pump adalah pompa beton yang digunakan untuk mengalirkan beton dari satu tempat ke tempat lain. Pompa beton dapat berupa pompa tunggal yang ditarik dengan kendaraan lain atau selang dari karet yang tebal.

c) Concrete Vibrator Concrete vibratory digunakan untuk meratakan adonan beton supaya sesuai komposisi dalam perencanaan sehingga kekuatan rencananya tercapai.



Gambar 10.7 Peralatan yang digunakan

BAB XI

KESIMPULAN DAN SARAN

11.1 Kesimpulan

Dari keseluruhan hasil di atas dan analisis yang dilakukan maka Tugas Akhir Terapan ini dapat disimpulkan sebagai berikut:

1. Diperolehnya rencana Struktur bangunan yang kuat dan kaku serta struktur yang efisien untuk gedung DPRD Kota Surabaya dalam menahan beban gravitasi, beban layan, dan beban gempa dengan menggunakan Sistem Rangka Pemikul Momen Khusus (SRPMK)
2. Untuk hasil perhitungan struktur gedung DPRD Kota Surabaya dengan menggunakan SRPMK akan diuraikan sebagai berikut :
 - a. Struktur Primer
 - Kolom

Tabel 11.1 Tabel Kesimpulan Kolom

KOLOM				
Tipe Kolom	Dimensi	Tul. Lentur	Tul. Geser	
	mm		Tumpuan	Lapangan
K1	700 x 700	12D25	4D12-100	4D12-150
K2	500 x 500	8D22	3D12-100	3D12-150

- Hubungan Balok Kolom

Tabel 11.2 Tabel Kesimpulan HBK

Hubungan Balok Kolom			
Tipe HBK	Dimensi	Tul. Lentur	Tul. Geser
	mm		
K1	700 x 700	12D25	4D12-150
K2	500 x 500	8D22	3D12-150

b. Pondasi

Tabel 11.3 Tabel kesimpulan pondasi

No	Joint	Jenis Pile Cap	P (Ton)	Kebutuhan Tiang	Tiang Pasang
1	1771	P1	207.61	1.189	2
2	1772	P2	346.13	1.982	4
3	1773	P2	333.79	1.912	4
4	1774	P1	202.54	1.160	2
5	1775	P1	291.73	1.671	4
6	1776	P2	375.27	2.149	4
7	1777	P2	517.44	2.964	4
8	1778	P2	345.94	1.981	4
9	1779	P1	260.90	1.494	2
10	1780	P2	319.31	1.829	4
11	1781	P2	323.61	1.853	4
12	1782	P1	211.28	1.210	2
13	1783	P1	220.50	1.263	2
14	1784	P2	405.98	2.325	4
15	1785	P1	201.66	1.155	2
16	2014	P3	134.15	0.768	1
				TOTAL	52

Tabel 11.4 Tabel kesimpulan tulangan pondasi

PONDASI									
Tipe Pondasi	Dimensi Pilecap	Tebal Pilecap	Diameter Tiang Pancang	Kedalaman Tiang pancang	Jumlah tiang pancang	Tulangan Atas		Tulangan Bawah	
						x	y	x	y
P1	3,0 x 1,5	1000	500	29	2	D22-150	D22-150	D22-150	D22-150
P2	3,0 x 3,0	1000	500	29	4	D22-150	D22-150	D22-150	D22-150
P3	1,5 x 1,5	1000	500	29	1	D22-150	D22-150	D22-150	D22-150

11.2 Saran

1. Dalam penggerjaan Tugas Akhir Terapan (TAT), hendaknya untuk menyusun sistematika penyusunan TAT secara urut dan menyeluruh agar dalam penggerjaannya tidak ada yang terlupakan dan berjalan lancar.
2. Perlunya untuk mengumpulkan data perencanaan, mulai dari gambar arsitek dan struktur dari pihak pemilik data dan juga data tanah sebagai data primer dalam perencanaan perhitungan.
3. Perbanyak membaca literatur perhitungan dan mempelajarinya dengan penerapan secara langsung
4. Harus teliti dan bersabar dalam melakukan percobaan permodelan (trial and error), karena sekali gagal dalam mendesain harus mengulang lagi perhitungan kontrol dari awal
5. Perhitungkan waktu baik-baik saat mengerjakan Tugas Akhir Terapan, berusahalah sebaik mungkin untuk menepati jadwal penggerjaan.

DAFTAR PUSTAKA

- Badan Standarisasi Nasional. 2012. *Tata Cara Perencanaan Ketahanan Gempa Untuk Bangunan Gedung.* SNI 03-1726-2012. Jakarta : Badan Standarisasi Nasional
- Badan Standarisasi Nasional,2013. *Tata Cara Perencanaan Struktur Beton untuk Bangunan Gedung,* SNI 03-2847,2013. Jakarta : Standar Nasional Indonesia
- Badan Standarisasi Nasional,2013. *Beban Minimum untuk Perancangan Bangunan Gedung dan Struktur lain,* SNI 1727,2013. Jakarta : Standar Nasional Indonesia
- Badan Standarisasi Nasional,2004. *Syarat-syarat umum konstruksi lift penumpang yang dijalankan dengan motor traksi tanpa kamar mesin,* SNI 05-7052-2004. Jakarta : Standar Nasional Indonesia
- Purwono R, 2005. *Perencanaan Struktur Beton Bertulang Tahan Gempa.* Surabaya : ITS Press.
- Imran ,Iswandi dan Fajar Hendrik ,2014 . *Perencanaan Lanjut Beton Struktur Beton Bertulang .* Bandung : Penerbit ITB
- Nasution, Amrinsyah. 2010. *Analisis dan Desain Struktur Beton Bertulang.* Bandung: ITB.
- Asroni ali ,2010 . *Balok Plat Beton Bertulang .* Yogyakarta : Graha Ilmu
- ASCE 7-2005. *Minimum Design Loads for Buildings and Other Structure.* American Society of Civil Engineers.
- Ashafani Hisyam ,*Desain struktur Bangunan Gedung Perkuliahinan di Surabaya Menggunakan SRPMK dan Shear Wall serta Metode Pelaksanaan Pekerjaan Pondasi.* Surabaya: ITS

LAMPIRAN 1
(Brosur Material & Lift)

SPESIFIKASI TEKNIKS

UKURAN STANDARD GENTENG ROYAL®

Tebal	: ± 2,6 mm
Lebar	: 1.04 Meter (efektif 0.96 Meter)
Panjang	: 1.98 Meter (efektif 1.76 Meter)
Luas/Lembar	: 2,06 M ² (efektif 1.69 M ²)
Jumlah Panel/lembar	: 6x9 panel (efektif 6x8 panel)
Berat	: ± 4,7 Kg/M ²
Sudut Kemiringan	: 30°
Overlap	: Top : 220 mm Side : 80 mm
Pilihan warna	:
	 Merah
	 Biru
	 Hijau



(Ukuran lain/custom dapat dipesan dengan quantity order tertentu)



Spesifikasi Teknis Bata Ringan Citicon

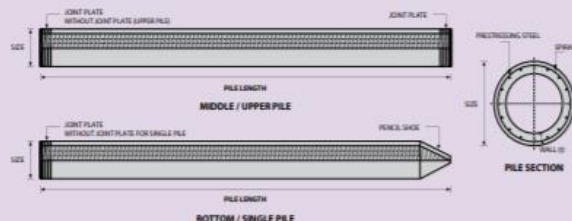
Spesifikasi Teknis Bata Ringan Citicon

Panjang, L [mm]	: 600
Tinggi, H [mm]	: 200; 400
Tebal, T [mm]	: 75; 100; 125; 150; 175; 200

Berat jenis kering, (ρ)	: 530 kg/m ³
Berat jenis normal, (ρ)	: 600 kg/m ³
Kuat tekan, (σ)	: ≥ 4,0 N/m ²
Konduktifitas termis, (λ)	: 0.14 w/mk

Tebal	mm	75	100	125	150	175	200
Luas Dinding / m ³	m ²	13.33	10.00	8.00	6.67	5.71	5.00
Isi / m ³	Blok	111.11	83.33	66.67	55.56	47.62	41.67

PILE SHAPE & SPECIFICATION | PRESTRESSED CONCRETE PRETENSION SPUN PILES



PRESTRESSED CONCRETE PRETENSION SPUN PILES SPECIFICATION

Concrete Compressive Strength $f_c' = 52 \text{ MPa}$ (Cube 600 kg/cm³)

Size (mm)	Thickness Wall (t) (mm)	Cross Section (cm ²)	Section Inertia (cm ⁴)	Unit Weight (kg/m)	Class	Bending Moment		Allowable Compression (ton)	Decompression Tension (ton)	Length of Pile ** (m)
						Crack *	Break (ton.m)			
300	60	452.39	34,607.78	113	A2	2.50	3.75	72.60	23.11	6-12
					A3	3.00	4.50	70.75	29.86	6-13
					B	3.50	6.30	67.50	41.96	6-14
					C	4.00	8.00	65.40	49.66	6-15
350	65	581.98	62,162.74	145	A1	3.50	5.25	93.10	30.74	6-13
					A3	4.20	6.30	89.50	37.50	6-14
					B	5.00	9.00	86.40	49.93	6-15
					C	6.00	12.00	85.00	60.87	6-16
400	75	765.76	106,488.95	191	A2	5.50	8.25	121.10	38.62	6-14
					A3	6.50	9.75	117.60	45.51	6-15
					B	7.50	13.50	114.40	70.27	6-16
					C	9.00	18.00	111.50	80.94	6-17
450	80	929.91	166,570.38	232	A1	7.50	11.25	149.50	39.28	6-14
					A2	8.50	12.75	145.80	53.39	6-15
					A3	10.00	15.00	143.80	66.57	6-16
					B	11.00	19.80	139.10	78.84	6-17
					C	12.50	25.00	134.90	100.45	6-18
500	90	1,159.25	255,324.30	290	A1	10.50	15.75	185.30	54.56	6-15
					A2	12.50	18.75	181.70	68.49	6-16
					A3	14.00	21.00	178.20	88.00	6-17
					B	15.00	27.00	174.90	94.13	6-18
					C	17.00	34.00	169.00	122.04	6-19
600	100	1,570.80	510,508.81	393	A1	17.00	25.50	252.70	70.52	6-16
					A2	19.00	28.50	249.00	77.68	6-17
					A3	22.00	33.00	243.20	104.94	6-18
					B	25.00	45.00	238.30	131.10	6-19
					C	29.00	58.00	229.50	163.67	6-20
800	120	2,563.54	1,527,869.60	641	A1	40.00	60.00	415.00	119.34	6-20
					A2	46.00	69.00	406.10	151.02	6-21
					A3	51.00	76.50	399.17	171.18	6-22
					B	55.00	99.00	388.61	215.80	6-23
					C	65.00	130.00	368.17	290.82	6-24
1000 ***	140	3,782.48	3,589,571.20	946	A1	75.00	112.50	613.52	169.81	6-22
					A2	82.00	123.00	601.27	215.16	6-23
					A3	93.00	139.50	589.66	258.19	6-24
					B	105.00	189.00	575.33	311.26	6-24
					C	120.00	240.00	555.23	385.70	6-24
1200 ***	150	4,948.01	6,958,136.85	1,237	A1	120.00	180.00	802.80	221.30	6-24
					A2	130.00	195.00	794.50	252.10	6-24
					A3	145.00	217.50	778.60	311.00	6-24
					B	170.00	306.00	751.90	409.60	6-24
					C	200.00	400.00	721.50	522.20	6-24

Unit Conversion : 1 ton = 9,8060 kN

Note : *) Crack Moment Based on JIS A 5335-1987 (Prestressed Spun Concrete Piles)

**) Length of pile may exceed usual standard whenever lifted in certain position

***) Type of Shoe for Bottom Pile is Mamira Shoe

**Daftar**

DAFTAR I

LIONMESH POLOS



LIONMESH KARI

**Technical Details**

TABLE I

TYPE MK	TYPE M	UKURAN SIZE				BERAT WEIGHT	
		Ø (mm)	SPASI SPACING (mm)	LEMBAR SHEET (mm)	ROLL (mm)	KG/LB KG/SH	KG/ROLL
—	M4	4 X 4	150 X 150	5.400 X 2.100	54.000 X 2.100	15,45	154,50
MK5	M5	5 X 5	150 X 150	5.400 X 2.100	54.000 X 2.100	24,14	241,40
MK6	M6	6 X 6	150 X 150	5.400 X 2.100	54.000 X 2.100	34,76	347,60
MK7	M7	7 X 7	150 X 150	5.400 X 2.100	—	47,31	—
MK8	M8	8 X 8	150 X 150	5.400 X 2.100	—	61,79	—
MK9	M9	9 X 9	150 X 150	5.400 X 2.100	—	78,21	—
MK10	M10	10 X 10	150 X 150	5.400 X 2.100	—	96,55	—

Ø KAWAT WIRE Ø	Luas Ø KAWAT WIRE AREA	JUMLAH LUAS PENAMPANG KAWAT (CM ² /M) MENURUT SPASINYA SETIAP ARAH TOTAL WIREMESH AREA (CM ² /M) ACCORDING TO SPACING EACH DIRECTION											
		SPASI SPACING (MM)											
MM	CM ²	50	75	100	125	150	175	200	225	250	275	300	325
4,0	0,126	2,52	1,68	1,26	1,01	0,84	0,72	0,63	0,56	0,50	0,46	0,42	0,39
4,5	0,159	3,18	2,12	1,59	1,27	1,06	0,91	0,80	0,71	0,64	0,58	0,53	0,49
5,0	0,196	3,93	2,62	1,96	1,57	1,31	1,12	0,98	0,87	0,78	0,71	0,65	0,60
5,5	0,238	4,75	3,17	2,38	1,90	1,58	1,36	1,19	1,06	0,95	0,86	0,79	0,73
6,0	0,283	5,65	3,77	2,82	2,26	1,88	1,62	1,41	1,26	1,13	1,03	0,94	0,87
6,5	0,332	6,64	4,43	3,31	2,65	2,21	1,90	1,65	1,47	1,33	1,21	1,10	1,02
7,0	0,385	7,70	5,13	3,85	3,08	2,57	2,20	1,92	1,71	1,54	1,40	1,28	1,18
7,5	0,442	8,84	5,89	4,42	3,53	2,95	2,52	2,20	1,96	1,77	1,61	1,47	1,36
8,0	0,503	10,05	6,70	5,03	4,02	3,35	2,87	2,51	2,23	2,01	1,83	1,67	1,55
8,5	0,567	11,35	7,57	5,67	4,54	3,78	3,24	2,84	2,52	2,27	2,06	1,89	1,74
9,0	0,636	12,72	8,48	6,36	5,09	4,24	3,63	3,18	2,83	2,54	2,31	2,12	1,96
9,5	0,709	14,18	9,45	7,09	5,67	4,73	4,05	3,54	3,15	2,83	2,58	2,36	2,18
10,0	0,785	15,71	10,47	7,85	6,28	5,24	4,49	3,92	3,49	3,14	2,85	2,61	2,42
10,5	0,866	17,32	11,55	8,66	6,93	5,77	4,95	4,33	3,85	3,46	3,15	2,89	2,66
11,0	0,950	19,01	12,67	9,50	7,60	6,34	5,43	4,74	4,22	3,80	3,45	3,16	2,92
11,5	1,039	20,77	13,85	10,39	8,31	6,92	5,93	5,19	4,61	4,15	3,78	3,45	3,19
12,0	1,131	22,62	15,08	11,31	9,04	7,54	6,46	5,66	5,02	4,52	4,11	3,76	3,48

5. Keuntungan menggunakan LIONMESH untuk Konstruksi Beton

- 1. Menjamin ketepatan perhitungan konstruksi beton**
LIONMESH diproduksi sedemikian rupa sehingga tepat dengan spesifikasi yang telah diperhitungkan oleh pemesan. Mutu baja senantiasa sesuai peraturan standard yang ada.
 - 2. Mempercepat waktu pelaksanaan**
Pemasangan LIONMESH begitu cepat dan mudah dibandingkan dengan cara konvensionil yang harus memotong, meluruskan dan mengikat titik-titik pertemuhan kawat.
 - 3. Memudahkan pengawasan pembangunan**
Pelaksanaan LIONMESH begitu praktis dan mudah dikerjakan sehingga memudahkan pengawasan.
 - 4. "Net Work Planning" dapat dilaksanakan dengan baik**
LIONMESH adalah tulangan beton yang diproduksi untuk siap pakai (prefab). Pengadaannya dapat di-program sesuai dengan jadwal yang dikehendaki, dengan demikian memberikan jaminan kepada "Net Work Planning".
 - 5. Menjamin kelancaran pelaksanaan pembangunan**
Sehubungan dengan hal-hal tersebut diatas: tepat dan cepat, maka pelaksanaan pembangunan akan terlaksana dengan lancar.
 - 6. Menjamin kualitas bangunan**
LIONMESH diproses melalui mesin otomatis buatan Swiss paling mutakhir yang memberikan jaminan ketepatan kepada LIONMESH, dengan demikian mutu konstruksi beton akan sesuai dengan yang direncanakan sehingga menjamin kualitas bangunan.
 - 7. Menghemat biaya pembangunan**
Berdasarkan hal-hal tersebut diatas maka faktor X (biaya tak ferduga) dapat dihindari, dengan demikian tidak ada biaya yang terhambur.

LIONMESH efisien dan efektif!

5. The advantages of using LIONMESH in Reinforced Concrete Structure

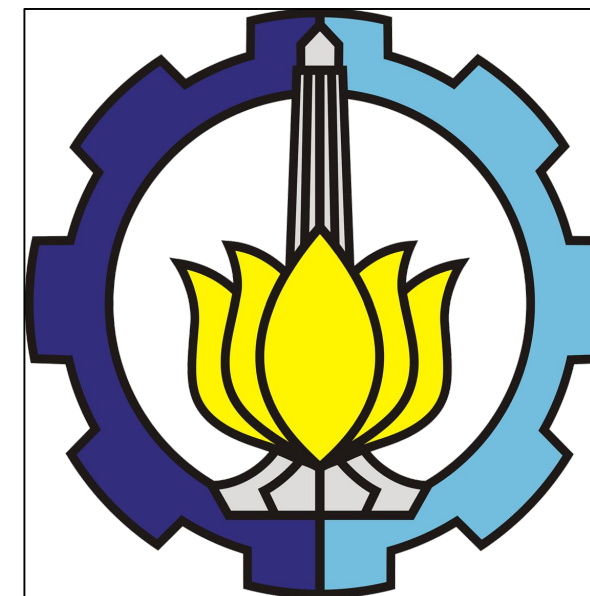
- 1. Accuracy in the concrete structural design**
LIONMESH is produced in conformity to various specifications as estimated by customers. The quality of steel is always in accordance to prevailing standards.
 - 2. Reduction of construction time**
Fixing LIONMESH takes much shorter time and less effort than the conventional method which requires cutting, straightening, and tying for the joint.
 - 3. Easier on-site supervision**
Practical and efficient application of LIONMESH makes supervision easier.
 - 4. Better implementation of Network Planning**
LIONMESH is a prefabricated reinforcement, produced for ready use. The production can be planned according to the desirable schedule, which assures implementation of Network Planning.
 - 5. Efficiency in constructing work**
Due to the above mentioned benefits, the construction job will therefore proceed more efficiently.
 - 6. Good quality of the structure**
LIONMESH is processed by the latest automatic machinery imported from Switzerland, which ensures high exceptional precision of LIONMESH, thus fitting to required quality of the concrete and the structure.
 - 7. Saving of construction costs**
The unpredictable X factor (of contingency costs) is avoided, which is a significant saving.

LAMPIRAN 2
(Data Tanah)

DRILLING LOG

TUGAS AKHIR TERAPAN VC180609

"DESAIN STRUKTUR BANGUNAN GEDUNG DPRD KOTA SURABAYA DENGAN SISTEM RANGKA PEMIKUL MOMEN KHUSUS DAN METODA PELAKSANAAN PELAT-PELAT LANTAI DAN ATAP"



Nama Mahasiswa :

1. Armand Rizaldy (10111600000046)
2. Taufan Fairus Majid (10111600000080)

Dosen Pembimbing :

Dr. Ir. DICKY IMAM WAHYUDI, M.S.
NIP. 19590209 198603 1 002

PROGRAM STUDI DIPLOMA III TEKNIK SIPIL

FAKULTAS VOKASI

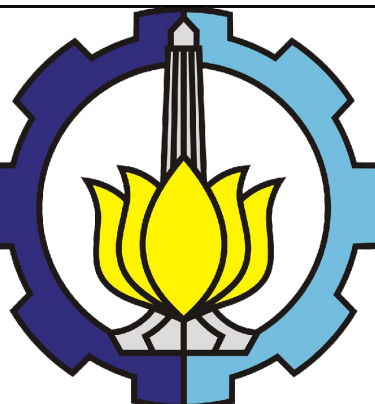
INSTITUT TEKNOLOGI SEPULUH NOPEMBER

SURABAYA

2020

Daftar Isi

Nama	Keterangan	Skala	Nama	Keterangan	Skala
ARS - 01	TAMPAK DEPAN	1 : 150	STR - 21	DENAH PELAT LT.4 GD DPRD	1 : 150
ARS - 02	TAMPAK BELAKANG	1 : 150	STR - 22	DENAH PELAT LT.5 GD DPRD	1 : 150
ARS - 03	TAMPAK SAMPING KIRI	1 : 150	STR - 23	DENAH PELAT LT.6 GD DPRD	1 : 150
ARS - 04	TAMPAK SAMPING KANAN	1 : 150	STR - 24	DENAH PELAT LT.7 GD DPRD	1 : 150
STR - 01	POTONGAN BANGUNAN A-A	1 : 150	STR - 25	DENAH PELAT LT.ATAP GD DPRD	1 : 150
STR - 02	POTONGAN BANGUNAN B-B	1 : 150	STR - 26	DENAH KONSEP PELAT A	1 : 150
STR - 03	DENAH LT.1 GD DPRD	1 : 150	STR - 27	DETAIL PENULANGAN PELAT A	1 : 150
STR - 04	DENAH LT.2 GD DPRD	1 : 150	STR - 28	PORTAL ARAH MELINTANG	1 : 200
STR - 05	DENAH LT.3 GD DPRD	1 : 150	STR - 29	PORTAL ARAH MEMANJANG	1 : 200
STR - 06	DENAH LT.4 GD DPRD	1 : 150	DTA - 03	DETAIL TULANGAN BALOK MELINTANG	1 : 50
STR - 07	DENAH LT.5 GD DPRD	1 : 150	DTA - 04	DETAIL TULANGAN BALOK MEMANJANG	1 : 50
STR - 08	DENAH LT.6 GD DPRD	1 : 150	DTA - 05	DETAIL TULANGAN KOLOM K1	1 : 50
STR - 09	DENAH LT.7 GD DPRD	1 : 150	DTA - 06	DETAIL TULANGAN KOLOM K2	1 : 50
DTA - 01	DENAH & POTONGAN A-A TANGGA	1 : 100	DTA - 07	HUBUNGAN BALOK KOLOM K1	1 : 50
DTA - 02	DENAH & POTONGAN B-B TANGGA	1 : 100	DTA - 08	HUBUNGAN BALOK KOLOM K2	1 : 50
STR - 10	DENAH BALOK LT.1 GD DPRD	1 : 150	DTA - 09	HUBUNGAN KOLOM K1-K2	1 : 50
STR - 11	DENAH BALOK LT.2 GD DPRD	1 : 150	DTA - 10	DETAIL PORTAL ARAH MELINTANG	1 : 50
STR - 12	DENAH BALOK LT.3 GD DPRD	1 : 150	DTA - 11	DETAIL PORTAL ARAH MEMANJANG	1 : 50
STR - 13	DENAH BALOK LT.4 GD DPRD	1 : 150	STR - 30	DENAH PONDASI PILE CAP	1 : 150
STR - 14	DENAH BALOK LT.5 GD DPRD	1 : 150	STR - 31	PENULANGAN & POTONGAN PONDASI P1	1 : 50
STR - 15	DENAH BALOK LT.6 GD DPRD	1 : 150	STR - 32	PENULANGAN & POTONGAN PONDASI P2	1 : 50
STR - 16	DENAH BALOK LT.7 GD DPRD	1 : 150	STR - 33	PENULANGAN & POTONGAN PONDASI P3	1 : 50
STR - 17	DENAH BALOK LT.ATAP GD DPRD	1 : 150			
STR - 18	DENAH PELAT LT.1 GD DPRD	1 : 150			
STR - 19	DENAH PELAT LT.2 GD DPRD	1 : 150			
STR - 20	DENAH PELAT LT.3 GD DPRD	1 : 150			



PROGRAM STUDI DIPLOMA III
DEPARTEMEN TEKNIK INFRASTRUKTUR SIPIL
FAKULTAS VOKASI
INSTITUT TEKNOLOGI SEPULUH NOPEMBER
SURABAYA
2020

TUGAS AKHIR

JUDUL

DESAIN STRUKTUR BANGUNAN GEDUNG DPRD KOTA SURABAYA BERDASARKAN
SISTEM RANGKA PENULUH MOMEN KHUSUS (SRPMK) DAN METODE
PELAKSANAAN PLAT-PLAT LANTAI DAN ATAP

NAMA PEKERJAAN

PEMBANGUNAN GEDUNG DPRD KOTA SURABAYA

LOKASI PEKERJAAN

Jalan Yos Sudarso No 18-22, Embong
Kaliasin, Surabaya, Jawa Timur

GAMBAR SKALA

TAMPAK DEPAN 1 : 150

KETERANGAN

Panjang Melintang (l_x) = 26 m
Panjang Menanjang (l_y) = 30.824 m
Tinggi Bangunan = 28 m
Tinggi Per-Lantai = 4 m
 $F_c' = 35 \text{ Mpa}$

DOSEN PEMBIMBING

Dr. Ir. Dicky Imam Wahyudi, M.S.
NIP: 195902091986031002

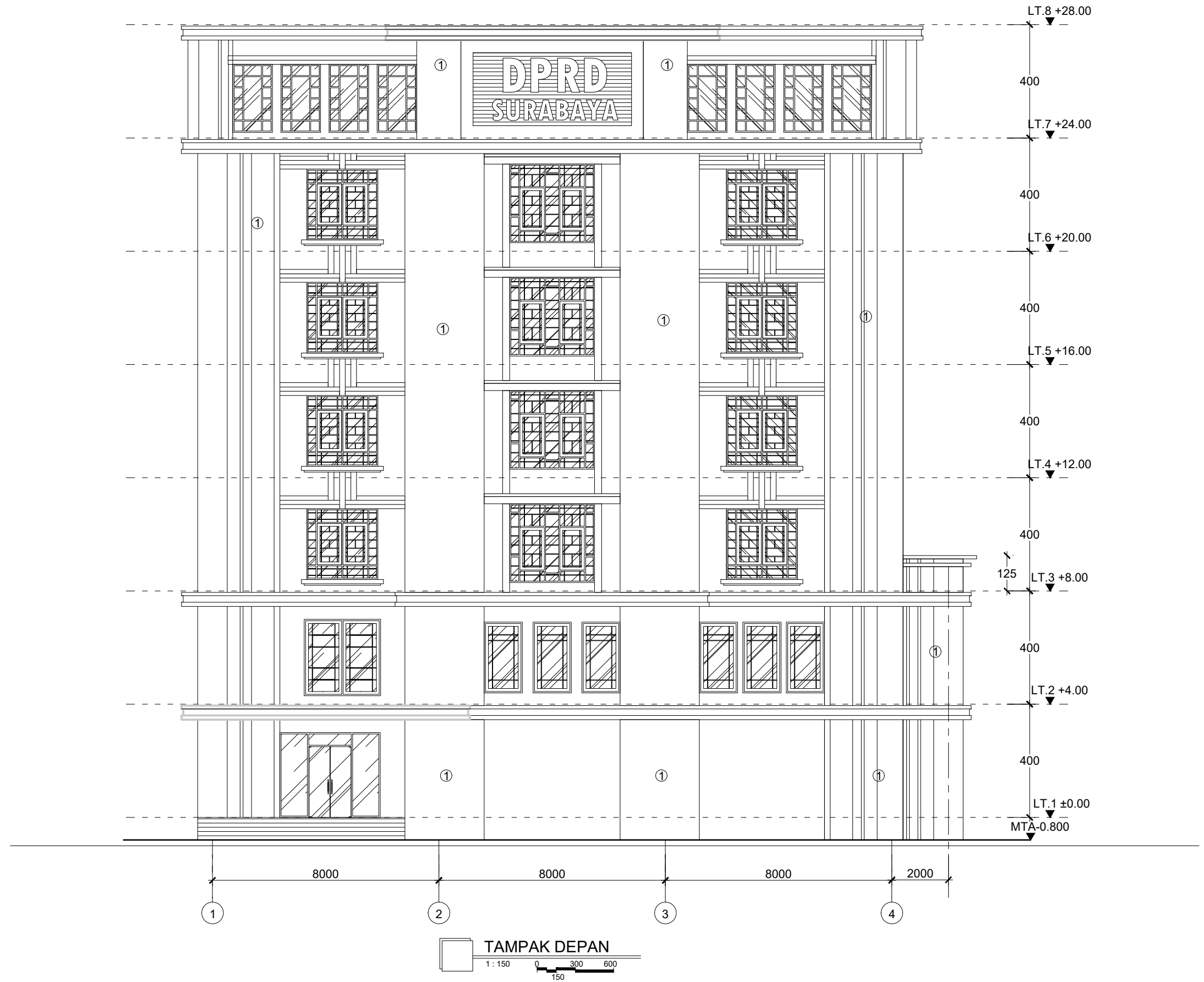
NAMA MAHASISWA

ARMAND RIZALDY
1011160000046

TAUFAN FAIRUS MAJID
1011160000080

NAMA NO. LEMBAR JUMLAH
LEMBAR

ARS - 01 1 48





PROGRAM STUDI DIPLOMA III
DEPARTEMEN TEKNIK INFRASTRUKTUR SIPIL
FAKULTAS VOKASI
INSTITUT TEKNOLOGI SEPULUH NOPEMBER
SURABAYA
2020

TUGAS AKHIR

JUDUL

DESAIN STRUKTUR BANGUNAN GEDUNG DPRD KOTA SURABAYA BERDASARKAN
SISTEM RANGKA PENULUH MOMEN KHUSUS (SRPMK) DAN METODE
PELAKSANAAN PLAT-PLAT LANTAI DAN ATAP

NAMA PEKERJAAN

PEMBANGUNAN GEDUNG DPRD KOTA SURABAYA

LOKASI PEKERJAAN

Jalan Yos Sudarso No 18-22, Embong
Kaliasin, Surabaya, Jawa Timur

GAMBAR SKALA

TAMPAK BELAKANG 1 : 150

KETERANGAN

Panjang Melintang (l_x) = 26 m
Panjang Menanjang (l_y) = 30.824 m
Tinggi Bangunan = 28 m
Tinggi Per-Lantai = 4 m
 $F_c' = 35 \text{ Mpa}$

DOSEN PEMBIMBING

Dr. Ir. Dicky Imam Wahyudi, M.S.
NIP: 195902091986031002

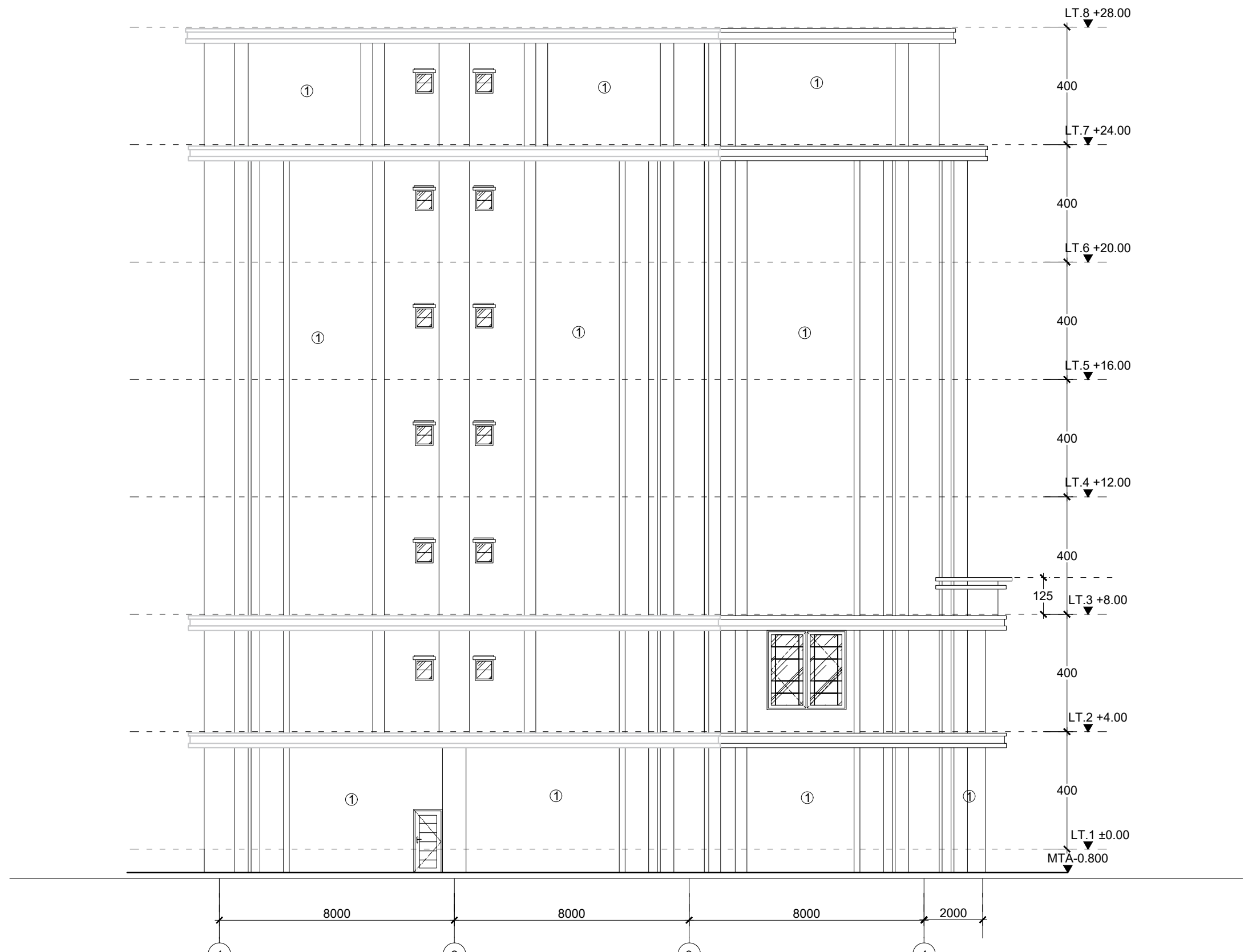
NAMA MAHASISWA

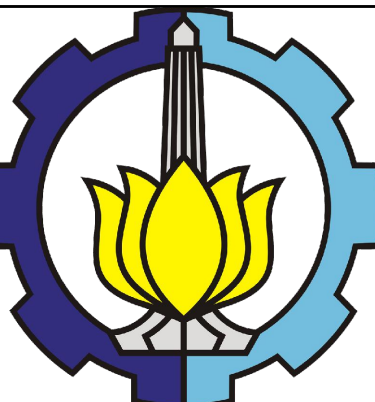
ARMAND RIZALDY
1011160000046

TAUFAN FAIRUS MAJID
1011160000080

NAMA NO. LEMBAR JUMLAH
LEMBAR

ARS - 02 2 48





PROGRAM STUDI DIPLOMA III
DEPARTEMEN TEKNIK INFRASTRUKTUR SIPIL
FAKULTAS VOKASI
INSTITUT TEKNOLOGI SEPULUH NOPEMBER
SURABAYA
2020

TUGAS AKHIR

JUDUL

DESAIN STRUKTUR BANGUNAN GEDUNG DPRD KOTA SURABAYA BERDASARKAN
SISTEM RANGKA PENULUH MOMEN KHUSUS (SRPMK) DAN METODE
PELAKSANAAN PLAT-PLAT LANTAI DAN ATAP

NAMA PEKERJAAN

PEMBANGUNAN GEDUNG DPRD KOTA SURABAYA

LOKASI PEKERJAAN

Jalan Yos Sudarso No 18-22, Embong
Kaliasin, Surabaya, Jawa Timur

GAMBAR SKALA

TAMPAK SAMPING KIRI 1 : 150

KETERANGAN

Panjang Melintang (l_x) = 26 m
Panjang Menanjang (l_y) = 30.824 m
Tinggi Bangunan = 28 m
Tinggi Per-Lantai = 4 m
 $F_c' = 35 \text{ Mpa}$

DOSEN PEMBIMBING

Dr. Ir. Dicky Imam Wahyudi, M.S.
NIP: 195902091986031002

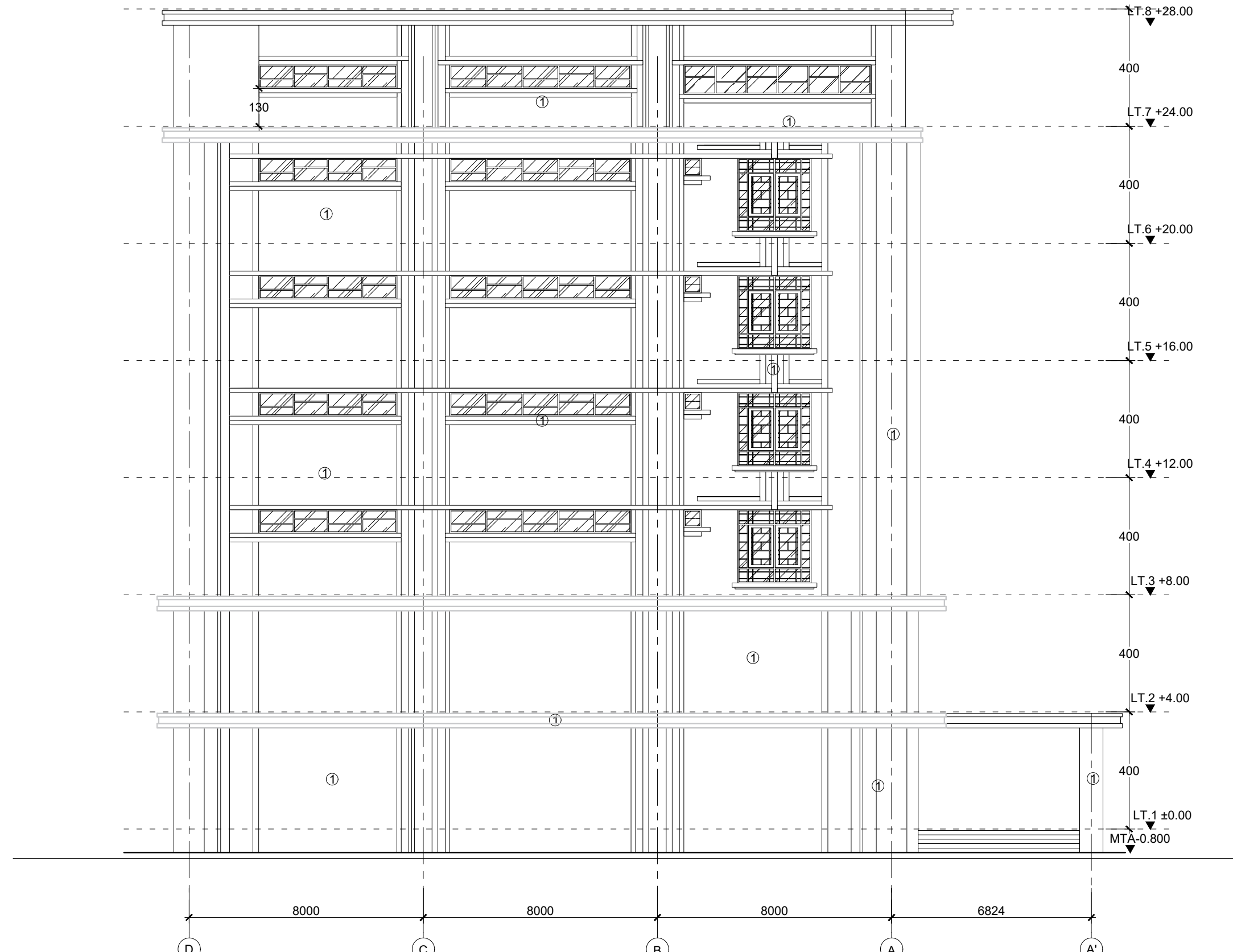
NAMA MAHASISWA

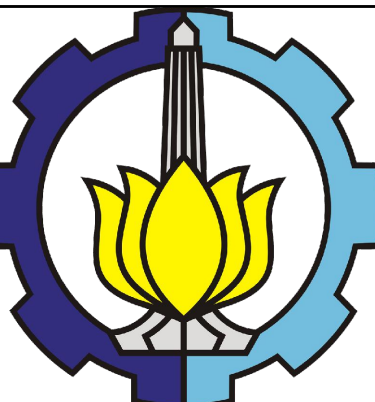
ARMAND RIZALDY
1011160000046

TAUFAN FAIRUS MAJID
1011160000080

NAMA	NO. LEMBAR	JUMLAH LEMBAR
------	------------	---------------

ARS - 03	3	48
----------	---	----





PROGRAM STUDI DIPLOMA III
DEPARTEMEN TEKNIK INFRASTRUKTUR SIPIL
FAKULTAS VOKASI
INSTITUT TEKNOLOGI SEPULUH NOPEMBER
SURABAYA
2020

TUGAS AKHIR

JUDUL

DESAIN STRUKTUR BANGUNAN GEDUNG DPRD KOTA SURABAYA BERDASARKAN
SISTEM RANGKA PENULU MOMEN KHUSUS (SRPMK) DAN METODE
PELAKSANAAN PLAT-PLAT LANTAI DAN ATAP

NAMA PEKERJAAN

PEMBANGUNAN GEDUNG DPRD KOTA SURABAYA

LOKASI PEKERJAAN

Jalan Yos Sudarso No 18-22, Embong
Kaliasin, Surabaya, Jawa Timur

GAMBAR

TAMPAK SAMPING KANAN

SKALA
1 : 150

KETERANGAN

Panjang Melintang (l_x) = 26 m
Panjang Menanjang (l_y) = 30.824 m
Tinggi Bangunan = 28 m
Tinggi Per-Lantai = 4 m
 $F_c' = 35 \text{ Mpa}$

DOSEN PEMBIMBING

Dr. Ir. Dicky Imam Wahyudi, M.S.
NIP: 195902091986031002

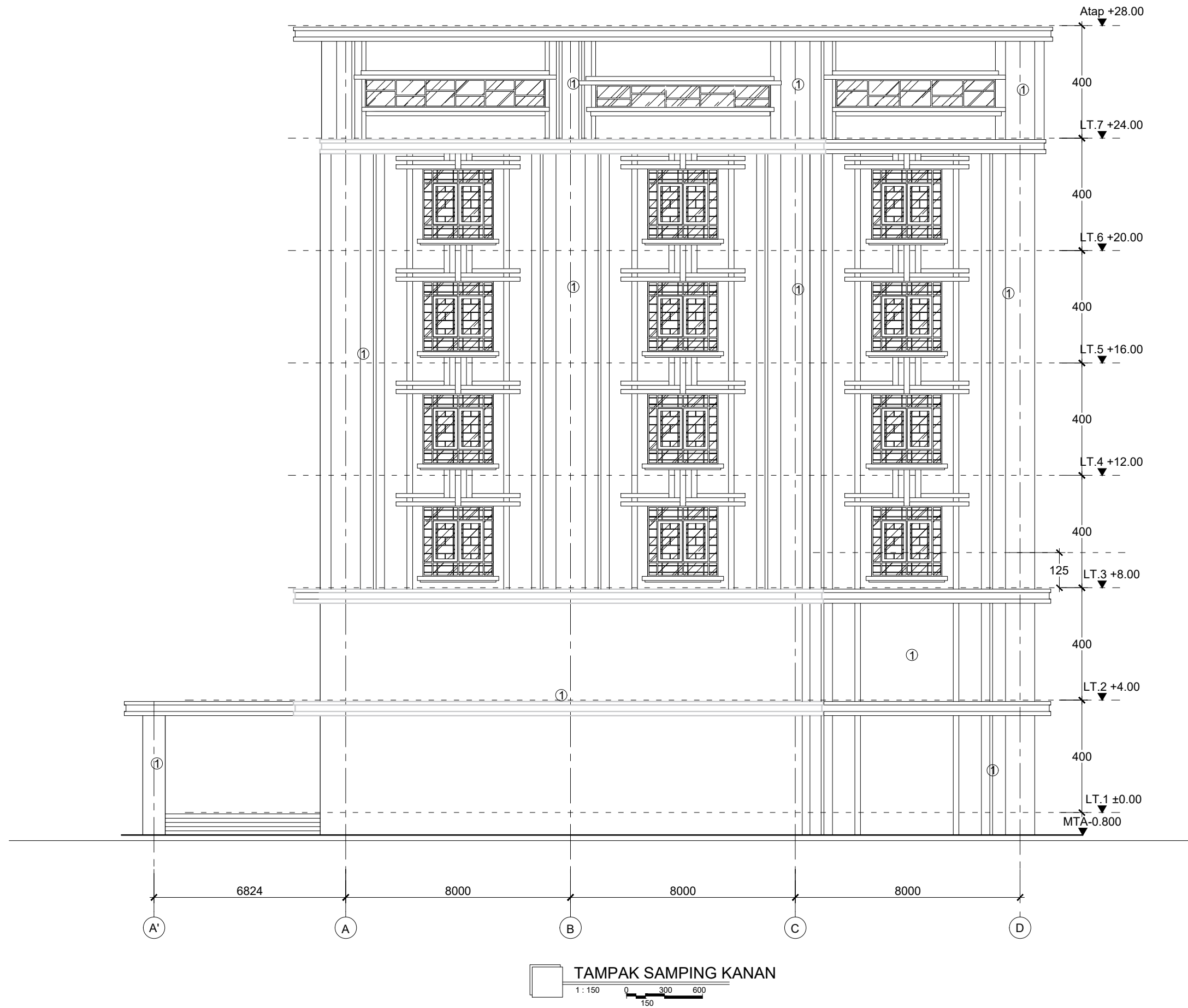
NAMA MAHASISWA

ARMAND RIZALDY
1011160000046

TAUFAN FAIRUS MAJID
1011160000080

NAMA	NO. LEMBAR	JUMLAH LEMBAR
------	------------	---------------

ARS - 04	4	48
----------	---	----





PROGRAM STUDI DIPLOMA III
DEPARTEMEN TEKNIK INFRASTRUKTUR SIPIL
FAKULTAS VOKASI
INSTITUT TEKNOLOGI SEPULUH NOPEMBER
SURABAYA
2020

TUGAS AKHIR

JUDI

JUDUL

IN STRUKTUR BANGUNAN GEDUNG DPRD KOTA SURABAYA BERDASARKAN SISTEM RANGKA PEMIKUL MOMEN KHUSUS (SRPMK) DAN METODE DELAGANIAN PLAT PLAT LANTAI DAN ATAP

NAMA PEKERJAAN

PEMBANGUNAN GEDUNG DPRD KOTA SURABAYA

LOKASI PEKERJAAN

alan Yos Sudarso No 18-22, Embong
Kaliasin, Surabaya, Jawa Timur

GAMBAR	SKALA
--------	-------

Potongan A-A 1 : 150

KFTFRANGAN

Panjang Melintang (lx) = 26 m
 Panjang Menanjang (ly) = 30.824 m
 Tinggi Bangunan = 28 m
 Tinggi Per-Lantai = 4 m
 $E = 35 \text{ Mpa}$

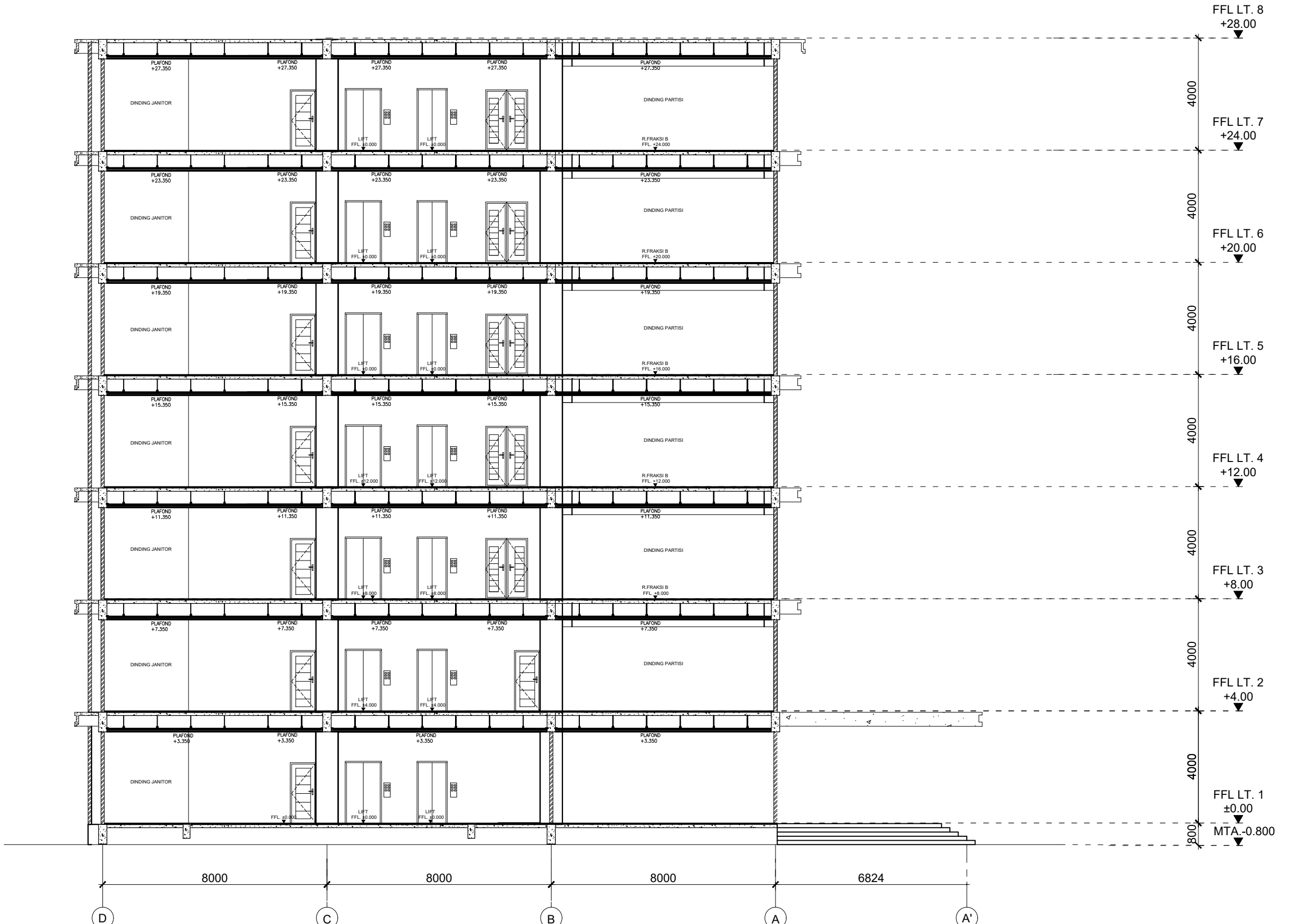
DOSSEN PFMBIMBING

Dr. Ir. Dicky Imam Wahyudi, M.S.
NIP: 195902091986031002

NAMA MAHASISWA

ARMAND RIZALDY
13111000000042

TAUFAN FAIRUS MAJID
10111600000080



POTONGAN A-A
1 : 150 0 300 600



PROGRAM STUDI DIPLOMA III
DEPARTEMEN TEKNIK INFRASTRUKTUR SIPIL
FAKULTAS VOKASI
INSTITUT TEKNOLOGI SEPULUH NOPEMBER
SURABAYA
2020

TUGAS AKHIR

JUDUL

DESAIN STRUKTUR BANGUNAN GEDUNG DPRD KOTA SURABAYA BERDASARKAN
SISTEM RANGKA PENULUH MOMEN KHUSUS (SRPMK) DAN METODE
PELAKUAN PLAT-PLAT LANTAI DAN ATAP

NAMA PEKERJAAN

PEMBANGUNAN GEDUNG DPRD KOTA SURABAYA

LOKASI PEKERJAAN

Jalan Yos Sudarso No 18-22, Embong
Kaliasin, Surabaya, Jawa Timur

GAMBAR	SKALA
Potongan B-B	1 : 150

KETERANGAN

Panjang Melintang (l_x) = 26 m
Panjang Menanjang (l_y) = 30.824 m
Tinggi Bangunan = 28 m
Tinggi Per-Lantai = 4 m
 $F_c' = 35 \text{ Mpa}$

DOSEN PEMBIMBING

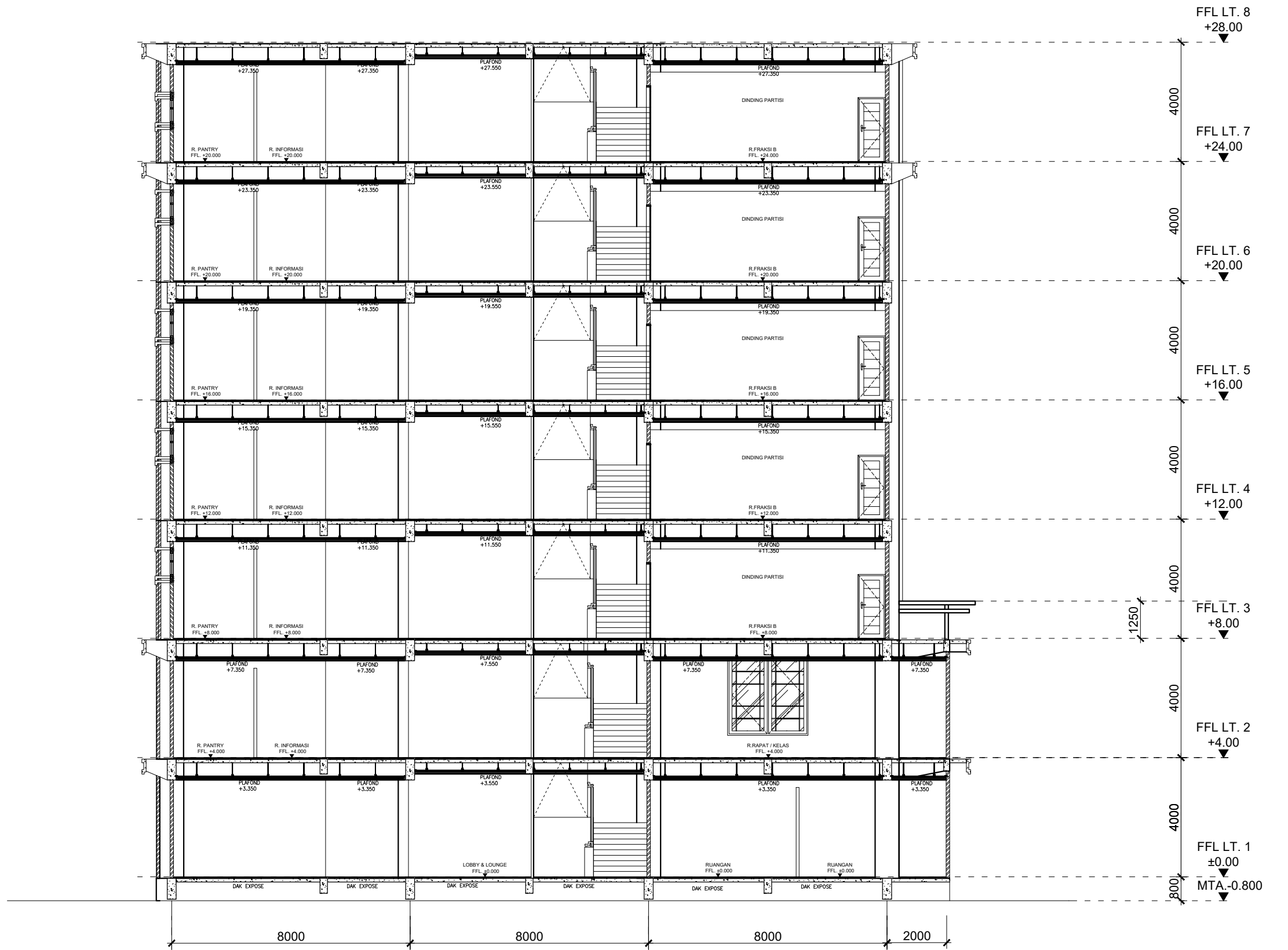
Dr. Ir. Dicky Imam Wahyudi, M.S.
NIP: 195902091986031002

NAMA MAHASISWA

ARMAND RIZALDY
1011160000046

TAUFAN FAIRUS MAJID
1011160000080

NAMA	NO. LEMBAR	JUMLAH LEMBAR
STR - 02	6	48



POTONGAN B-B

1 : 175 0 300 600 150



PROGRAM STUDI DIPLOMA III
DEPARTEMEN TEKNIK INFRASTRUKTUR SIPIL
FAKULTAS VOKASI
INSTITUT TEKNOLOGI SEPULUH NOPEMBER
SURABAYA
2020

TUGAS AKHIR

JUDUL

STRUKTUR BANGUNAN GEDUNG DPRD KOTA SURABAYA BERDASARKAN SISTEM RANGKA PEMIKUL MOMEN KHUSUS (SRPMK) DAN METODE PELAKSANAAN PLAT-PLAT LANTAI DAN ATAP

NAMA PEKERJAAN

PEMBANGUNAN GEDUNG DPRD KOTA SURABAYA

LOKASI PEKERJAAN

Ian Yos Sudarso No 18-22, Embong
Kaliasin Surabaya Jawa Timur

GAMBAR	SKALA
Denah Lt. 1	1 : 150

KETERANGAN

jang Melintang (lx) = 26 m
 jang Menanjang (ly) = 30.824 m
 σ = 35 Mpa
 OLOM 1 (K_1) = 70×70 cm

DOSEN PEMBIMBING

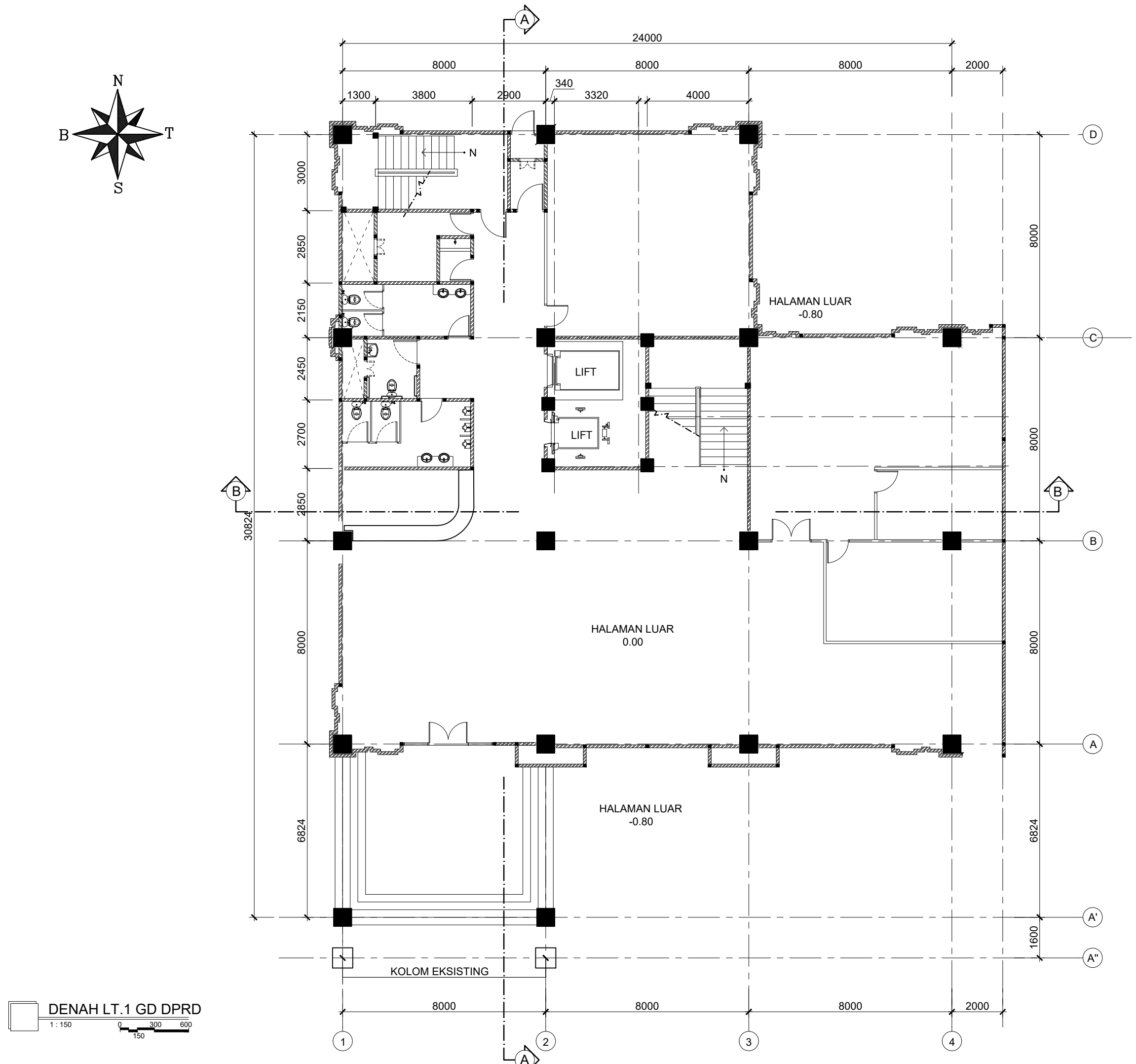
Dr. Ir. Dicky Imam Wahyudi, M.S.
NIP: 195902091986031002

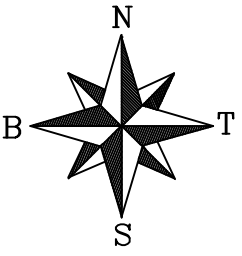
NAMA MAHASISWA

ARMAND RIZALDY
13111000000042

TAUFAN FAIRUS MAJID
10111600000080

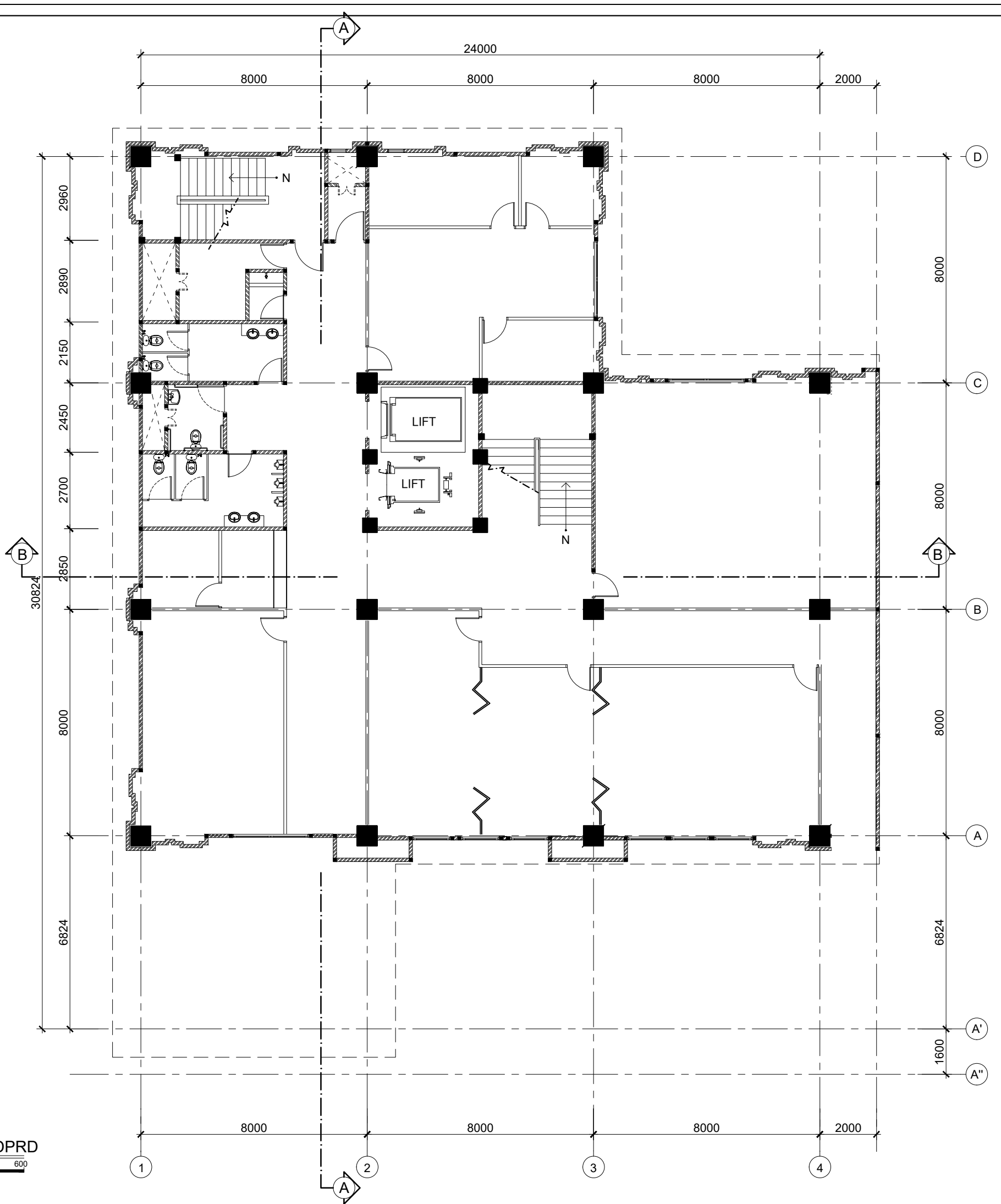
NAMA	NO. LEMBAR	JUMLAH LEMBAR
STR - 03	7	48





DENAH LT.2 GD DPRD

1 : 150 0 300 600



PROGRAM STUDI DIPLOMA III
DEPARTEMEN TEKNIK INFRASTRUKTUR SIPIL
FAKULTAS VOKASI
INSTITUT TEKNOLOGI SEPULUH NOPEMBER
SURABAYA
2020

TUGAS AKHIR

JUDUL

DESAIN STRUKTUR BANGUNAN GEDUNG DPRD KOTA SURABAYA BERDASARKAN
SISTEM RANGKA PENULU MOMEN KHUSUS (SRPMK) DAN METODE
PELAKSANAAN PLAT-PLAT LANTAI DAN ATAP

NAMA PEKERJAAN

PEMBANGUNAN GEDUNG DPRD KOTA SURABAYA

LOKASI PEKERJAAN

Jalan Yos Sudarso No 18-22, Embong Kaliasin, Surabaya, Jawa Timur

GAMBAR	SKALA
Denah Lt. 2	1 : 150

KETERANGAN

Panjang Melintang (l_x) = 26 m
Panjang Menanjang (l_y) = 30.824 m
 $F_c' = 35 \text{ Mpa}$
KOLOM 1 (K1) = $70 \times 70 \text{ cm}$

DOSEN PEMBIMBING

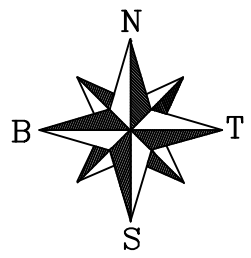
Dr. Ir. Dicky Imam Wahyudi, M.S.
NIP: 195902091986031002

NAMA MAHASISWA

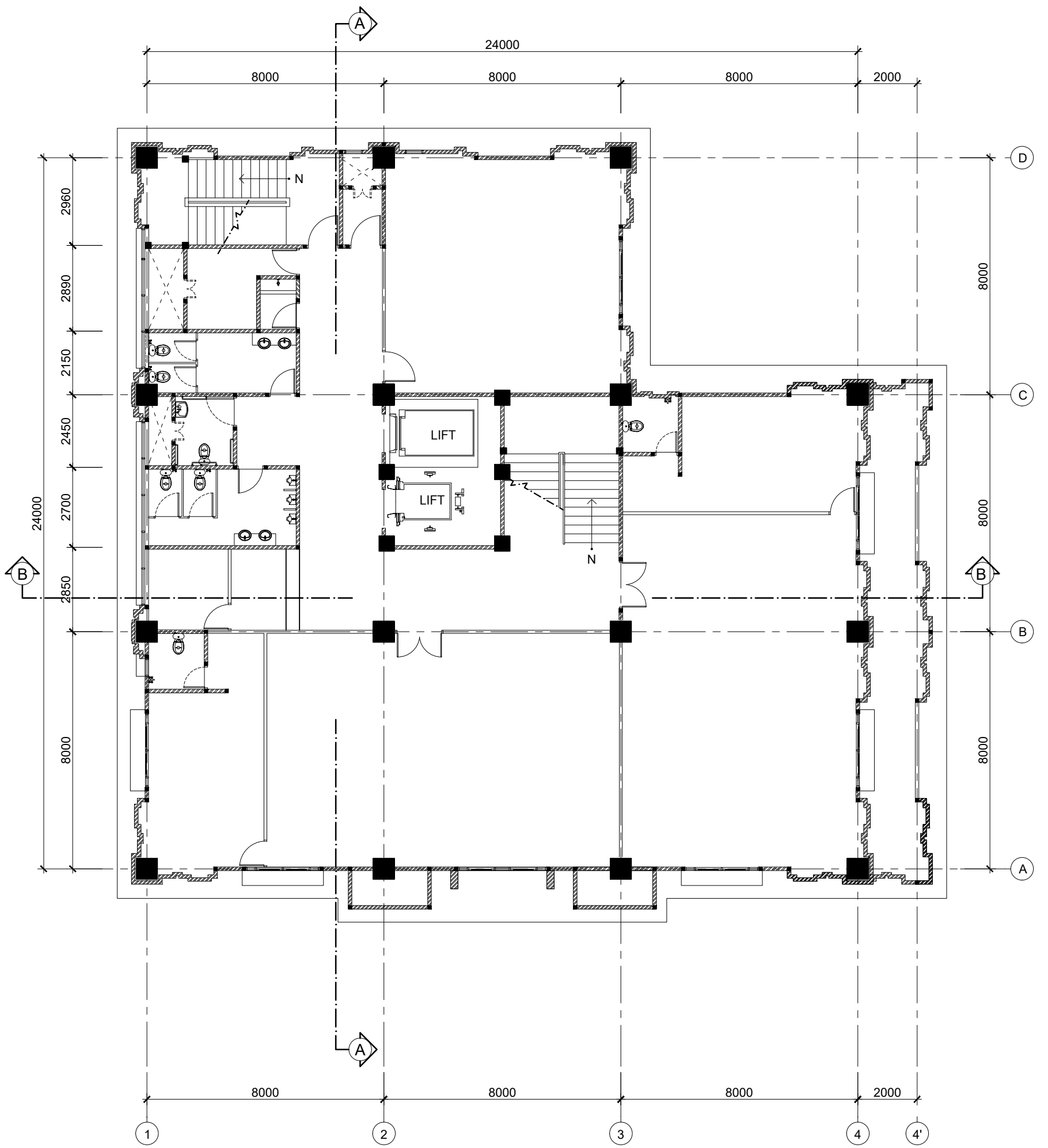
ARMAND RIZALDY
1011160000046

TAUFAN FAIRUS MAJID
1011160000080

NAMA	NO. LEMBAR	JUMLAH LEMBAR
------	------------	---------------



DENAH LT.3 GD DPRD
1 : 150 0 300 600 150



PROGRAM STUDI DIPLOMA III
DEPARTEMEN TEKNIK INFRASTRUKTUR SIPIL
FAKULTAS VOKASI
INSTITUT TEKNOLOGI SEPULUH NOPEMBER
SURABAYA
2020

TUGAS AKHIR

JUDUL

DESAIN STRUKTUR BANGUNAN GEDUNG DPRD KOTA SURABAYA BERDASARKAN
SISTEM RANGKA PENULU MOMEN KHUSUS (SRPMK) DAN METODE
PELAKSANAAN PLAT-PLAT LANTAI DAN ATAP

NAMA PEKERJAAN

PEMBANGUNAN GEDUNG DPRD KOTA SURABAYA

LOKASI PEKERJAAN

Jalan Yos Sudarso No 18-22, Embong Kaliasin, Surabaya, Jawa Timur

GAMBAR SKALA

Denah Lt. 3	1 : 150
-------------	---------

KETERANGAN

Panjang Melintang (l_x) = 26 m
Panjang Menanjang (l_y) = 30.824 m
 $F_c' = 35 \text{ Mpa}$
KOLOM 1 (K1) = $70 \times 70 \text{ cm}$

DOSEN PEMBIMBING

Dr. Ir. Dicky Imam Wahyudi, M.S.
NIP: 195902091986031002

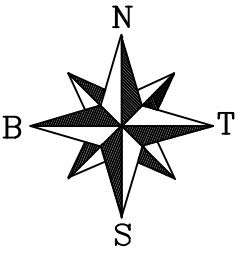
NAMA MAHASISWA

ARMAND RIZALDY
1011160000046

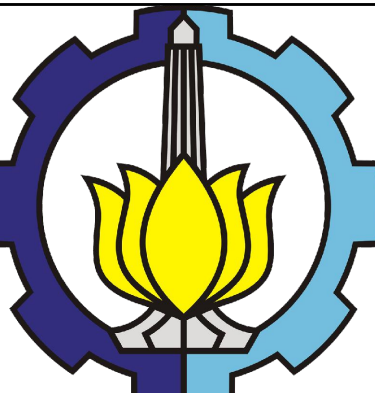
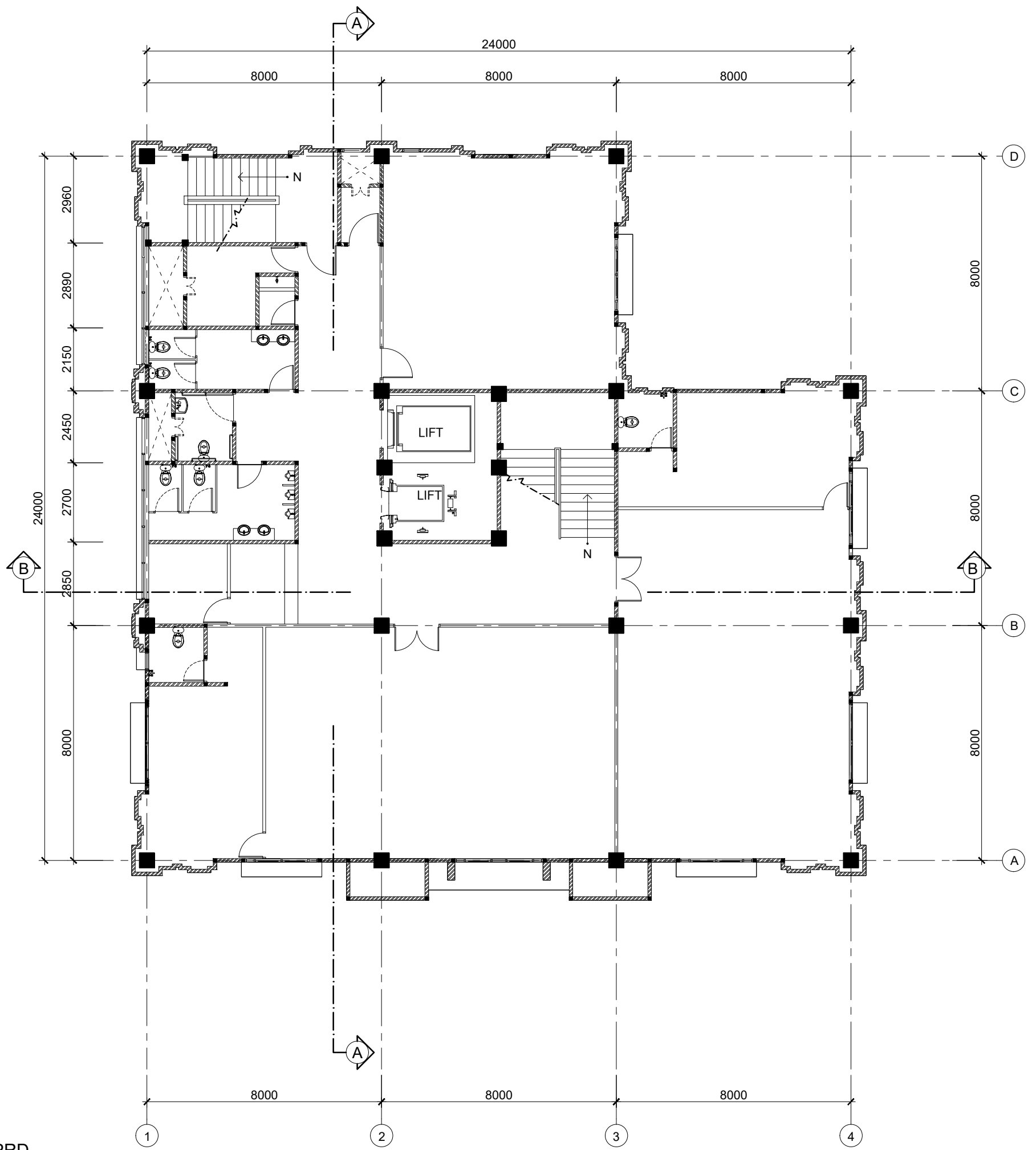
TAUFAN FAIRUS MAJID
1011160000080

NAMA	NO. LEMBAR	JUMLAH LEMBAR
------	------------	---------------

STR - 05	9	48
----------	---	----



DENAH LT.4 GD DPRD
1 : 150 0 300 600 150



PROGRAM STUDI DIPLOMA III
DEPARTEMEN TEKNIK INFRASTRUKTUR SIPIL
FAKULTAS VOKASI
INSTITUT TEKNOLOGI SEPULUH NOPEMBER
SURABAYA
2020

TUGAS AKHIR

JUDUL

DESAIN STRUKTUR BANGUNAN GEDUNG DPRD KOTA SURABAYA BERDASARKAN
SISTEM RANGKA PENULU MOMEN KHUSUS (SRPMK) DAN METODE
PELAKSANAAN PLAT-PLAT LANTAI DAN ATAP

NAMA PEKERJAAN

PEMBANGUNAN GEDUNG DPRD KOTA SURABAYA

LOKASI PEKERJAAN

Jalan Yos Sudarso No 18-22, Embong Kaliasin, Surabaya, Jawa Timur

GAMBAR SKALA

Denah Lt. 4	1 : 150
-------------	---------

KETERANGAN

Panjang Melintang (l_x) = 26 m
Panjang Menanjang (l_y) = 30.824 m
 $F_c' = 35 \text{ Mpa}$
 $KOLOM 1 (K1) = 70 \times 70 \text{ cm}$

DOSEN PEMBIMBING

Dr. Ir. Dicky Imam Wahyudi, M.S.
NIP: 195902091986031002

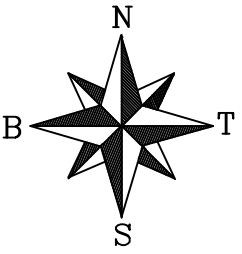
NAMA MAHASISWA

ARMAND RIZALDY
1011160000046

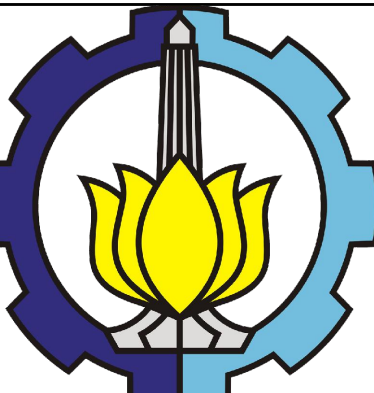
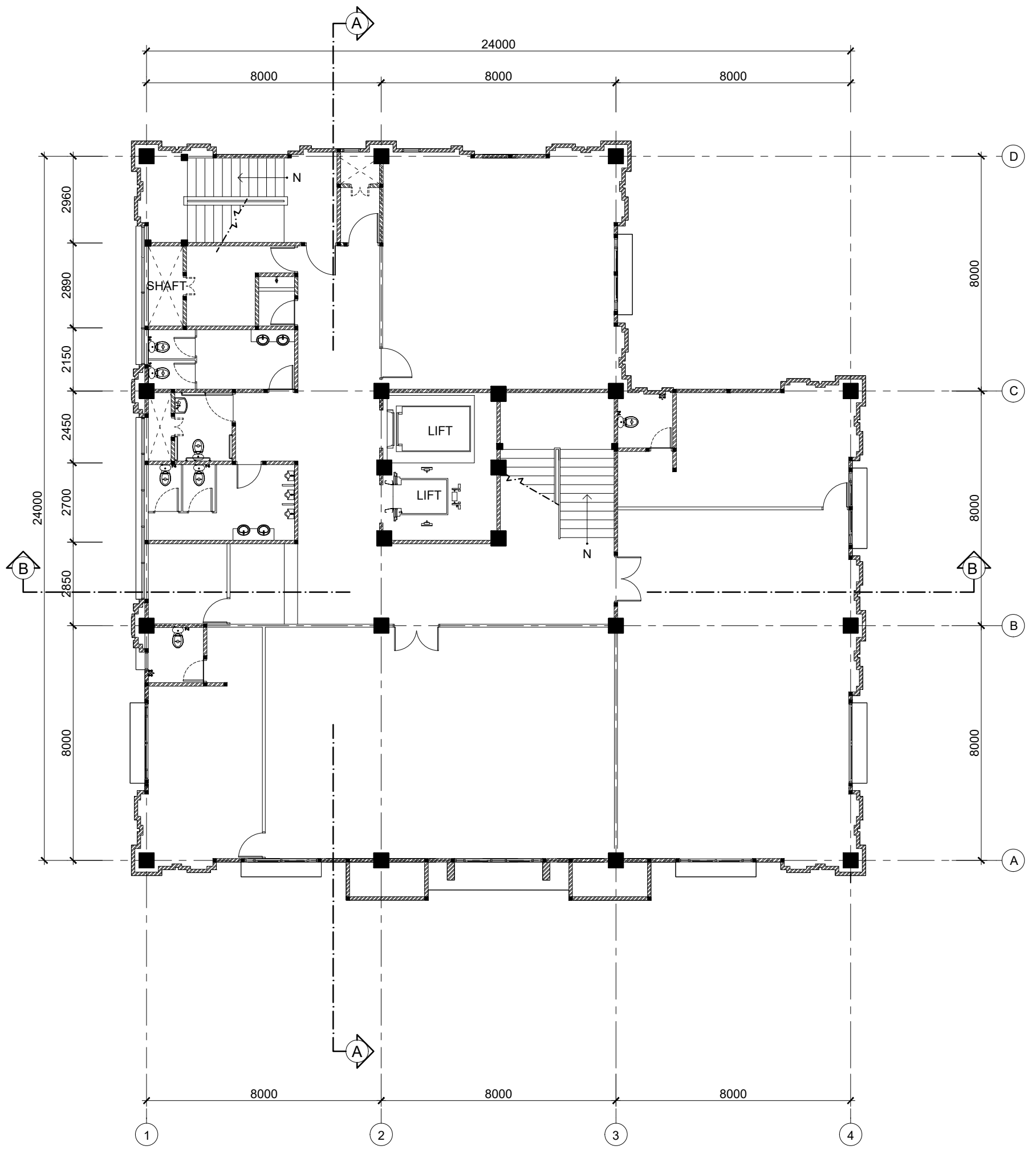
TAUFAN FAIRUS MAJID
1011160000080

NAMA	NO. LEMBAR	JUMLAH LEMBAR
------	------------	---------------

STR - 06	10	48
----------	----	----



DENAH LT.5 GD DPRD
1 : 150 0 300 600



PROGRAM STUDI DIPLOMA III
DEPARTEMEN TEKNIK INFRASTRUKTUR SIPIL
FAKULTAS VOKASI
INSTITUT TEKNOLOGI SEPULUH NOPEMBER
SURABAYA
2020

TUGAS AKHIR

JUDUL

DESAIN STRUKTUR BANGUNAN GEDUNG DPRD KOTA SURABAYA BERDASARKAN
SISTEM RANGKA PENULUH MOMEN KHUSUS (SRPMK) DAN METODE
PELAKSANAAN PLAT-PLAT LANTAI DAN ATAP

NAMA PEKERJAAN

PEMBANGUNAN GEDUNG DPRD KOTA SURABAYA

LOKASI PEKERJAAN

Jalan Yos Sudarso No 18-22, Embong Kaliasin, Surabaya, Jawa Timur

GAMBAR

Denah Lt. 5

SKALA

1 : 150

KETERANGAN

Panjang Melintang (l_x) = 26 m
Panjang Menanjang (l_y) = 30.824 m
 $F_c' = 35 \text{ Mpa}$
 $KOLOM 2 (K2) = 50 \times 50 \text{ cm}$

DOSEN PEMBIMBING

Dr. Ir. Dicky Imam Wahyudi, M.S.
NIP: 195902091986031002

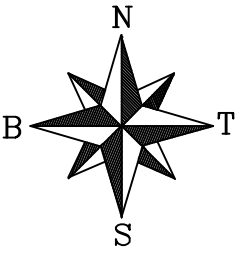
NAMA MAHASISWA

ARMAND RIZALDY
1011160000046

TAUFAN FAIRUS MAJID
1011160000080

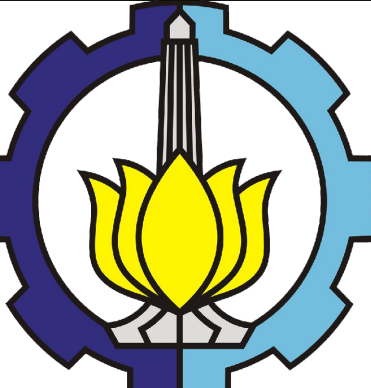
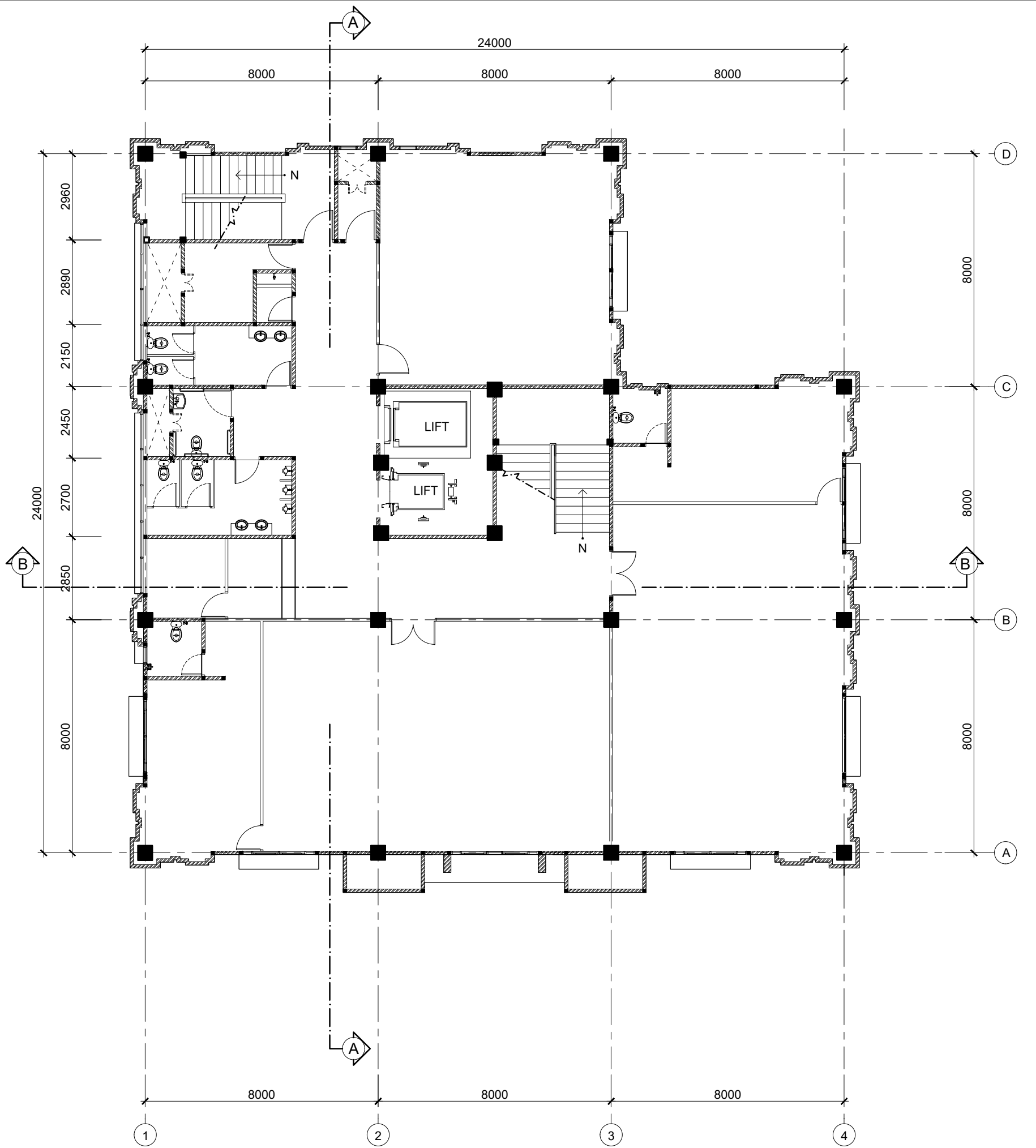
NAMA	NO. LEMBAR	JUMLAH LEMBAR
------	------------	---------------

STR - 07	11	48
----------	----	----



DENAH LT.6 GD DPRD

1 : 150 0 300 600



PROGRAM STUDI DIPLOMA III
DEPARTEMEN TEKNIK INFRASTRUKTUR SIPIL
FAKULTAS VOKASI
INSTITUT TEKNOLOGI SEPULUH NOPEMBER
SURABAYA
2020

TUGAS AKHIR

JUDUL

DESAIN STRUKTUR BANGUNAN GEDUNG DPRD KOTA SURABAYA BERDASARKAN
SISTEM RANGKA PENULUH MOMEN KHUSUS (SRPMK) DAN METODE
PELAKUAN PLAT-PLAT LANTAI DAN ATAP

NAMA PEKERJAAN

PEMBANGUNAN GEDUNG DPRD KOTA SURABAYA

LOKASI PEKERJAAN

Jalan Yos Sudarso No 18-22, Embong Kaliasin, Surabaya, Jawa Timur

GAMBAR SKALA

Denah Lt. 6	1 : 150
-------------	---------

KETERANGAN

Panjang Melintang (l_x) = 26 m
Panjang Menanjang (l_y) = 30.824 m
 $F_c' = 35 \text{ Mpa}$
 $KOLOM 2 (K2) = 50 \times 50 \text{ cm}$

DOSEN PEMBIMBING

Dr. Ir. Dicky Imam Wahyudi, M.S.
NIP: 195902091986031002

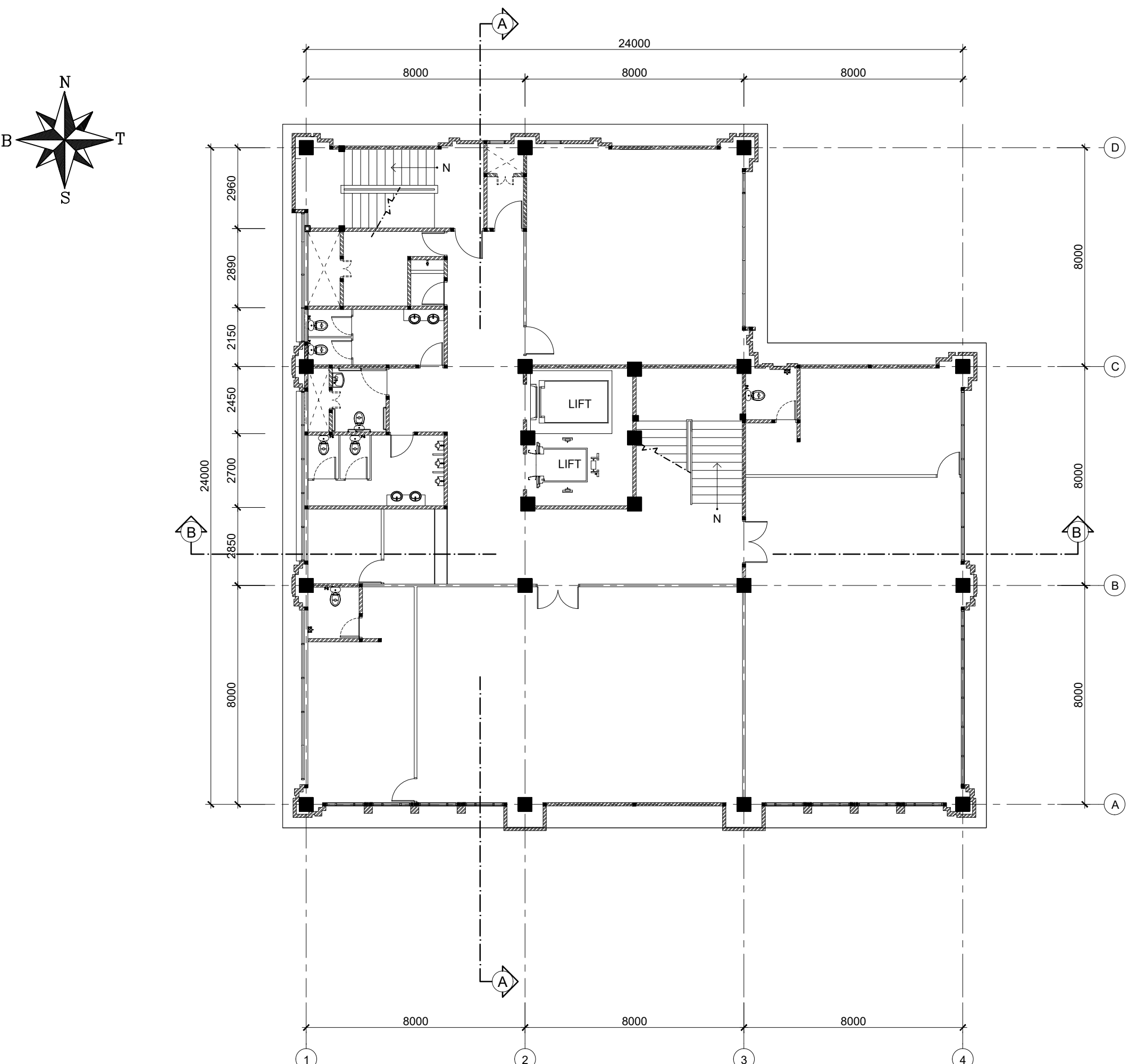
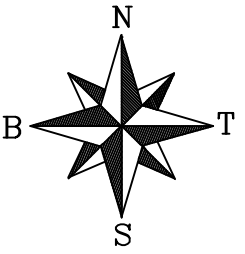
NAMA MAHASISWA

ARMAND RIZALDY
1011160000046

TAUFAN FAIRUS MAJID
1011160000080

NAMA	NO. LEMBAR	JUMLAH LEMBAR
------	------------	---------------

STR - 08	12	48
----------	----	----



PROGRAM STUDI DIPLOMA III
DEPARTEMEN TEKNIK INFRASTRUKTUR SIPIL
FAKULTAS VOKASI
INSTITUT TEKNOLOGI SEPULUH NOPEMBER
SURABAYA
2020

TUGAS AKHIR

JUDUL

DESAIN STRUKTUR BANGUNAN GEDUNG DPRD KOTA SURABAYA BERDASARKAN
SISTEM RANGKA PENULUH MOMEN KHUSUS (SRPMK) DAN METODE
PELAKSANAAN PLAT-PLAT LANTAI DAN ATAP

NAMA PEKERJAAN

PEMBANGUNAN GEDUNG DPRD KOTA SURABAYA

LOKASI PEKERJAAN

Jalan Yos Sudarso No 18-22, Embong Kaliasin, Surabaya, Jawa Timur

GAMBAR SKALA

Denah Lt. 7	1 : 150
-------------	---------

KETERANGAN

Panjang Melintang (l_x) = 26 m
Panjang Menanjang (l_y) = 30.824 m
 $F_c' = 35 \text{ Mpa}$
KOLOM 2 (K2) = $50 \times 50 \text{ cm}$

DOSEN PEMBIMBING

Dr. Ir. Dicky Imam Wahyudi, M.S.
NIP: 195902091986031002

NAMA MAHASISWA

ARMAND RIZALDY
1011160000046

TAUFAN FAIRUS MAJID
1011160000080

NAMA	NO. LEMBAR	JUMLAH LEMBAR
------	------------	---------------

STR - 09	13	48
----------	----	----



PROGRAM STUDI DIPLOMA III
DEPARTEMEN TEKNIK INFRASTRUKTUR SIPIL
FAKULTAS VOKASI
INSTITUT TEKNOLOGI SEPULUH NOPEMBER
SURABAYA
2020

TUGAS AKHIR

**UDUL
AN GEDUNG DPRD KOTA SURABAYA
KA PEMIKUL MOMEN KHUSUS (SRPM)
AN PLAT-PLAT LANTAI DAN ATAP**

AN GEDUNG DPRD KOTA SURABAYA

LOKASI PEKERJAAN

Sudarso No 18-22, Embong
in, Surabaya, Jawa Timur

BARBERSHOP

KETERANGAN

• **Lebar plat** = 14 cm
 • **Lebar injakan (i)** = 30 cm
 • **Tinggi tanjakan (t)** = 18,2 cm
 • **Tinggi tangga** = 4 m = 400 cm
 • **Tinggi Bordes** = 2 m = 200cm
 • **Panjang datar tangga** = 316,5 cm

DOSEN PEMBIMBING

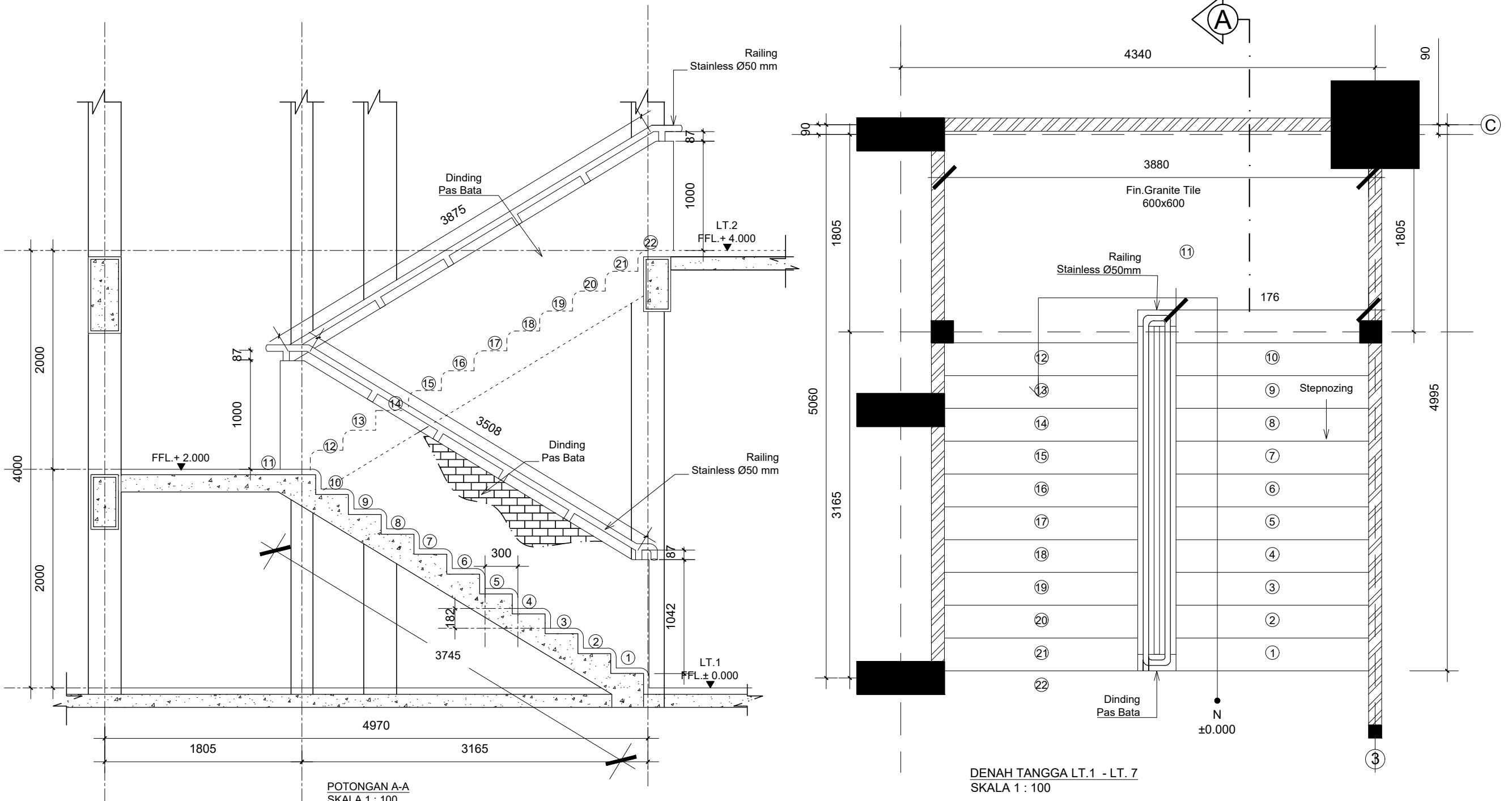
R. Ir. Dicky Imam Wahyudi, M.S.
NIP: 195902091986031002

NAMA MAHASISWA

ARMAND RIZALDY
10111600000046

TAUFAN FAIRUS MAJID
10111600000080

ENAH TANGGA LT.1 - LT. 7
KAL A 1 : 100



NAMA	NO. LEMBAR	JUMLAH LEMBAR
OTA - 01	14	48



PROGRAM STUDI DIPLOMA III
DEPARTEMEN TEKNIK INFRASTRUKTUR SIPIL
FAKULTAS VOKASI
INSTITUT TEKNOLOGI SEPULUH NOPEMBER
SURABAYA
2020

TUGAS AKHIR

JUDUL

DESAIN STRUKTUR BANGUNAN GEDUNG DPRD KOTA SURABAYA
BERDASARKAN SISTEM RANGKA PEMIKUL MOMEN KHUSUS (SRPMK)
DAN METODE PELAKSANAAN PLAT-PLAT LANTAI DAN ATAP

NAMA PEKERJAAN

PEMBANGUNAN GEDUNG DPRD KOTA SURABAYA

LOKASI PEKERJAAN

Jalan Yos Sudarso No 18-22, Embong
Kalasin, Surabaya, Jawa Timur

GAMBAR

Pot. Tangga B-B

SKALA

1 : 100

KETERANGAN

Tebal plat = 14 cm
Lebar injakan (i) = 30 cm
Tinggi tanjakan (t) = 18,2 cm
Tinggi tangga = 4 m = 400 cm
Tinggi Bordes = 2 m = 200cm
Panjang datar tangga = 316,5 cm

DOSEN PEMBIMBING

Dr. Ir. Dicky Imam Wahyudi, M.S.
NIP: 195902091986031002

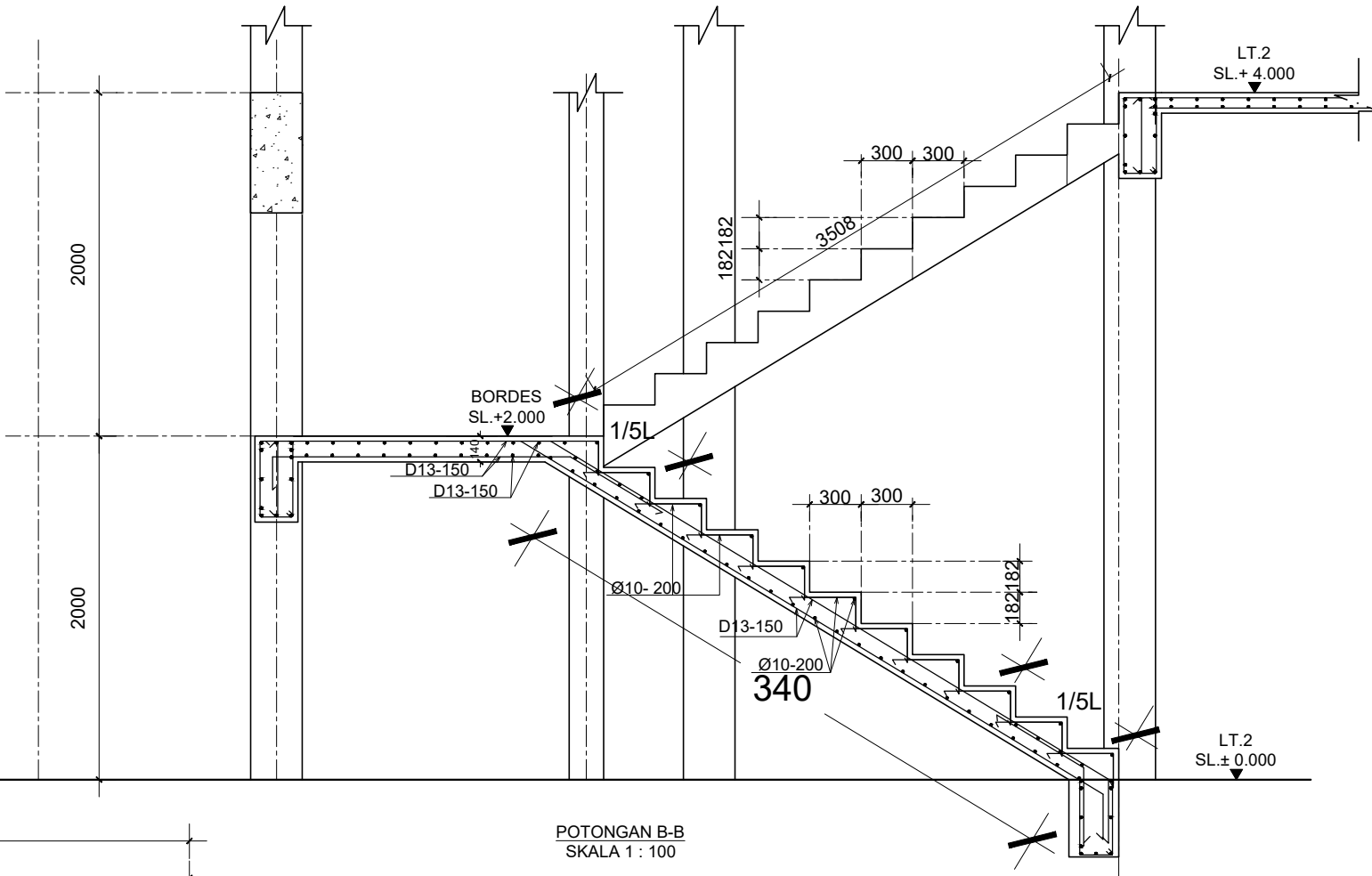
NAMA MAHASISWA

ARMAND RIZALDY
10111600000046

TAUFAN FAIRUS MAJID
10111600000080

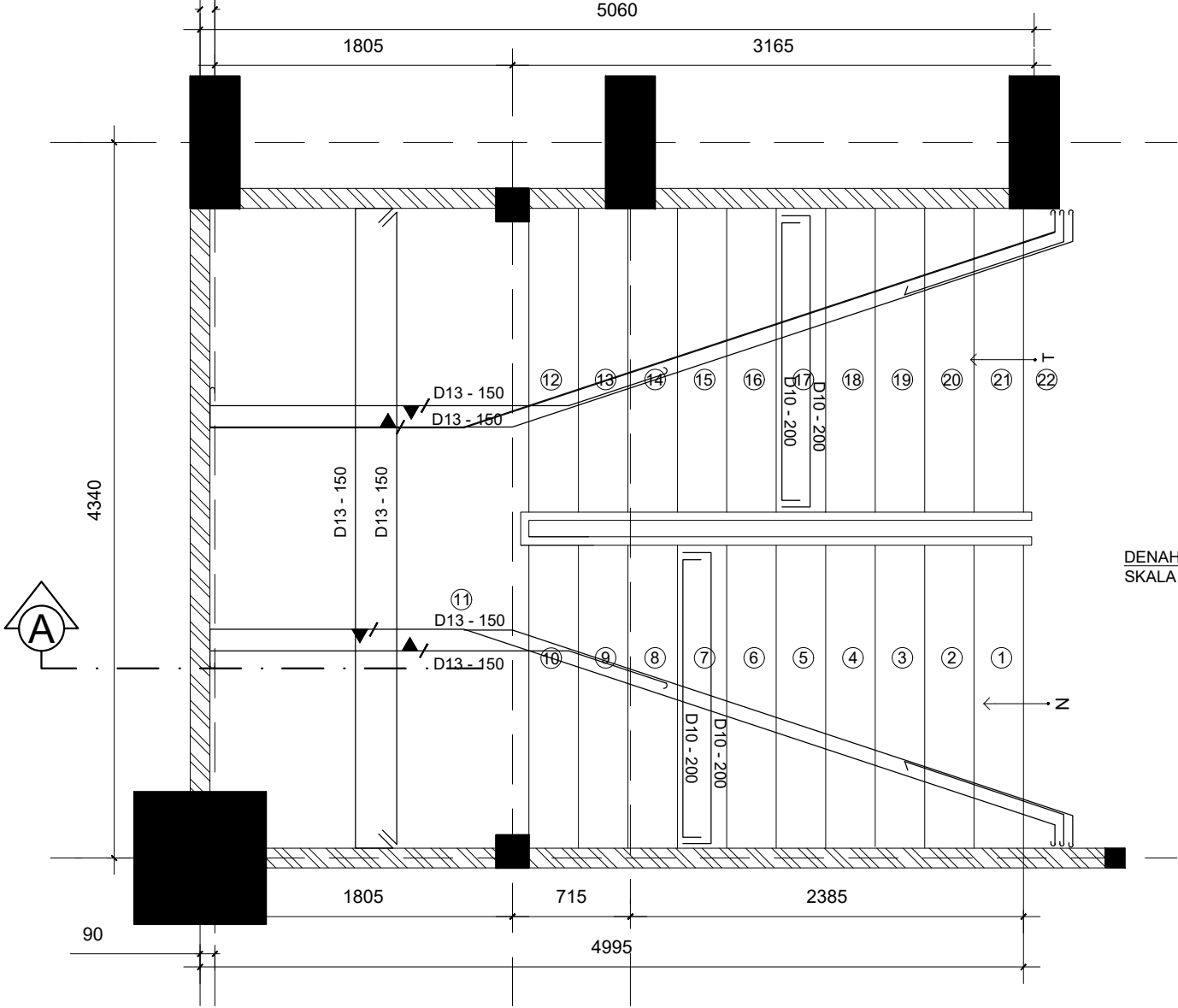
NAMA	NO. LEMBAR	JUMLAH LEMBAR
------	------------	---------------

DTA - 02	15	48
----------	----	----



POTONGAN B-B
SKALA 1 : 100

DENAH TANGGA LT.1 - LT. 7
SKALA 1 : 100





PROGRAM STUDI DIPLOMA III
DEPARTEMEN TEKNIK INFRASTRUKTUR SIPIL
FAKULTAS VOKASI
INSTITUT TEKNOLOGI SEPULUH NOPEMBER
SURABAYA
2020

TUGAS AKHIR

JUDUL

DESAIN STRUKTUR BANGUNAN GEDUNG DPRD KOTA SURABAYA BERDASARKAN
SISTEM RANGKA PENULUH MOMEN KHUSUS (SRPMK) DAN METODE
PELAKSANAAN PLAT-PLAT LANTAI DAN ATAP

NAMA PEKERJAAN

PEMBANGUNAN GEDUNG DPRD KOTA SURABAYA

LOKASI PEKERJAAN

Jalan Yos Sudarso No 18-22, Embong
Kaliasin, Surabaya, Jawa Timur

GAMBAR

DENAH PEMBALOKAN LT. 1

SKALA

1 : 150

KETERANGAN

KET	DIMENSI
B1	400 x 600
B2	300 x 400
B3	350 x 500
BK	150 x 250

DOSEN PEMBIMBING

Dr. Ir. Dicky Imam Wahyudi, M.S.
NIP: 195902091986031002

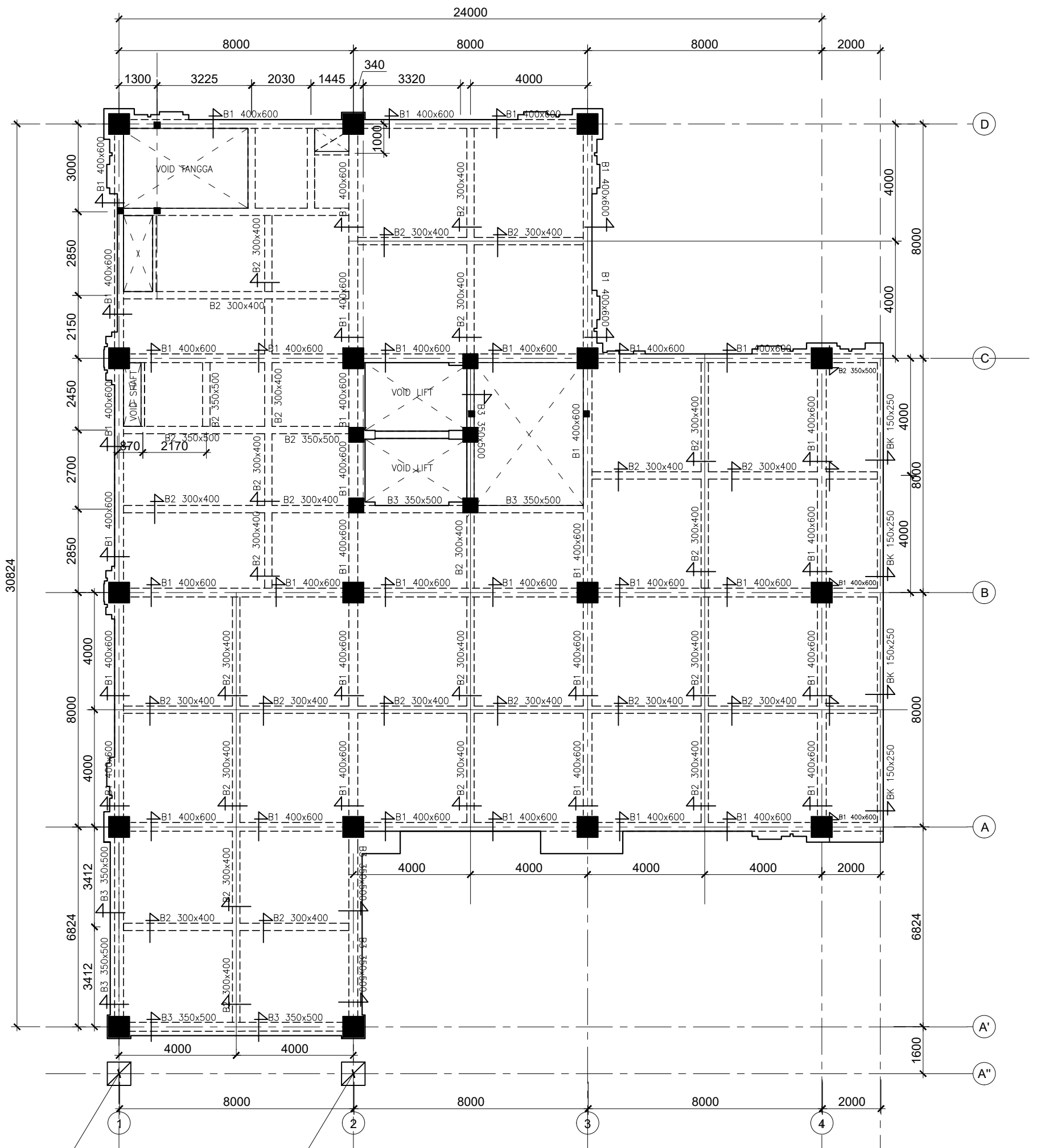
NAMA MAHASISWA

ARMAND RIZALDY
1011160000046

TAUFAN FAIRUS MAJID
1011160000080

NAMA	NO. LEMBAR	JUMLAH LEMBAR
------	------------	---------------

STR - 10 16 48



KOLOM EKSISTING



PROGRAM STUDI DIPLOMA III
DEPARTEMEN TEKNIK INFRASTRUKTUR SIPIL
FAKULTAS VOKASI
INSTITUT TEKNOLOGI SEPULUH NOPEMBER
SURABAYA
2020

TUGAS AKHIR

JUDUL

**AIN STRUKTUR BANGUNAN GEDUNG DPRD KOTA SURABAYA BERDASARKAN
SISTEM RANGKA PEMIKUL MOMEN KHUSUS (SRPMK) DAN METODE
PELAKSANAAN PLAT-PLAT LANTAI DAN ATAP**

NAMA PEKERJAAN

PEMBANGUNAN GEDUNG DPRD KOTA SURABAYA

LOKASI PEKERJAAN

Jalan Yos Sudarso No 18-22, Embong
Kaliasin, Surabaya, Jawa Timur

MBAR SKALA

PENAH PEMBALOKAN LT. 2 1 : 150

KETERANGAN

KET	DIMENSION
B1	400 x 600
B2	300 x 400
B3	350 x 500
BK	150 x 250

DOSEN PEMBIMBING

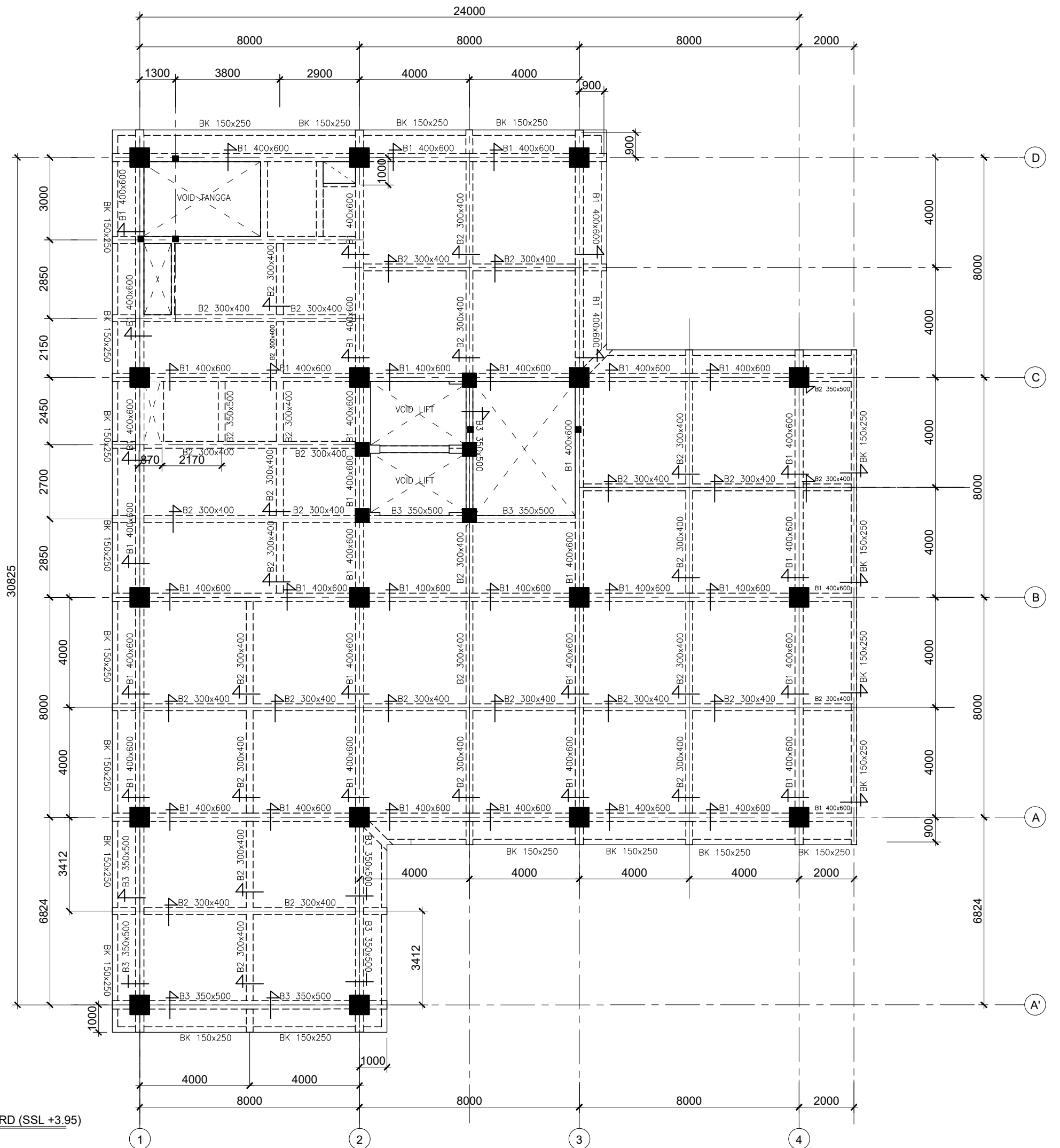
Dr. Ir. Dicky Imam Wahyudi, M.S.
NIP: 195902091986031002

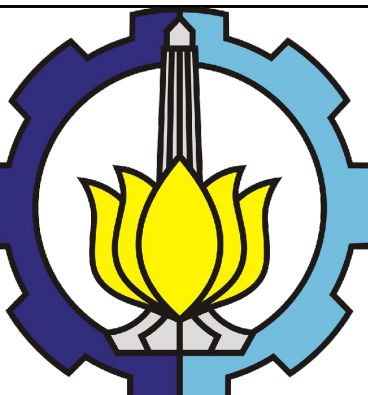
NAMA MAHASISWA

ARMAND RIZALDY
10111600000046

TAUFAN FAIRUS MAJID
10111600000080

NAMA	NO. LEMBAR	JUMLAH LEMBAR
R - 11	17	48





PROGRAM STUDI DIPLOMA III
DEPARTEMEN TEKNIK INFRASTRUKTUR SIPIL
FAKULTAS VOKASI
INSTITUT TEKNOLOGI SEPULUH NOPEMBER
SURABAYA
2020

TUGAS AKHIR

JUDUL

DESAIN STRUKTUR BANGUNAN GEDUNG DPRD KOTA SURABAYA BERDASARKAN
SISTEM RANGKA PENULUH MOMEN KHUSUS (SRPMK) DAN METODE
PELAKUAN PLAT-PLAT LANTAI DAN ATAP

NAMA PEKERJAAN

PEMBANGUNAN GEDUNG DPRD KOTA SURABAYA

LOKASI PEKERJAAN

Jalan Yos Sudarso No 18-22, Embong
Kaliasin, Surabaya, Jawa Timur

GAMBAR

DENAH PEMBALOKAN LT. 3

SKALA
1 : 150

KETERANGAN

KET	DIMENSI
B1	400 x 600
B2	300 x 400
B3	350 x 500
BK	150 x 250

DOSEN PEMBIMBING

Dr. Ir. Dicky Imam Wahyudi, M.S.
NIP: 195902091986031002

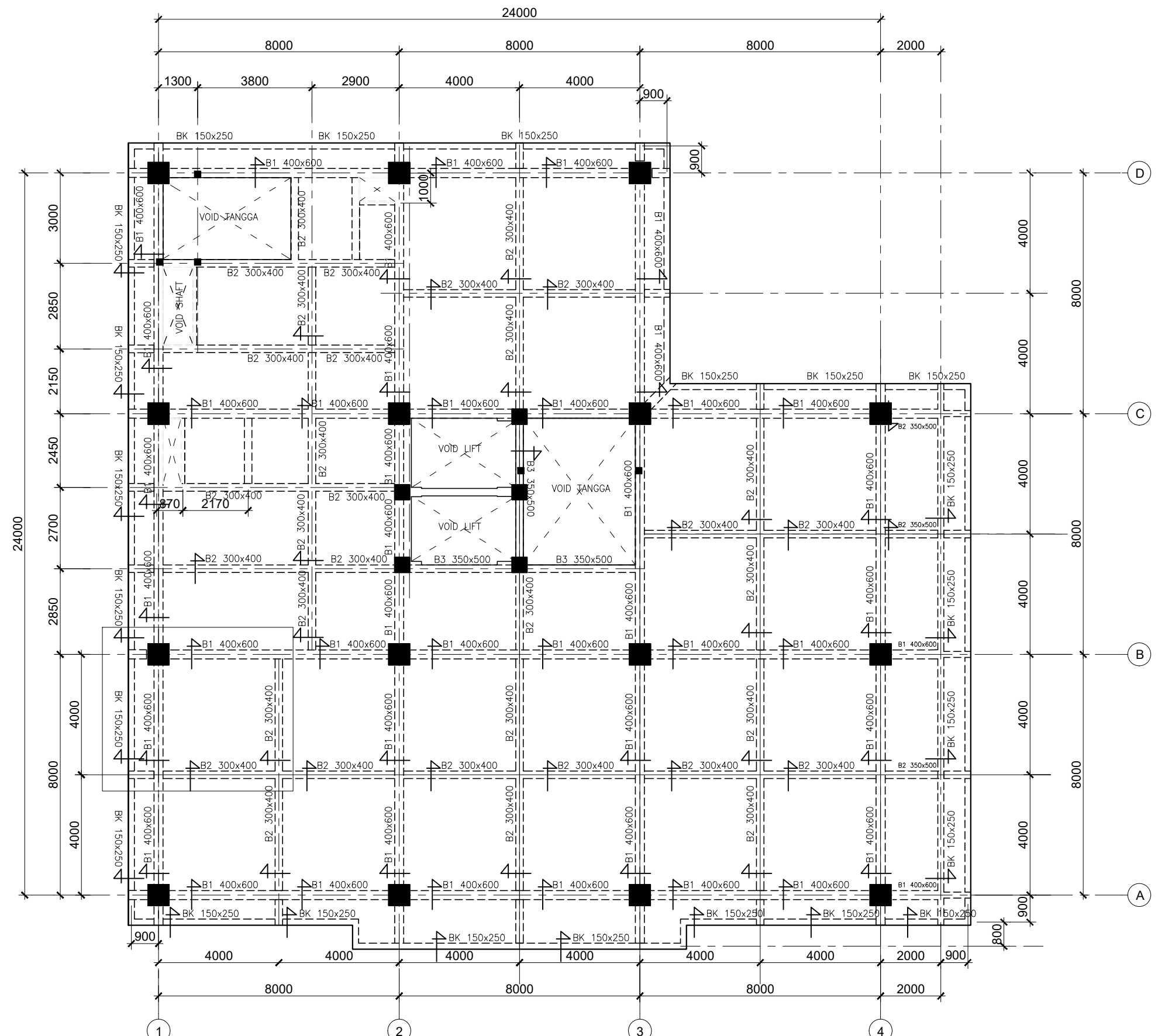
NAMA MAHASISWA

ARMAND RIZALDY
1011160000046

TAUFAN FAIRUS MAJID
1011160000080

NAMA	NO. LEMBAR	JUMLAH LEMBAR
------	------------	---------------

STR - 12 18 48





PROGRAM STUDI DIPLOMA III
DEPARTEMEN TEKNIK INFRASTRUKTUR SIPIL
FAKULTAS VOKASI
INSTITUT TEKNOLOGI SEPULUH NOPEMBER
SURABAYA
2020

TUGAS AKHIR

JUDUL

DESAIN STRUKTUR BANGUNAN GEDUNG DPRD KOTA SURABAYA BERDASARKAN
SISTEM RANGKA PENULUH MOMEN KHUSUS (SRPMK) DAN METODE
PELAKUAN PLAT-PLAT LANTAI DAN ATAP

NAMA PEKERJAAN

PEMBANGUNAN GEDUNG DPRD KOTA SURABAYA

LOKASI PEKERJAAN

Jalan Yos Sudarso No 18-22, Embong
Kaliasin, Surabaya, Jawa Timur

GAMBAR	SKALA
DENAH PEMBALOKAN LT. 4	1 : 150

KETERANGAN

KET	DIMENSI
B1	400 x 600
B2	300 x 400
B3	350 x 500
BK	150 x 250

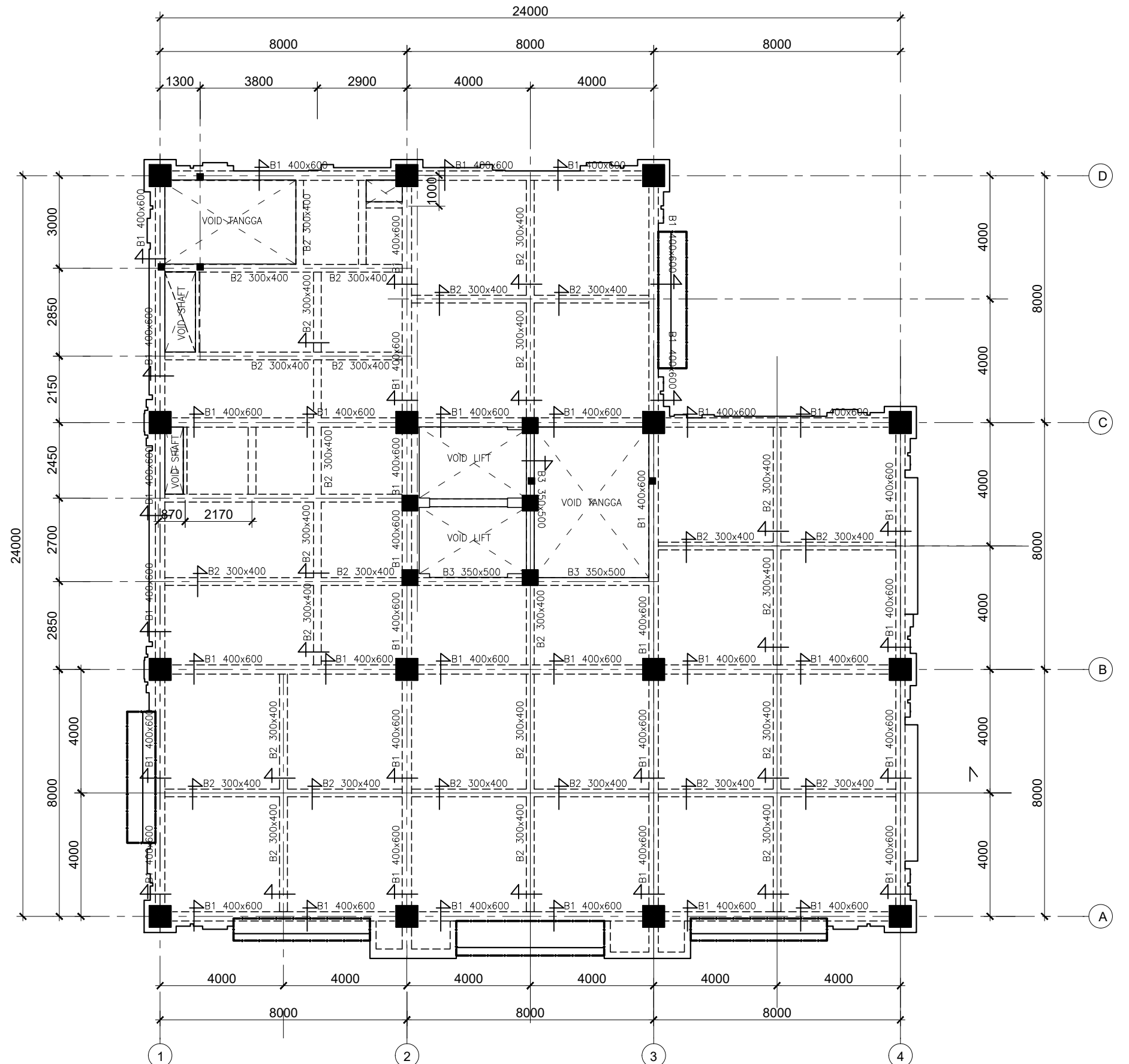
DOSEN PEMBIMBING

Dr. Ir. Dicky Imam Wahyudi, M.S.
NIP: 195902091986031002

NAMA MAHASISWA

ARMAND RIZALDY
1011160000046

TAUFAN FAIRUS MAJID
1011160000080





PROGRAM STUDI DIPLOMA III
DEPARTEMEN TEKNIK INFRASTRUKTUR SIPIL
FAKULTAS VOKASI
INSTITUT TEKNOLOGI SEPULUH NOPEMBER
SURABAYA
2020

TUGAS AKHIR

JUDUL

DESAIN STRUKTUR BANGUNAN GEDUNG DPRD KOTA SURABAYA BERDASARKAN
SISTEM RANGKA PENULU MOMEN KHUSUS (SRPMK) DAN METODE
PELAKUAN PLAT-PLAT LANTAI DAN ATAP

NAMA PEKERJAAN

PEMBANGUNAN GEDUNG DPRD KOTA SURABAYA

LOKASI PEKERJAAN

Jalan Yos Sudarso No 18-22, Embong
Kaliasin, Surabaya, Jawa Timur

GAMBAR

DENAH PEMBALOKAN LT. 5

SKALA

1 : 150

KETERANGAN

KET	DIMENSI
B1	400 x 600
B2	300 x 400
B3	350 x 500
BK	150 x 250

DOSEN PEMBIMBING

Dr. Ir. Dicky Imam Wahyudi, M.S.
NIP: 195902091986031002

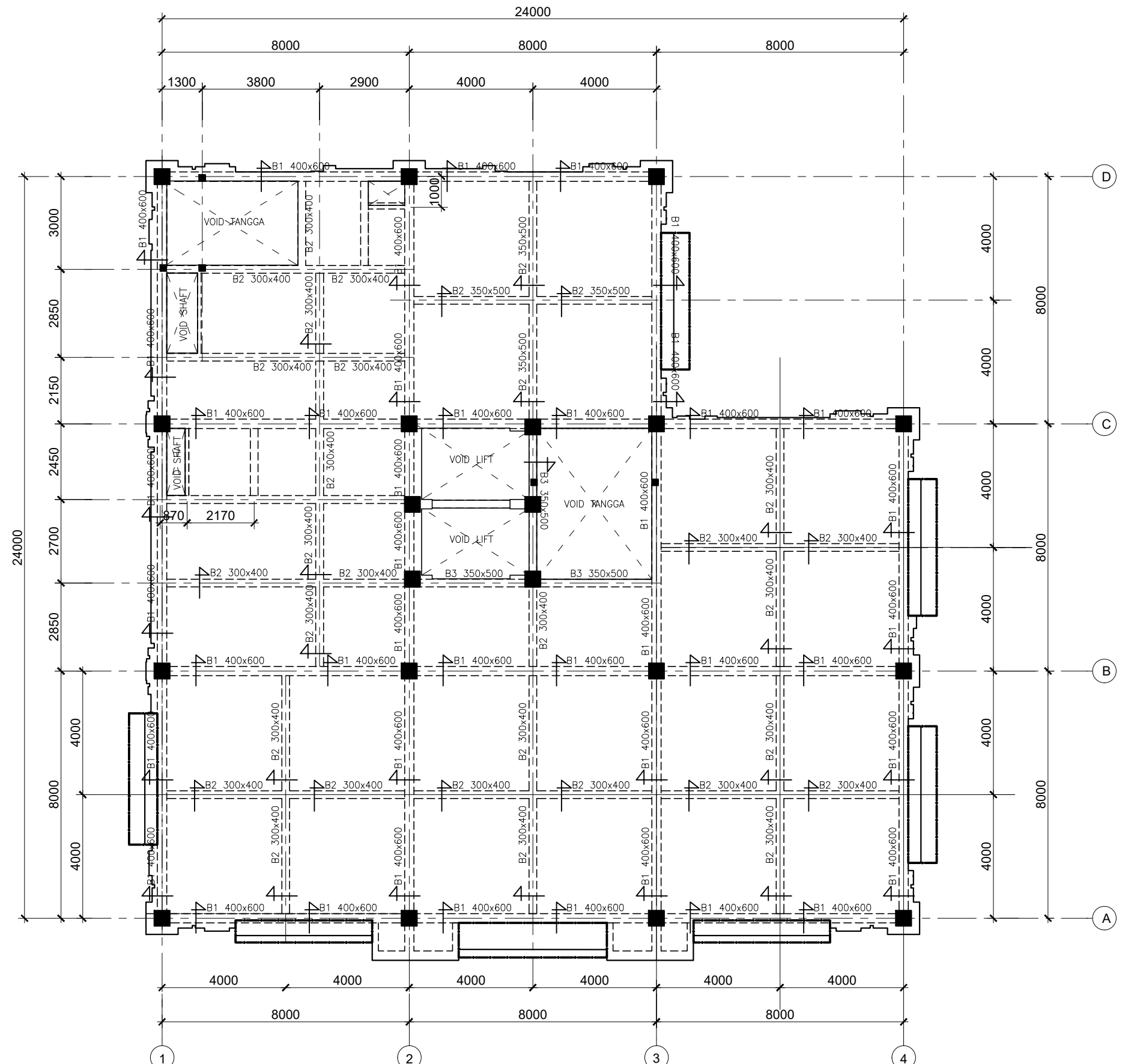
NAMA MAHASISWA

ARMAND RIZALDY
10111600000046

TAUFAN FAIRUS MAJID
10111600000080

NAMA	NO. LEMBAR	JUMLAH LEMBAR
------	------------	---------------

STR - 14 20 48





PROGRAM STUDI DIPLOMA III
DEPARTEMEN TEKNIK INFRASTRUKTUR SIPIL
FAKULTAS VOKASI
INSTITUT TEKNOLOGI SEPULUH NOPEMBER
SURABAYA
2020

TUGAS AKHIR

JUDUL

IN STRUKTUR BANGUNAN GEDUNG DPRD KOTA SURABAYA BERDASARKAN SISTEM RANGKA PEMIKUL MOMEN KHUSUS (SRPMK) DAN METODE PELAKSANAAN PLAT-PLAT LANTAI DAN ATAP

A PEKERJAAN

PEMBANGUNAN GEDUNG DPRD KOTA SURABAYA

© 2017 KET

LOKASI PEKERJAAN
Jalan Yos Sudarso No 18-22, Embong
Kaliasin, Surabaya, Jawa Timur

— 1 —

ENAH PEMBALOKAN LT. 6 1 : 150

KETERANGAN

KET	DIMENSION
B1	400 x 600
B2	300 x 400
B3	350 x 500
BK	150 x 250

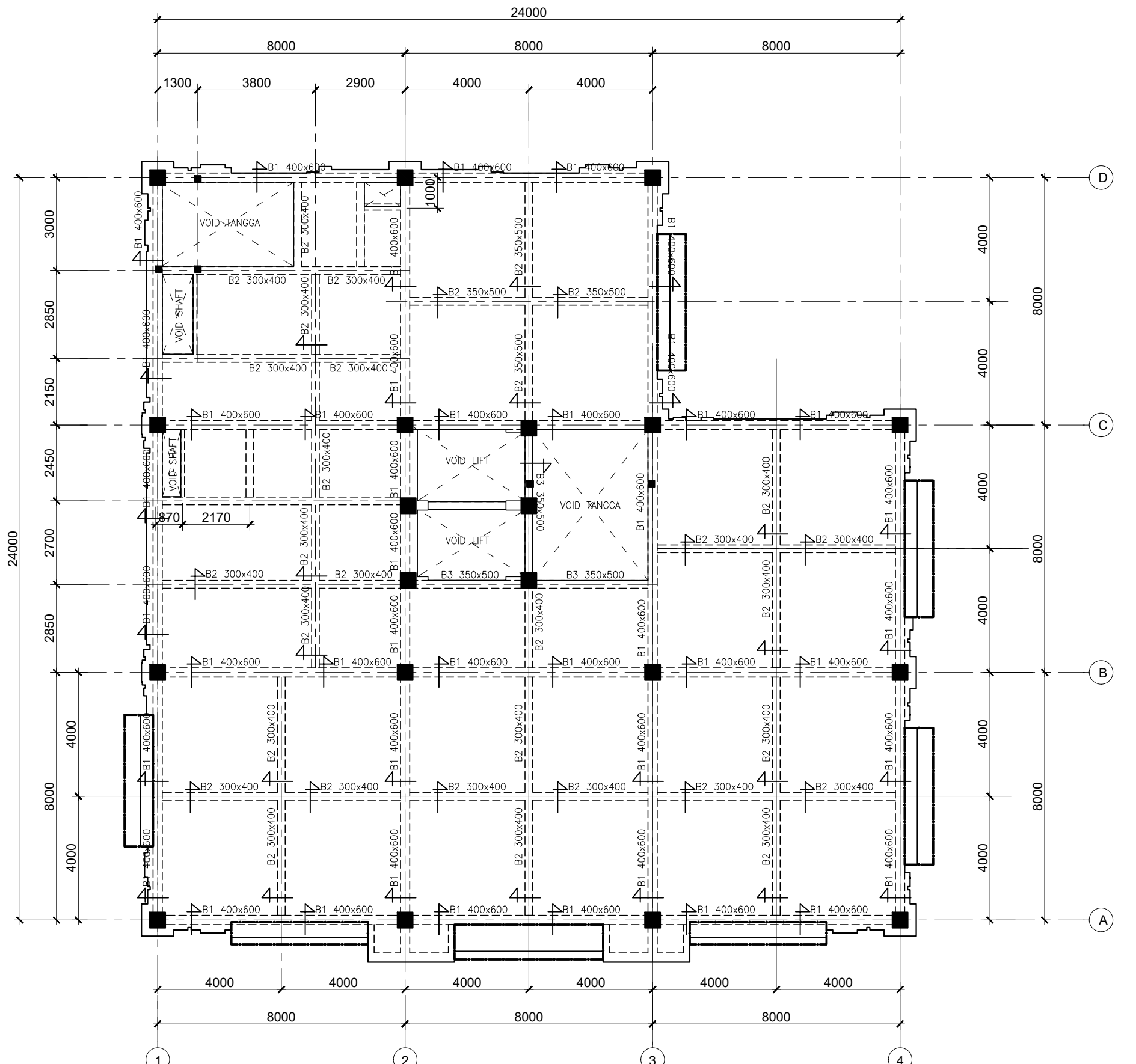
DOSEN PEMBIMBING

Dr. Ir. Dicky Imam Wahyudi, M.S.
NIP: 195902091986031002

NAMA MAHASISWA

ARMAND RIZALDY
10111600000046

TAUFAN FAIRUS MAJID
10111600000080



DENAH BALOK LT. 06 GD. DPRD (SSL +19.95)
1 : 150 0 300 600



PROGRAM STUDI DIPLOMA III
DEPARTEMEN TEKNIK INFRASTRUKTUR SIPIL
FAKULTAS VOKASI
INSTITUT TEKNOLOGI SEPULUH NOPEMBER
SURABAYA
2020

TUGAS AKHIR

JUDUL

DESAIN STRUKTUR BANGUNAN GEDUNG DPRD KOTA SURABAYA BERDASARKAN
SISTEM RANGKA PENULUH MOMEN KHUSUS (SRPMK) DAN METODE
PELAKSANAAN PLAT-PLAT LANTAI DAN ATAP

NAMA PEKERJAAN

PEMBANGUNAN GEDUNG DPRD KOTA SURABAYA

LOKASI PEKERJAAN

Jalan Yos Sudarso No 18-22, Embong
Kaliasin, Surabaya, Jawa Timur

GAMBAR

DENAH PEMBALOKAN LT. 7

SKALA

1 : 150

KETERANGAN

KET	DIMENSION
B1	400 x 600
B2	300 x 400
B3	350 x 500
BK	150 x 250

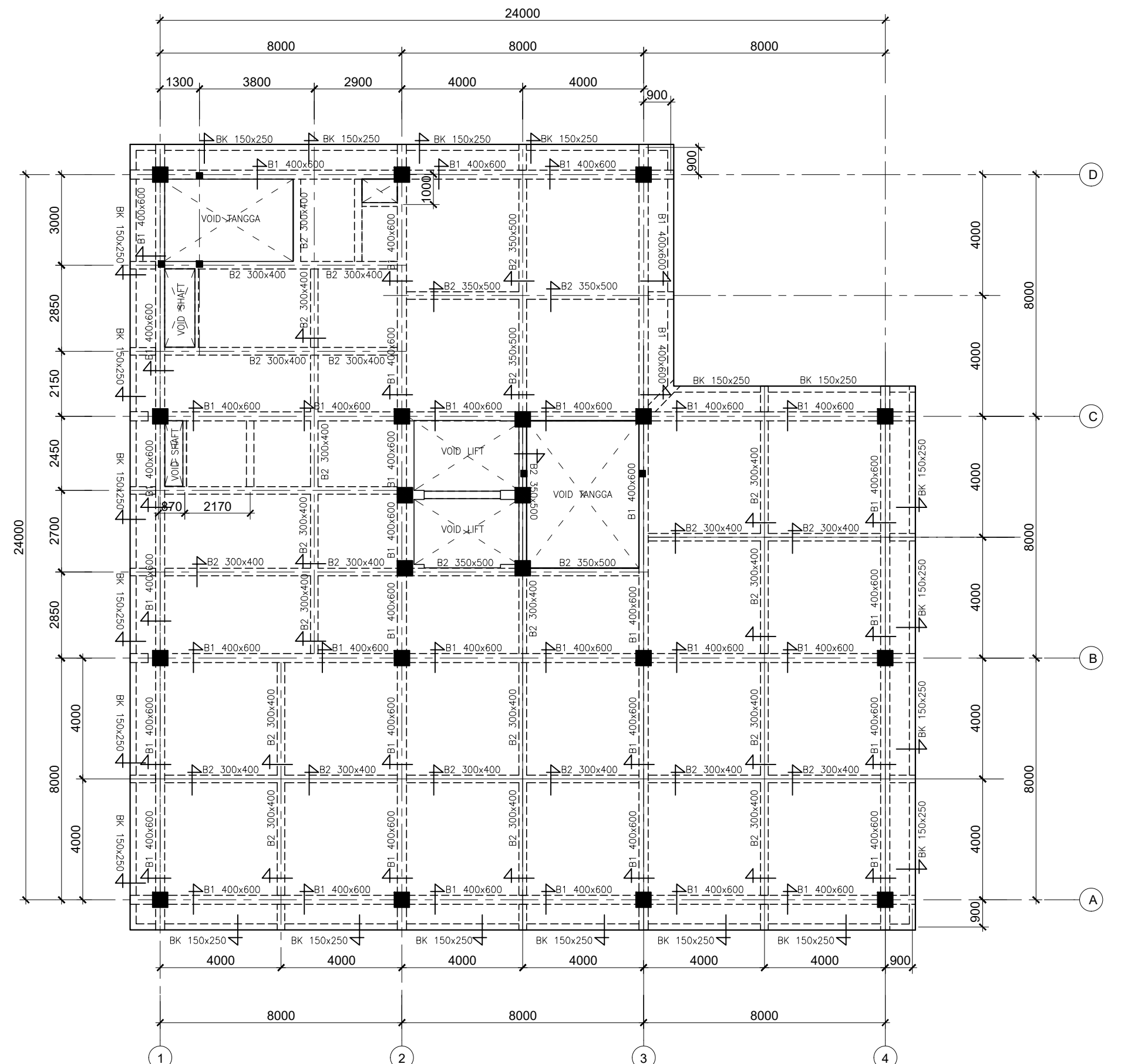
DOSEN PEMBIMBING

Dr. Ir. Dicky Imam Wahyudi, M.S.
NIP: 195902091986031002

NAMA MAHASISWA

ARMAND RIZALDY
1011160000046

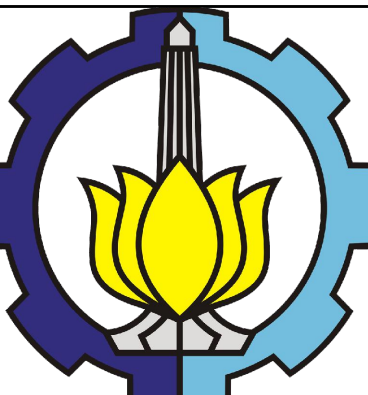
TAUFAN FAIRUS MAJID
1011160000080



DENAH BALOK LT. 07 GD. DPRD (SSL +23.95)
1:150 0 300 600
150

NAMA NO. LEMBAR JUMLAH LEMBAR

STR - 16 22 48



PROGRAM STUDI DIPLOMA III
DEPARTEMEN TEKNIK INFRASTRUKTUR SIPIL
FAKULTAS VOKASI
INSTITUT TEKNOLOGI SEPULUH NOPEMBER
SURABAYA
2020

TUGAS AKHIR

JUDUL

DESAIN STRUKTUR BANGUNAN GEDUNG DPRD KOTA SURABAYA BERDASARKAN
SISTEM RANGKA PENUTUP MOMEN KHUSUS (SRPMK) DAN METODE
PELAKUAN PLAT-PLAT LANTAI DAN ATAP

NAMA PEKERJAAN

PEMBANGUNAN GEDUNG DPRD KOTA SURABAYA

LOKASI PEKERJAAN

Jalan Yos Sudarso No 18-22, Embong
Kaliasin, Surabaya, Jawa Timur

GAMBAR	SKALA
DENAH PEMBALOKAN ATAP	1 : 150

KETERANGAN

KET	DIMENSI
B1	400 x 600
B2	300 x 400
B3	350 x 500
BK	150x250

DOSEN PEMBIMBING

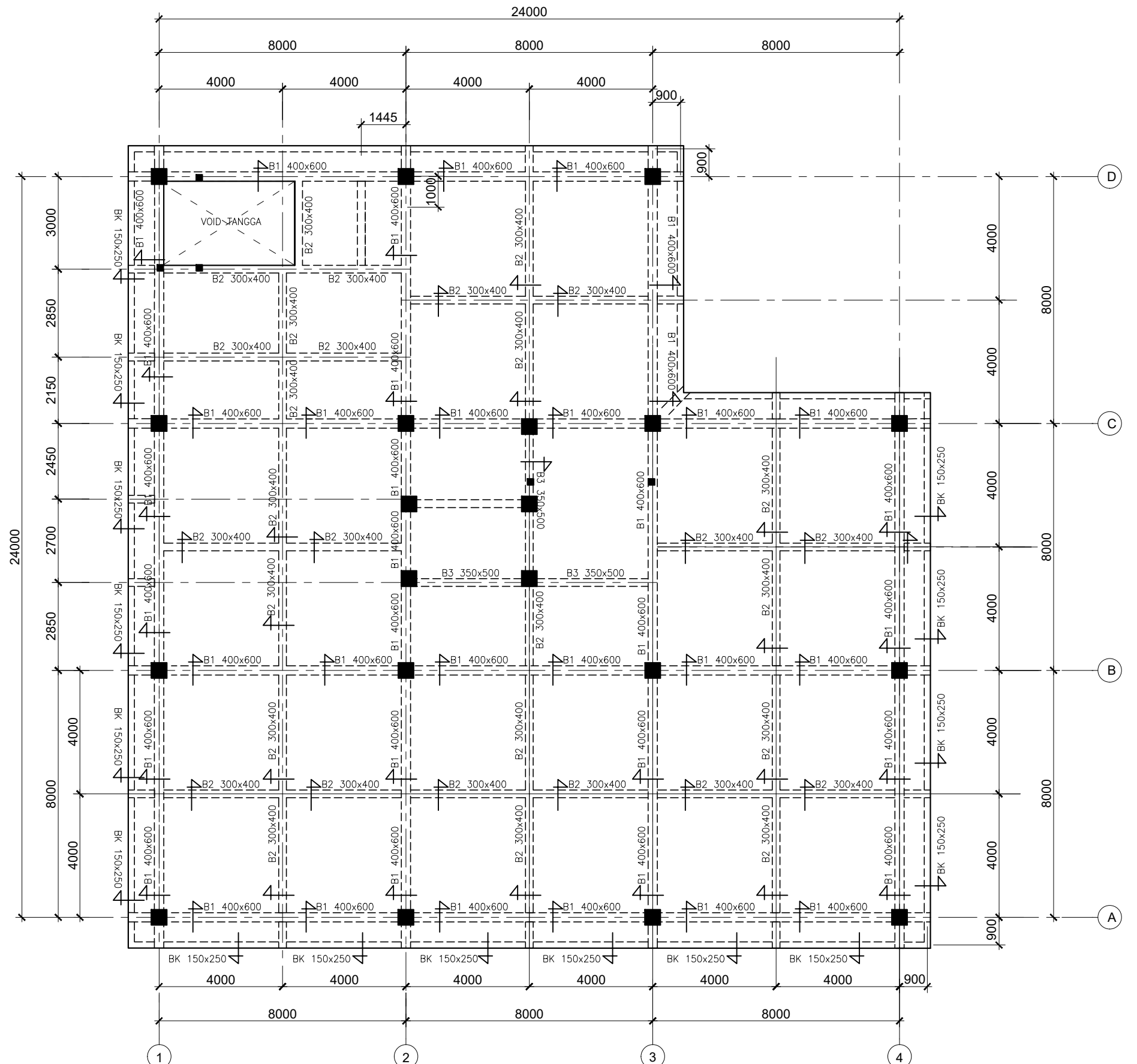
Dr. Ir. Dicky Imam Wahyudi, M.S.
NIP: 195902091986031002

NAMA MAHASISWA

ARMAND RIZALDY
10111600000046

TAUFAN FAIRUS MAJID
10111600000080

NAMA	NO. LEMBAR	JUMLAH LEMBAR





PROGRAM STUDI DIPLOMA III
DEPARTEMEN TEKNIK INFRASTRUKTUR SIPIL
FAKULTAS VOKASI
INSTITUT TEKNOLOGI SEPULUH NOPEMBER
SURABAYA
2020

TUGAS AKHIR

JUDUL

DESAIN STRUKTUR BANGUNAN GEDUNG DPRD KOTA SURABAYA BERDASARKAN
SISTEM RANGKA PENULUH MOMEN KHUSUS (SRPMK) DAN METODE
PELAKSANAAN PLAT-PLAT LANTAI DAN ATAP

NAMA PEKERJAAN

PEMBANGUNAN GEDUNG DPRD KOTA SURABAYA

LOKASI PEKERJAAN

Jalan Yos Sudarso No 18-22, Embong
Kaliasin, Surabaya, Jawa Timur

GAMBAR

DENAH PLAT LT. 1

SKALA

1 : 150

KETERANGAN

DOSEN PEMBIMBING

Dr. Ir. Dicky Imam Wahyudi, M.S.
NIP: 195902091986031002

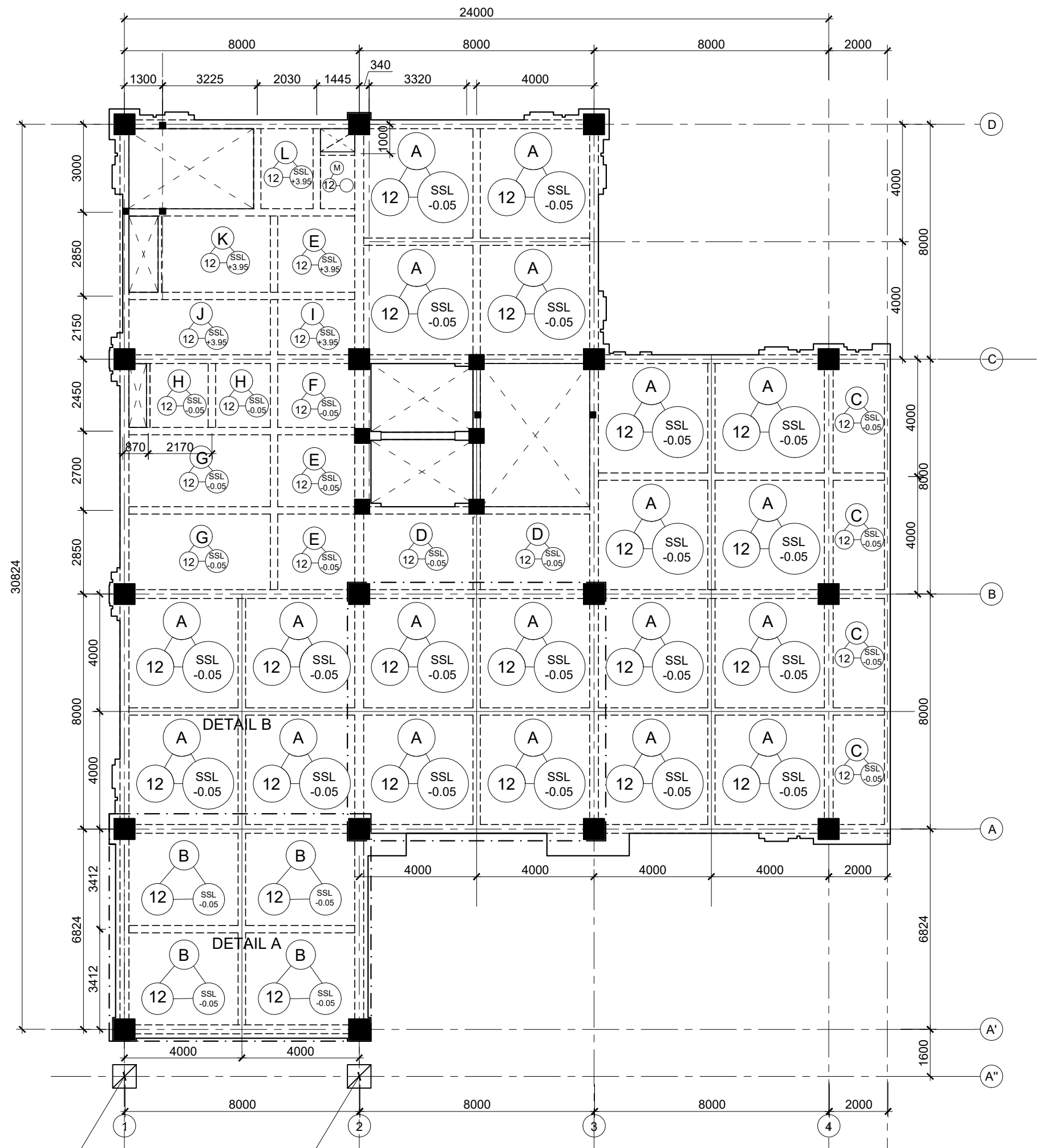
NAMA MAHASISWA

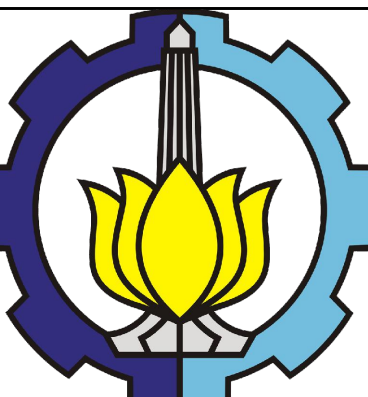
ARMAND RIZALDY
1011160000046

TAUFAN FAIRUS MAJID
1011160000080

NAMA	NO. LEMBAR	JUMLAH LEMBAR
------	------------	---------------

STR - 18	24	48
----------	----	----





PROGRAM STUDI DIPLOMA III
DEPARTEMEN TEKNIK INFRASTRUKTUR SIPIL
FAKULTAS VOKASI
INSTITUT TEKNOLOGI SEPULUH NOPEMBER
SURABAYA
2020

TUGAS AKHIR

JUDUL

DESAIN STRUKTUR BANGUNAN GEDUNG DPRD KOTA SURABAYA BERDASARKAN
SISTEM RANGKA PENULUH MOMEN KHUSUS (SRPK) DAN METODE
PELAKUAN PLAT-PLAT LANTAI DAN ATAP

NAMA PEKERJAAN

PEMBANGUNAN GEDUNG DPRD KOTA SURABAYA

LOKASI PEKERJAAN

Jalan Yos Sudarso No 18-22, Embong
Kaliasin, Surabaya, Jawa Timur

GAMBAR

DENAH PLAT LT. 2

SKALA
1 : 150

KETERANGAN

DOSEN PEMBIMBING

Dr. Ir. Dicky Imam Wahyudi, M.S.
NIP: 195902091986031002

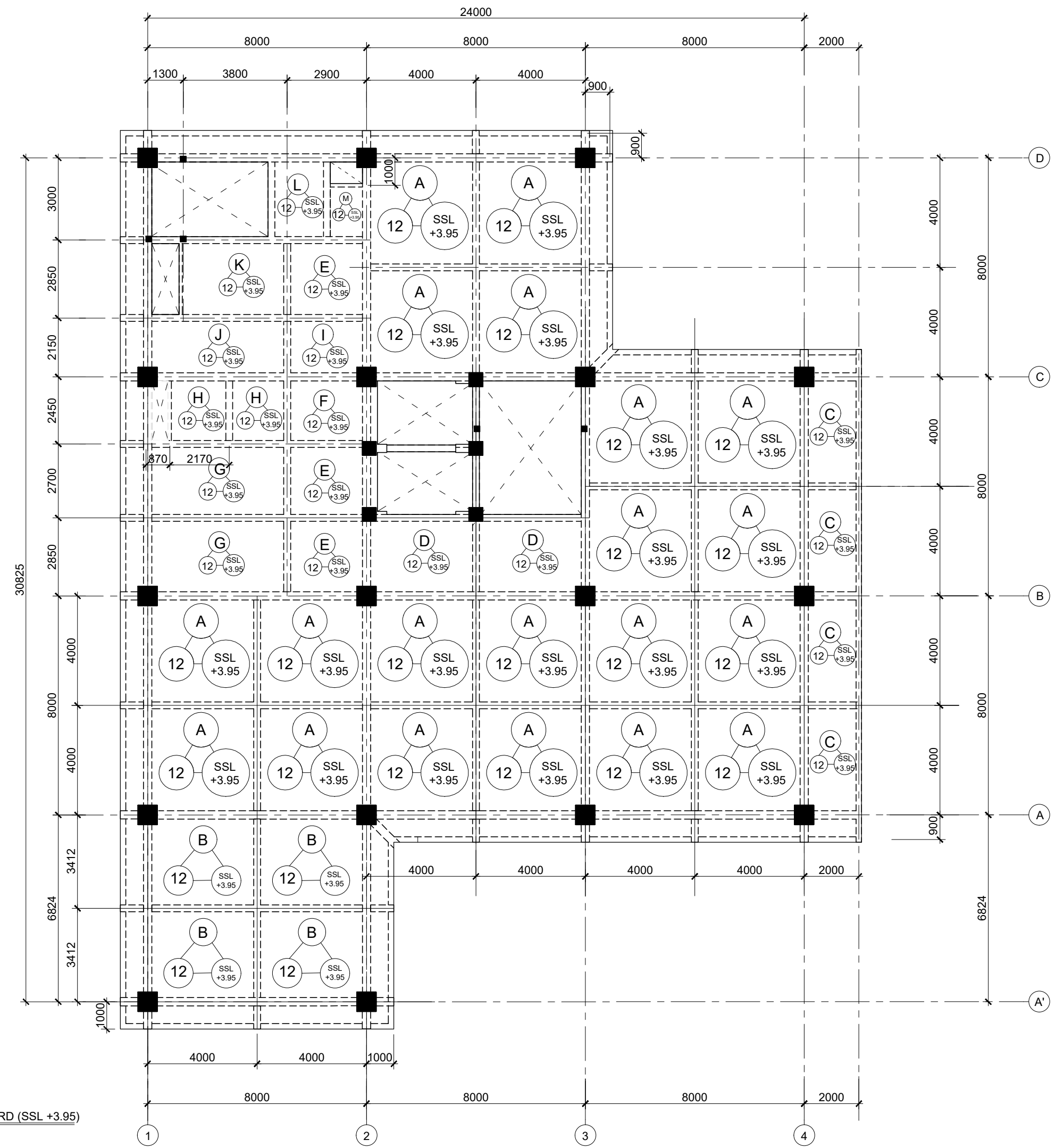
NAMA MAHASISWA

ARMAND RIZALDY
1011160000046

TAUFAN FAIRUS MAJID
1011160000080

NAMA	NO. LEMBAR	JUMLAH LEMBAR
------	------------	---------------

STR - 19 25 48





PROGRAM STUDI DIPLOMA III
DEPARTEMEN TEKNIK INFRASTRUKTUR SIPIL
FAKULTAS VOKASI
INSTITUT TEKNOLOGI SEPULUH NOPEMBER
SURABAYA
2020

TUGAS AKHIR

JUDUL

INSTRUKTUR BANGUNAN GEDUNG DPRD KOTA SURABAYA BERDASARKAN SISTEM RANGKA PEMIKUL MOMEN KHUSUS (SRPMK) DAN METODE PELAKSANAAN PLAT-PLAT LANTAI DAN ATAP

MA PEKERJAAN

PEMBANGUNAN GEDUNG DPRD KOTA SURABAYA

100% RECYCLED PAPER

LOKASI PEKERJAAN

tabaya, sawa 1

GAMBAR	SKAL
DENAH PLAT LT. 3	1 : 150

11. 100

KETERANGAN

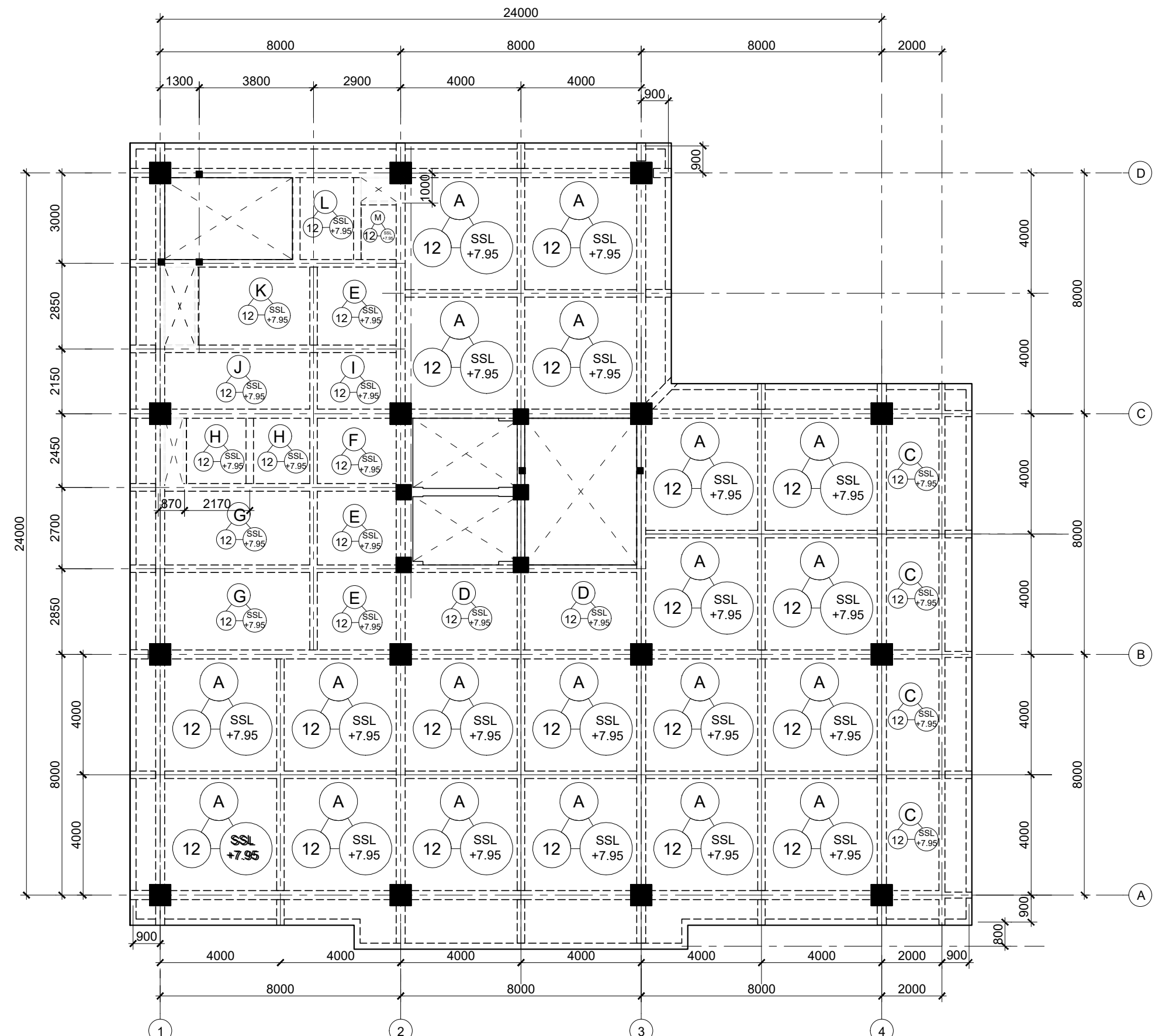
DOSEN PEMBIMBING

R. Ir. Dicky Imam Wahyudi, M.S.
NIP: 195902091986031002

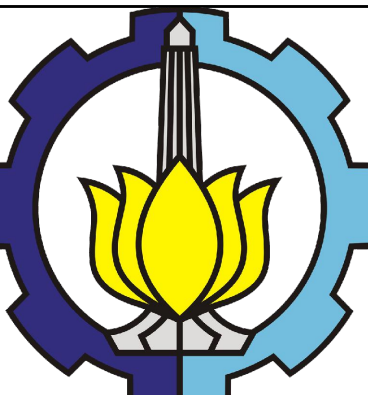
JAMA MAHASISWA

ARMAND RIZALDY

AUFAN FAIRUS MAJID
10111600000080



DENAH PLAT LT. 03 GD. DPRD (SSL +7.95)
1 : 150 0 300 600



PROGRAM STUDI DIPLOMA III
DEPARTEMEN TEKNIK INFRASTRUKTUR SIPIL
FAKULTAS VOKASI
INSTITUT TEKNOLOGI SEPULUH NOPEMBER
SURABAYA
2020

TUGAS AKHIR

JUDUL

DESAIN STRUKTUR BANGUNAN GEDUNG DPRD KOTA SURABAYA BERDASARKAN
SISTEM RANGKA PENULUH MOMEN KHUSUS (SRPMK) DAN METODE
PELAKSANAAN PLAT-PLAT LANTAI DAN ATAP

NAMA PEKERJAAN

PEMBANGUNAN GEDUNG DPRD KOTA SURABAYA

LOKASI PEKERJAAN

Jalan Yos Sudarso No 18-22, Embong
Kaliasin, Surabaya, Jawa Timur

GAMBAR

DENAH PLAT LT. 5

SKALA
1 : 150

KETERANGAN

DOSEN PEMBIMBING

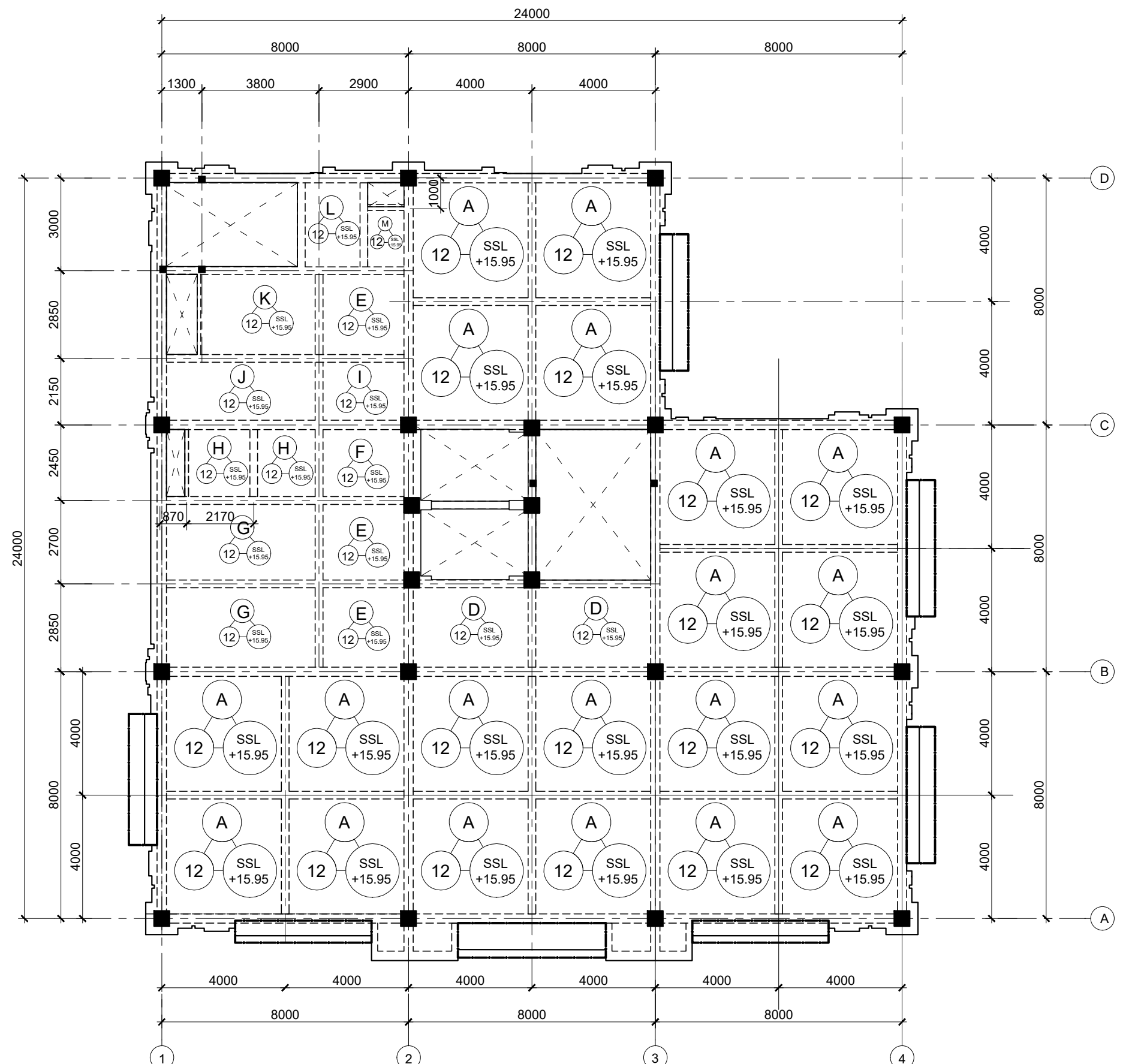
Dr. Ir. Dicky Imam Wahyudi, M.S.
NIP: 195902091986031002

NAMA MAHASISWA

ARMAND RIZALDY
1011160000046

TAUFAN FAIRUS MAJID
1011160000080

NAMA	NO. LEMBAR	JUMLAH LEMBAR
------	------------	---------------





PROGRAM STUDI DIPLOMA III
DEPARTEMEN TEKNIK INFRASTRUKTUR SIPIL
FAKULTAS VOKASI
INSTITUT TEKNOLOGI SEPULUH NOPEMBER
SURABAYA
2020

TUGAS AKHIR

JUDUL

DESAIN STRUKTUR BANGUNAN GEDUNG DPRD KOTA SURABAYA BERDASARKAN
SISTEM RANGKA PENULUH MOMEN KHUSUS (SRPMK) DAN METODE
PELAKSANAAN PLAT-PLAT LANTAI DAN ATAP

NAMA PEKERJAAN

PEMBANGUNAN GEDUNG DPRD KOTA SURABAYA

LOKASI PEKERJAAN

Jalan Yos Sudarso No 18-22, Embong
Kaliasin, Surabaya, Jawa Timur

GAMBAR

DENAH PLAT LT. 6

SKALA

1 : 150

KETERANGAN

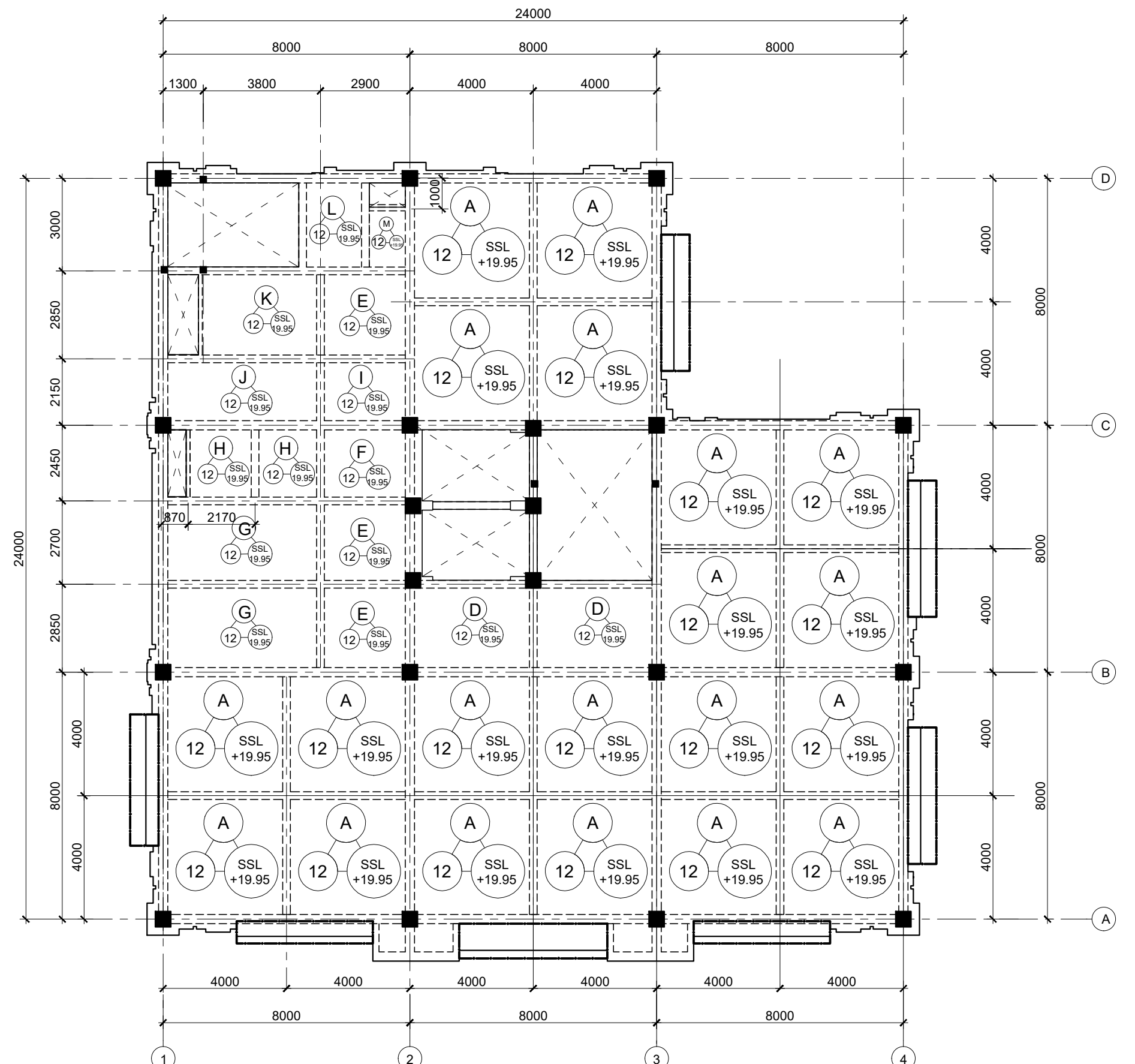
DOSEN PEMBIMBING

Dr. Ir. Dicky Imam Wahyudi, M.S.
NIP: 195902091986031002

NAMA MAHASISWA

ARMAND RIZALDY
1011160000046

TAUFAN FAIRUS MAJID
1011160000080



1 : 150
0 300 600
150

NAMA NO. LEMBAR JUMLAH LEMBAR

STR - 23 29 48



PROGRAM STUDI DIPLOMA III
DEPARTEMEN TEKNIK INFRASTRUKTUR SIPIL
FAKULTAS VOKASI
INSTITUT TEKNOLOGI SEPULUH NOPEMBER
SURABAYA
2020

TUGAS AKHIR

JUDUL

DESAIN STRUKTUR BANGUNAN GEDUNG DPRD KOTA SURABAYA BERDASARKAN
SISTEM RANGKA PENULUH MOMEN KHUSUS (SRPMK) DAN METODE
PELAKSANAAN PLAT-PLAT LANTAI DAN ATAP

NAMA PEKERJAAN

PEMBANGUNAN GEDUNG DPRD KOTA SURABAYA

LOKASI PEKERJAAN

Jalan Yos Sudarso No 18-22, Embong
Kaliasin, Surabaya, Jawa Timur

GAMBAR

DENAH PLAT LT. 7

SKALA
1 : 150

KETERANGAN

DOSEN PEMBIMBING

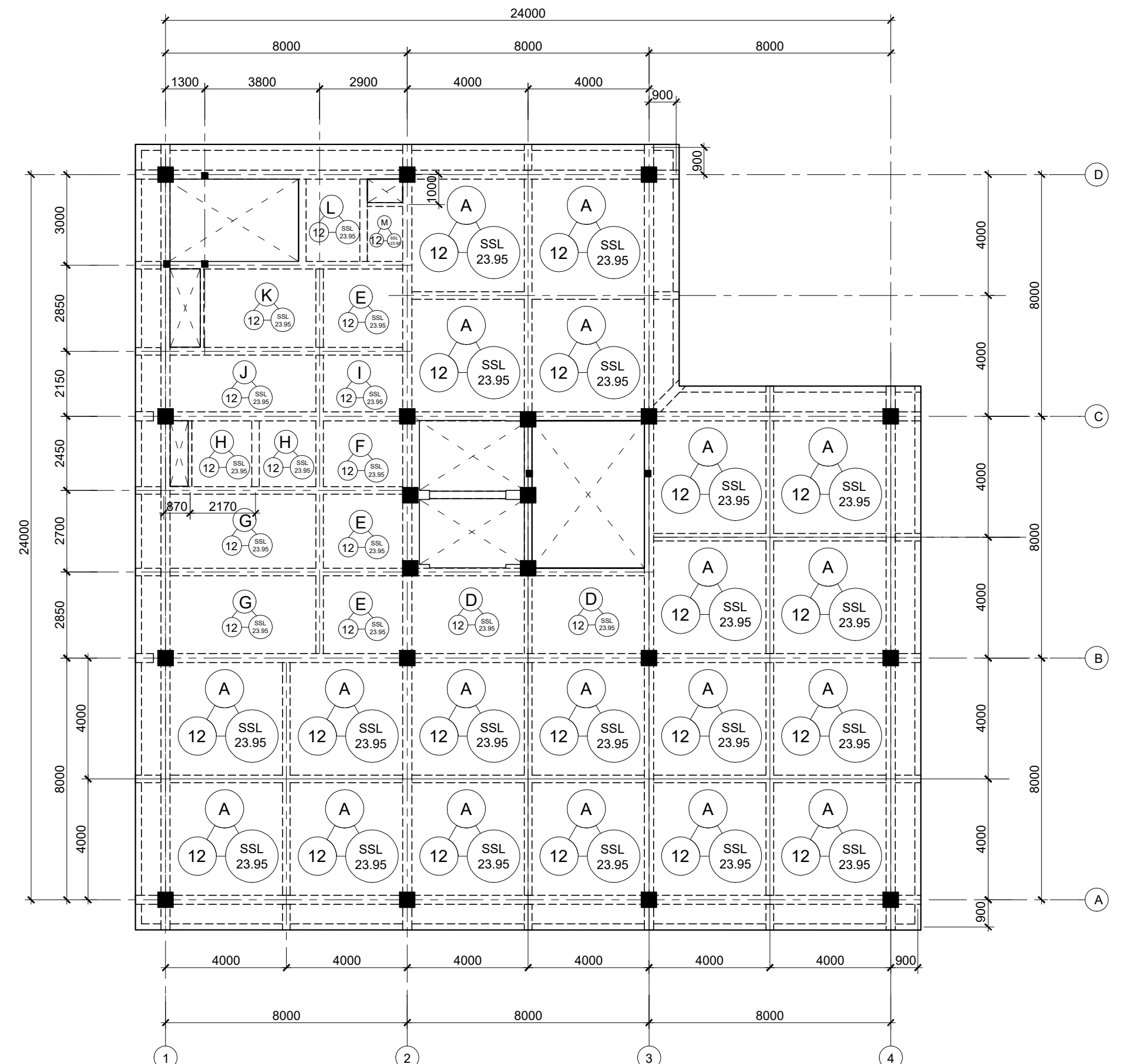
Dr. Ir. Dicky Imam Wahyudi, M.S.
NIP: 195902091986031002

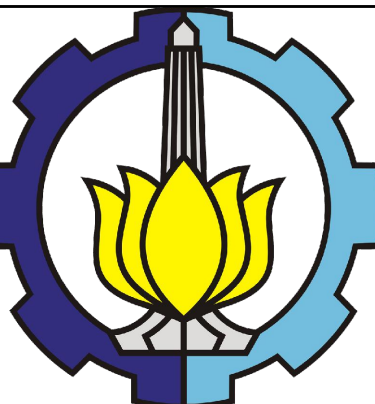
NAMA MAHASISWA

ARMAND RIZALDY
1011160000046

TAUFAN FAIRUS MAJID
1011160000080

NAMA	NO. LEMBAR	JUMLAH LEMBAR
------	------------	---------------





PROGRAM STUDI DIPLOMA III
DEPARTEMEN TEKNIK INFRASTRUKTUR SIPIL
FAKULTAS VOKASI
INSTITUT TEKNOLOGI SEPULUH NOPEMBER
SURABAYA
2020

TUGAS AKHIR

JUDUL

DESAIN STRUKTUR BANGUNAN GEDUNG DPRD KOTA SURABAYA BERDASARKAN
SISTEM RANGKA PENULUH MOMEN KHUSUS (SRPMK) DAN METODE
PELAKSANAAN PLAT-PLAT LANTAI DAN ATAP

NAMA PEKERJAAN

PEMBANGUNAN GEDUNG DPRD KOTA SURABAYA

LOKASI PEKERJAAN

Jalan Yos Sudarso No 18-22, Embong Kaliasin, Surabaya, Jawa Timur

GAMBAR

Detail Penulangan Plat A	SKALA
	1 : 200

KETERANGAN

Mutu Beton : 35 Mpa
Mutu Baja : 400 Mpa ($\varnothing > 12\text{mm}$)
240 Mpa ($\varnothing < 12\text{mm}$)

Plat Wiremesh :
Fy : 500 Mpa ; U50
Tipe : Lionmesh Kari
Rumus \varnothing Tul. Wiremesh :
Luas Tul. Lentur normal x (Mutu Tul. Normal/Mutu Tul wiremesh)

DOSEN PEMBIMBING

Dr. Ir. Dicky Imam Wahyudi, M.S.
NIP: 195902091986031002

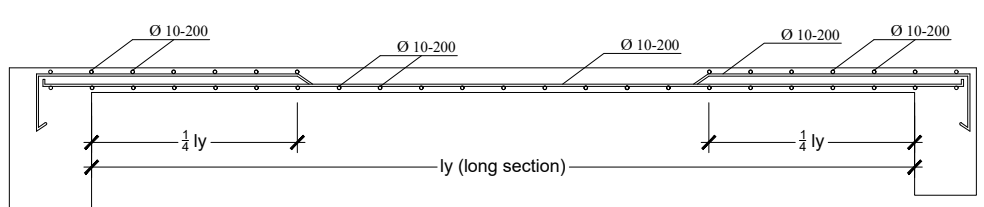
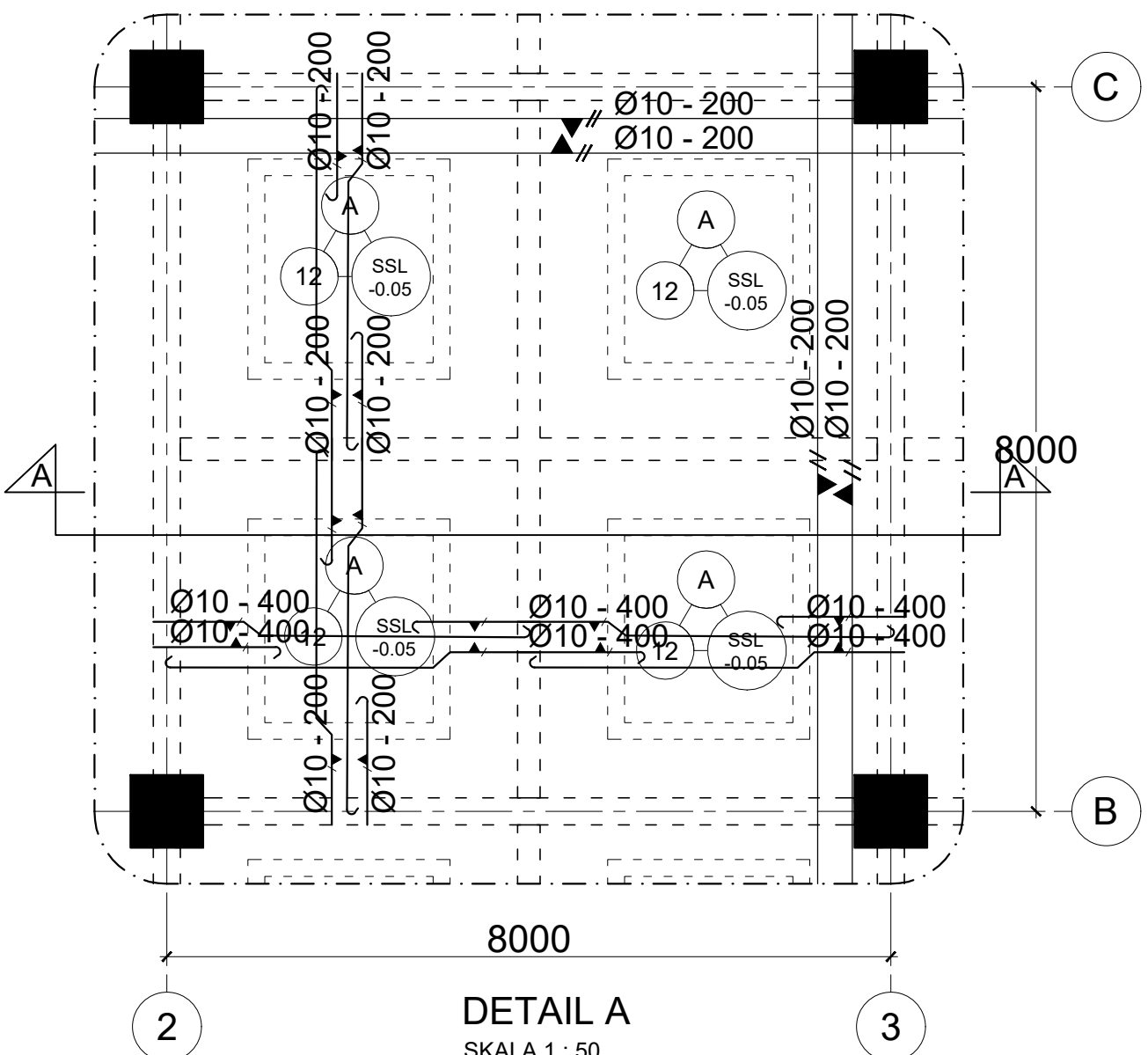
NAMA MAHASISWA

ARMAND RIZALDY
1011160000046

TAUFAN FAIRUS MAJID
1011160000080

NAMA	NO. LEMBAR	JUMLAH LEMBAR
------	------------	---------------

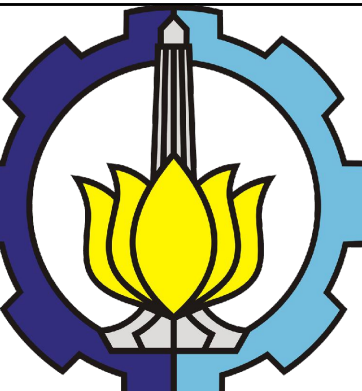
STR - 26	32	48
----------	----	----



STR - 26

32

48



PROGRAM STUDI DIPLOMA III
DEPARTEMEN TEKNIK INFRASTRUKTUR SIPIL
FAKULTAS VOKASI
INSTITUT TEKNOLOGI SEPULUH NOPEMBER
SURABAYA
2020

TUGAS AKHIR

JUDUL

JUDUL
**IN STRUKTUR BANGUNAN GEDUNG DPRD KOTA SURABAYA BERDASARKAN
SISTEM RANGKA PEMIKUL MOMEN KUSKUS (SRPMK) DAN METODE
PELAKSANAAN PLAT-PLAT LANTAI DAN ATAP**

NAMA PEKERJAAN

REMBANGUNAN CEDUNG DRBD KOTA SURABAYA

alan Yos Sudarso No 18-22, Embong
Kaliasin, Surabaya, Jawa Timur

GAMBAR	SKALA
Denah Konsep Plat A	1 : 150

KETERANGAN

utu Beton : 35 Mpa
utu Baja : 400 Mpa ($\varnothing > 12\text{mm}$)
 240 Mpa ($\varnothing < 12\text{mm}$)

at Wiremesh :

γ : 500 Mpa ; U50

pe : Lionmesh Kari

umus Ø Tul. Wiremesh :
ras Tul. Lentur normal x (Mutu Tul.
ormal/Mutu Tul wiremesh)

DOSEN PEMBIMBING

Dr. Ir. Dicky Imam Wahyudi, M.S.
NIP: 195902091986031002

NAMA MAHASISWA

ARMAND RIZALDY
10111600000046

TAUFAN FAIRUS MAJID
1011160000080

DENAH KONSEP PLAT TIPE A

SKALA 1 : 150



PROGRAM STUDI DIPLOMA III
DEPARTEMEN TEKNIK INFRASTRUKTUR SIPIL
FAKULTAS VOKASI
INSTITUT TEKNOLOGI SEPULUH NOPEMBER
SURABAYA
2020

TUGAS AKHIR

JUDUL

DESAIN STRUKTUR BANGUNAN GEDUNG DPRD KOTA SURABAYA BERDASARKAN SISTEM RANGKA PEMIKUL MOMEN KHUSUS (SRPMK) DAN METODE PELAKSANAAN PLAT-PLAT LANTAI DAN ATAP

NAMA PEKERJAAN

PEMBANGUNAN GEDUNG DPRD KOTA SURABAYA

LOKASI PEKERJAAN

Jalan Yos Sudarso No 18-22, Embong Kaliasin, Surabaya, Jawa Timur

GAMBAR SKALA

PORTAL ARAH MELINTANG 1 : 200

KETERANGAN

FUNGSI BANGUNAN : GEDUNG DPRD KOTA SURABAYA

KONDISI TANAH : TANAH LUNAK

MUTU BETON : 35 MPa

MUTU BAJA : 400 Mpa

t poer : 1m

Kedalaman Tiang Pancang : 20m

DOSEN PEMBIMBING

Dr. Ir. Dicky Imam Wahyudi, M.S.
NIP: 195902091986031002

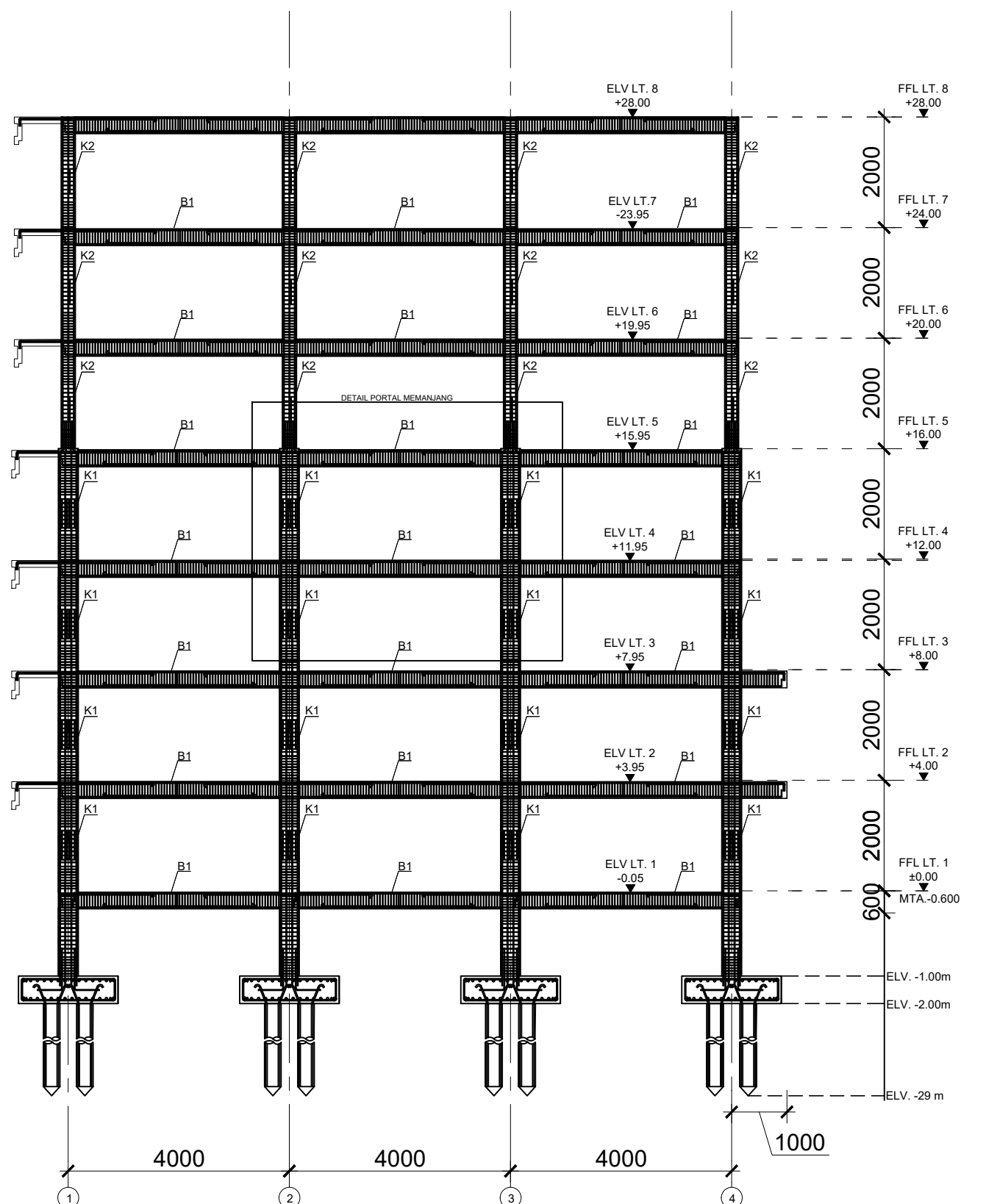
NAMA MAHASISWA

ARMAND RIZALDY
1011160000046

TAUFAN FAIRUS MAJID
1011160000080

NAMA	NO. LEMBAR	JUMLAH LEMBAR

STR - 28 34 48





PROGRAM STUDI DIPLOMA III
DEPARTEMEN TEKNIK INFRASTRUKTUR SIPIL
FAKULTAS VOKASI
INSTITUT TEKNOLOGI SEPULUH NOPEMBER
SURABAYA
2020

TUGAS AKHIR

JUDUL

DESAIN STRUKTUR BANGUNAN GEDUNG DPRD KOTA SURABAYA BERDASARKAN
SISTEM RANGKA PEMIKUL MOMEN KHUSUS (SRPMK) DAN METODE PELAKUANAN
PLAT-PLAT LANTAI DAN ATAP

NAMA PEKERJAAN

PEMBANGUNAN GEDUNG DPRD KOTA SURABAYA

LOKASI PEKERJAAN

Jalan Yos Sudarso No 18-22, Embong
Kaliasin, Surabaya, Jawa Timur

GAMBAR	SKALA
PORTAL ARAH MEMANJANG	1 : 200

KETERANGAN

FUNGSI BANGUNAN : GEDUNG DPRD
KOTA SURABAYA

KONDISI TANAH : TANAH LUNAK

MUTU BETON : 35 MPa

MUTU BAJA : 400 Mpa

t poer : 1m

Kedalaman Tiang Pancang : 20m

DOSEN PEMBIMBING

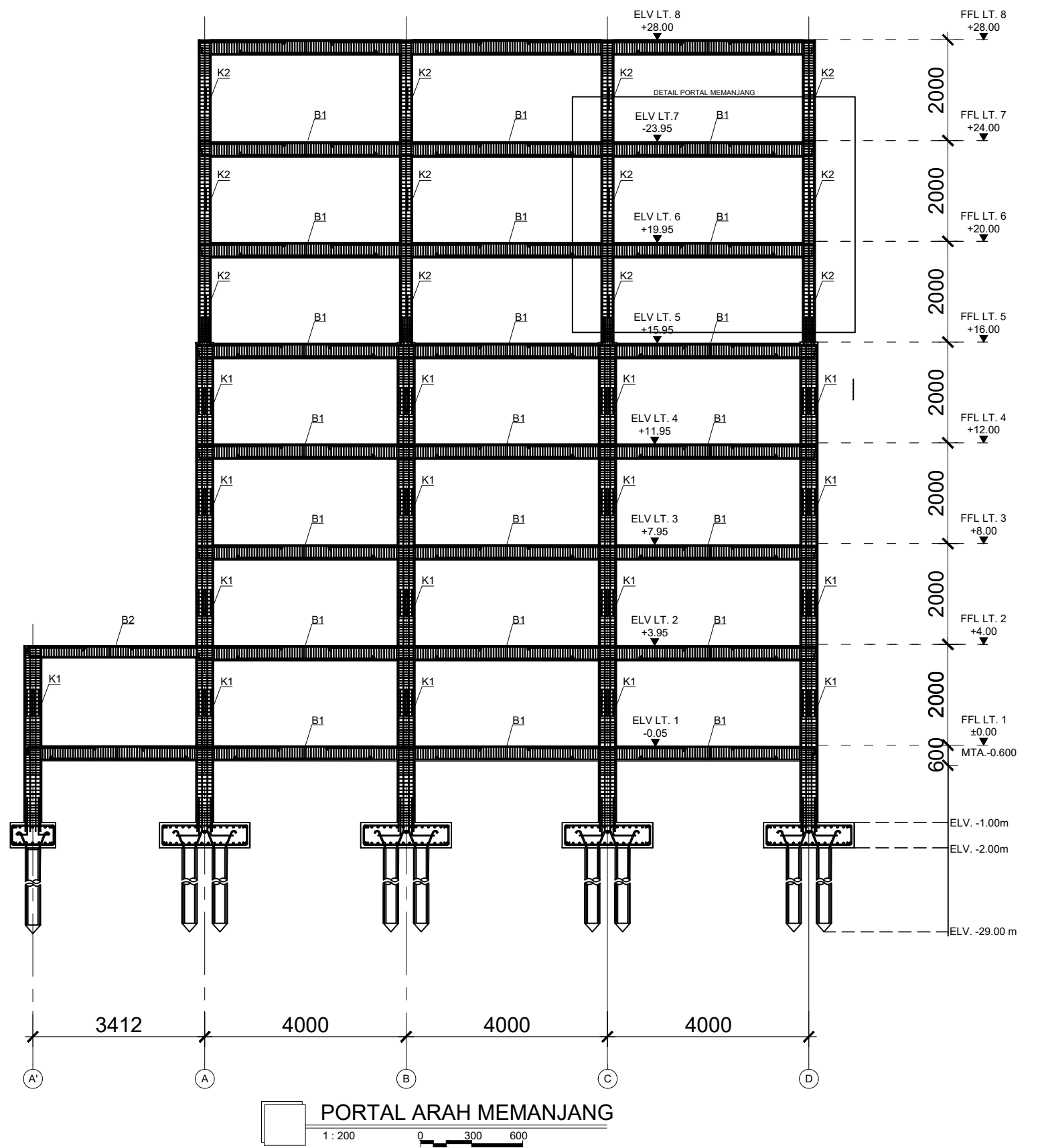
Dr. Ir. Dicky Imam Wahyudi, M.S.
NIP: 195902091986031002

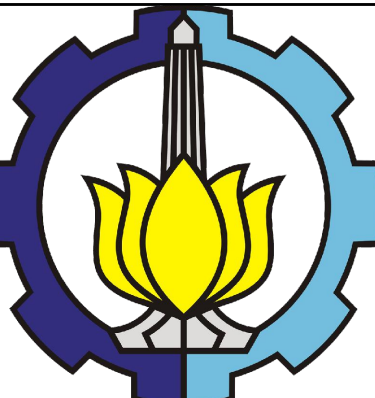
NAMA MAHASISWA

ARMAND RIZALDY
10111600000046

TAUFAN FAIRUS MAJID
10111600000080

NAMA	NO. LEMBAR	JUMLAH LEMBAR
STR - 29	35	48





PROGRAM STUDI DIPLOMA III
DEPARTEMEN TEKNIK INFRASTRUKTUR SIPIL
FAKULTAS VOKASI
INSTITUT TEKNOLOGI SEPULUH NOPEMBER
SURABAYA
2020

TUGAS AKHIR

JUDUL

DESAIN STRUKTUR BANGUNAN GEDUNG DPRD KOTA SURABAYA BERDASARKAN
SISTEM RANGKA PEMUKUL MOMEN KHUSUS (SRPMK) DAN METODE
PELAKUAN PLAT-PLAT LANTAI DAN ATAP

NAMA PEKERJAAN

PEMBANGUNAN GEDUNG DPRD KOTA SURABAYA

LOKASI PEKERJAAN

Jalan Yos Sudarso No 18-22, Embong
Kaliasin, Surabaya, Jawa Timur

GAMBAR	SKALA
Detail Penulangan Balok Melintang	1 : 50

KETERANGAN

Mutu Beton : 35 Mpa
Mutu Baja : 400 Mpa ($\varnothing > 12mm$)
240 Mpa ($\varnothing < 12mm$)
Fungsi Bangunan : Perkantoran
B/H Balok : 40/60cm

DOSEN PEMBIMBING

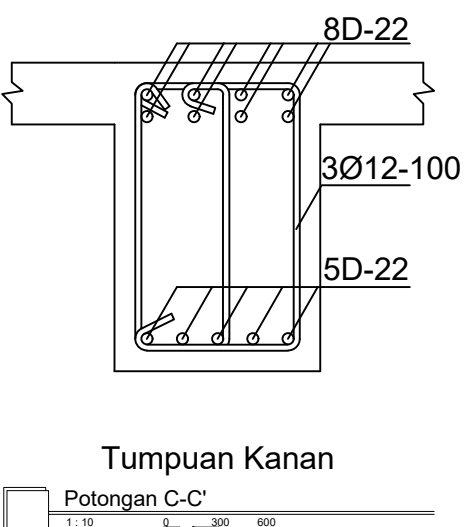
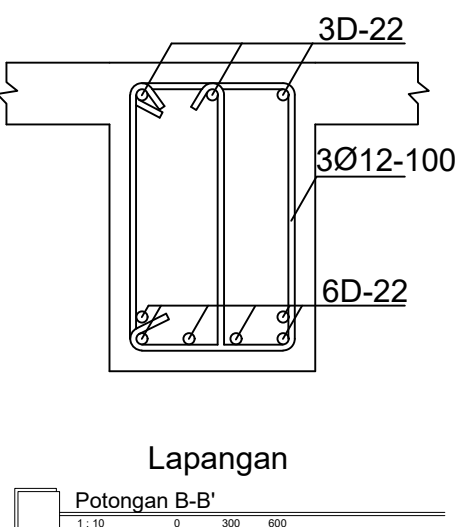
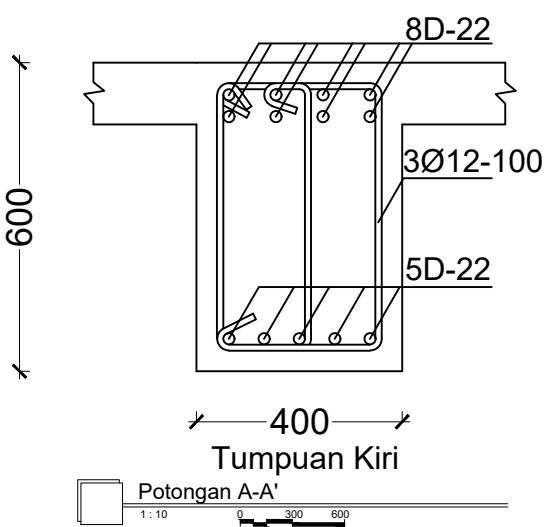
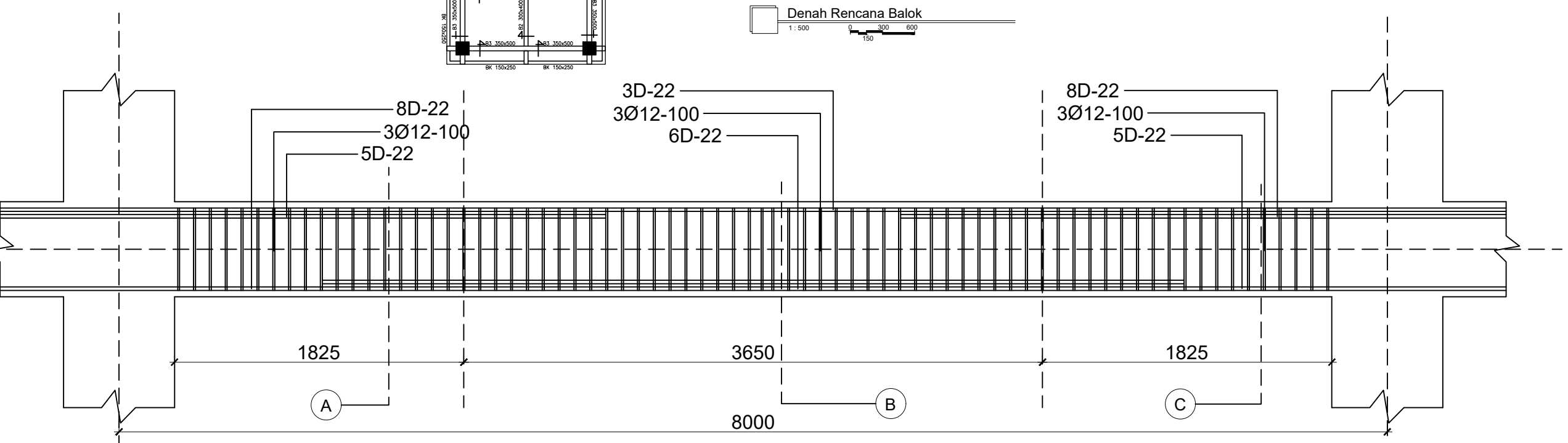
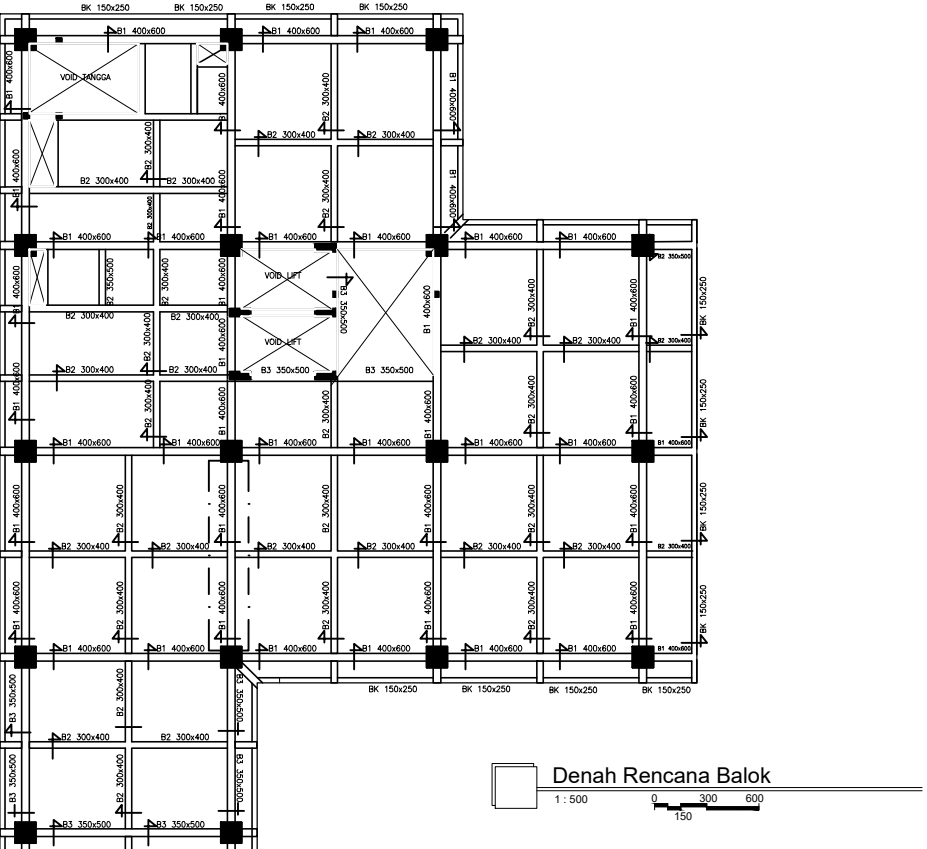
Dr. Ir. Dicky Imam Wahyudi, M.S.
NIP: 195902091986031002

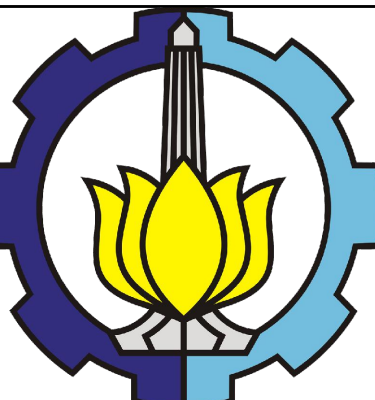
NAMA MAHASISWA

ARMAND RIZALDY
1011160000046

TAUFAN FAIRUS MAJID
10111600000080

NAMA	NO. LEMBAR	JUMLAH LEMBAR
DTA - 03	36	48





PROGRAM STUDI DIPLOMA III
DEPARTEMEN TEKNIK INFRASTRUKTUR SIPIL
FAKULTAS VOKASI
INSTITUT TEKNOLOGI SEPULUH NOPEMBER
SURABAYA
2020

TUGAS AKHIR

JUDUL

DESAIN STRUKTUR BANGUNAN GEDUNG DPRD KOTA SURABAYA BERDASARKAN
SISTEM RANGKA PENULANG MOMEN KHUSUS (SRPMK) DAN METODE
PELAKUAN PLAT-PLAT LANTAI DAN ATAP

NAMA PEKERJAAN

PEMBANGUNAN GEDUNG DPRD KOTA SURABAYA

LOKASI PEKERJAAN

Jalan Yos Sudarso No 18-22, Embong
Kaliasin, Surabaya, Jawa Timur

GAMBAR

Detail Penulangan Balok
Memanjang

1 : 50

KETERANGAN

Mutu Beton : 35 Mpa
Mutu Baja : 400 Mpa ($\varnothing > 12\text{mm}$)
240 Mpa ($\varnothing < 12\text{mm}$)
Fungsi Bangunan : Perkantoran
B/H Balok : 40/60cm

DOSEN PEMBIMBING

Dr. Ir. Dicky Imam Wahyudi, M.S.
NIP: 195902091986031002

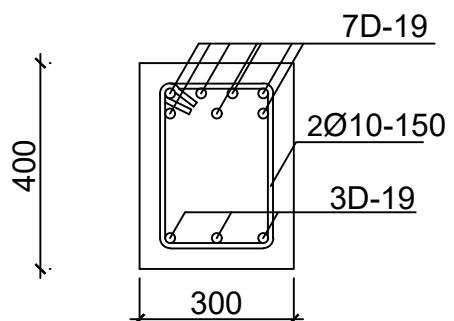
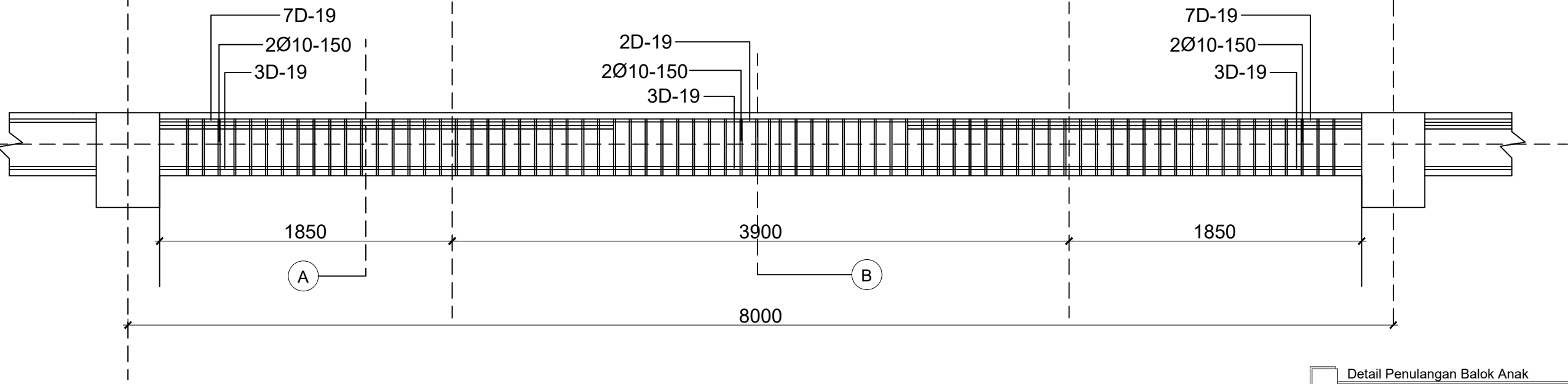
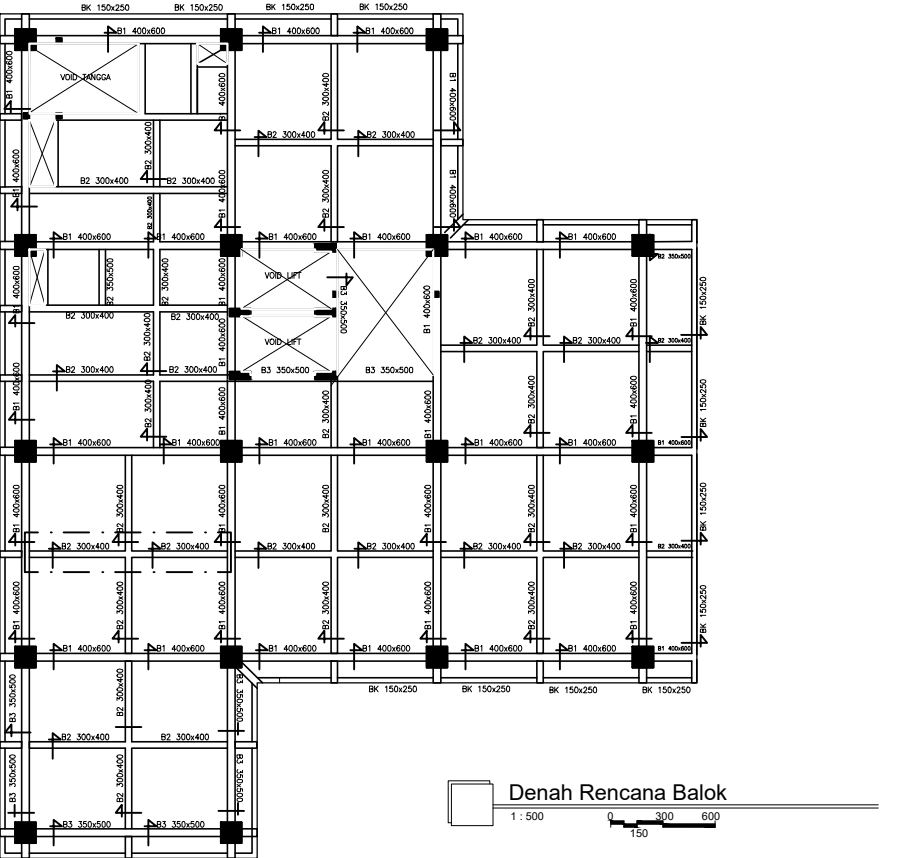
NAMA MAHASISWA

ARMAND RIZALDY
1011160000046

TAUFAN FAIRUS MAJID
10111600000080

NAMA	NO. LEMBAR	JUMLAH LEMBAR
------	------------	---------------

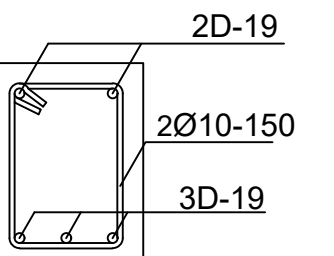
DTA - 04	37	48
----------	----	----



Tumpuan Kiri

Potongan A-A'

1 : 10



Lapangan

Potongan B-B'

1 : 10



PROGRAM STUDI DIPLOMA III
DEPARTEMEN TEKNIK INFRASTRUKTUR SIPIL
FAKULTAS VOKASI
INSTITUT TEKNOLOGI SEPULUH NOPEMBER
SURABAYA
2020

TUGAS AKHIR

JUDUL

DESAIN STRUKTUR BANGUNAN GEDUNG DPRD KOTA SURABAYA BERDASARKAN
SISTEM RANGKA PEMIKUL MOMEN KHUSUS (SRPMK) DAN METODE PELAKUANAN
PLAT-PLAT LANTAI DAN ATAP

NAMA PEKERJAAN

PEMBANGUNAN GEDUNG DPRD KOTA SURABAYA

LOKASI PEKERJAAN

Jalan Yos Sudarso No 18-22, Embong
Kaliasin, Surabaya, Jawa Timur

GAMBAR	SKALA
DETAIL TULANGAN KOLOM K1 (700 x 700)mm	

KETERANGAN

FUNGSI BANGUNAN : GEDUNG DPRD KOTA
SURABAYA

KONDISI TANAH : TANAH LUNAK

MUTU BETON : 35 MPa

MUTU BAJA : 400 Mpa

JUMLAH TULANGAN LONGITUDINAL : 12-D25

DOSEN PEMBIMBING

Dr. Ir. Dicky Imam Wahyudi, M.S.
NIP: 195902091986031002

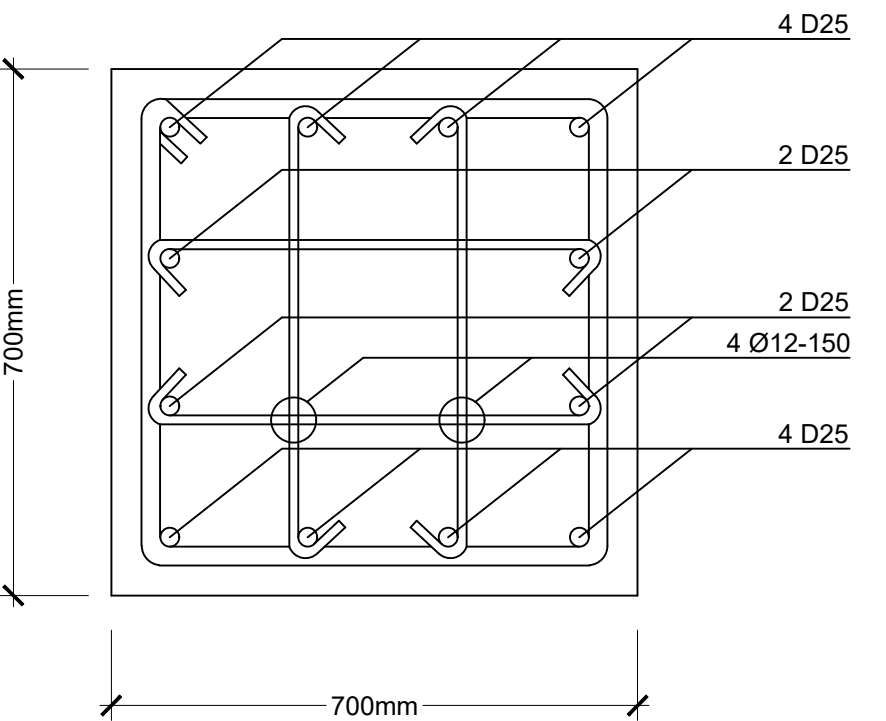
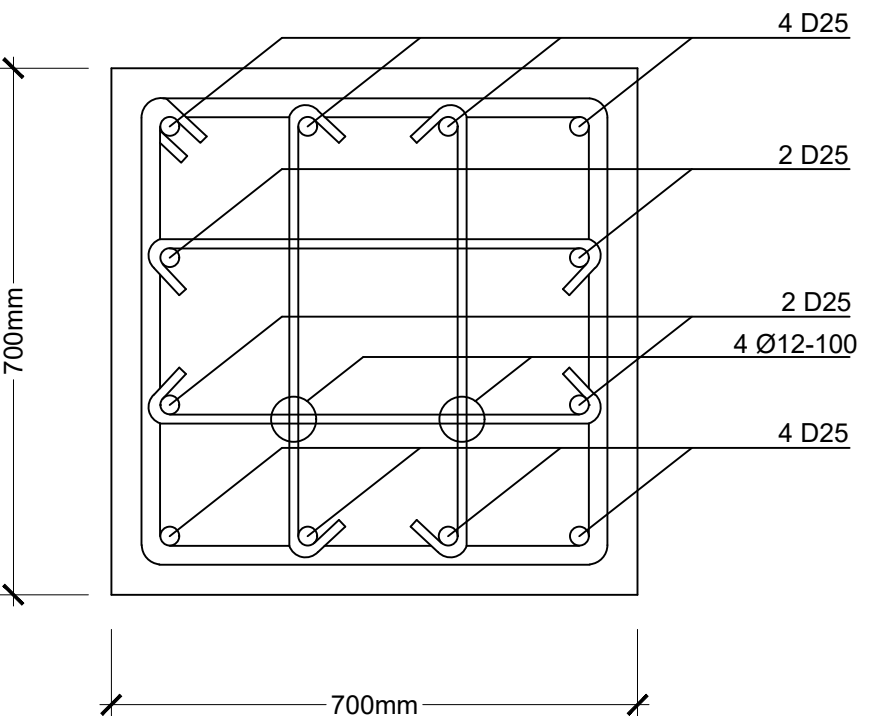
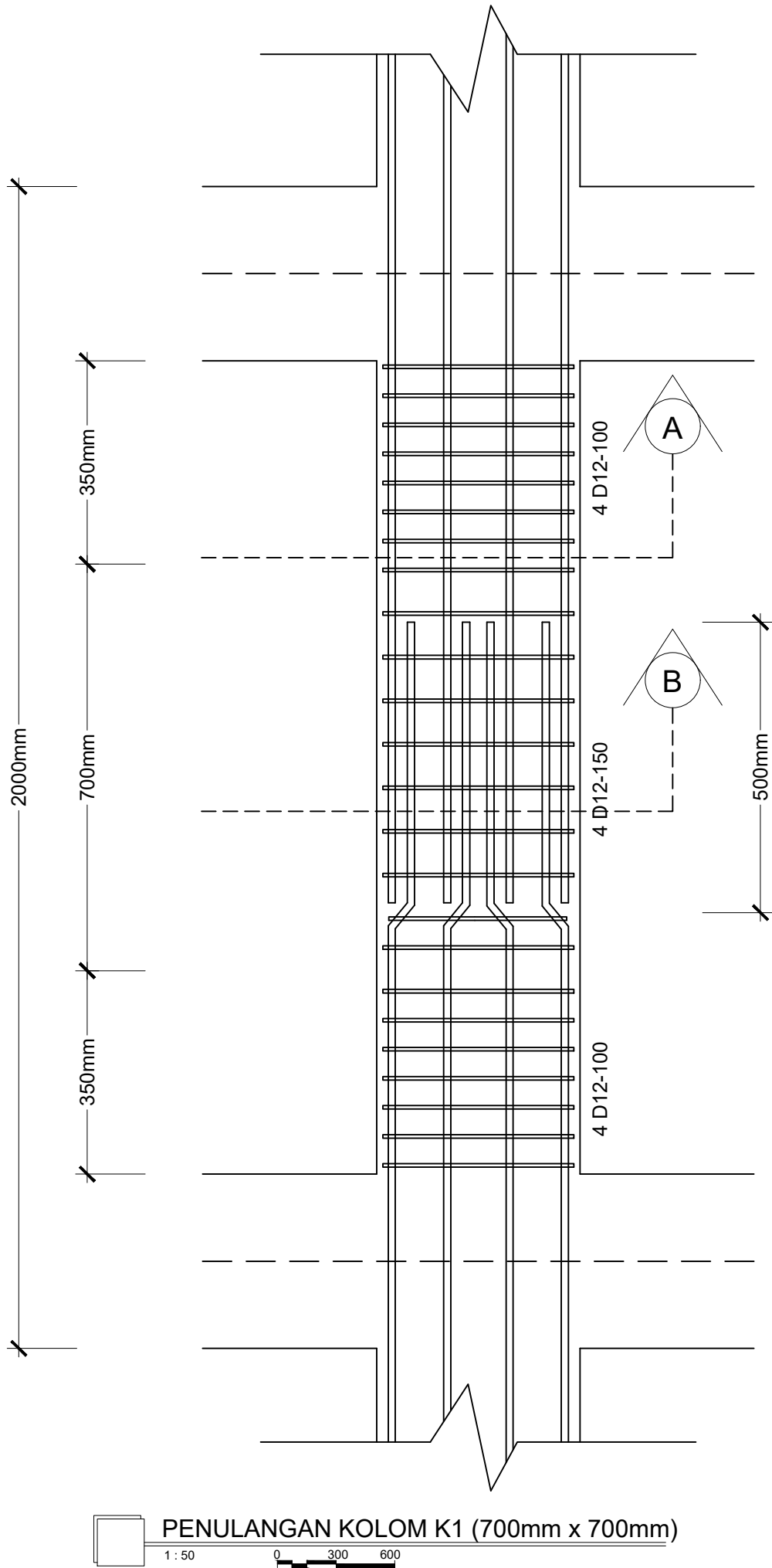
NAMA MAHASISWA

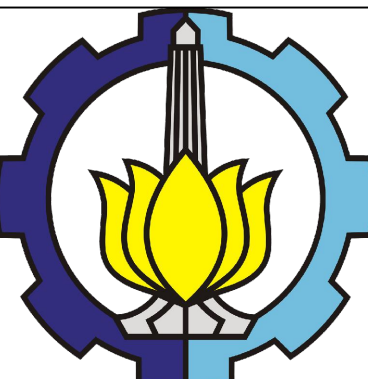
ARMAND RIZALDY
10111600000046

TAUFAN FAIRUS MAJID
10111600000080

NAMA	NO. LEMBAR	JUMLAH LEMBAR

DTA - 05 38 48





PROGRAM STUDI DIPLOMA III
DEPARTEMEN TEKNIK INFRASTRUKTUR SIPIL
FAKULTAS VOKASI
INSTITUT TEKNOLOGI SEPULUH NOPEMBER
SURABAYA
2020

TUGAS AKHIR

JUDUL

DESAIN STRUKTUR BANGUNAN GEDUNG DPRD KOTA SURABAYA BERDASARKAN
SISTEM RANGKA PEMIKUL MOMEN KHUSUS (SRPKM) DAN METODE PELAKUAN
PLAT-PLAT LANTAI DAN ATAP

NAMA PEKERJAAN

PEMBANGUNAN GEDUNG DPRD KOTA SURABAYA
LOKASI PEKERJAAN

Jalan Yos Sudarso No 18-22, Embong
Kaliasin, Surabaya, Jawa Timur

GAMBAR	SKALA
--------	-------

DETAIL TULANGAN KOLOM K1
(700 x 700)mm

KETERANGAN

FUNGSI BANGUNAN : GEDUNG DPRD KOTA
SURABAYA

KONDISI TANAH : TANAH LUNAK

MUTU BETON : 35 MPa

MUTU BAJA : 400 Mpa

JUMLAH TULANGAN LONGITUDINAL : 8-D22

DOSEN PEMBIMBING

Dr. Ir. Dicky Imam Wahyudi, M.S.
NIP: 195902091986031002

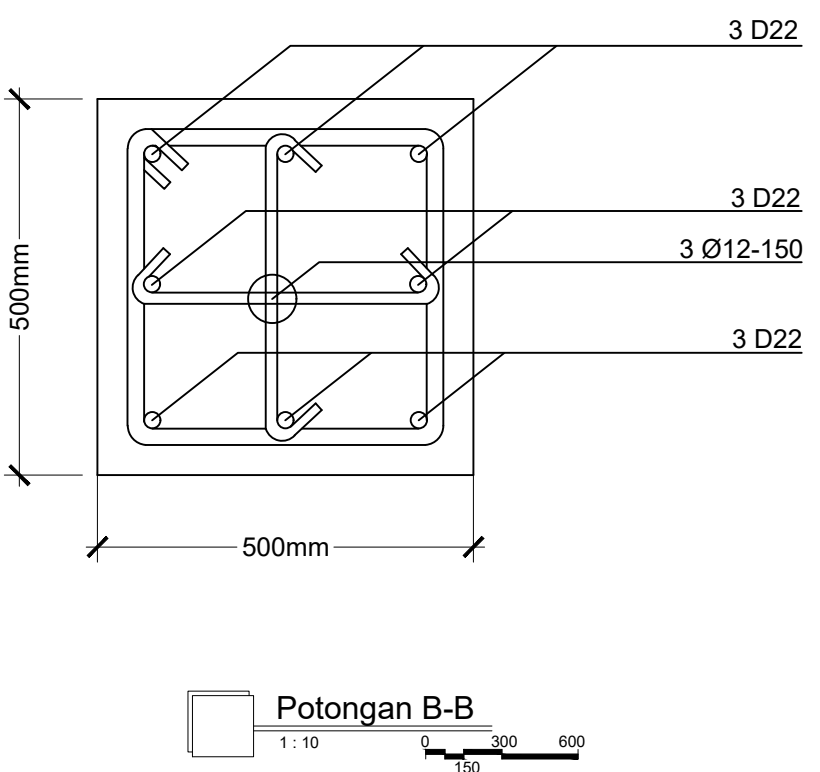
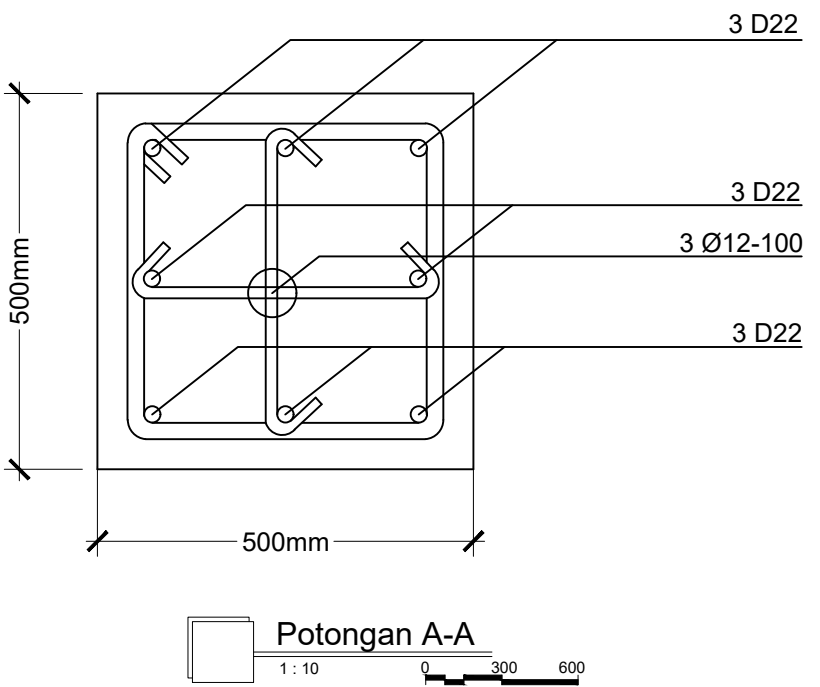
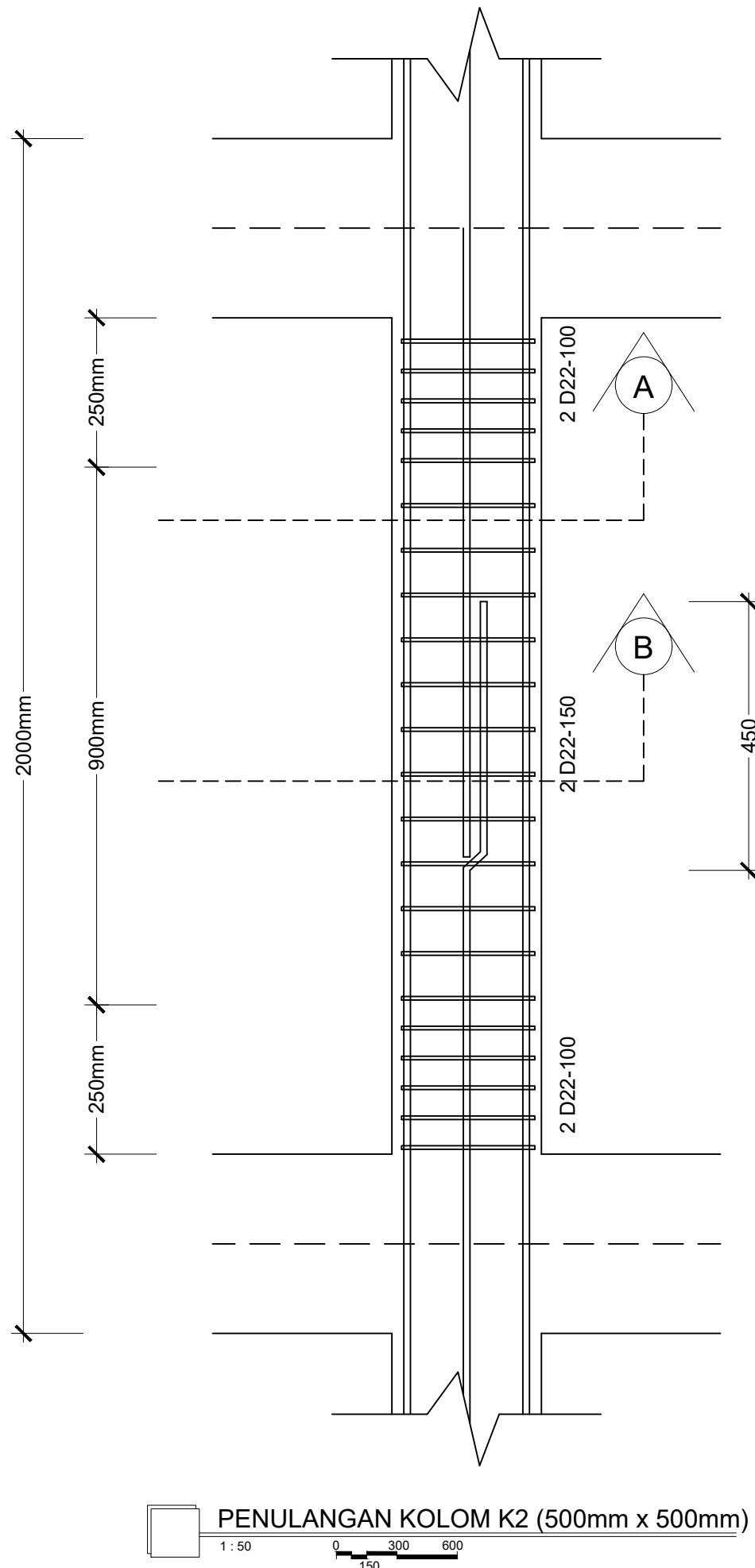
NAMA MAHASISWA

ARMAND RIZALDY
10111600000046

TAUFAN FAIRUS MAJID
10111600000080

NAMA	NO. LEMBAR	JUMLAH LEMBAR
------	------------	---------------

DTA - 06 39 48





PROGRAM STUDI DIPLOMA III
DEPARTEMEN TEKNIK INFRASTRUKTUR SIPIL
FAKULTAS VOKASI
INSTITUT TEKNOLOGI SEPULUH NOPEMBER
SURABAYA
2020

TUGAS AKHIR

JUDUL

DESAIN STRUKTUR BANGUNAN GEDUNG DPRD KOTA SURABAYA BERDASARKAN SISTEM RANGKA PEMIKUL MOMEN KHUSUS (SRPKM) DAN METODE PELAKUAN PLAT-PLAT LANTAI DAN ATAP

NAMA PEKERJAAN

PEMBANGUNAN GEDUNG DPRD KOTA SURABAYA

LOKASI PEKERJAAN

Jalan Yos Sudarso No 18-22, Embong Kaliasin, Surabaya, Jawa Timur

GAMBAR	SKALA
--------	-------

DETAL TULANGAN KOLOM K1
(700 x 700)mm

KETERANGAN

FUNGSI BANGUNAN : GEDUNG DPRD KOTA SURABAYA

KONDISI TANAH : TANAH LUNAK

MUTU BETON : 35 MPa

MUTU BAJA : 400 Mpa

JUMLAH TULANGAN LONGITUDINAL : 12-D25

DOSEN PEMBIMBING

Dr. Ir. Dicky Imam Wahyudi, M.S.
NIP: 195902091986031002

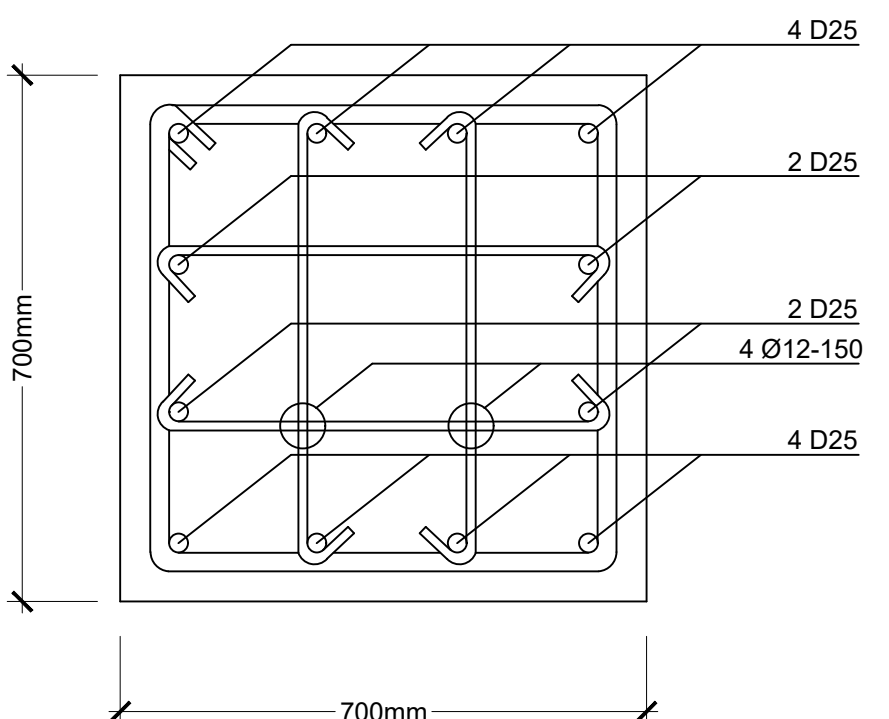
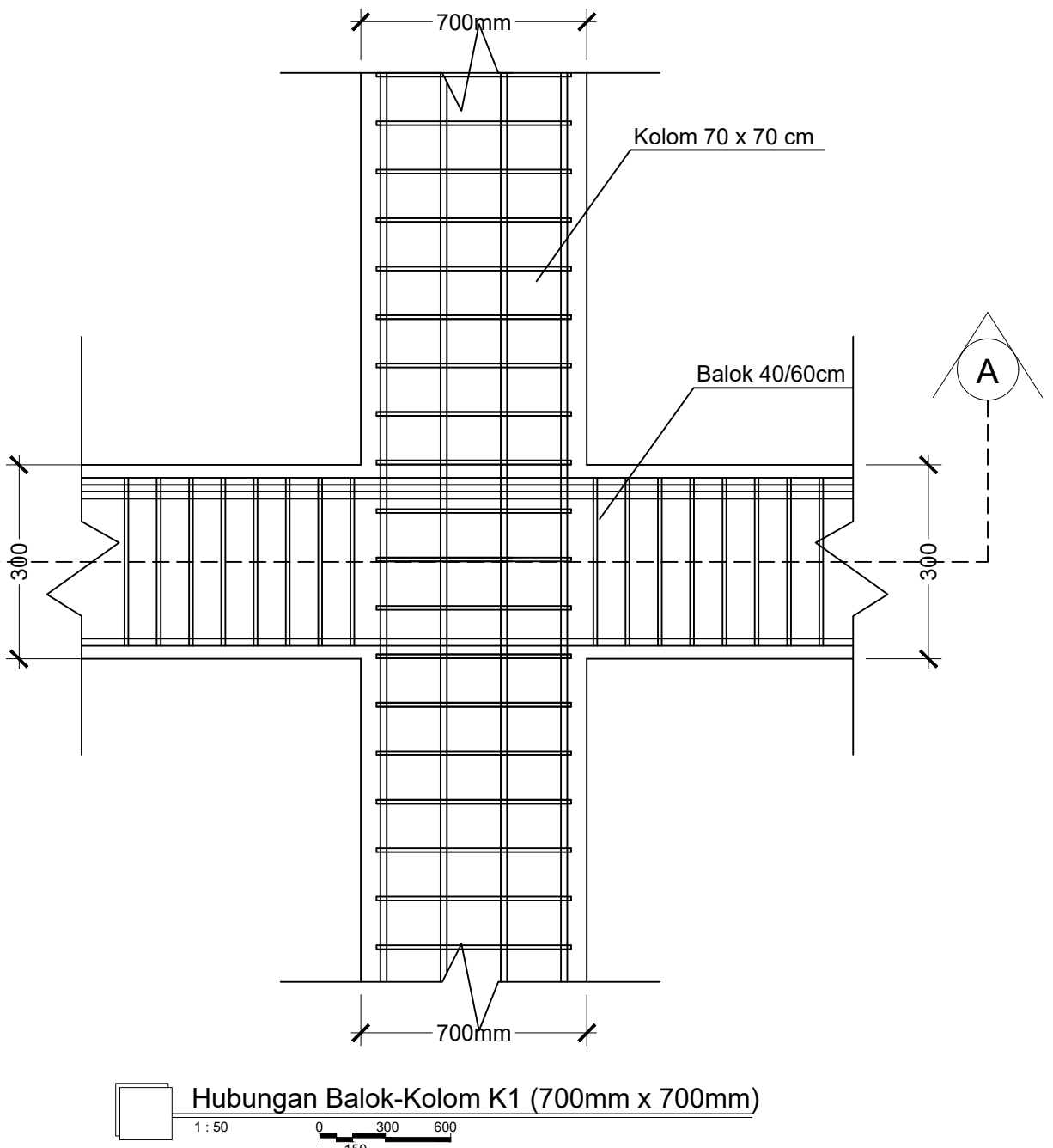
NAMA MAHASISWA

ARMAND RIZALDY
10111600000046

TAUFAN FAIRUS MAJID
10111600000080

NAMA	NO. LEMBAR	JUMLAH LEMBAR
------	------------	---------------

DTA - 07 40 48



Detail Hubungan Balok-Kolom K1 (700mm x 700mm)

1 : 10 0 300 600 150



PROGRAM STUDI DIPLOMA III
DEPARTEMEN TEKNIK INFRASTRUKTUR SIPIL
FAKULTAS VOKASI
INSTITUT TEKNOLOGI SEPULUH NOPEMBER
SURABAYA
2020

TUGAS AKHIR

JUDUL

DESAIN STRUKTUR BANGUNAN GEDUNG DPRD KOTA SURABAYA BERDASARKAN SISTEM RANGKA PEMIKUL, MOMEN KHUSUS (SRPMK) DAN METODE PELAKUANAN PLAT-PLAT LANTAI DAN ATAP

NAMA PEKERJAAN

PEMBANGUNAN GEDUNG DPRD KOTA SURABAYA

LOKASI PEKERJAAN

Jalan Yos Sudarso No 18-22, Embong Kaliasin, Surabaya, Jawa Timur

GAMBAR	SKALA
--------	-------

DETAIL TULANGAN KOLOM K2
(500 x 500mm)

KETERANGAN

FUNGSI BANGUNAN : GEDUNG DPRD KOTA SURABAYA

KONDISI TANAH : TANAH LUNAK

MUTU BETON : 35 MPa

MUTU BAJA : 400 Mpa

JUMLAH TULANGAN LONGITUDINAL : 8-D22

DOSEN PEMBIMBING

Dr. Ir. Dicky Imam Wahyudi, M.S.
NIP: 195902091986031002

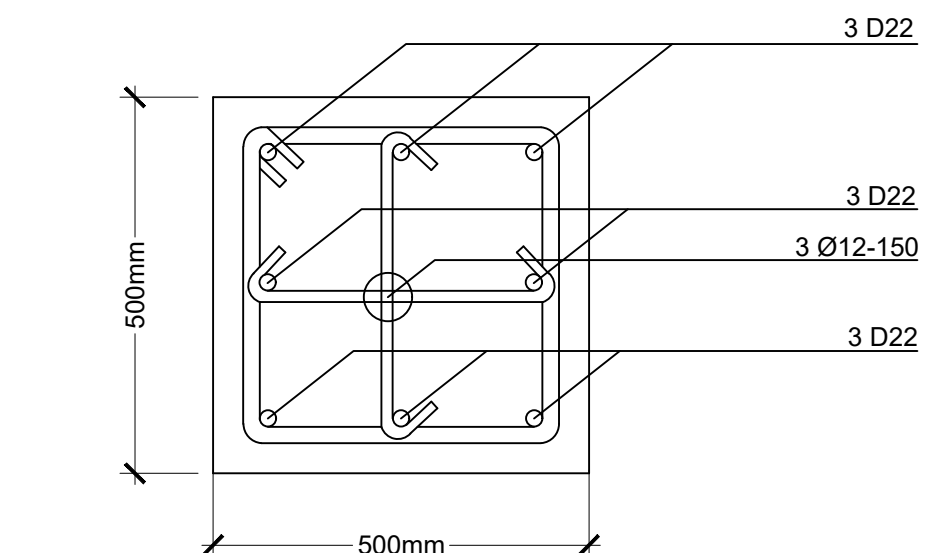
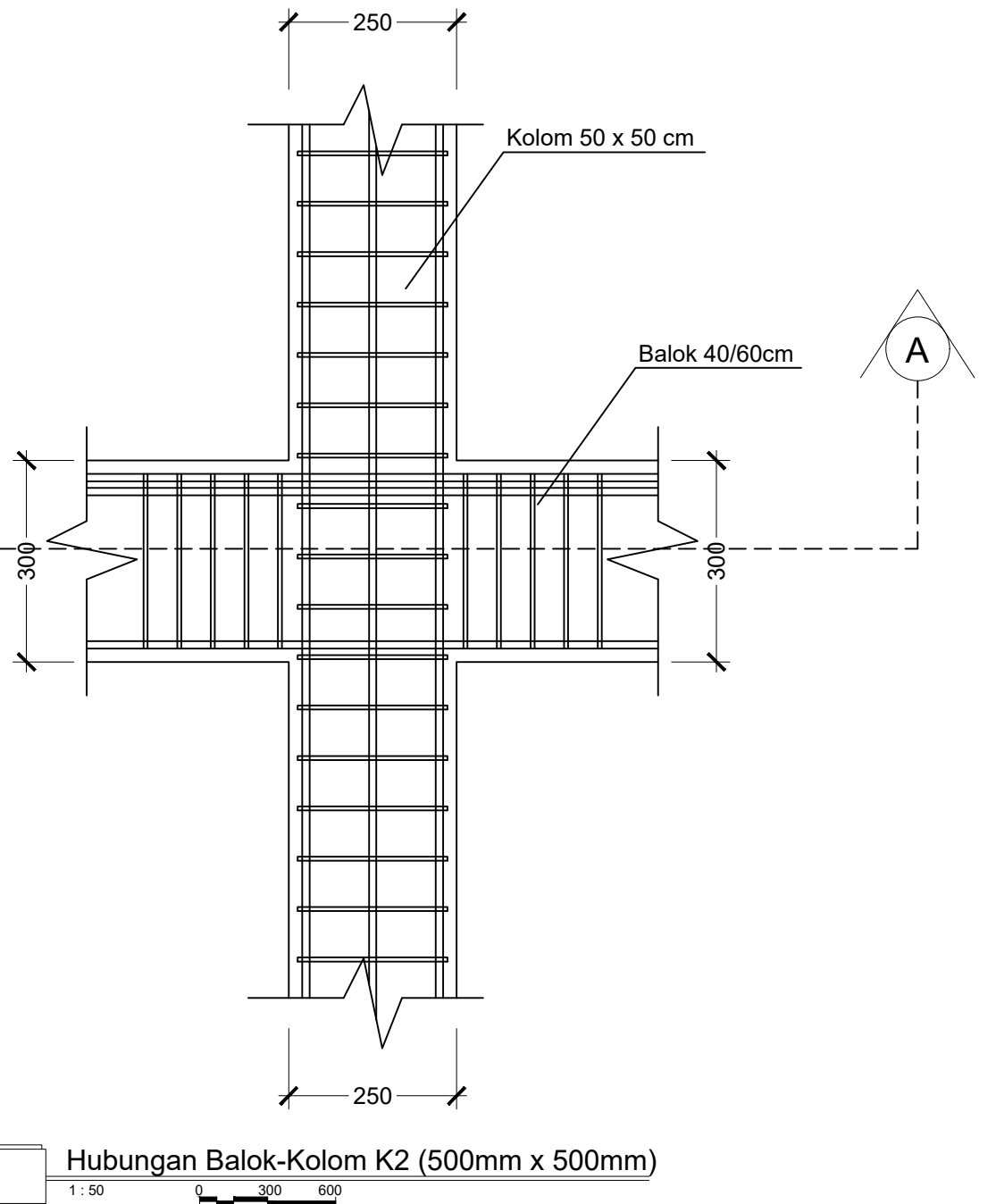
NAMA MAHASISWA

ARMAND RIZALDY
10111600000046

TAUFAN FAIRUS MAJID
10111600000080

NAMA	NO. LEMBAR	JUMLAH LEMBAR
------	------------	---------------

DTA - 08 41 48





PROGRAM STUDI DIPLOMA III
DEPARTEMEN TEKNIK INFRASTRUKTUR SIPIL
FAKULTAS VOKASI
INSTITUT TEKNOLOGI SEPULUH NOPEMBER
SURABAYA
2020

TUGAS AKHIR

JUDUL

DESAIN STRUKTUR BANGUNAN GEDUNG DPRD KOTA SURABAYA BERDASARKAN SISTEM RANGKA PEMIKUL MOMEN KHUSUS (SRPMK) DAN METODE PELAKUKAN PLAT-PLAT LANTAI DAN ATAP

NAMA PEKERJAAN

PEMBANGUNAN GEDUNG DPRD KOTA SURABAYA

LOKASI PEKERJAAN

Jalan Yos Sudarso No 18-22, Embong Kaliasin, Surabaya, Jawa Timur

GAMBAR SKALA

DETAIL SAMBUNGAN LEWATAN HUBUNGAN BALOK KOLOM K1-K2

KETERANGAN

FUNGSI BANGUNAN : GEDUNG DPRD KOTA SURABAYA

KONDISI TANAH : TANAH LUNAK

MUTU BETON : 35 MPa

MUTU BAJA : 400 Mpa

SAMBUNGAN LEWATAN : 1000mm

DOSEN PEMBIMBING

Dr. Ir. Dicky Imam Wahyudi, M.S.
NIP: 195902091986031002

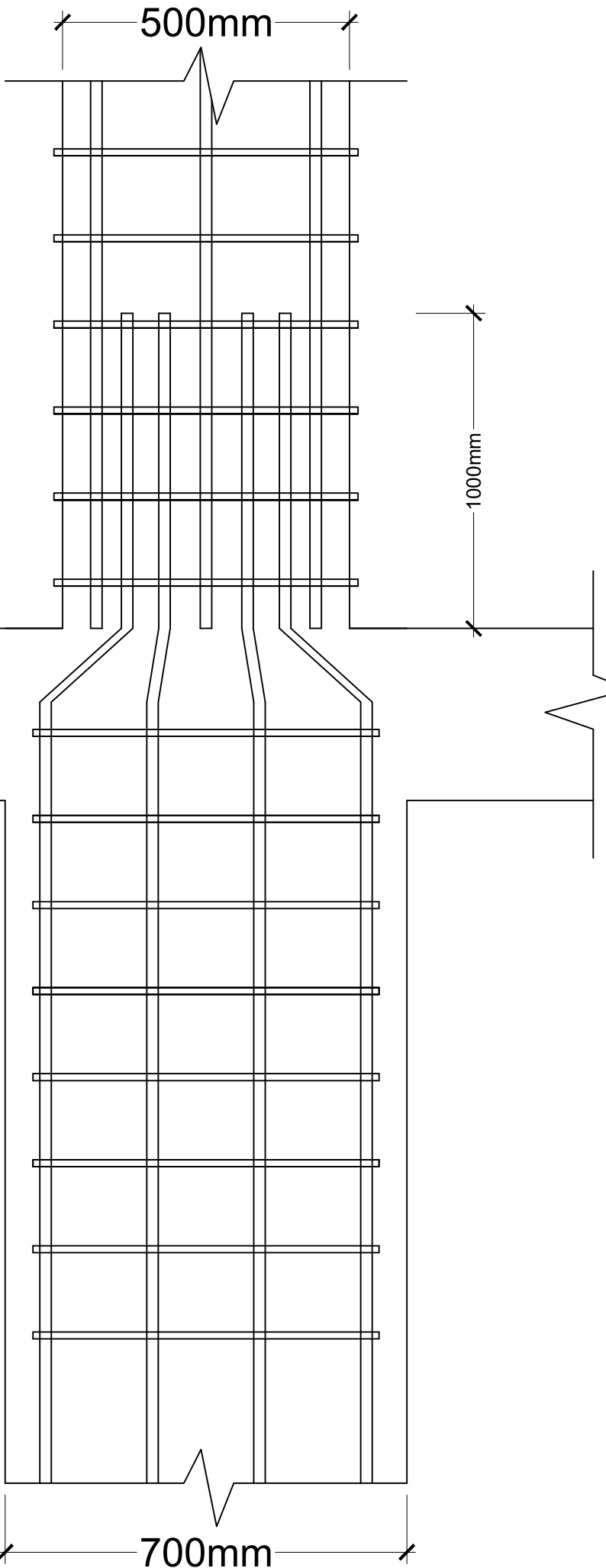
NAMA MAHASISWA

ARMAND RIZALDY
10111600000046

TAUFAN FAIRUS MAJID
10111600000080

NAMA	NO. LEMBAR	JUMLAH LEMBAR
------	------------	---------------

DTA - 09	42	48
----------	----	----



1 : 50
0 300 600
150



PROGRAM STUDI DIPLOMA III
DEPARTEMEN TEKNIK INFRASTRUKTUR SIPIL
FAKULTAS VOKASI
INSTITUT TEKNOLOGI SEPULUH NOPEMBER
SURABAYA
2020

TUGAS AKHIR

JUDUL

DESAIN STRUKTUR BANGUNAN GEDUNG DPRD KOTA SURABAYA BERDASARKAN
SISTEM RANGKA PEMIKUL, MOMEN KHUSUS (SRPKM) DAN METODE PELAKUANAN
PLAT-PLAT LANTAI DAN ATAP

NAMA PEKERJAAN

PEMBANGUNAN GEDUNG DPRD KOTA SURABAYA

LOKASI PEKERJAAN

Jalan Yos Sudarso No 18-22, Embong
Kaliasin, Surabaya, Jawa Timur

GAMBAR SKALA

DETAIL PORTAL ARAH
MEMANJANG 1 : 50

KETERANGAN

FUNGSI BANGUNAN : GEDUNG DPRD
KOTA SURABAYA

KONDISI TANAH : TANAH LUNAK

MUTU BETON : 35 MPA

MUTU BAJA : 400 Mpa

DOSEN PEMBIMBING

Dr. Ir. Dicky Imam Wahyudi, M.S.
NIP: 195902091986031002

NAMA MAHASISWA

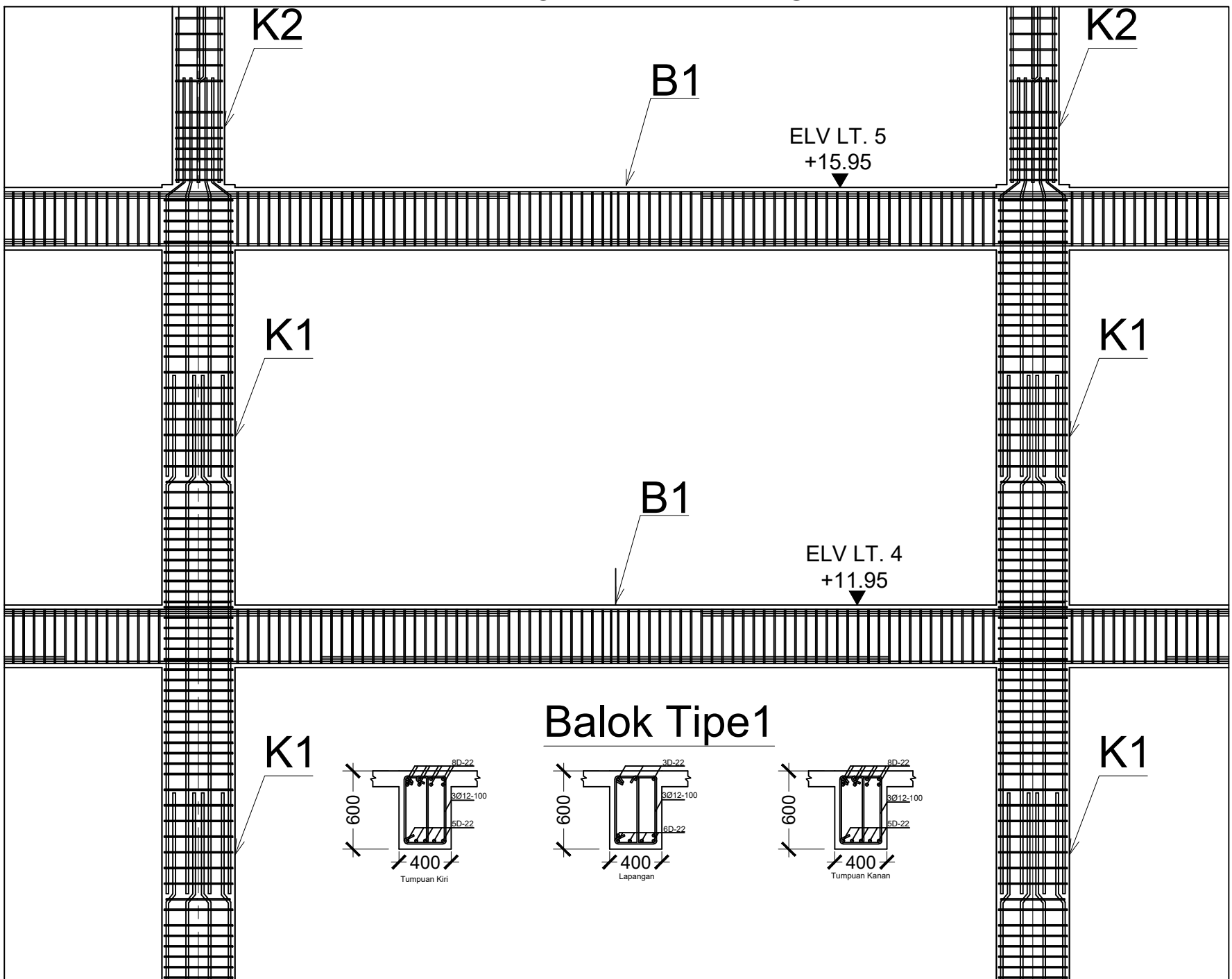
ARMAND RIZALDY
10111600000046

TAUFAN FAIRUS MAJID
10111600000080

NAMA	NO. LEMBAR	JUMLAH LEMBAR
------	------------	---------------

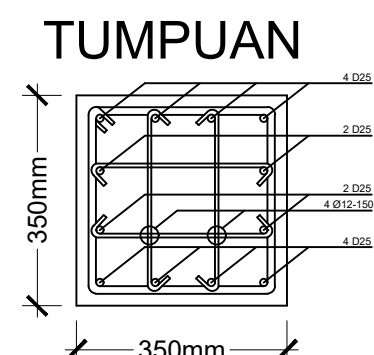
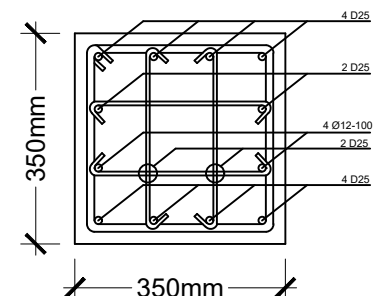
DTA - 10 43 48

DETAIL PORTAL MELINTANG



Kolom Tipe 2

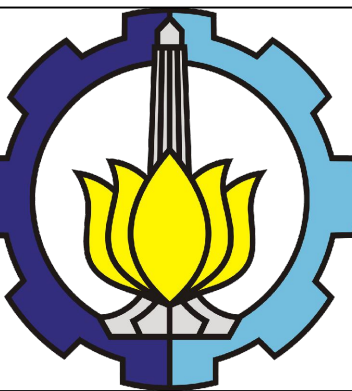
(K1)



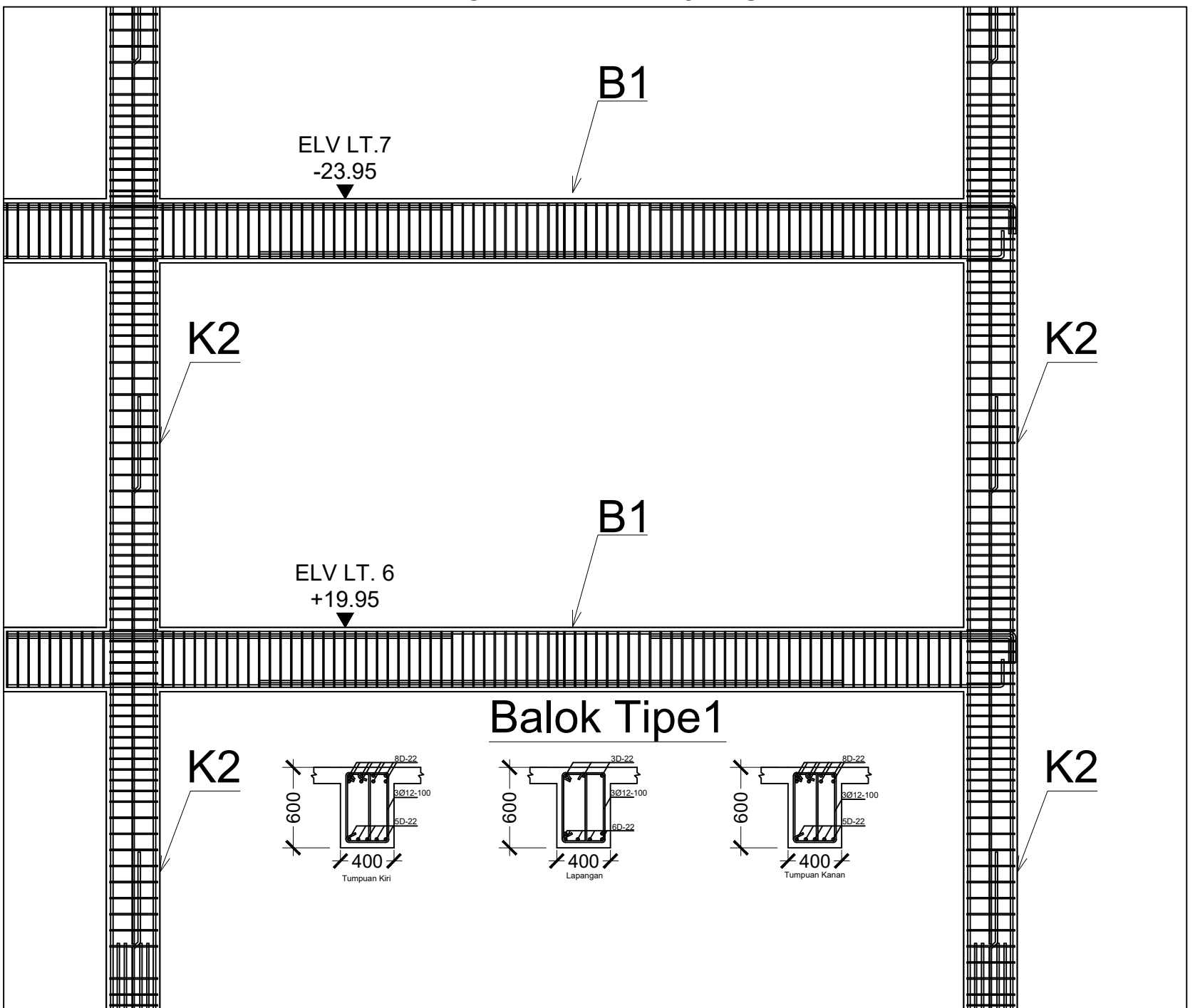
LAPANGAN

DETAIL PORTAL ARAH MELINTANG

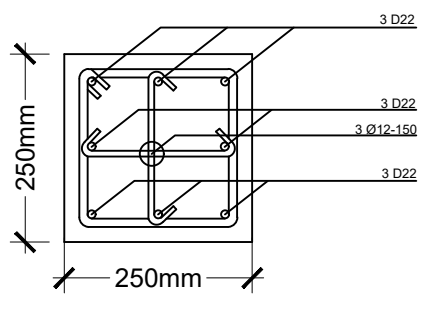
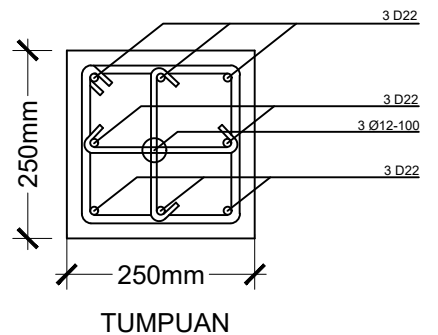
1 : 50 0 300 600
150



DETAIL PORTAL MEMANJANG



Kolom Tipe 2 (K2)



PROGRAM STUDI DIPLOMA III
DEPARTEMEN TEKNIK INFRASTRUKTUR SIPIL
FAKULTAS VOKASI
INSTITUT TEKNOLOGI SEPULUH NOPEMBER
SURABAYA
2020

TUGAS AKHIR

JUDUL

AIN STRUKTUR BANGUNAN GEDUNG DPRD KOTA SURABAYA BERDASARKAN EM RANGKA PEMIKUL MOMEN KHUSUS (SRPMK) DAN METODE PELAKSANAAN PLAT-PLAT LANTAI DAN ATAP

NAMA PEKERJAAN

PEMBANGUNAN GEDUNG DPRD KOTA SURABAYA

LOKASI PENERIMAAN

Jalan Yos Sudarso No 18-22, Embong
Kaliasin, Surabaya, Jawa Timur

GAMBAR	SKALA
--------	-------

DETAIL PORTAL ARAH
MEMANJANG

KETERANGAN

FUNGSI BANGUNAN : GEDUNG DPRD KOTA SURABAYA

KONDISI TANAH : TANAH LUNAK

MOTO BETON : 35 MPa

MUTU BAJA : 400 Mpa

DOSEN PEMBIMBING

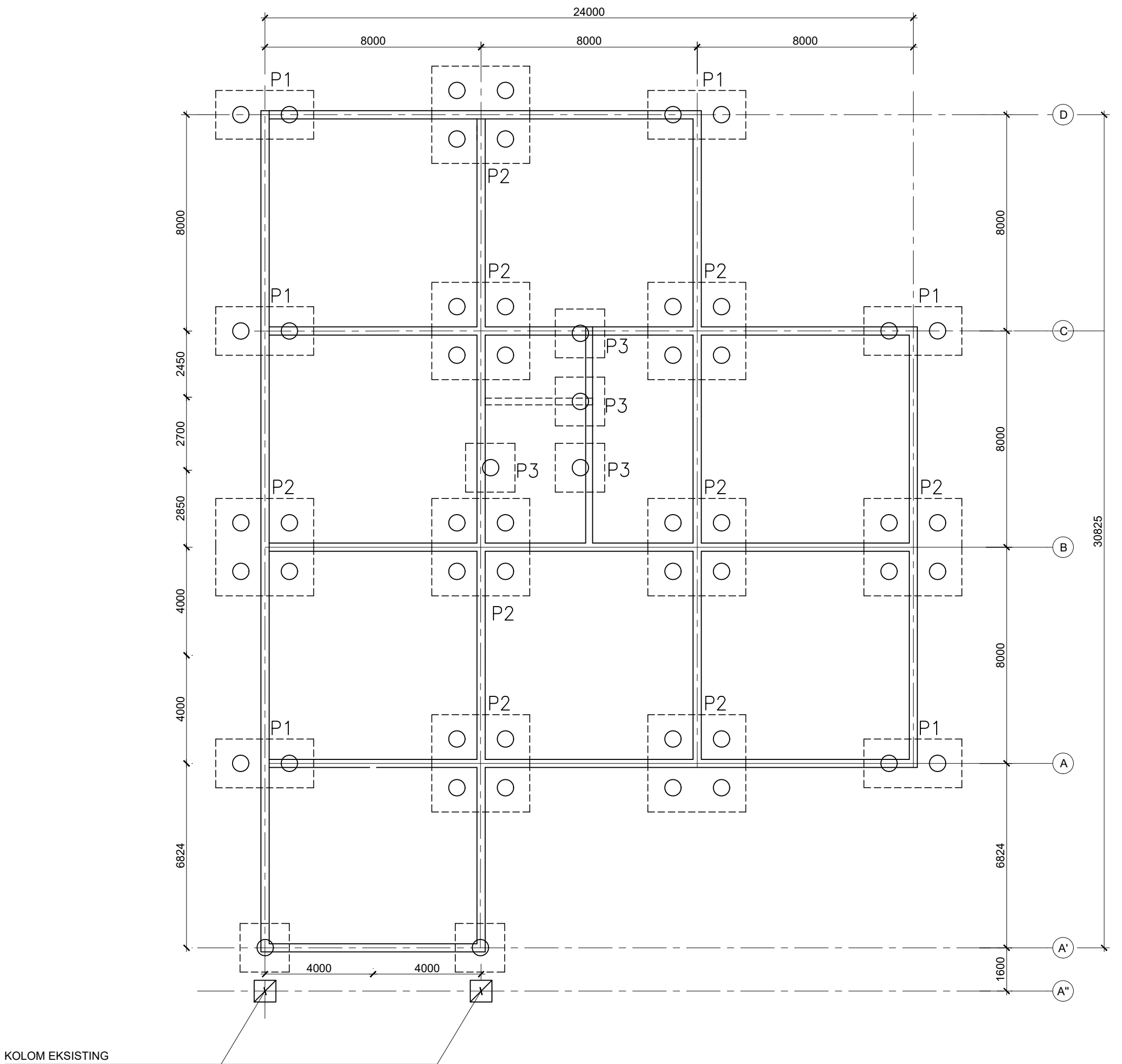
Dr. Ir. Dicky Imam Wahyudi, M.S.
NIP: 195902091986031002

NAMA MAHASISWA

ARMAND RIZALDY
10111600000046

TAUFAN FAIRUS MAJID
1011160000080

NAMA	NO. LEMBAR	JUMLAH LEMBAR
DTA - 11	44	48



PROGRAM STUDI DIPLOMA III
DEPARTEMEN TEKNIK INFRASTRUKTUR SIPIL
FAKULTAS VOKASI
INSTITUT TEKNOLOGI SEPULUH NOPEMBER
SURABAYA
2020

TUGAS AKHIR

JUDUL

SAIN STRUKTUR BANGUNAN GEDUNG DPRD KOTA SURABAYA BERDASARKAN
SISTEM RANGKA PEMIKUL MOMEN KHUSUS (SRPMK) DAN METODE
PELAKSANAAN PLAT-PLAT LANTAI DAN ATAP

NAMA PEKERJAAN

PEMBANGUNAN GEDUNG DPRD KOTA SURABAYA

LOKASI PEKERJAAN

Jalan Yos Sudarso No 18-22, Embong
Kaliasin, Surabaya, Jawa Timur

GAMBAR	SKALA
DENAH PONDASI	1 : 150

KETERANGAN

KET	DIMENSION
P1	300cm x 150cm
P2	300cm x 300cm
P3	150cm x 150cm

DOSEN PEMBIMBING

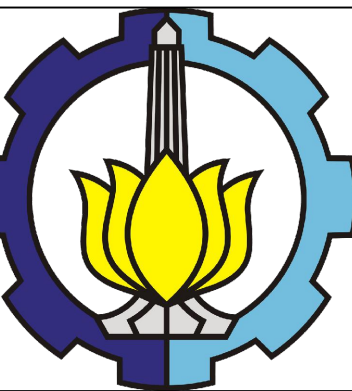
Dr. Ir. Dicky Imam Wahyudi, M.S.
NIP: 195902091986031002

NAMA MAHASISWA

ARMAND RIZALDY
10111600000046

TAUFAN FAIRUS MAJID
10111600000080

NAMA	NO. LEMBAR	JUMLAH LEMBAR
STR - 30	45	48



PROGRAM STUDI DIPLOMA III
DEPARTEMEN TEKNIK INFRASTRUKTUR SIPIL
FAKULTAS VOKASI
INSTITUT TEKNOLOGI SEPULUH NOPEMBER
SURABAYA
2020

TUGAS AKHIR

JUDUL

DESAIN STRUKTUR BANGUNAN GEDUNG DPRD KOTA SURABAYA BERDASARKAN SISTEM RANGKA PEMIKUL, MOMEN KHUSUS (SRPKM) DAN METODE PELAKUAN PLAT-PLAT LANTAI DAN ATAP

NAMA PEKERJAAN

PEMBANGUNAN GEDUNG DPRD KOTA SURABAYA

LOKASI PEKERJAAN

Jalan Yos Sudarso No 18-22, Embong Kaliasin, Surabaya, Jawa Timur

GAMBAR SKALA

DETAIL PONDASI P1
(3,6m x 1,8m)

KETERANGAN

FUNGSI BANGUNAN : GEDUNG DPRD KOTA SURABAYA

KONDISI TANAH : TANAH LUNAK

MUTU BETON : 35 MPa

MUTU BAJA : 400 Mpa

t poer : 1m

Kedalaman Tiang Pancang : 29m

DOSEN PEMBIMBING

Dr. Ir. Dicky Imam Wahyudi, M.S.
NIP: 195902091986031002

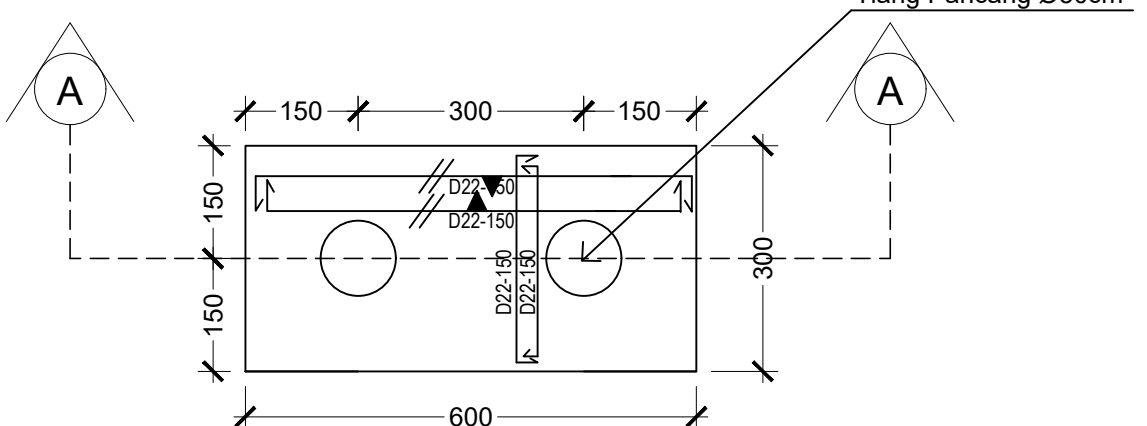
NAMA MAHASISWA

ARMAND RIZALDY
10111600000046

TAUFAN FAIRUS MAJID
10111600000080

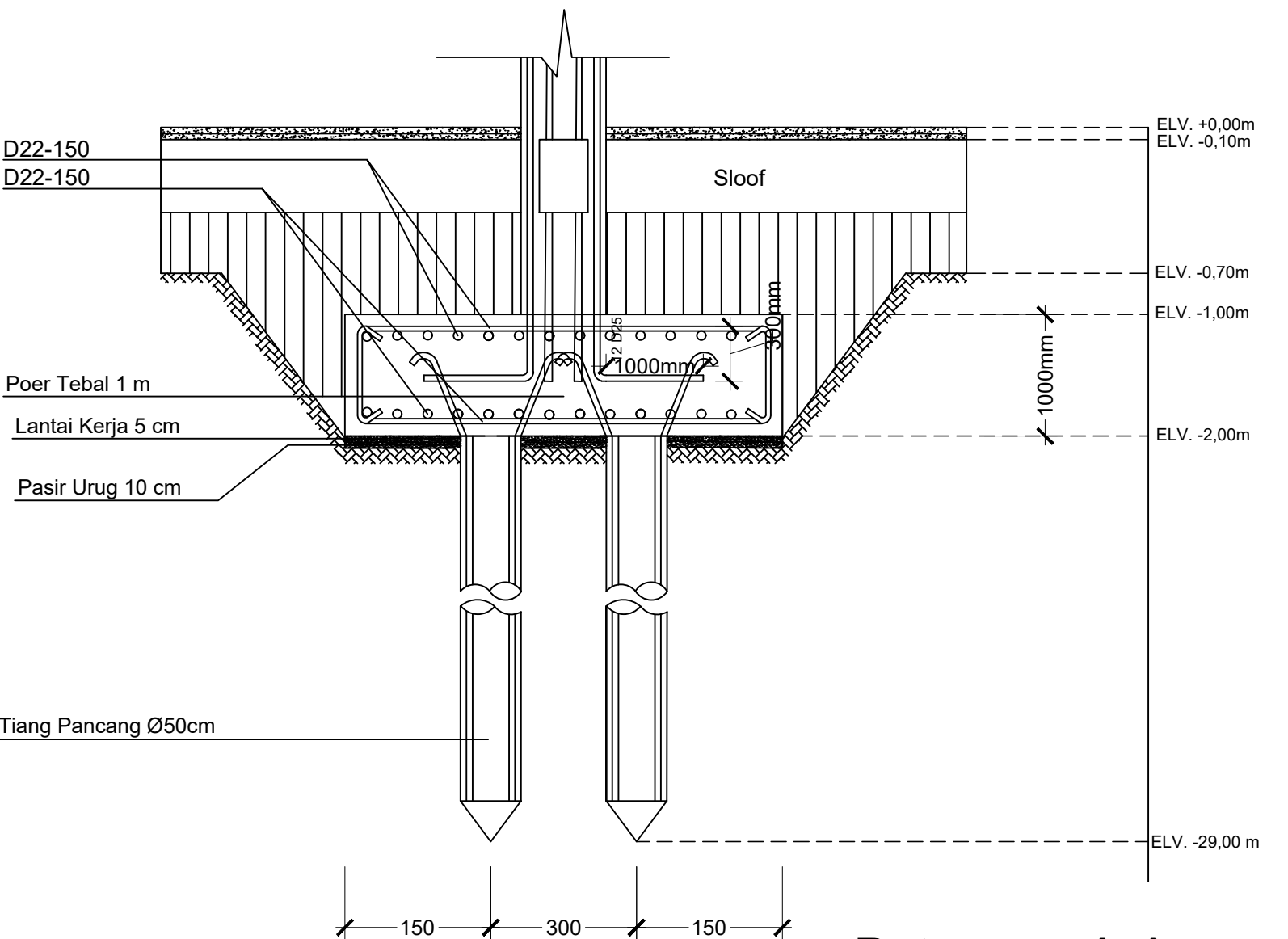
NAMA	NO. LEMBAR	JUMLAH LEMBAR
------	------------	---------------

STR - 31 46 48



Penulangan Pondasi P1

SKALA 1 : 50



Potongan A-A

SKALA 1 : 50

PENULANGAN & POTONGAN PONDASI P1
1 : 100 0 300 600
150



PROGRAM STUDI DIPLOMA III
DEPARTEMEN TEKNIK INFRASTRUKTUR SIPIL
FAKULTAS VOKASI
INSTITUT TEKNOLOGI SEPULUH NOPEMBER
SURABAYA
2020

TUGAS AKHIR

JUDUL

DESAIN STRUKTUR BANGUNAN GEDUNG DPRD KOTA SURABAYA BERDASARKAN
SISTEM RANGKA PEMIKUL, MOMEN KHUSUS (SRPKM) DAN METODE PELAKUANAN
PLAT-PLAT LANTAI DAN ATAP

NAMA PEKERJAAN

PEMBANGUNAN GEDUNG DPRD KOTA SURABAYA

LOKASI PEKERJAAN

Jalan Yos Sudarso No 18-22, Embong
Kaliasin, Surabaya, Jawa Timur

GAMBAR	SKALA
--------	-------

DETAIL PONDASI P2
(3,6m x 3,6m)

KETERANGAN

FUNGSI BANGUNAN : GEDUNG DPRD
KOTA SURABAYA

KONDISI TANAH : TANAH LUNAK

MUTU BETON : 35 MPa

MUTU BAJA : 400 Mpa

t poer : 1m

Kedalaman Tiang Pancang : 29m

DOSEN PEMBIMBING

Dr. Ir. Dicky Imam Wahyudi, M.S.
NIP: 195902091986031002

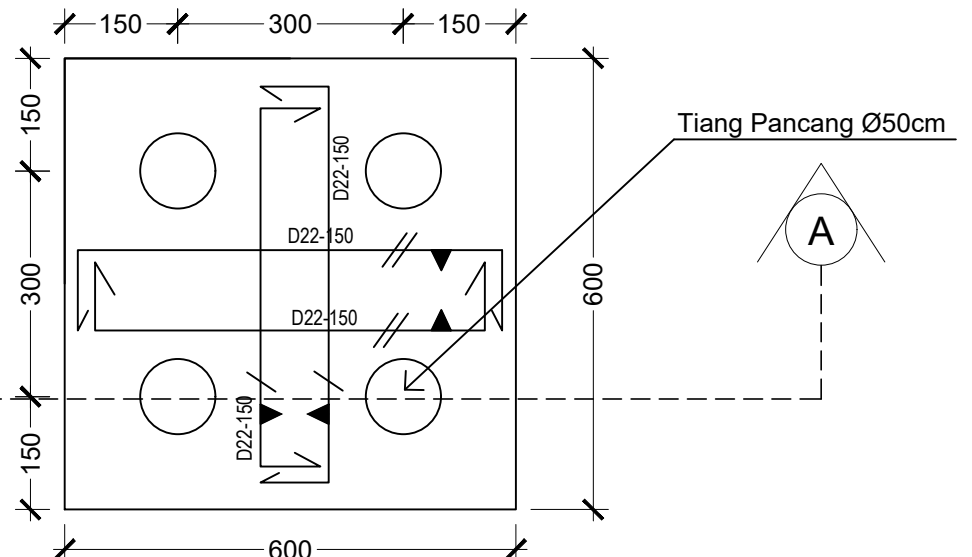
NAMA MAHASISWA

ARMAND RIZALDY
10111600000046

TAUFAN FAIRUS MAJID
10111600000080

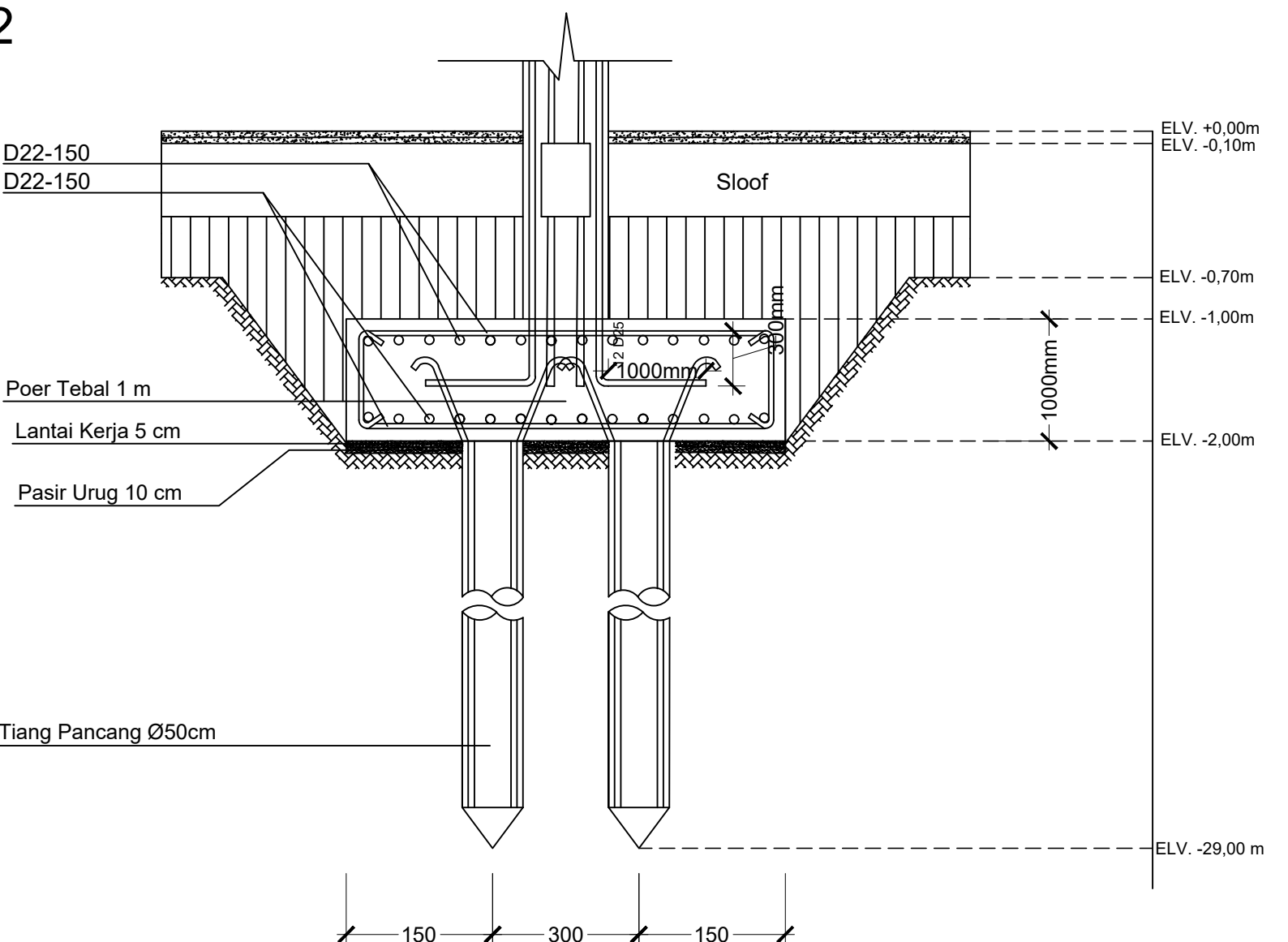
NAMA	NO. LEMBAR	JUMLAH LEMBAR
------	------------	---------------

STR - 32 47 48



Penulangan Pondasi P2

SKALA 1 : 50



Potongan A-A

SKALA 1 : 50

PENULANGAN & POTONGAN PONDASI P2
1 : 100 0 300 600
150



PROGRAM STUDI DIPLOMA III
DEPARTEMEN TEKNIK INFRASTRUKTUR SIPIL
FAKULTAS VOKASI
INSTITUT TEKNOLOGI SEPULUH NOPEMBER
SURABAYA
2020

TUGAS AKHIR

JUDUL

DESAIN STRUKTUR BANGUNAN GEDUNG DPRD KOTA SURABAYA BERDASARKAN SISTEM RANGKA PEMIKUL, MOMEN KHUSUS (SRPKM) DAN METODE PELAKUAN PLAT-PLAT LANTAI DAN ATAP

NAMA PEKERJAAN

PEMBANGUNAN GEDUNG DPRD KOTA SURABAYA

LOKASI PEKERJAAN

Jalan Yos Sudarso No 18-22, Embong Kaliasin, Surabaya, Jawa Timur

GAMBAR SKALA

DETAIL PONDASI P3 (1,8m x 1,8m)	
------------------------------------	--

KETERANGAN

FUNGSI BANGUNAN : GEDUNG DPRD KOTA SURABAYA

KONDISI TANAH : TANAH LUNAK

MUTU BETON : 35 MPA

MUTU BAJA : 400 Mpa

t poer : 1m

Kedalaman Tiang Pancang : 29m

DOSEN PEMBIMBING

Dr. Ir. Dicky Imam Wahyudi, M.S.
NIP: 195902091986031002

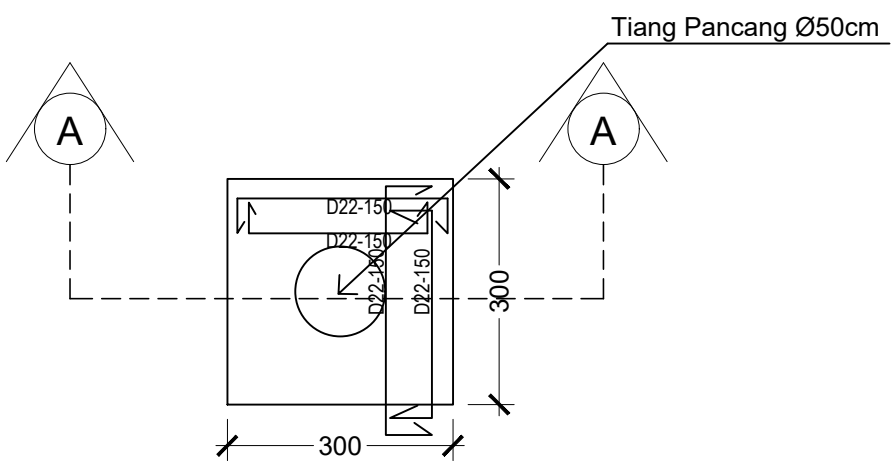
NAMA MAHASISWA

ARMAND RIZALDY
10111600000046

TAUFAN FAIRUS MAJID
10111600000080

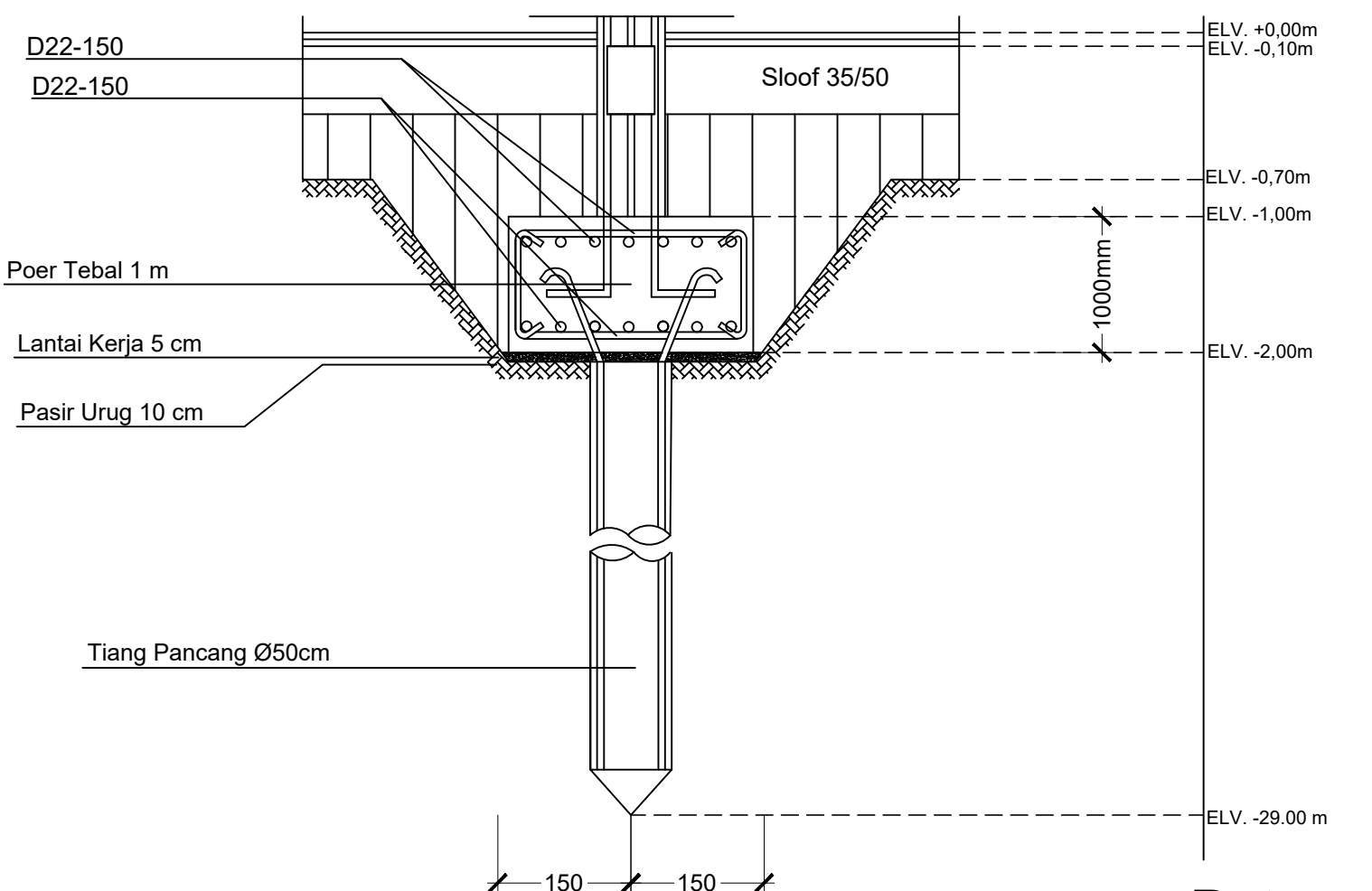
NAMA	NO. LEMBAR	JUMLAH LEMBAR
------	------------	---------------

STR - 33	48	48
----------	----	----



Penulangan Pondasi P3

SKALA 1 : 50



PENULANGAN & POTONGAN PONDASI P3
1 : 50 0 300 600
150

Potongan A-A
SKALA 1 : 50